



دانشکده هنر و فن

دانشکده مهندسی عمران

پایان نامه کارشناسی ارشد

بررسی رفتار لرزه‌ای دیوارهای برشی بتونی توحالی

یوسف حق‌گو

اساتید راهنما :

دکتر وحیدرضا کلات جاری

دکتر بهروز حسنی

استاد مشاور :

دکتر علی کیهانی

شهریور ۱۳۹۱

بِسْمِ اللَّهِ الرَّحْمَنِ الرَّحِيمِ



دانشکدهٔ فنی‌های تولید

دانشکدهٔ مهندسی عمران
گروه عمران

بررسی رفتار لرزه‌ای دیوارهای برشی بتونی توخالی

دانشجو: یوسف حق‌گو

اساتید راهنما:

دکتر وحیدرضا کلات جاری
دکتر بهروز حسنی

استاد مشاور:

دکتر علی کیهانی

پایان‌نامه ارشد

شهریور ۱۳۹۱

دانشگاه صنعتی شهرود

دانشکده مهندسی عمران

پایان نامه کارشناسی ارشد آقای یوسف حق گو

تحت عنوان: بررسی رفتار لرزا های دیوارهای برشی بتنی توخالی

در تاریخ توسط کمیته تخصصی زیر جهت اخذ مدرک کارشناسی ارشد مورد ارزیابی و با درجه مورد پذیرش قرار گرفت.

امضاء	اساتید مشاور	امضاء	اساتید راهنمای
	علی کیهانی		وحیدرضا کلات جاری
			بهروز حسنی

امضاء	نماينده تحصيلات تكميلي	امضاء	اساتيد داور
	نام و نام خانوادگی :		نام و نام خانوادگی :
			نام و نام خانوادگی :
			نام و نام خانوادگی :
			نام و نام خانوادگی :

مشکر و قدردانی

به شمریدن این تحقیق مربون اطاف بی کران الٰی است، خداوند را شکرم که این منت را بر من نهاد.

با نهایت سپاس از راهنمایی و زحمات بی شائبه استاد راهنمای ارجمند جناب آقای دکتر وحید رضا کلات جاری و جناب آقای دکتر بروز حسni و استاد مشاور کرامی جناب آقای دکتر علی کیهانی که وقت پر ارزش خود را در طی این تحقیق در اختیار اینجانب گذاشت و همواره با روی کشاده مرا بیاری فرمودند.

و با مشکر از دکتر احمد پهلوان یلی که در زینه آموزش نرم افزار و ساخت مدل های رایانه ای به بنده چک بسیاری مبذول داشتند.

دانشجو تأیید می‌نماید که مطالب مندرج در این پایان‌نامه نتیجه تحقیقات خودش می‌باشد و در صورت استفاده از نتایج دیگران مرجع آن را ذکر نموده است.

کلیه حقوق مادی مترتب از نتایج مطالعات، آزمایشات و نوآوری ناشی از تحقیق موضوع این پایان‌نامه متعلق به دانشگاه صنعتی شاهروд می‌باشد.

شهریور ۱۳۹۱

چکیده

رشد جمعیت و کمبود فضای شهری از جمله عواملی هستند که ساخت سازه‌های بلند مرتبه را توجیه می‌کنند. به نسبت ارتفاع ساختمان میزان بار جانبی وارد شده به آن هم افزایش می‌یابد. دیوار برشی بتی یکی از سیستم‌های سازه‌ای مناسب برای تحمل بارهای جانبی می‌باشد. در این تحقیق ابتدا ۹ مدل با (سیستم قاب خمی) و دیوار برشی توپر ساخته شده، سپس ۹ مدل دیگر با سیستم قاب خمی و این بار با دیوارهای برشی توخالی ساخته شده است. سپس به کمک نرمافزار FEMA-356 (PERFORM-3D) مدل‌های غیرخطی ساخته شده و براساس ضوابط دستورالعمل تحلیل استاتیکی غیرخطی انجام شده است. در نهایت، به محاسبه مولفه‌های لرزه‌ای این سازه‌ها از قبیل تغییرمکان هدف، زمان تناوب، نسبت شکل‌پذیری، ضریب شکل‌پذیری و ضریب مقاومت افزون بار پرداخته شده است. همچنین تاثیر عواملی همچون تعداد طبقات، خروج از مرکزیت، جهت بارگذاری جانبی، نوع الگوی بارگذاری جانبی، نوع الگوی بارگذاری ثقلی و توپر و توخالی بودن دیوارها را بر روی مولفه‌های لرزه‌ای مورد بررسی قرار گرفته است.

نتایج نشان می‌دهد که، بهطور کلی، در حالت دیوار توخالی، مولفه‌های لرزه‌ای بهبود می‌یابند. کلمات کلیدی: دیوار برشی توخالی، تحلیل استاتیکی غیرخطی، ضریب رفتار، ضریب مقاومت افزون، نسبت شکل‌پذیری، ضریب شکل‌پذیری، مدل‌سازی رشتہ‌ای، الگوی بار جانبی، منحنی ظرفیت، زمان تناوب موثر سازه

فصل اول: کلیات و آشنایی با سیستم های قاب خمثی و دیوار برشی

۲.....	۱-۱- مقدمه
۳.....	۱-۲- ضرورت انجام این پایان نامه
۴.....	۱-۳- عملکرد سیستم قاب خمثی و دیوار برشی
۶.....	۱-۴- مدهای خرابی دیوار برشی
۶.....	۱-۴-۱- خرابی در خمث
۷.....	۱-۴-۲- خرابی در برش
۸.....	۱-۴-۳- خرابی در لغزش
۸.....	۱-۴-۴- ضعف در شالوده

فصل دوم: تاریخچه انجام شده بر روی ساختمان های دارای دیوار برشی توخالی

۱۰.....	۲- تاریخچه انجام شده بر روی ساختمان های دارای دیوار برشی توخالی
---------	---

فصل سوم: معرفی و روش های تعیین ضریب رفتار در سازه ها

۱۳.....	۳-۱- مقدمه
۱۶.....	۳-۲- اجزای ضریب رفتار
۱۷.....	۳-۲-۱- شکل پذیری
۱۷.....	۳-۲-۱-۱- ضریب شکل پذیری کلی سازه
۱۷.....	۳-۲-۱-۲- ضریب کاهش بر اثر شکل پذیری
۲۲.....	۳-۲-۲- مقاومت افزون
۲۴.....	۳-۲-۲-۱- عوامل مؤثر بر مقاومت افزون

۲۵.....	تعیین ضریب رفتار ناشی از مقاومت افزون.....۳-۲-۲-۲
۲۶.....	روش‌های محاسبه ضرایب رفتار.....۳-۳-۳
۲۶.....	روش‌های آمریکایی.....۳-۳-۱
۲۶.....	روش طیف ظرفیت فریمن.....۳-۳-۱-۱
۲۸.....	روش ضریب شکل‌پذیری یوانگ.....۳-۳-۲-۱
۳۳.....	روش‌های اروپایی.....۳-۳-۲
۳۳.....	روش تئوری شکل‌پذیری.....۳-۳-۲-۱
۳۴.....	روش انرژی.....۳-۳-۲-۲
۳۵.....	مقایسه روش‌های محاسبه ضریب رفتار.....۳-۴
۳۵.....	روش محاسبه ضریب رفتار در این پژوهش.....۳-۵

فصل چهارم: طراحی بر اساس عملکرد

۳۷.....	۴-۱- مقدمه
۳۸.....	۴-۲- رفتار اجزای سازه
۴۰.....	۴-۳- مقاومت مصالح
۴۰.....	۴-۴- ظرفیت اجزای سازه
۴۰.....	۴-۵- سطوح عملکرد کل ساختمان
۴۱.....	۴-۶- تحلیل خطر و طیف طراحی
۴۲.....	۴-۶-۱- طیف طرح ارجاعی استاندارد
۴۲.....	۴-۶-۲- طیف طرح ارجاعی ویژه ساختگاه
۴۳.....	۴-۷- تحلیل استاتیکی غیرخطی
۴۴.....	۴-۷-۱- روش انجام تحلیل استاتیکی غیرخطی

۴۴.....	۲-۷-۴- ترکیب بارگذاری ثقلی و جانبی
۴۵.....	۳-۷-۴- الگوی توزیع بار جانبی
۴۵.....	۱-۳-۷-۴- الگوی توزیع نوع اول
۴۶.....	۲-۳-۷-۴- الگوی توزیع نوع دوم
۴۶.....	۴-۸- مدل ساده شده نیرو - تغییر مکان سازه (مدل دو خطی)
۴۷.....	۴-۹- زمان تناوب اصلی مؤثر (T_e)
۴۸.....	۴-۱۰- تغییر مکان هدف برای سازه با دیافراگم صلب
۵۲.....	۴-۱۱- معیارهای پذیرش برای روش‌های غیرخطی
۵۲.....	۴-۱۱-۱- کنترل شونده توسط تغییر شکل
۵۳.....	۴-۱۱-۲- در اعضای اصلی و غیر اصلی کنترل شونده توسط نیرو
۵۴.....	۴-۱۲- محاسبه تغییر مکان هدف از روی طیف ظرفیت به روش FEMA356

فصل پنجم: آشنایی با مدل‌های مورد مطالعه و طراحی آن‌ها

۵۸.....	۱-۵- مقدمه
۵۸.....	۲-۵- کلیات مدل‌سازی
۶۱.....	۳-۵- مدل ۴ طبقه توپر و توحالی با پلان مربعی 12×12 متر
۶۳.....	۴-۵- مدل ۸ طبقه توپر و توحالی با پلان مربعی 12×12 متر
۶۶.....	۵-۵- مدل ۱۲ طبقه توپر و توحالی با پلان 12×12 متر
۶۹.....	۶-۵- مدل ۸ طبقه توپر و تو خالی با خروج از مرکزیت ۱۰٪ برای پلان 12×12 متر
۷۰.....	۷-۵- مدل ۸ طبقه توپر و توحالی با خروج از مرکزیت ۲۰٪ برای پلان 12×12 متر

فصل ششم: مدل‌سازی غیرخطی

۷۲.....	۱-۶- مقدمه
---------	------------

۷۲	۶-۲- نرم افزارهای مربوط به انجام تحلیل های غیرخطی
۷۳	۶-۳- ویژگی های نرم افزار PERFORM-3D
۷۴	۶-۳-۱- مدل سازی
۷۴	۶-۳-۲- تحلیل های غیرخطی
۷۵	۶-۳-۳- عملکرد بر اساس ارزیابی
۷۵	۶-۳-۴- خروجی ها
۷۶	۶-۴- مدل سازی سیستم دوگانه قاب خمشی همراه با دیوار برشی
۷۶	۶-۴-۱- فرضیات مدل سازی
۷۷	۶-۴-۲- ایجاد مدل سه بعدی، تکیه گاه های سازه، اختصاص جرم سازه و ایجاد کف صلب
۷۹	۶-۴-۳- رفتار واقعی عناصر و روابط F-D در PERFORM-3D
۸۱	۶-۵- انواع مدل کردن تیر
۸۳	۶-۵-۱- مدل دوران و تری
۸۴	۶-۵-۲- مدل مفصل پلاستیک
۸۵	۶-۵-۳- مدل ناحیه پلاستیک
۸۶	۶-۶- مدل کردن تیرهای بتن مسلح در PERFORM-3D
۸۶	۶-۶-۱- تعریف سطح مقطع تیر
۸۷	۶-۶-۲- تعریف رابطه F-D برای تیر
۸۷	۶-۶-۳- افت مقاومت
۸۸	۶-۶-۴- معیارهای پذیرش برای نسبت های نیاز - ظرفیت
۸۹	۶-۶-۵- ترکیب اجزا برای ساخت تیر

۹۰	- اختصاص دادن مدل ساخته شده به عضو تیر در سازه
۹۰	- بارگذاری اعضا
۹۱	- حالت‌های حدی و نسبت‌های کاربردی
۹۲	- انواع مدل کردن ستون‌ها
۹۲	- ۱-۷-۶- مدل دوران و تری
۹۲	- ۲-۷-۶- مدل ستون با استفاده از مفهوم مفصل چرخشی
۹۴	- ۸-۶- مدل کردن ستون‌های بتن مسلح در PERFORM-3D
۹۵	- ۹-۶- مدل‌سازی غیرخطی دیوارهای برشی در PERFORM-3D
۹۵	- ۱-۹-۶- لایه‌های خمشی و برشی در المان‌های دیوار برشی
۹۶	- ۱-۹-۶-۱- لایه خمشی - محوری قائم
۹۶	- ۱-۹-۶-۲- لایه خمشی - محوری افقی
۹۶	- ۱-۹-۳- لایه برشی متداول
۹۷	- ۲-۹-۶- مشخصات و رفتار دیوار برشی
۹۸	- ۳-۹-۶- اندازه گیرهای تغییر شکل در المان دیوار برشی
۹۸	- ۴-۹-۶- طول المان در ناحیه مفصلی
۹۹	- ۵-۹-۶- بارهای المان دیوار برشی
۹۹	- ۶-۹-۶- آثار غیر خطی هندسی
۱۰۰	- ۱۰-۶- ساخت دیوار برشی غیرالاستیک ساختمان ۸ طبقه در PERFORM-3D
۱۰۰	- ۱۰-۶-۱- تعریف مصالح برای مقاطع رشتہ‌ای

۱۰۳.....	۶-۲- ساخت سطح مقطع برای دیوار برشی غیرالاستیک.....
۱۰۴.....	۶-۳- ترکیب اجزای ساخته شده دیوار برشی.....
۱۰۵.....	۶-۴- معیارهای پذیرش دیوار بتنی.....
۱۰۶.....	۶-۵- حالت‌های حدی و نسبت‌های کاربرد.....
۱۰۷.....	۶-۶- الگوهای بارگذاری جانبی سازه.....
۱۰۸.....	۶-۷- ساخت بارهای ثقلی و جانبی برای تحلیل.....
۱۰۹.....	۶-۸- انجام تحلیل بر روی سازه.....
۱۱۰.....	۶-۹- پیداکردن تغییرمکان هدف از منحنی ظرفیت سازه.....

فصل هفتم: بررسی نتایج حاصل از تحلیل غیرخطی

۱۱۴.....	۷-۱- مقدمه.....
۱۱۴.....	۷-۲- معرفی مدل‌های مورد مطالعه و تحلیل‌های غیرخطی آن‌ها.....
۱۲۲.....	۷-۳- مولفه‌های لرزه‌ای مدل‌های مورد مطالعه.....
۱۲۶.....	۷-۴- بررسی تغییرمکان هدف.....
۱۲۶.....	۷-۵- بررسی زمان تناوب مدل‌ها.....
۱۲۷.....	۷-۶- بررسی نسبت شکل‌پذیری مدل‌ها.....
۱۳۰.....	۷-۷- بررسی ضرایب شکل‌پذیری مدل‌ها.....
۱۳۳.....	۷-۸- بررسی ضرایب مقاومت افزون مدل‌ها.....
۱۳۸.....	۷-۹- بررسی ضرایب رفتار مدل‌ها.....

فصل هشتم: نتیجه‌گیری و پیشنهادات

۱۴۴.....	۱-۸ - مقدمه
۱۴۵.....	۲-۸ - نتیجه‌گیری
۱۴۷.....	۳-۸ - پیشنهادات
۱۴۸.....	فهرست منابع

فهرست شکل‌ها

صفحه

شکل ۱-۱- اندرکنش قاب-دیوار برشی: الف- دیوار در مود خمشی؛ ب- قاب در مود برشی؛ ج- تقابل قاب و دیوار.....	۵
شکل ۱-۲- مودهای خرائی در دیوار کنسول.....	۶
شکل ۱-۳- منحنی هسترسیس برای یک دیوار برشی کنسول با گسیختگی خمشی.....	۷
شکل ۱-۴- منحنی هسترسیس برای یک دیوار برشی با گسیختگی برشی.....	۷
شکل ۱-۵- رفتار لرزه‌ای ساختمان در دو قلمرو ارتجاعی و غیرارتجاعی.....	۱۴
شکل ۱-۶- رفتار نرم یا شکل پذیر ساختمان.....	۱۵
شکل ۱-۷- تغییرات نیاز شکل پذیری تغییرمکانی با تغییر در مقاومت جانبی سیستم.....	۱۸
شکل ۱-۸- طیف ارتجاعی و غیرارتجاعی با شکل پذیری ثابت.....	۱۹
شکل ۱-۹- مقایسه ضرایب کاهش بر اثر شکل پذیری.....	۲۲
شکل ۱-۱۰- تغییرات ضریب مقاومت افزون برای سیستم‌های با زمان تناوب مختلف.....	۲۳
شکل ۱-۱۱- منحنی پاسخ کلی واقعی و ایده‌آل شده سازه.....	۲۶
شکل ۱-۱۲- طیف نیروهای وارد بر سازه در دو حالت ارتجاعی و غیرارتجاعی.....	۲۸
شکل ۱-۱۳- رفتار کلی یک سازه متعارف.....	۲۸
شکل ۱-۱۴- مدل ساده شده برای سیستم یک درجه آزادی.....	۳۴
شکل ۱-۱۵- منحنی رفتار اعضای شکل پذیر.....	۳۹
شکل ۱-۱۶- منحنی رفتار عضو نیمه شکل پذیر.....	۳۹
شکل ۱-۱۷- طیف پاسخ شتاب (زلزله سان‌فرناندو ۱۹۷۱) و طیف طرح نمونه برای خاکهای مختلف.....	۴۳
شکل ۱-۱۸- منحنی ساده شده نیرو - تغییر مکان.....	۴۷
شکل ۱-۱۹- معیارهای پذیرفته شده برای اعضای اصلی و غیراصلی.....	۵۴
شکل ۱-۲۰- اعمال بارهای ثقلی و جانبی به مدل ساخته شده.....	۵۴

..... ۵۵	شکل ۷-۴- رسم منحنی ظرفیت سازه.....
..... ۵۶ شکل ۴-۸- تخمین تغییر مکان هدف از روی منحنی ظرفیت.....
..... ۵۶ شکل ۴-۹- طیف طرح ارجاعی استاندارد.....
..... ۶۲ شکل ۱-۵- شکل سه بعدی، نما و پلان در سازه ۴ طبقه توپر با پلان 12×12 متر.....
..... ۶۲ شکل ۲-۵- سطح مقطع دیوار برشی توپر در طبقات ۱ و ۲ از مدل های ۴ طبقه.....
..... ۶۲ شکل ۳-۵- سطح مقطع دیوار برشی توپر در طبقات ۳ و ۴ از مدل های ۴ طبقه.....
..... ۶۲ شکل ۴-۵- سطح مقطع دیوار برشی توخالی در طبقات ۱ و ۲ از مدل های ۴ طبقه.....
..... ۶۳ شکل ۵-۵- سطح مقطع دیوار برشی توخالی در طبقات ۳ و ۴ از مدل های ۴ طبقه.....
..... ۶۳ شکل ۶-۵- سطح مقطع ستون های پیرامونی، داخلی و کلیه تیرهای مدل های ۴ طبقه.....
..... ۶۳ شکل ۷-۵- شکل سه بعدی، نما و پلان در سازه ۸ طبقه توپر با پلان 12×12 متر.....
..... ۶۴ شکل ۸-۵- سطح مقطع دیوار برشی توپر در طبقات ۱ و ۲ از مدل های ۸ طبقه.....
..... ۶۴ شکل ۹-۵- سطح مقطع دیوار برشی توخالی در طبقات ۱ و ۲ از مدل های ۸ طبقه.....
..... ۶۴ شکل ۱۰-۵- سطح مقطع دیوار برشی توپر در طبقات ۳، ۴ و ۵ از مدل های ۸ طبقه.....
..... ۶۴ شکل ۱۱-۵- سطح مقطع دیوار برشی توخالی در طبقات ۳، ۴ و ۵ از مدل های ۸ طبقه.....
..... ۶۴ شکل ۱۲-۵- سطح مقطع دیوار برشی توپر در طبقات ۶، ۷ و ۸ از مدل های ۸ طبقه.....
..... ۶۵ شکل ۱۳-۵- سطح مقطع دیوار برشی توخالی در طبقات ۶، ۷ و ۸ از مدل های ۸ طبقه.....
..... ۶۵ شکل ۱۴-۵- سطح مقطع ستون ها در مدل های ۸ طبقه.....
..... ۶۵ شکل ۱۵-۵- سطح مقطع تیرها در مدل های ۸ طبقه.....
..... ۶۶ شکل ۱۶-۵- شکل سه بعدی، نما و پلان در سازه ۸ طبقه توپر با پلان 12×12 متر.....
..... ۶۶ شکل ۱۷-۵- سطح مقطع دیوار برشی توپر در طبقه ۱ از مدل های ۱۲ طبقه.....
..... ۶۶ شکل ۱۸-۵- سطح مقطع دیوار برشی توخالی در طبقه ۱ از مدل های ۱۲ طبقه.....
..... ۶۷ شکل ۱۹-۵- سطح مقطع دیوار برشی توپر در طبقات ۲ و ۳ از مدل های ۱۲ طبقه.....
..... ۶۷ شکل ۲۰-۵- سطح مقطع دیوار برشی توخالی در طبقات ۲ و ۳ از مدل های ۱۲ طبقه.....

..... شکل ۲۱-۵- سطح مقطع دیوار برشی توپر در طبقات ۴، ۵ و ۶ از مدل‌های ۱۲ طبقه.	۶۷
..... شکل ۲۲-۵- سطح مقطع دیوار برشی توخالی در طبقات ۴، ۵ و ۶ از مدل‌های ۱۲ طبقه	۶۷
..... شکل ۲۳-۵- سطح مقطع دیوار برشی توپر در طبقات ۷، ۸ و ۹ از مدل‌های ۱۲ طبقه	۶۷
..... شکل ۲۴-۵- سطح مقطع دیوار برشی توخالی در طبقات ۷، ۸ و ۹ از مدل‌های ۱۲ طبقه	۶۸
..... شکل ۲۵-۵- سطح مقطع دیوار برشی توپر در طبقات ۱۰، ۱۱ و ۱۲ از مدل‌های ۱۲ طبقه	۶۸
..... شکل ۲۶-۵- سطح مقطع دیوار برشی توخالی در طبقات ۱۰، ۱۱ و ۱۲ از مدل‌های ۱۲ طبقه	۶۸
..... شکل ۲۷-۵- سطح مقطع ستون‌ها در مدل‌های ۱۲ طبقه	۶۸
..... شکل ۲۸-۵- سطح مقطع تیرها در مدل‌های ۱۲ طبقه	۶۸
..... شکل ۲۹-۵- پلان و نمای سازه مورد مطالعه با خروج از مرکزیت٪/۱۰	۶۹
..... شکل ۳۰-۵- پلان و نمای سازه مورد مطالعه با خروج از مرکزیت٪/۲۰	۷۰
..... شکل ۱-۶- نمای سه‌بعدی سازه ۸ طبقه با تکیه‌گاه‌های گیردار	۷۸
..... شکل ۲-۶- نحوه اعمال جرم طبقات و صلب کردن سقف طبقات در مدل‌های سه‌بعدی	۷۹
..... شکل ۳-۶- رابطه سه‌خطی با افت مقاومت	۸۰
..... شکل ۴-۶- قرارداد علامت‌ها در تیرها	۸۱
..... شکل ۵-۶- مفصل پلاستیک صلب	۸۲
..... شکل ۶-۶- مفصل پلاستیک انحنایی	۸۲
..... شکل ۷-۶- سهم تغییرشکل پلاستیک تیر از کل تغییرشکل تیر	۸۳
..... شکل ۸-۶- مدل دوران وتری	۸۳
..... شکل ۹-۶- مدل دوران وتری در PERFORM-3D	۸۴
..... شکل ۱۰-۶- مدل مفصل پلاستیک	۸۴
..... شکل ۱۱-۶- اختصاص سطح مقطع و محاسبه مشخصات سختی	۸۶
..... شکل ۱۲-۶- رابطه بار - تغییرشکل کلی برای اجزای بتنی	۸۷
..... شکل ۱۳-۶- رابطه F-D برای تیر	۸۷
..... شکل ۱۴-۶- افت مقاومت در تیر	۸۸
..... شکل ۱۵-۶- تفاوت افت مقاومت با PERFORM با FEMA356	۸۸

۸۹	۱۶-۶- معیارهای پذیرش برای تیر در نمودار F-D.....
۸۹	۱۷-۶- معیارهای پذیرش در تیر.....
۸۹	شکل ۱۸-۶- ترکیب اجزا برای ساخت تیرغیرخطی.....
۹۰	شکل ۱۹-۶- اختصاص مختصات محلی به یک گروه تیر.....
۹۱	شکل ۲۰-۶- بارگذاری اعضا.....
۹۱	شکل ۲۱-۶- اختصاص حالت‌های حدی و نسبت‌های کاربردی.....
۹۳	شکل ۲۲-۶- سطح اندرکنش P-M-M در مقاطع بتنی.....
۹۴	شکل ۲۳-۶- اندرکنش نیروی محوری - لنگر خمشی.....
۹۴	شکل ۲۴-۶- محاسبه سختی ستون از سطح مقطع.....
۹۴	شکل ۲۵-۶- رابطه F-D برای ستون.....
۹۴	شکل ۲۶-۶- معیارهای پذیرش برای ستون.....
۹۵	شکل ۲۷-۶- لایه‌های موازی برای ساخت دیوار برشی.....
۹۷	شکل ۲۸-۶- تغییرشکل‌های درون صفحه‌ای المان‌های دیوار برشی.....
۱۰۰	شکل ۲۹-۶- مشخصات مصالح بتنی غیرخطی.....
۱۰۱	شکل ۳۰-۶- نمودار تنش- کرنش و معیارهای پذیرش در بتن.....
۱۰۱	شکل ۳۱-۶- مشخصات مصالح فولاد غیرخطی بدون کمانش.....
۱۰۱	شکل ۳۲-۶- نمودار تنش- کرنش و معیارهای پذیرش در فولاد.....
۱۰۲	شکل ۳۳-۶- مشخصات مصالح برشی خطی.....
۱۰۳	شکل ۳۴-۶- معادل‌سازی سطح مقطع با المان‌های رشتهدی.....
۱۰۳	شکل ۳۵-۶- سطح مقطع دیوار طبقه اول.....
۱۰۴	شکل ۳۶-۶- ساخت سطح مقطع دیوار برشی با مقاطع رشتهدی.....
۱۰۴	شکل ۳۷-۶- ترکیب اجزا ساخته شده برای دیوار برشی.....
۱۰۵	شکل ۳۸-۶- شکل معیارهای پذیرش دیوار برشی.....
۱۰۵	شکل ۳۹-۶- نحوه اختصاص دادن کرنش‌سنجهای به دیوار برشی.....
۱۰۶	شکل ۴۰-۶- تعریف حالت حدی و نسبت نیاز - ظرفیت برای دیوار برشی.....

..... ۱۰۷	شکل ۶-۴۱- طیف ۲۸۰۰ برای الگوی بار طیفی
..... ۱۰۷ شکل ۶-۴۲- مقایسه شکل الگوی بار جانبی در مدل ۸ طبقه
..... ۱۰۸ شکل ۶-۴۳- تعریف الگوی بار مودی با سه مود اول
..... ۱۰۸ شکل ۶-۴۴- کران بالای بارهای ثقلی برای تحلیل
..... ۱۰۹ شکل ۶-۴۵- ایجاد بارگذاری مثلثی برای پوش سازه
..... ۱۰۹ شکل ۶-۴۶- ساخت یک سری تحلیل برای سازه
..... ۱۱۰ شکل ۶-۴۷- اعمال میرایی به سازه
..... ۱۱۰ شکل ۶-۴۸- ترتیب مراحل بارگذاری برای تحلیل
..... ۱۱۱ شکل ۶-۴۹- معرفی طیف نیاز با میرایی‌های مختلف
..... ۱۱۲ شکل ۶-۵۰- تعیین تغییرمکان هدف بر روی منحنی ظرفیت سازه
..... ۱۱۲ شکل ۶-۵۱- ترتیب تشکیل مفاصل پلاستیک در تغییرمکان هدف
..... ۱۱۶ شکل ۶-۱- منحنی ظرفیت مدل‌های دارای دیوار برشی توخالی
..... ۱۱۶ شکل ۶-۲- منحنی ظرفیت مدل‌های دارای دیوار برشی توپر
..... ۱۱۶ شکل ۶-۳- منحنی ظرفیت دیوار برشی توپر در الگوی بار UNI-1,2
..... ۱۱۶ شکل ۶-۴- منحنی ظرفیت دیوار برشی توپر در الگوی بار TRI-1,2
..... ۱۱۶ شکل ۶-۵- منحنی ظرفیت دیوار برشی توخالی در الگوی بار UNI-1,2
..... ۱۱۶ شکل ۶-۶- منحنی ظرفیت دیوار برشی توخالی در الگوی بار TRI-1,2
..... ۱۱۷ شکل ۶-۷- منحنی ظرفیت دیوار برشی توپر و توخالی در الگوی بار UNI1U
..... ۱۱۷ شکل ۶-۸- منحنی ظرفیت دیوار برشی توپر و توخالی در الگوی بار TRI
..... ۱۱۷ شکل ۶-۹- منحنی ظرفیت، دیوار توپر و توخالی با الگوی H1 TRI 20%
..... ۱۱۷ شکل ۶-۱۰- منحنی ظرفیت، دیوار توپر و توخالی با الگوی TRI 10% H1
..... ۱۱۷ شکل ۶-۱۱- منحنی ظرفیت، دیوار توپر و توخالی با الگوی H2 TRI 20% H1
..... ۱۱۷ شکل ۶-۱۲- منحنی ظرفیت، دیوار توپر و توخالی با الگوی TRI 10% H2 H1
..... ۱۱۸ شکل ۶-۱۳- منحنی ظرفیت، مدل توپر و توخالی با الگوی UNI H1 20%
..... ۱۱۸ شکل ۶-۱۴- منحنی ظرفیت، دیوار توپر و توخالی با الگوی UNI H1 H1 10%

- شکل ۷-۱۵- منحنی ظرفیت، دیوار توپر و توحالی با الگوی H2 UNI 20% ۱۱۸
- شکل ۷-۱۶- منحنی ظرفیت، مدل توپر و توحالی با الگوی H2 UNI 10% ۱۱۸
- شکل ۷-۱۷- ظرفیت دیوار توپر در جهت H1 و H2 با الگوی 20% ۱۱۸
- شکل ۷-۱۸- ظرفیت دیوار توپر در جهت H1 و H2 با الگوی 10% ۱۱۸
- شکل ۷-۱۹- ظرفیت دیوار توپر در جهت H1 و H2 با الگوی 20% ۱۱۹
- شکل ۷-۲۰- ظرفیت دیوار توپر در جهت H1 و H2 با الگوی 10% ۱۱۹
- شکل ۷-۲۱- ظرفیت دیوار توحالی در جهت H1 و H2 با الگوی 20% ۱۱۹
- شکل ۷-۲۲- ظرفیت دیوار توحالی در جهت H1 و H2 با الگوی 10% ۱۱۹
- شکل ۷-۲۳- ظرفیت دیوار توحالی در جهت H1 و H2 با الگوی 20% ۱۱۹
- شکل ۷-۲۴- ظرفیت دیوار توحالی در جهت H1 و H2 با الگوی 10% ۱۱۹
- شکل ۷-۲۵- مقایسه تغییرمکان هدف برای مدل با دیوار توپر و توحالی ۱۲۶
- شکل ۷-۲۶- مقایسه زمان تناوب مدل دیوار توپر با دیوار توحالی در H2 ۱۲۷
- شکل ۷-۲۷- مقایسه زمان تناوب مدل دیوار توپر با دیوار توحالی در H1 ۱۲۷
- شکل ۷-۲۸- محاسبه نسبت شکل پذیری از روی منحنی دوخطی ۱۲۸
- شکل ۷-۲۹- نمودار نسبت شکل پذیری کران پایین و الگوی مثلثی در H1 ۱۲۸
- شکل ۷-۳۰- نمودار نسبت شکل پذیری کران بالا و الگوی مثلثی در H1 ۱۲۸
- شکل ۷-۳۱- نمودار نسبت شکل پذیری کران بالا و الگوی یکنواخت در H1 ۱۲۹
- شکل ۷-۳۲- نمودار نسبت شکل پذیری کران بالا و الگوی مثلثی در H2 ۱۲۹
- شکل ۷-۳۳- میانگین نسبت‌های شکل پذیری ۱۲۹
- شکل ۷-۳۴- نمودار نسبت شکل پذیری کران بالا و الگوی یکنواخت در H2 ۱۲۹
- شکل ۷-۳۵- نمودار ضریب شکل پذیری دیوار توپر و توحالی با الگوی H2 TRI ۱۳۱
- شکل ۷-۳۶- نمودار ضریب شکل پذیری دیوار توپر و توحالی با الگوی H1 TRI ۱۳۱
- شکل ۷-۳۷- نمودار ضریب شکل پذیری دیوار توپر و توحالی با الگوی H2 UNI ۱۳۱
- شکل ۷-۳۸- نمودار ضریب شکل پذیری دیوار توپر و توحالی با الگوی H1 UNI ۱۳۱
- شکل ۷-۳۹- نمودار میانگین ضریب شکل پذیری، مدل با دیوار توحالی ۱۳۱

۱۳۱-۷-نمودار میانگین ضریب شکل پذیری، مدل با دیوار توپر.....

۱۳۲-۷-نمودار ضریب مقاومت افزون برای مدل های H1 TRI 2- H1 TRI

۱۳۳-۷-نمودار ضریب مقاومت افزون برای مدل های H1 TRI 1- H1 TRI

۱۳۴-۷-نمودار ضریب مقاومت افزون برای مدل های H2 TRI 2- H2 TRI

۱۳۵-۷-نمودار ضریب مقاومت افزون برای مدل های H2 TRI 1- H2 TRI

۱۳۶-۷-نمودار ضریب مقاومت افزون برای مدل های H1 UNI 2- H1 UNI

۱۳۷-۷-نمودار ضریب مقاومت افزون برای مدل های H1 UNI 1- H1 UNI

۱۳۸-۷-نمودار ضریب مقاومت افزون برای مدل های H2 UNI 2- H2 UNI

۱۳۹-۷-نمودار ضریب مقاومت افزون برای مدل های H2 UNI 1- H2 UNI

۱۴۰-۷-نمودار میانگین ضریب مقاومت افزون مدل های با الگوی f 2- f

۱۴۱-۷-نمودار میانگین ضریب مقاومت افزون مدل های با الگوی f 1- f

۱۴۲-۷-نمودار ضریب مقاومت افزون برای مدل های H1 UNI 2- H1 UNI

۱۴۳-۷-نمودار ضریب مقاومت افزون برای مدل های H1 UNI 1- H1 UNI

۱۴۴-۷-نمودار ضریب مقاومت افزون برای مدل های H2 UNI 2- H2 UNI

۱۴۵-۷-نمودار ضریب مقاومت افزون برای مدل های H2 UNI 1- H2 UNI

۱۴۶-۷-نمودار ضریب مقاومت افزون برای مدل های H1 UNI 2- H1 UNI

۱۴۷-۷-نمودار ضریب مقاومت افزون برای مدل های H1 UNI 1- H1 UNI

۱۴۸-۷-نمودار ضریب مقاومت افزون برای مدل های H2 UNI 2- H2 UNI

۱۴۹-۷-نمودار میانگین ضریب مقاومت افزون مدل های با الگوی h 2- h

۱۵۰-۷-نمودار میانگین ضریب مقاومت افزون مدل های با الگوی h 1- h

۱۵۱-۷-نمودار میانگین ضریب مقاومت افزون مدل های با الگوی h 2- h

۱۵۲-۷-نمودار میانگین ضریب مقاومت افزون مدل های با الگوی h 1- h

۱۵۳-۷-نمودار ضریب رفتار برای مدل های H1 TRI 2- H1 TRI

۱۵۴-۷-نمودار ضریب رفتار برای مدل های H1 TRI 1- H1 TRI

۱۵۵-۷-نمودار ضریب رفتار برای مدل های H2 TRI 2- H2 TRI

۱۵۶-۷-نمودار ضریب رفتار برای مدل های H2 TRI 1- H2 TRI

۱۵۷-۷-نمودار ضریب رفتار برای مدل های H1 UNI 2- H1 UNI

۱۵۸-۷-نمودار ضریب رفتار برای مدل های H1 UNI 1- H1 UNI

۱۵۹-۷-نمودار ضریب رفتار برای مدل های H2 UNI 2- H2 UNI

۱۶۰-۷-نمودار ضریب رفتار برای مدل های H2 UNI 1- H2 UNI

۱۶۱-۷-نمودار میانگین ضریب رفتار مدل های با الگوی f 2- f

۱۶۲-۷-نمودار میانگین ضریب رفتار مدل های با الگوی f 1- f

۱۶۳-۷-نمودار میانگین ضریب رفتار مدل های با الگوی h 2- h

۱۶۴-۷-نمودار میانگین ضریب رفتار مدل های با الگوی h 1- h

فهرست جداول

صفحه

جدول ۳-۱- ضرایب پیشنهادی کراوینکلر و نصر برای محاسبه.....	۲۰
جدول ۴-۱- مقدار تقریبی ضریب اصلاح سیستم C_0	۴۸
جدول ۴-۲- تعیین T_s و T_0	۴۹
جدول ۴-۳- مقادیر ضریب جرم موثر C_m	۵۰
جدول ۴-۴- تعیین A براساس جدول ۲ آییننامه ۲۸۰۰.....	۵۱
جدول ۴-۵- مقادیر ضریب C_2	۵۱
جدول ۴-۶- ضریب آگاهی.....	۵۳
جدول ۵-۱- مشخصات مصالح به کار رفته در مدل‌های مورد مطالعه.....	۶۱
جدول ۷-۱- مقادیر مولفه‌های لرزه‌ای مدل‌های ۴ طبقه با دیوار توپر.....	۱۲۳
جدول ۷-۲- مقادیر مولفه‌های لرزه‌ای مدل‌های ۴ طبقه با دیوار توخالی.....	۱۲۳
جدول ۷-۳- مقادیر مولفه‌های لرزه‌ای مدل‌های ۸ طبقه با دیوار توپر.....	۱۲۴
جدول ۷-۴- مقادیر مولفه‌های لرزه‌ای مدل‌های ۸ طبقه با دیوار توخالی.....	۱۲۴
جدول ۷-۵- مولفه‌های لرزه‌ای برای مدل ۱۲ طبقه توپر.....	۱۲۵
جدول ۷-۶- مولفه‌های لرزه‌ای برای مدل ۱۲ طبقه توخالی.....	۱۲۵
جدول ۷-۷- میانگین ضریب شکل‌پذیری برای دیوار برشی توپر و توخالی.....	۱۳۳
جدول ۷-۸- میانگین ضریب مقاومت افزون برای دیوار برشی توپر و توخالی.....	۱۳۷
جدول ۷-۹- میانگین ضریب رفتار برای دیوار برشی توپر و توخالی.....	۱۴۲

فصل اول

کلیات و آشنایی با سیستم های قاب خمثی و دیوار

۱-۱ مقدمه

رشد جمعیت و کمبود فضای شهری از جمله عواملی هستند که ساخت سازه‌های بلند مرتبه را توجیه می‌کنند. به نسبت ارتفاع ساختمان میزان بار جانبی وارد شده به آن هم افزایش می‌یابد. دیوار برشی بتی یکی از سیستم‌های سازه‌ای مناسب برای تحمل بارهای جانبی می‌باشد. با این‌که سازه‌های دیوار برشی در گذشته، از فولاد کمتر از مقدار توصیه شده توسط آئین‌نامه‌های فعلی آمریکا برخوردار بوده‌اند، اما در برابر زلزله‌های پیشامده به خوبی مقاومت کرده‌اند. البته این دلیل بر عدم مقاومت سازه‌های قابی طرح شده به روش‌های جدید، در برابر زلزله نمی‌باشد، بلکه هدف نمایش قابلیت بالای دیوارهای برشی حتی در صورت آرماتورگذاری با شیوه‌های قدیمی و غیر علمی است. از معایب دیوار برشی بتی می‌توان به امکان شکست برشی در صورت عدم طراحی مناسب، درجات نامعینی کم و شکل‌پذیری کم در صورت عدم طراحی ویژه اشاره کرد[۱].

با تغییر در هندسه دیوار برشی و مجوف کردن آن با همان حجم بتن می‌توان به دیوار برشی دست یافت که تا حدودی بعضی از این ضعف‌ها را بر طرف کند علاوه بر آن‌که مقاومت پیچشی و عایق بودن آن در مقابل صدا و حرارت هم افزایش یافته می‌یابد[۲]. در این پایان‌نامه با استفاده از نرم‌افزار ETABS مدل‌های ۴ طبقه، ۸ طبقه و ۱۲ طبقه را براساس آئین‌نامه‌های موجود طراحی می‌کنیم و به عنوان مدل اولیه برای تحلیل غیرخطی در نرم‌افزار قدرتمند PERFORM-3D که امکان

تحلیل غیرخطی دیوار برشی و قاب خمشی را می‌دهد، در نظر می‌گیریم. مدل‌های سه‌بعدی ساخته شده را سپس با تحلیل استاتیکی غیرخطی (pushover) پوش می‌دهیم و مؤلفه‌های لرزه‌ای مدل‌های توپر با الگوهای بارگذاری جانبی و ثقلی مختلف را با مدل‌های دیوار برشی توانی شده با همان حجم بتن را مقایسه می‌کنیم. سیستم سازه‌ای مدل‌ها، سیستم قاب خمشی با دیوار برشی است که در آن دیوارهای برشی بارهای ثقلی را هم تحمل می‌کنند. سیستم باربری کف هم از نوع دال دو طرفه است.

از امتیازات این پایان نامه می‌توان به موارد زیر اشاره کرد:

- استفاده از نرم افزار قدرتمند PERFORM-3D برای طراحی براساس عملکرد
- مدل‌سازی دیوار برشی به همراه تیر و ستون
- استفاده از چهار الگوی بارگذاری به جای دو الگوی بارگذاری
- تحلیل پوش آور مودال با سه مود اول برای در نظر گرفتن اثرات مودهای بالاتر سازه
- بررسی لرزه‌ای کامل دیوار برشی توانی برای اولین بار
- تعیین ضریب رفتار قاب خمشی متوسط با دیوار برشی و مقایسه آن با دیوار برشی تو خالی

۲-۱- ضرورت انجام این پایان نامه

در تهیه مقررات لرزه‌ای ساختمان‌ها مهمترین و بحث برانگیزترین بخش، در اختیار داشتن ضرایب رفتار است. این ضرایب با وجود وظیفه یکسان در آیین‌نامه‌ها و مقررات ساختمانی مختلف، با نامها و مقادیر عددی متفاوتی شناخته می‌شوند. ضرایب رفتار موجود در آیین‌نامه طراحی ساختمان‌ها در برابر زلزله (استاندارد ۲۸۰۰ ایران)، بر مبنای قضاوت مهندسی ارائه شده و دارای کاستی‌هایی است که برخی از آنها به شرح زیر است^[۳]:

- برای سیستم‌های سازه‌ای، از یک نوع با ارتفاع‌ها و زمان‌های تناوب ارتعاش متفاوت، از ضرایب رفتار متفاوتی استفاده شده است.

- در ضریب رفتار (R)، تاثیر شکل پذیری، مقاومت افزون به صراحت نیامده است.
- اثر لرزه‌خیزی در R لحاظ نشده است.
- اثر شرایط خاک در R لحاظ نشده است.

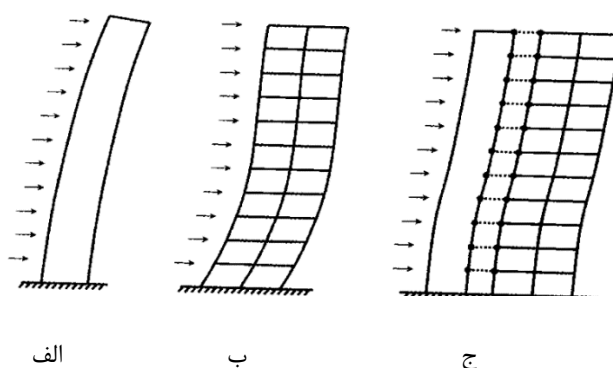
با وجود این که ضریب رفتار تعیین شده در آیین‌نامه‌های لرزه‌ای دربر گیرنده رفتار هیسترتیک، شکل پذیری، مقاومت افزون، میرایی و ظرفیت استهلاک انرژی است، مقادیر این ضرایب در آیین‌نامه‌های زلزله، اصولاً براساس مشاهدات عملکرد سیستم‌های ساختمانی مختلف، در زلزله‌های قوی گذشته، بر مبنای قضاوت مهندسی است. بر این اساس، پژوهشگران زیادی نگرانی خود را از بابت فقدان وجود ضرایب رفتار معقول و مبتنی بر مطالعات تحقیقاتی و پشتونه محاسباتی در آیین‌نامه‌های زلزله، بیان داشتند و بر اصلاح این ضرایب براساس مطالعات علمی، تاکید کردند [۳].

هدف از این پایان‌نامه، پیدا کردن مولفه‌های سازه‌های لرزه‌ای دارای سیستم دوگانه قاب خمشی بتنی متوسط با دیوار برشی بتنی است، که با ثابت ماندن محل دیوار برشی در پلان، ارتفاع سازه تغییر می‌کند. در کنار این، برای این که دیوارهای برشی سختی فوق العاده زیادی دارند و در صورت رعایت نکردن ضوابط شکل پذیری باعث رفتار تردی در سازه می‌شوند، مقداری از بتن میانی دیوار را برمی‌داریم و به همان مقدار به ابتدا و انتهای دیوار اضافه می‌کنیم و با همان مقدار آرماتور گذاری، مولفه‌های لرزه‌ای را برای این سازه جدید محاسبه می‌کنیم.

۱-۳-۳- عملکرد سیستم قاب خمشی و دیوار برشی

دیوار برشی به صورت یک تیر کنسول عمل می‌کند و با ایجاد تغییر شکل‌های برشی خمشی تحمل برش می‌کند. سازه با دیوار برشی برای ساختمان‌های بین ۳۰ تا ۴۰ طبقه، اقتصادی به نظر می‌رسد. در ساختمان‌های بلندتر تنש‌های ناشی از بار باد و زلزله باعث می‌شود که ضخامت دیوار بسیار زیاد شود و این کارایی و اقتصادی بودن سیستم را کاهش می‌دهد. علاوه بر دیوار برشی از

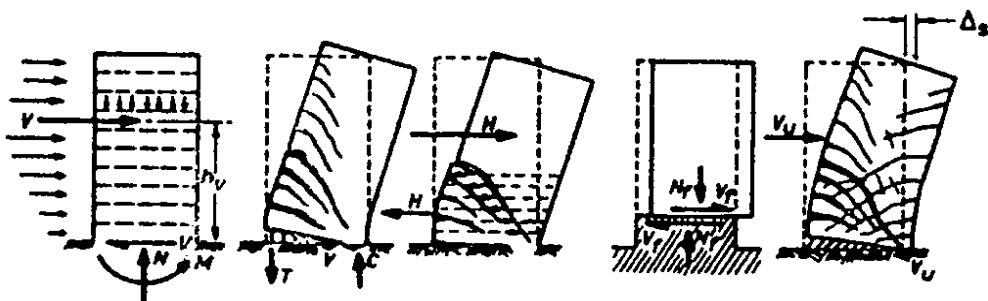
سیستم‌های «قاب خمشی» و سیستم دوگانه «قاب خمشی و دیوار برشی» نیز برای مقابله با نیروهای جانبی موثر بر یک سازه بتن مسلح استفاده می‌شود [۴]. استفاده از قاب خمشی به عنوان عنصر مقاوم در برابر نیروهای جانبی، به خصوص اگر در اثر زلزله باشد نیاز به رعایت جزئیات خاصی دارد تا شکل پذیری کافی، قاب را تأمین کند. در صورت ترکیب قاب خمشی با دیوار برشی مؤثرترین عنصر مقاوم در برابر نیروهای زلزله بدست می‌آید. در این حالت، می‌توان از کارایی قاب برای جذب بارهای قائم و از کارایی دیوار برشی برای جذب نیروی جانبی زلزله با انتقال جانبی ناچیز استفاده کرد [۲]. استاندارد ۲۸۰۰ ایران، استفاده از سیستم قاب خمشی ویژه و دیوار برشی را تا حداقل ۲۰۰ متر و سیستم دوگانه قاب خمشی متوسط و دیوار برشی را تا حداقل ۷۰ متر برای مناطق با خطر نسبی زیاد زلزله محدود می‌کند. هنگامی که قاب و دیوار برشی با هم در تحمل نیروهای جانبی نقش دارند دیوار در بالا تغییرمکان بیشتری نسبت به قاب دارد و برای همین قاب در بالا، مانع از آن است که دیوار تغییرمکان زیادی بدهد و عکس این رفتار در پایین سازه رخ می‌دهد یعنی دیوار با اعمال نیرو به قاب مانع از تغییرشکل زیاد آن می‌شود. این امر باعث می‌شود که در طبقات پایین اکثر نیروی برشی توسط دیوار برشی و در طبقات بالا اکثر نیروی برشی توسط قاب تحمل می‌شود. به طور کلی، قاب در مود برشی تغییرشکل می‌دهد و دیوار برشی بر خلاف اسمش در مود خمشی تغییرشکل می‌دهد [۲].



شکل ۱-۱- اندرکنش قاب-دیوار برشی: الف- دیوار در مود خمشی؛ ب- قاب در مود برشی؛ ج- تقابل قاب و دیوار [۲]

۱-۴-۱- مدهای خرابی دیوار برشی

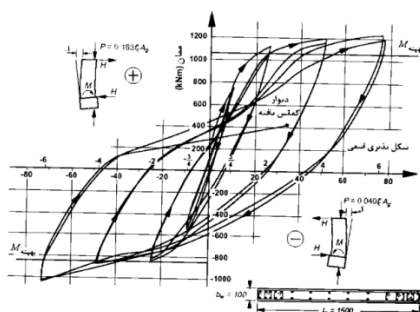
حالات خرابی دیوارهای برشی عبارت است از خرابی در خمش، خرابی در برش، خرابی در لغش و ضعف در شالوده. در طراحی دیوارهای برشی شکل پذیر باید به این نکته توجه کرد، که تسلیم خمشی در ناحیه مفصل پلاستیک، مقاومت و تغییر شکل ارتجاعی و استهلاک انرژی را در سازه کنترل کند و نباید اجازه داده شود که مکانیزم‌های خرابی ترد یا با شکل پذیری محدود در دیوار تشکیل شود [۱].



شکل ۱-۴-۱- مدهای خرابی در دیوار کنسول [۱]

۱-۴-۱- خرابی در خمش

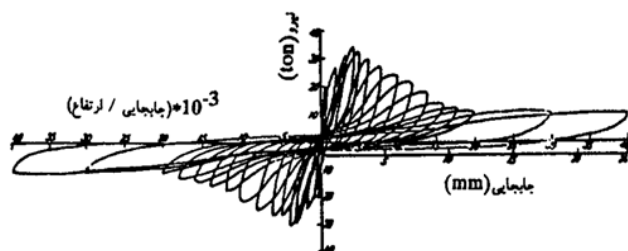
در این حالت عکس العمل دینامیکی در برابر زلزله بیشتر با عامل لنگر خمشی است و نیروهای جانبی در امتداد پهنهای بلند (بعد بزرگ پلان) عمل می‌کنند و مفصل پلاستیک در مقطع پای دیوار تشکیل می‌شود. نکته قابل توجه این‌که، مقطع بحرانی مفصل پلاستیک محل برش حداکثر هم است. ارتفاعی از دیوار که در آن جاری شدن اتفاق می‌افتد (مقطع مفصل پلاستیک)، در حدود یک تا یک و نیم برابر پهنهای دیوار است، که باید به عنوان مقطع بحرانی به خوبی فولادگذاری شود، مخصوصاً فولادگذاری برشی کافی در آن موجود باشد [۱].



شکل ۱-۳- منحنی هسترسیس برای یک دیوار برشی کنسول با گسیختگی خمشی [۱]

۲-۴-۱- خرابی در برش

دیواری که برای لنگر خمشی طراحی شده در حالت بحرانی شدیداً به مقدار برش موجود در مقطع پلاستیک بستگی دارد. بارهای جانبی تعیین شده توسط آیین نامه‌های محاسباتی که به صورت استاتیکی داده می‌شوند، برآورد خرابی ناشی از نیروی برشی نبوده و تضمین کافی برای جلوگیری از خرابی برشی در زلزله‌های شدید نمی‌باشد. چون اصل بر این است که خرابی برشی زودتر از خرابی خمشی به وجود نیاید. در حالت بحرانی حداکثر ظرفیت خمشی در مقطع پای دیوار به کار گرفته می‌شود و در همین مقطع نیروی برشی نظیر هم اثر می‌کند. نیروی برشی نظیر تابعی از ارتفاع نقطه اثر منتجه نیروهای اینرسی جانبی می‌باشد. آیین نامه‌های محاسباتی برای این نیروها شکل توزیع مثلثی را در ارتفاع ساختمان توصیه می‌کنند، که در واقع عبارت است از فرض تغییرات خطی برای شتاب طبقات بر حسب ارتفاع آن‌ها تا پای ساختمان [۱].



شکل ۱-۴- منحنی هسترسیس برای یک دیوار برشی با گسیختگی برشی [۱]

۱-۴-۳- خرابی در لغزش

در دیوارهای برشی طرهای شکل، این نوع خرابی ممکن است در دو محل رخ دهد. یکی در محاذات درزهای افقی که خود تابع عوامل اجرایی عملیاتی است، که در آماده ساختن فصل مشترک درز در بتن ریزی به عمل آمده است و دیگری در منطقه مفصل پلاستیک است، که عموماً بلا فاصله در بالای شالوده قرار می‌گیرد (در ارتفاعی معمولاً نصف طول دیوار برشی). احتمال لغزش برشی غالباً وقتی مطرح است که بارهای محوری فشاری حاصل از ثقل روی دیوار سبک باشد. برای جلوگیری از لغزش در محاذات درزهای ساخت باید از فولاد دوخت هم استفاده کرد [۱].

۱-۴-۴- ضعف در شالوده

باید دقت کرد که لنگر واژگونی منتقل شده از دیوار برشی به شالوده باعث اشکالاتی در شالوده نشود. چنین حالتی خود اشکالات دیگری را در ادامه ایجاد خواهد کرد و باید با تجدید نظر در طرح اولیه، ابعاد سازه و پراکندگی دیوارهای برشی آن را رفع کرد. یکی از راههای بالارانش که عموماً به عنوان آخرین راه در نظر گرفته می‌شود، استفاده از چاه کششی (شمع) زیر فنداسیون است [۱].

فصل دوم

تاریخچه انجام شده بر روی ساختمان های
دارای دیوار پر شی توحی

۱-۲- تاریخچه انجام شده بر روی ساختمان‌های دارای دیوار برشی توخالی

یکی از مشکلات دیوارهای برشی بتنی عدم شکل‌پذیری مناسب است. اگر بتوان با همان حجم بتن دیوار توپر، یک دیوار برشی توخالی ساخت، که دارای ممان اینرسی بیشتری باشد، لنگر خمشی بیشتری را در هر دو جهت تحمل می‌کند، که منجر به تحمل درصد بیشتری از بارهای جانبی عمود وارد بر دیوار می‌شود. اگر شکل‌پذیری این دیوارها بیشتر شود، خود منجر به افزایش ضریب رفتار سازه خواهد شد. همچنین، توخالی بودن آن یک مقطع قوطی پدید می‌آورد که در مقابل پیچش، مقاومت خیلی بیشتری خواهد داشت [۲].

به علت جدید بودن این شیوه تاکنون تحقیقات چندانی بر روی آن انجام نگرفته است، و امکان کار زیادی بر روی آن وجود دارد. تنها تحقیق صورت گرفته در این مورد، توسط نرم‌افزاری، قلعه‌نوی و اژدری مقدم در سال ۱۳۸۸ و در دانشگاه کرمان صورت گرفته است. دیوار برشی توپر مورد مطالعه، به طول و عرض ۴۰۰ سانتی‌متر و به ضخامت ۲۰ سانتی‌متر بوده است، برای مدل توخالی، دو دیوار ۱۰ سانتی‌متری به فاصله ۱۰ سانتی‌متری از هم قرار گرفته‌اند. در اطراف دیوار برشی، تیر و ستون بتنی وجود داشته است [۲].

آن‌ها، علاوه بر دیوار برشی توخالی، دیوار برشی توخالی با سخت‌کننده‌های عرضی و طولی را هم درست کردند، تا تاثیر سخت‌کننده‌ها را بر مولفه‌های لرزه‌ای محاسبه کنند. جهت ساخت مدل

رایانه‌ای، از المان‌های صلب سه‌بعدی در نرم‌افزار SAP2000 استفاده شده است. سپس ارتعاش آزاد و تحلیل طیفی تعدادی از مدل‌های توپر و توحالی مورد مطالعه قرار گرفته و زمان تناوب و تغییر شکل‌های دیوار بر روی آن‌ها با هم مقایسه شده است[۲].

فصل سوم

معرفی و روش‌های تعیین ضریب رفتار در سازه‌های

۱-۳ - مقدمه

هدف اصلی در طراحی لرزه‌ای ساختمان‌ها بر این مبنای است که رفتار ساختمان در برابر نیروهای ناشی از زلزله‌های کوچک بدون خسارت و در محدوده خطی مانده، و در مقابل نیروهای ناشی از زلزله‌های شدید، ضمن حفظ پایداری خود خسارت‌های سازه‌ای و غیرسازه‌ای را تحمل کند. به همین دلیل مقاومت لرزه‌ای که در آیین‌نامه‌های طراحی در برابر زلزله مورد نظر است، عموماً کمتر و در خیلی موارد، خیلی کمتر از مقاومت جانبی مورد نیاز برای حفظ پایداری سازه در محدوده ارتجاعی، در یک زلزله شدید است[۳].

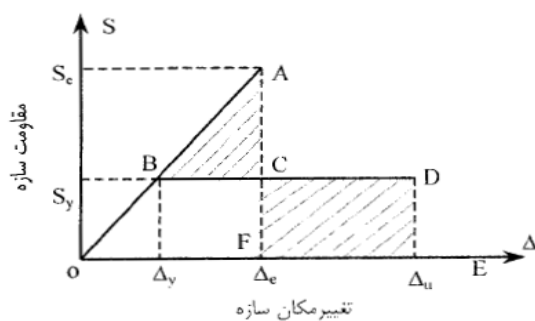
بنابراین، رفتار سازه‌ها هنگام رخدادن زلزله‌های متوسط و بزرگ وارد محدوده غیرارتجاعی می‌شود و برای آن‌ها نیاز به یک تحلیل غیرخطی است، ولی به دلیل پر هزینه بودن این روش و عدم گستردگی برنامه‌های غیرخطی و از سوی دیگر به دلیل سهولت روش خطی، روش‌های تحلیل و طراحی متداول، براساس تحلیل خطی سازه و با نیروی کاهش یافته زلزله صورت می‌گیرد. کاهش مقاومت سازه از مقاومت ارتجاعی مورد نیاز عموماً با استفاده از ضرایب کاهش مقاومت انجام می‌گیرد. بدین منظور آیین‌نامه‌های طراحی لرزه‌ای کنونی با شیوه ذکر شده، نیروهای لرزه‌ای برای طراحی ارتجاعی، ساختمان را از یک طیف خطی که وابسته به زمان تناوب طبیعی ساختمان و شرایط خاک محل احداث ساختمان است، به دست می‌آورند و برای ملاحظه کردن اثر غیرارتجاعی و اتلاف

انرژی بر اثر رفتار هیسترتیک، میرایی و مقاومت افزون سازه، این نیروی ارجاعی را به وسیله ضریب کاهش مقاومت (ضریب رفتار) به نیروی طراحی تبدیل می‌کنند [۳].

در تفسیر مقررات NEHRP مربوط به سال‌های ۱۹۹۷ و ۲۰۰۰ (FEMA 303, FEMA 369)،

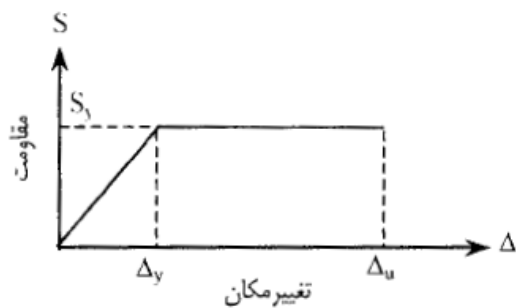
بر تجربی بودن ضرایب کاهش نیرو تأکید شده است [۳]. در اغلب آیین‌نامه‌های طراحی لرزه‌ای، مطلبی ناظر بر محاسبه این ضرایب و مقادیر ارائه شده در آن‌ها نیز بر مبنای قضاوت مهندسی، تجربه و مشاهده عملکرد ساختمان‌ها در زلزله‌های گذشته و چشم‌پوشی از تراز مقاومت افزون آن‌ها استوار است [۵]. از این‌رو، و با توجه به مطالب فوق، ارزیابی ضرایب رفتار و بررسی ارتباط بین پارامترهای مؤثر در آن برای سازه‌هایی که مطابق آیین‌نامه‌ها طراحی می‌شوند، اهمیت ویژه‌ای دارد. گرایش آیین‌نامه‌ها در سال‌های اخیر، بر شفاف سازی میزان تأثیر عوامل یاد شده در ضریب رفتار دارد [۳].

اگر اثر عوامل یا پدیده‌های رفتار لرزه‌ای ساختمان‌ها به صورت کمی شناسایی و در روش تحلیل به کار برد شود، دقت روش تحلیل و تطبیق آن با آنچه که هنگام زلزله رخ می‌دهد، بیشتر خواهد بود. یکی از این عوامل، رفتار ساختمان است. به جزء در موارد استثنایی که رفتار کاملاً ارجاعی سازه‌ای هدف طراحی است، در سایر موارد چنین رفتاری موجب می‌شود که طرح ساختمان غیراقتصادی شده و ابعاد و اندازه‌های اعضای سازه‌ای بیش از اندازه بزرگ شود. به این خاطر رفتار چنین ساختمانی را با شکل زیر تشریح می‌کنیم [۴].



شکل ۳-۱-۳- رفتار لرزه‌ای ساختمان در دو قلمرو ارجاعی و غیرارجاعی [۴]

طبق شکل (۱-۳) و منحنی خطی OA مقاومت ساختمان در قلمرو ارجاعی S_e و تغییر مکان نظیر آن Δ_e می‌باشد. طراح باید سازه را طوری طراحی کند تا مقاومت آن هنگام رخداد زلزله کمتر از مقاومت مورد نیاز باشد، اما در عوض با پذیرش تغییر شکل و تغییر مکان‌های نسبی، با ورود رفتار خود به قلمرو غیرارجاعی قادر باشد، بخش قبل توجهی از انرژی ورودی ناشی از زلزله را مستهلك نماید، اگر سازه چنین رفتار شکل‌پذیری داشته باشد، سازه رفتار نرمی دارد. این شکل‌پذیری یک رفتار کیفی است، با ضریبی به نام ضریب شکل‌پذیری تفسیر می‌کنند، که در شکل زیر نشان داده شده است [۴].



شکل ۲-۳- رفتار نرم یا شکل پذیر ساختمان [۴]

با توجه به شکل (۲-۳)، نسبت حداکثر تغییرمکان ساختمان Δ_u در تراز مقاومت S_y به تغییرمکان نظیر آن یعنی Δ_e را ضریب شکل‌پذیری می‌گویند.

$$\mu = \frac{\Delta_u}{\Delta_y} \quad (1-3)$$

نسبت مقاومت S_e به S_y را ضریب کاهش مقاومت یا ضریب رفتار می‌گویند.

$$R_s = \frac{S_e}{S_y} \quad (2-3)$$

تردیدی نیست که باید بین دو کمیت ضریب رفتار و ضریب شکل‌پذیری رابطه‌ای که ناشی از عملکرد ساختمان است برقرار باشد. اما بحث فوق برای ساختمانی صادق است که اولاً به صورت یک سیستم یک درجه آزاد باشد و ثانیاً خواص دینامیکی آن در دو حالت ارجاعی و غیرارجاعی تحت

زلزله خاص بدست آمده باشد. به عبارت دیگر رابطه بین R و μ ، برای یک ساختمان معین، تحت زلزله‌های مختلف، متفاوت خواهد بود، زیرا خواص دینامیکی در این پدیده مهم رفتاری، دخالت خواهند داشت. پس می‌توان گفت که زمان تناوب در یک ساختمان بتن مسلح، تابعی از زمان تناوب طبیعی، میرایی ساختمان، درجات نامعینی، شکل‌پذیری و خواص مهندسی مصالح به کار رفته در ساختمان می‌باشد. پس هر قدر نقش این خواص دینامیکی به صورت کمی در مقدار ضریب رفتار (R) مشخص و معین باشد، به همان میزان ضریب زلزله (C) و نیروی برش پایه از دقت بیشتری برخوردار خواهد بود و اطمینان از روش استاتیکی معادل بیشتر می‌شود[۴].

۲-۳- اجزای ضریب رفتار

نتیجه پژوهش‌های زیادی که در اوایل دهه ۱۹۸۰ انجام شد، منجر به تجزیه R به عوامل تشکیل دهنده آن گردید. از جمله این پژوهش‌ها می‌توان به کارهای فریمن و یوانگ^۱ در ATC-19 [۶] و ATC-34 [۷] اشاره کرد. پژوهشگران در ATC-19 فرمول‌بندی جدید زیر را برای R پیشنهاد کردند[۶]:

$$R = (R_S R_\mu) R_R \quad (3-3)$$

در این رابطه، R_S ضریب مقاومت افزون وابسته به زمان تناوب، R_μ ضریب شکل‌پذیری وابسته به زمان تناوب و R_R ضریب درجه نامعینی است، که به عنوان بخشی از پروژه ATC-34 توسعه یافته، به منظور کمی کردن قابلیت اعتماد سیستم‌های قاب لرزه‌ای که از ردیف‌های متعدد قاب لرزه‌ای قائم در هر یک از جهت‌های اصلی ساختمان بهره می‌گیرند، پیشنهاد شده است[۸].

^۱. Uang

۱-۲-۳- شکل‌پذیری

۱-۱-۲-۳- ضریب شکل‌پذیری کلی سازه

بهتر است مقدار ضریب شکل‌پذیری کلی سازه (μ_s) را که نمایانگر ظرفیت استهلاک انرژی اجزاء یا کل سازه است، از روش‌های آزمایشگاهی تعیین نمود. رفتار کلی سازه که در شکل (۲-۳) نشان داده شده است، تنها مربوط به سیستم‌هایی است که می‌توانند انرژی را با یک رفتار پایدار مستهلك کنند، مانند قاب‌های مقاوم خمشی شکل‌پذیر ویژه و قاب‌های دارای مهاربندی خارج از مرکز. برای سیستم‌های دیگر، که کاهش شدید سختی و مقاومت دارند، تعریف تغییر مکان تسليم و تغییر مکان حداکثر در رابطه (۱-۱) می‌تواند، نادرست باشد. تعیین ضریب μ_s به خصوص برای سازه‌های بلندتر از یک طبقه کار پیچیده‌ای است. برای محاسبه این ضریب غالباً تغییر مکان نسبی طبقه با م به عنوان معیار تغییر مکان استفاده می‌شود [۳].

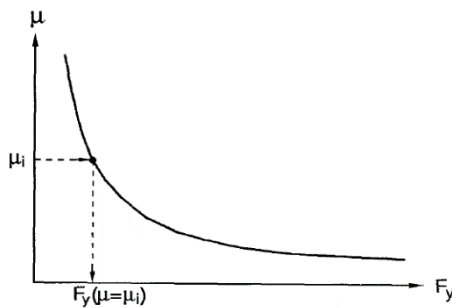
۲-۱-۲-۳- ضریب کاهش بر اثر شکل‌پذیری

سازه‌ها بر اثر وجود شکل‌پذیری، مقدار قابل توجهی از نیروی زلزله را با رفتار هیسترتیک مستهلك می‌کنند، که این استهلاک انرژی، بستگی به مقدار شکل‌پذیری کلی سازه دارد. شکل‌پذیری کلی سازه باید به گونه‌ای باشد، که شکل‌پذیری محلی اعضاء از مقدار مجاز خود بیشتر نشود. بدین منظور، هنگام طراحی لازم است حداقل مقاومت سازه که شکل‌پذیری کلی آن را به حد شکل‌پذیری مشخص شده از قبل، محدود می‌کند، مشخص شود [۹]. ضریب کاهش بر اثر شکل‌پذیری (R_μ)، با نسبت مقاومت ارتجاعی مورد نیاز به مقاومت غیرارتجاعی مورد نیاز تعریف می‌شود.

$$R_\mu = \frac{F_y(\mu = 1)}{F_y(\mu = \mu_i)} \quad (4-3)$$

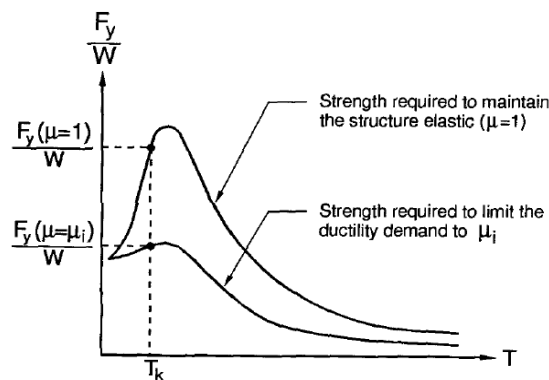
که در این رابطه $F_y(\mu = 1)$ مقاومت جانبی مورد نیاز، برای جلوگیری از تسليم سیستم بر اثر یک زلزله مشخص و $F_y(\mu = \mu_i)$ مقاومت جانبی تسليم مورد نیاز برای محدود کردن ضریب شکل‌پذیری

سازه (هدف یا μ_i) وقتی که سیستم در معرض همان زلزله قرار گیرد، می‌باشد. به‌طور کلی، در ساختمان‌هایی که در هنگام زلزله رفتار غیرارتجاعی دارند، تغییر شکل‌های غیرارتجاعی با کاهش مقاومت جانبی تسلیم سازه (یا با افزایش ضریب R_μ ، افزایش می‌یابند) [۹].



شکل ۳-۳- تغییرات نیاز شکل‌پذیری تغییرمکانی با تغییر در مقاومت جانبی سیستم [۹]

برای یک زلزله مشخص و یک ضریب μ_i معین، مشکل اساسی محاسبه حداقل ظرفیت مقاومت جانبی ($F_y(\mu = \mu_i)$) است که باید در سازه به منظور جلوگیری از به وجود آمدن نیازهای شکل‌پذیری بزرگتر از μ_i ، تأمین گردد. در نتیجه محاسبه ($F_y(\mu = \mu_i)$) برای هر زمان تناوب و هر شکل‌پذیری هدف، شامل عملیاتی تکراری است. بدین صورت که، مقاومت جانبی تسلیم (F_y) برای سیستم در نظر گرفته و سیستم تحلیل می‌شود، این کار، تا زمانی که ضریب شکل‌پذیری کلی محاسبه شده (μ) با یک ترانس مشخص، برابر ضریب شکل‌پذیری کلی هدف (μ_i) گردد و آن‌گاه مقاومت جانبی متناظر با این ضریب شکل‌پذیری، ($F_y(\mu = \mu_i)$ نامیده می‌شود). برای تعیین ضریب کاهش بر اثر شکل‌پذیری، مقاومت جانبی ارجاعی ($F_y(\mu = 1)$ و غیرارتجاعی ($F_y(\mu = \mu_i)$) که برای یک سیستم با زمان تناوب مشخص بددست آمده، این مقادیر به سیستم، نرمال می‌شوند. این نیروها برای زمان‌های تناوب مختلف سازه بددست آمده و با توجه به آن، طیف خطی و غیرخطی با ضریب شکل‌پذیری (μ_i) محاسبه می‌شود. از تقسیم طیف خطی به طیف غیرخطی، مقدار ضریب کاهش بر اثر شکل‌پذیری برای آن زلزله بخصوص و ضریب شکل‌پذیری هدف، بددست آید [۹].



شکل ۴-۳- طیف ارجاعی و غیرارجاعی با شکل‌پذیری ثابت [۹]

یافتن رابطه بین μ_s و R_μ برای سیستم‌های یک درجه آزاد موضوع پژوهش‌های فراوانی در سال‌های اخیر بوده است. روابطی که از همه معروف‌ترند و در اکثر پژوهش‌ها مورد استفاده قرار گرفته‌اند عبارتند از: نیومارک - هال^۱، کراوینکلر - نصر^۲ و میراندا - برترو^۳.

• نیومارک و هال

نیومارک و هال در سال ۱۹۸۲، رابطه‌ای را پیشنهاد دادند که با استفاده از آن می‌توان ضریب کاهش ناشی از شکل‌پذیری (R_μ) را برای سیستم‌های ارجاعی - خمیری یک درجه آزاد، به صورت زیر برآورد کرد [۱۰].

برای زمان تناوب کمتر از $3/0$ ثانیه (فرکانس‌های بالای ۳۳ هرتز)

$$R_\mu = 1 \quad (5-3)$$

برای زمان تناوب بین $12/0$ و $5/0$ ثانیه (فرکانس‌های بین ۲ و ۸ هرتز)

^۱. Newmark & Hall

^۲. Krawinkler & Nassar

^۳. Miranda & Bertero

$$R_\mu = \sqrt{2\mu - 1} \quad (6-3)$$

برای زمان تناوب بزرگتر از ۱ ثانیه (فرکانس‌های کوچکتر از ۱ هرتز)

$$R_\mu = \mu \quad (7-3)$$

برآورد R_μ در زمان تناوب بین 10^3 و 10^0 ثانیه و نیز بین $5/12$ و $5/10$ ثانیه با درون‌یابی خطی

بین مقادیر حدی که در رابطه‌های فوق آمده است، انجام می‌شود.

• کراوینکلر و نصر

کراوینکلر و نصر در سال ۱۹۹۲، رابطه‌ای را برای سیستم‌های یک درجه آزاد بر روی زمین‌های صخره‌ای یا خاک سخت توسعه دادند. آن‌ها نتایج مطالعات آماری را بر پایه ۱۵ نگاشت حرکت زمین در غرب آمریکا، برای زلزله‌هایی در محدوده بزرگی $5/7$ تا $7/7$ ، مورد استفاده قرار دادند. رابطه آن‌ها با فرض میرایی 5% میرایی بحرانی به صورت رابطه (۸-۳) است [۱۱]:

$$R_\mu = [c(\mu - 1) + 1]^{\frac{1}{c}} \quad (8-3)$$

که مقدار c از رابطه زیر بدست می‌آید:

$$c(T, \alpha) = \frac{T^a}{1 + T^a} + \frac{b}{T} \quad (9-3)$$

در این رابطه α سختی بعد از تسلیم بوده و به صورت درصدی از سختی ارتجاعی بیان می‌شود.

a و b مولفه‌های برآش (رگرسیون) هستند برای مقادیر مختلف از α جدول زیر بدست می‌آیند.

جدول ۳-۲- ضرایب پیشنهادی کراوینکلر و نصر برای محاسبه [۱۱]

b	a	α
۰/۴۲	۱/۰۰	۰/۰۰
۰/۳۷	۱/۰۰	۰/۰۲
۰/۲۹	۰/۸۰	۰/۱۰

به طور کلی، ضریب رفتار با افزایش نسبت شکل‌پذیری هدف افزایش می‌یابد و با افزایش سختی کرنش کاهش می‌یابد. برای ساختمان‌هایی که زمان تناوب اصلی آن‌ها از $75/0$ ثانیه تجاوز می‌کند، در صورتی که نسبت‌های شکل‌پذیری هدف ثابت نگهداشته شوند، آثار مودهای بالا، افزایشی در مقاومت جانبی طراحی را ایجاب می‌کند [11].

• میراندا و برترو

میراندا و برترو در سال ۱۹۹۴، با مرور رابطه‌های ارائه شده توسط پژوهشگران دیگر، از جمله نیومارک و هال (۱۹۸۲)، ریدل و نیومارک (۱۹۷۹) و کراوینکلر و نصر (۱۹۹۲)، رابطه‌های $R_\mu - \mu - T$ را برای زمین‌های صخره‌ای، رسوبی و خاک نرم با استفاده از ۱۲۴ نگاشت حرکت زمین، توسعه دادند. رابطه‌های ارائه شده توسط این محققان برای ضریب کاهش ناشی از شکل‌پذیری به صورت رابطه (۱۰-۳) است [۱۲]:

$$R_\mu = \frac{\mu - 1}{\phi} + 1 \quad (10-3)$$

که در این رابطه:

برای زمین‌های سنگی

$$\phi = 1 + \frac{1}{10T - \mu T} - \frac{1}{2\mu} e^{-1.5(\ln(T) - 0.6)^2} \quad (11-3)$$

برای زمین‌های رسوبی

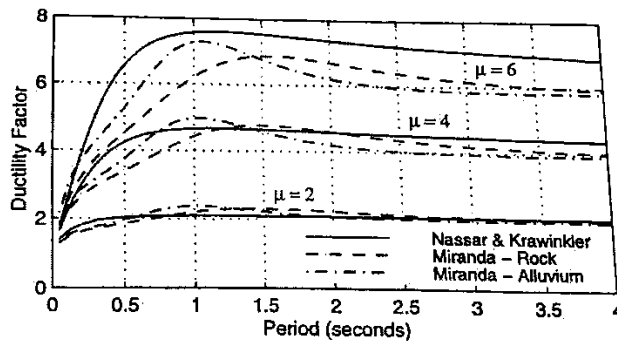
$$\phi = 1 + \frac{1}{12T - \mu T} - \frac{2}{5\mu} e^{-2(\ln(T) - 0.2)^2} \quad (12-3)$$

برای زمین‌های با خاک نرم

$$\phi = 1 + \frac{T_g}{3T} - \frac{3T_g}{4T} e^{-3\left(\ln\left(\frac{T}{T_g}\right) - 0.25\right)^2} \quad (13-3)$$

که T_g زمان تناوب غالب زلزله است.

در مقایسه‌ای که بین رابطه‌های ارائه شده توسط میراندا - برترو و کراوینکلر - نصر برای زمین‌های سنگی و رسوبی صورت گرفته است، تفاوت اندکی بین آن‌ها وجود داشت و برای مقاصد مهندسی می‌توان از این اختلاف چشم‌پوشی کرد.



شکل ۳-۵- مقایسه ضرایب کاهش بر اثر شکل‌پذیری [۶]

۲-۲-۳- مقاومت افزون

هنگامی که یکی از اعضای سازه به حد تسلیم برسد و اصطلاحاً در آن مفصل خمیری به وجود آمده باشد، مقاومت سازه از دید طراحی در حالت بهره‌برداری به پایان می‌رسد، ولی در حالت طراحی انهدام، پدیده فوق به عنوان پایان مقاومت سازه به حساب نمی‌آید، زیرا عضو مورد نظر همچنان می‌تواند با تغییر شکل غیرارتجاعی، انرژی ورودی را جذب کند تا به مرحله گسیختگی و انهدام برسد. با تشکیل مفاسل خمیری، به تدریج سختی سازه با کاهش درجه نامعینی استاتیکی کاهش می‌یابد، ولی سازه همچنان پایدار است و قادر خواهد بود در مقابل نیروهای خارجی از خود مقاومت نشان دهد. وقتی که نیروی خارجی باز هم افزایش یابد، روند تشکیل مفاسل خمیری هم ادامه می‌یابد تا آن‌جا که سازه از استاتیکی ناپایدار شده و دیگر توان تحمل بار جانبی اضافی را نخواهد داشت. مقاومتی که سازه بعد از تشکیل اولین مفصل خمیری تا مرحله ناپایداری (mekanizm) از خود بروز می‌دهد مقاومت افزون نامیده می‌شود. در طراحی لرزه‌ای سازه‌ها مقاومت ارجاعی مورد نیاز سازه‌ها را متناسب با مقاومت

افزون آن‌ها کاهش می‌دهند. برای این منظور، مقدار ضریب رفتار سازه‌ها متناسب با مقاومت افزون

افزایش داده می‌شود تا مقاومت مورد نیاز کاهش یافته، محاسبه گردد[۱۳].

سال‌هاست که پژوهشگران اهمیت مقاومت افزون را در جلوگیری از خراب شدن برخی سازه‌ها به

هنگام زلزله‌های شدید شناخته‌اند. برای مثال، در زلزله سال ۱۹۸۵ مکزیک، وجود مقاومت افزون

عامل بسیار مؤثری در جلوگیری از خرابی ساختمان‌ها بوده است. همچنین در زلزله سال ۱۳۶۹ (ه

ش) رودبار و منجیل بسیاری از ساختمان‌های ۷-۸ طبقه در شهر رشت که دارای اتصالات خرجینی

و شکل پذیری ناچیز بودند، بر اثر وجود مقاومت افزون (که عمدتاً به علت وجود عناصر غیر سازه‌ای،

پارتبیشن‌ها و نما ایجاد شده بود) از فرو ریختن کامل آن‌ها جلوگیری شد[۱۴].

اهمیت ضریب مقاومت افزون به ویژه برای ساختمان‌های با زمان تناوب کوتاه بیشتر است، زیرا

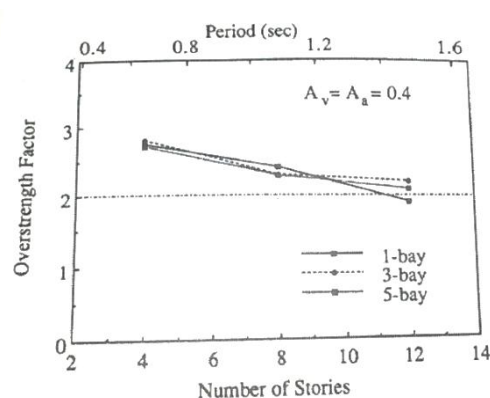
در زمان‌های تناوب کوتاه، ضریب کاهش مقاومت بر اثر شکل‌پذیری (R_μ) حتی با ضرایب شکل‌پذیری

(μ_s) بزرگ، کمتر از ساختمان‌های با زمان تناوب بلند است. برای سازه‌های با زمان تناوب کوتاه،

مقدار ضریب مقاومت افزون زیاد بوده و با افزایش زمان تناوب، مقدار این ضریب کاهش می‌یابد. علت

این امر آن است که در سازه‌های کوتاه، نیروهای ثقلی بر طراحی حاکم هستند و در سازه‌های بلند

نیروهای جانبی زلزله بر طراحی حاکم می‌شوند[۱۵].



شکل ۳-۶-۳- تغییرات ضریب مقاومت افزون برای سیستم‌های با زمان تناوب مختلف[۱۵]

۱-۲-۲-۳- عوامل مؤثر بر مقاومت افزون

مقاومت افزون یک سازه در واقع مقدار مقاومتی است که بر اثر عوامل مختلف در سازه ذخیره شده و انهدام آن را به تأخیر می‌اندازد. بعضی از این عوامل به شرح زیر هستند^[۱۶]:

۱. بیشتر بودن مقاومت واقعی مصالح از مقاومت اسمی آن‌ها
۲. بزرگتر بودن ابعاد اعضاء و مقادیر میلگرد از مقادیر مورد نیاز در طراحی
۳. استفاده از مدل‌های ریاضی ساده شده و محافظه کارانه در تحلیل‌ها
۴. ترکیب‌های مختلف بار
۵. مقاومت اعضای غیرسازه‌ای (نظیر دیوارهای میان قاب) و اعضای سازه‌ای (نظیر دال‌ها) که در برآورد ظرفیت مقاومت جانبی به حساب نمی‌آیند
۶. افزایش مقاومت ناشی از محصورشدن بتن
۷. رعایت حداقل الزامات آیین‌نامه‌های طراحی در مورد محدود کردن تغییر مکان‌های جانبی، تغییر شکل اعضاء، ابعاد مقاطع، عناصر تسلیح و فاصله خاموت‌ها
۸. استفاده از روش معادل استاتیکی در تحلیل لرزه‌ای سازه‌ها
۹. باز توزیع نیروهای داخلی در محدوده غیرارتجاعی بر اثر نامعینی سازه
۱۰. صرفنظر از اثر بعد سوم در تحلیل‌های دو بعدی
۱۱. افزایش مقاومت اعضای بتنی بر اثر سرعت بارگذاری (اثر نرخ کرنش)
۱۲. نوع سیستم سازه‌ای
۱۳. هندسه سازه و آرایش پلان
۱۴. ارتفاع سازه (زمان تناوب ارتعاش)
۱۵. آیین‌نامه طراحی

۱۶. لرزه‌خیزی منطقه (نسبت بارهای جانبی به بارهای قائم)

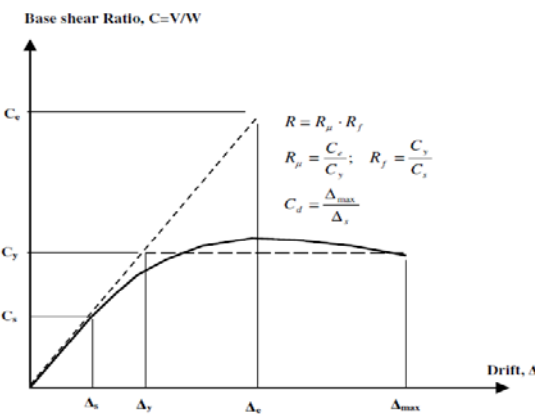
۱۷. ملاحظات معماری

۱۸. سطح فرهنگ و تکنولوژی ساخت

۲-۲-۳- تعیین ضریب رفتار ناشی از مقاومت افزون

به دست آوردن مقادیر مقاومت افزون با در نظر گرفتن سهم تمام عوامل یاد شده، بسیار پیچیده بوده و نمی‌تواند در طراحی سازه‌ای، قابل اعتماد باشد. از این رو لازم است پارهای از عوامل کیفی ثابت در نظر گرفته شود و عوامل کمی نیز دسته‌بندی شده و به عوامل مهمتر توجه گردد، سهم سایر عوامل نیز در ظرفیت سازه لحاظ شود^[۱۷]. برای تعیین مقدار ضریب مقاومت افزون می‌توان علاوه بر روش‌های آزمایشگاهی، از روش‌های تحلیلی نیز استفاده نمود. بدین منظور می‌توان از روش‌های تحلیل استاتیکی غیرخطی^۱ (مانند روش تحلیل استاتیکی غیر خطی فزاینده، یا روش طیف ظرفیت)، استفاده کرد. برای تعیین مقاومت افزون یک سازه، بدین صورت عمل می‌شود که نیروهای ثقلی بر سازه اعمال شده و مقدار نیروهای جانبی سازه با یک الگوی خاص (مثالاً الگوی مثلثی آینه‌نامه) به طور یکنواخت افزایش داده می‌شود و مقدار برش پایه و تغییر مکان بام به طور مدام ثبت می‌گردد. این عمل تا آن‌جا که اولین عضو سازه، جاری شده و در آن مفصل خمیری به وجود آید، ادامه می‌یابد. افزایش نیرو بعد از این مرحله باعث باز توزیع نیروها در بقیه اعضاء شده و سازه قادر به تحمل نیروی بیشتری می‌شود. نیروی جانبی مجددأ افزایش داده می‌شود، تا در اعضاء دیگری نیز مفصل خمیری ایجاد شود و در صورتی تحلیل متوقف می‌شود که سازه ناپایدار گردد. در این حالت، از تقسیم حداقل نیروی جانبی تحمل شده توسط سازه به نیروی حد جاری شدن اولین عضو در سازه (تشکیل اولین مفصل خمیری)، ضریب مقاومت افزون بدست می‌آید^[۳].

^۱. Pushover



شکل ۳-۷-۳- منحنی پاسخ کلی واقعی و ایده‌آل شده سازه [۳]

۳-۳- روش‌های محاسبه ضرایب رفتار

تاکنون پژوهشگران زیادی با ملیت‌های مختلف برای محاسبه ضرایب رفتار، روش‌های متفاوتی را پیشنهاد داده‌اند. با مقایسه این روش‌ها می‌توان آن‌ها را در دو گروه کلی تقسیم‌بندی کرد. یکی روش پژوهشگران آمریکایی و دیگری پژوهشگران اروپایی. عموماً روش‌های آمریکایی مبانی تئوری ساده‌تری دارند و کاربردی‌تر هستند، در حالی که روش‌های اروپایی دارای مبانی تئوری و تحلیلی پیچیده‌تری بوده و استفاده از آن‌ها در عمل دشوار است [۳].

۳-۱- روش‌های آمریکایی

در این گروه، دو روش شاخص‌تر از بقیه وجود دارد و روش‌های دیگر با کمی تفاوت عمدتاً شبیه به این دو روش هستند. روش اول که به «طیف ظرفیت» شهرت دارد حاصل کار فریمن [۱۸] می‌باشد. روش دوم که به روش «ضریب شکل‌پذیری» مشهور است، دستاوردهای پژوهش‌های یوانگ است [۱۵].

۳-۱-۱- روش طیف ظرفیت فریمن

فریمن یک روش تحلیلی برای بدست آوردن مقدار R که تحت تأثیر مؤلفه‌های زیادی قرار دارد، به صورت زیر ارائه می‌کند [۱۸]:

$$R = R_i \times R_j \times R_k \times \cdots \times R_n \quad (14-3)$$

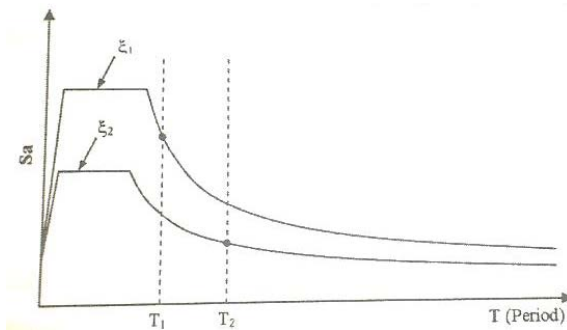
که هر یک از مؤلفه‌ها جانشین عواملی از قبیل آرایش قاب‌ها، سیستم سازه‌ای، ترکیب بارها، درجه نامعینی، میرایی، ویژگی‌های رفتار غیرخطی سازه، خصوصیات مصالح، نسبت ابعاد ساختمان مکانیزم خرابی و عوامل مؤثر دیگر می‌باشند. به جای آن که تمامی عوامل مؤثر یاد شده در ضریب رفتار وارد گردند، شایسته‌تر است که تنها عواملی که نقش اساسی‌تری دارند دخالت داده شوند. در این روش دو عامل اصلی ظرفیت سازه و نیروهای ناشی از زلزله، در نظر گرفته می‌شوند. سپس عواملی که ظرفیت را افزایش و نیروهای لرزه‌ای را کاهش می‌دهند مشخص می‌شوند. در این روش، ظرفیت افزایش یافته R_c نامیده می‌شود. پاره‌ای از عوامل مؤثر در R_c عبارتند از: ضرایب بار و ضرایب کاهش مقاومت مصالح (مانند برای بتن)، طراحی دست بالای اعضا، سختی کرنشی، نامعینی سازه، شکل‌پذیری سازه و ظرفیت اضافه‌ای که از لحظه جاری شدن اولین تار کششی یا فشاری مقطع تا تشکیل مفصل خمیری کامل در یک عضو قابل دستیابی است [۱۸].

هنگام زلزله‌های متوسط و شدید انتظار نمی‌رود که سازه در حالت ارتقایی باقی بماند. هر چه سازه از حد ارتقایی فراتر رود، سختی آن کاهش یافته و میرایی افزایش می‌یابد. کاهش سختی باعث بالا رفتن زمان تناوب و افزایش میرایی باعث استهلاک بیشتر انرژی می‌شود. با بالاتر رفتن زمان تناوب و میرایی، نیروهای لرزه‌ای وارد به سازه (نیازهای لرزه‌ای) کاهش می‌یابند. با توجه به طیف‌های پاسخ در شکل (۸-۳)، مقدار متناظر با T_1 و ζ_1 به متناظر با T_2 و ζ_2 می‌رسد. در این حالت، نسبت نیروهای ارتقایی به نیروهای غیرارتقایی (کاهش یافته بر اثر نرمتر شدن سازه و افزایش استهلاک انرژی)، به عنوان R_D تعریف می‌شود.

حال با مشخص شدن مقدار R_D و R_C ، ضریب رفتار (R) از رابطه زیر بدست می‌آید [۱۸]:

$$R = R_C \cdot R_D \quad (15-3)$$

از آنجا که R_D و R_C برای هر ساختمان مقادیر منحصر به فردی دارند، ضریب رفتار هر ساختمان نیز مقداری منحصر به فرد است.



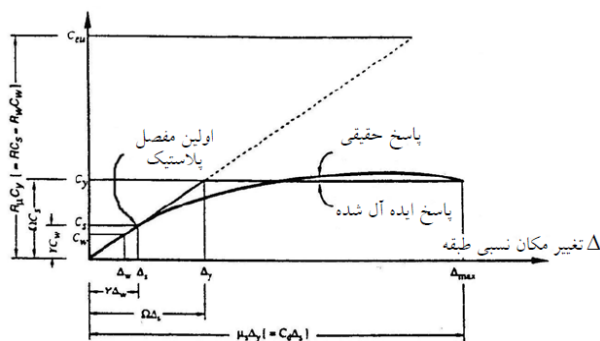
شکل ۳-۸-۳- طیف نیروهای وارد بر سازه در دو حالت ارتجاعی و غیرارتجاعی [۱۸]

۳-۲-۱-۳- روش ضریب شکل‌پذیری یوانگ

با در نظر گرفتن رفتار کلی یک سازه متعارف مقادیر مقاومت ارتجاعی مورد نیاز که بر حسب ضریب برش پایه (C_{eu}) تعریف شده عبارت است از [۱۵]:

$$C_{eu} = \frac{V_e}{W} \quad (16-3)$$

در رابطه، W وزن مؤثر سازه و V_e حداکثر برش پایه است، اگر سازه کلاً در محدوده ارتجاعی باقی بماند.



شکل ۳-۹-۳- رفتار کلی یک سازه متعارف [۱۵]

معمولأً طراحی یک سازه تا حدود قابل قبول منجر به شکل‌پذیر شدن آن می‌شود. و در این حالت، سازه می‌تواند به حداکثر مقاومت خود ($C_y W$) برسد. حداکثر تغییر مکان جانبی نسبی ایجاد

شده در طبقه برابر با، Δ_{max} است. از آن جا که مقدار $C_y W$ با مقاومت حد خمیری سازه یا مقاومت نهایی به هنگام ایجاد مکانیزم گسیختگی متناظر بود و نیاز به تحلیل غیرخطی دارد، مقدار آن با رابطه مشخصی بیان نشده است [۱۵].

برای مقاصد طراحی، بعضی آیین‌نامه‌ها مقدار C_y را به C_s که نمایانگر تشکیل اولین مفصل خمیری در مجموعه سازه است، تقلیل می‌دهند. این مقدار نیرو، ترازی است که در آن پاسخ کلی سازه به مقدار قابل توجهی از قلمرو ارجاعی خارج می‌شود. این تراز نیرو، به روش برخورد آیین‌نامه‌های با روش طراحی بر مبنای مقاومت، بستگی دارد. در طراحی مقاطع برای این مقدار نیروی وارد، می‌توان از روش‌هایی مانند، روش بار نهایی در بتون (آیین‌نامه بتون ایران، آیین‌نامه ACI-318) و آیین‌نامه CEB (AISC-LRFDF)، استفاده نمود. اختلاف بین مقدار نیروی وارد $C_s W$ و $C_y W$ را اصطلاحاً مقاومت افزون می‌نماید [۱۴].

• ضریب شکل‌پذیری کلی سازه (μ_s)

با ایده‌آل کردن منحنی رفتار کلی سازه به منحنی ارجاعی-خمیری کامل^۱ ضریب شکل‌پذیری کلی سازه به صورت خارج قسمت حداکثر تغییر مکان جانبی نسبی (Δ_{max}) به تغییر مکان جانبی نسبی تسلیم (Δ_y) تعریف می‌شود [۳]:

$$\mu_s = \frac{\Delta_{max}}{\Delta_y} \quad (17-3)$$

• ضریب کاهش بر اثر شکل‌پذیری (R_μ)

بر اثر شکل‌پذیری ساختمان ظرفیتی برای استهلاک انرژی خواهد داشت. به همین دلیل نیروی طراحی ارجاعی (C_{eu}) را می‌توان به تراز مقاومت تسلیم (C_y) کاهش داد. از این رو، ضریب کاهش بر

۱. Elastic-Perfectly Plastic

اثر شکل‌پذیری عبارت است از خارج قسمت نیروی نهایی وارد به سازه (C_{eu}) (در صورتی که رفتار ارجاعی باقی بماند)، به نیروی متناظر با حد تسلیم عمومی سازه به هنگام مکانیزم خرابی (C_y).^[۳]

$$R_\mu = \frac{C_{eu}}{C_y} \quad (18-3)$$

• ضریب مقاومت افزون (Ω)

مقاومت ذخیره‌ای که بین تراز تسلیم کلی سازه (C_y) و تراز اولین تسلیم (C_s) وجود دارد، به عنوان مقاومت افزون شناخته می‌شود. یعنی، ضریب مقاومت افزون، عبارت است از خارج قسمت نیروی حد تسلیم کلی سازه به هنگام تشکیل مکانیزم خرابی (C_y)، به نیروی متناظر با تشکیل اولین مفصل خمیری در سازه (C_s).^[۴]

$$\Omega = \frac{C_y}{C_s} \quad (19-3)$$

• ضریب تنش مجاز (Y)

این ضریب، بر اساس نحوه برخورد آیین‌نامه‌های مصالح با تنش‌های طراحی (بار مجاز یا بار نهایی) تعیین و مقدار آن از تقسیم نیرو در حد تشکیل اولین مفصل خمیری (C_s)، به نیرو در حد تنش‌های مجاز (C_w ، حاصل می‌شود).^[۳]

$$Y = \frac{C_s}{C_w} \quad (20-3)$$

این ضریب در حدود $1/4$ تا $1/5$ می‌باشد. این ضریب بر اساس روش تنش مجاز آیین‌نامه AISC-ASD 1989 به صورت زیر برآورده شود:^[۱۴]

$$Y = \frac{C_s}{C_w} = \frac{M_p}{M_w} = \frac{ZF_y}{S\left(0.6F_y \frac{4}{3}\right)} = \frac{1.15F_y}{0.8F_y} = 1.44 \quad (21-3)$$

در رابطه فوق Z و S به ترتیب اساس مقطع خمیری و ارجاعی بوده و ضریب اضافه تنش مجاز به هنگام اثر نیروهای زلزله است و نسبت $\frac{Z}{S}$ که به آن ضریب شکل می‌گویند^۱، برای مقاطع بال پهن در حدود ۱/۱۵ است. ضریب بار ۱/۴ برای بارگذاری لرزه‌ای در ACI-318 نیز در واقع مشابه Y در رابطه فوق است.^[۳]

• فرمول‌بندی ضریب رفتار

با توجه به تعریف‌های ارائه شده و شکل (۱-۳) می‌توان رابطه‌های زیر را بدست آورد^[۳] (برای حالت‌هایی مانند آیین‌نامه‌های (NEHRP-2000, IBC-2000, UBC-1997) :

$$R = \frac{C_{eu}}{C_S} = \frac{C_{eu}}{C_y} \cdot \frac{C_y}{C_s} = R_\mu \Omega \quad (22-3)$$

در طراحی با تنش‌های مجاز^[۳] (مانند آیین‌نامه‌های UBC-1994, UBC-1988 و استاندارد ایران): ۲۸۰۰

$$R_w = \frac{C_{eu}}{C_w} = \frac{C_{eu}}{C_y} \cdot \frac{C_y}{C_s} \cdot \frac{C_s}{C_w} = R_\mu \Omega Y \quad (23-3)$$

با توجه به شکل (۹-۳) :

$$\frac{\Delta_y}{\Delta_s} = \frac{C_y}{C_s} = \Omega \quad (24-3)$$

$$\frac{\Delta_s}{\Delta_w} = \frac{C_s}{C_w} = Y \quad (25-3)$$

برای ضریب تشدید تغییر مکان جانبی (ضریبی که تغییر مکان واقعی را از تغییر مکان ارجاعی برآورد می‌کند) :

۱. Shape factor

$$C_d = \frac{\Delta_{\max}}{\Delta_s} = \frac{\Delta_{\max}}{\Delta_y} \cdot \frac{\Delta_y}{\Delta_s} = \mu_s \Omega \quad (26-3)$$

وقتی که ضریب افزایش تغییر مکان جانبی متناظر با حد مجاز تنش‌ها مدنظر باشد (استاندارد

: [۳] ایران) ۲۸۰۰

$$C_{dw} = \frac{\Delta_{\max}}{\Delta_w} = \frac{\Delta_{\max}}{\Delta_y} \cdot \frac{\Delta_y}{\Delta_s} \cdot \frac{\Delta_s}{\Delta_w} = \mu_s \Omega Y \quad (27-3)$$

از روابط فوق چنین برمی‌آید که:

۱- به طور کلی نادرست است که ضرایب کاهش R یا R_w را ضرایب کاهش بر اثر شکل‌پذیری (یا ضرایب شکل‌پذیری) نامید، زیرا آثار مقاومت افزون می‌تواند در حد ضریب کاهش بر اثر شکل‌پذیری عمل کند [۱۵].

۲- به نظر می‌رسد، ضریب رفتار در استاندارد ۲۸۰۰ ایران، با ضریب رفتار R_w در آیین‌نامه UBC-1994 و NEHRP-2000 مشابه است، نه با ضریب رفتار R بر اساس آیین‌نامه EC8 یا q بر اساس آیین‌نامه اروپایی [۱۴].

۳- برای تعیین مقادیر R_w ، C_d ، C_{dw} و R ، لازم است موارد زیر برای سازه‌ها و سیستم‌ها و شکل‌پذیری‌های متفاوت تعیین شود:

الف) مقدار ضریب مقاومت افزون

ب) مقدار ضریب شکل‌پذیری کلی سازه یا ضریب کاهش بر اثر شکل‌پذیری
ج) رابطه بین ضریب شکل‌پذیری و ضریب کاهش بر اثر شکل‌پذیری و زمان تناوب سیستم

۳-۲-۳- روش‌های اروپایی

در سال‌های اخیر پژوهشگران اروپایی نیز همگام با محققان آمریکایی به تحقیق در مورد برآوردهای رفتار سازه‌ها پرداخته‌اند. روش‌های اروپایی به دو گروه تقسیم می‌شوند^[۳]: روش‌های متکی بر تئوری ضریب شکل‌پذیری و روش‌های انرژی.

۳-۲-۱- روش تئوری شکل‌پذیری

این روش اولین بار توسط کنسنزا^۱ و همکاران در سال ۱۹۸۶ معرفی شده است، در این روش، ضریب رفتار (q) با توجه به شکل زیر بدست می‌آید^[۱۹]:

$$q = \frac{\delta_u}{\delta_y} = \alpha_c \left[\frac{\alpha_u}{\alpha_y} - \beta \right] + \beta \quad (28-3)$$

در این رابطه، α ضریب ارجاعی بحرانی برای بارهای قائم و β پارامتر وابسته به زمان تناؤب ارتعاش سازه است و از رابطه زیر بدست می‌آید:

$$\beta = \beta' \frac{\alpha_u}{\alpha_y} \quad (29-3)$$

با توجه به دو رابطه اخیر مقدار q را از رابطه زیر می‌توان بدست آورد:

$$q = \frac{\alpha_u}{\alpha_y} [(1 - \beta') \alpha_c + \beta'] \quad (30-3)$$

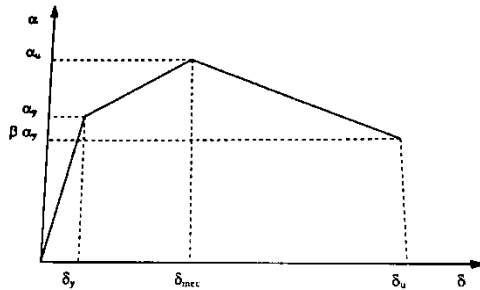
جهت تکمیل روش فوق، در سال ۱۹۹۶، مازولانی^۲ با استفاده از نتایج حاصل از پاسخ سیستم‌های یک درجه آزاد، رابطه زیر را برای β' پیشنهاد کرده است^[۲۰]:

^۱. Consenza

^۲. Mazzolani

$$\beta' = 1 - T \quad , \quad \beta' > 0.5 \text{ sec} \quad (31-3)$$

از این رو برای زمان‌های تناوب بزرگتر از $5/0$ ثانیه، q دارای مقداری ثابت و برای $T < 0.5$ یک تابع خطی از زمان تناوب است.



شکل ۳-۱۰-۳- مدل ساده شده برای سیستم یک درجه آزادی [۱۹]

۲-۲-۳-۳- روش انرژی

این روش بر این فرض استوار است که حداکثر انرژی جنبشی ناشی از یک زلزله شدید با حداکثر انرژی که یک سازه قادر است جذب نماید، برابر است. معادله تعادل انرژی در یک سازه به صورت رابطه زیر است [۳]:

$$E_{ku} = W_o + D_u - E_{2u} \quad (32-3)$$

در این رابطه، E_{ku} حداکثر انرژی جنبشی قابل استهلاک سازه، W_o انرژی ذخیره شده در سازه در مرحله تغییر شکل ارتقایی، D_u انرژی ذخیره شده طی تغییر شکل‌های غیرارتقایی سازه و E_{2u} کار انجام شده توسط نیروهای قائم، در کل روند تغییر شکل سازه می‌باشد. روش‌های تحلیلی مفصل و پیچیده‌ای برای حل معادله فوق و استخراج ضرایب رفتار از آن وجود دارد.

۴-۳- مقایسه روش‌های محاسبه ضریب رفتار

با توجه به مطالب مطرح در دو روش آمریکایی فریمن و یوانگ، چنین به نظر می‌رسد که تعریف Ω در روش یوانگ، مانند تعریف R_C در روش فریمن است. اختلاف این دو روش در ماهیت ضرایب R_D و R_μ است. فریمن با قبول مقداری تقریب R_D را برای سازه‌های با درجات آزادی مختلف مستقیماً از مقایسه طیف ارجاعی و غیرارجاعی محاسبه می‌کند، در حالی که در روش یوانگ، R_μ محاسبه شده و از رابطه‌هایی که R_μ را به R_s (برای سازه‌های یک درجه آزاد) مرتبط می‌کند، سازه‌های با چند درجه آزادی را مقداری تقریب، محاسبه می‌گردد. همچنین با بررسی اجمالی کلیه روش‌های طرح شده برای محاسبه ضریب رفتار می‌توان دریافت که روش ضریب شکل‌پذیری یوانگ از روش‌های آمریکایی و روش تئوری شکل‌پذیری از روش‌های اروپایی، مشابهت‌های زیادی با هم دارند و هر دو بر اساس نتایج تحقیقات نیومارک برای سیستم‌های یک درجه آزاد، استوارند. روش انرژی هم روشی تئوری بوده و کاربرد عملی آن دشوار و مهجور است [۱۰].

۴-۵- روش محاسبه ضریب رفتار در این پژوهش

در این پژوهش در بخش محاسبه ضریب رفتار با استفاده از تحلیل‌های استاتیکی غیرخطی فزاینده، از روش یوانگ استفاده شده است.

فصل چهارم

طراحی بر اساس عکسکرد

۱-۴- مقدمه

در سال‌های اخیر روش‌های سنتی طراحی ساختمان‌های مقاوم در برابر زلزله در بسیاری از کشورها به دلایل مختلف مورد تجدید نظر و ارزیابی مجدد قرار گرفته است. محور اصلی این تجدید نظر، تغییر تمرکز از موضوع مقاومت به موضوع عملکرد است. در ۷۰ سال گذشته که با روش‌های طراحی ساختمان‌های مقاوم در برابر زلزله توسط آییننامه بیان شده، مقاومت و عملکرد عموماً به یک معنی به کار برد شده و در ۲۵ سال اخیر با شناخت این موضوع که افزایش مقاومت لزوماً به افزایش ایمنی سازه‌ها و یا کاهش خسارت منجر نمی‌شود، این طرز فکر تغییر کرده است. افزایش اطلاعات هندسی در مورد پدیده زلزله و رفتار سازه‌ها یکی از دلایل تجدید نظر در روش‌های سنتی طراحی لرزه‌ای می‌باشد. ضربه اقتصادی عظیم ناشی از خسارت وارد از زلزله که پس از زمین لرزه‌ای شدید در آمریکا و ژاپن به اثبات رسید نیز یکی از این دلایل می‌باشد. اما مهمترین دلیلی که باعث تغییر روش‌های سنتی طراحی ساختمان‌ها در برابر زلزله شد، درک این موضوع بود که روش‌های مبتنی بر آییننامه‌های فعلی، اغلب قادر نیستند به طور کامل و مناسب اصول اولیه زیر را برآورد کنند[۲۱]:

الف) نیاز طراح به توصیف منطقی و قابل استفاده از نحوه عمل و رفتار زلزله

ب) نیاز کارفرما به ارائه ارزیابی صحیح هزینه و سود حاصله از ایمنسازی در برابر زلزله

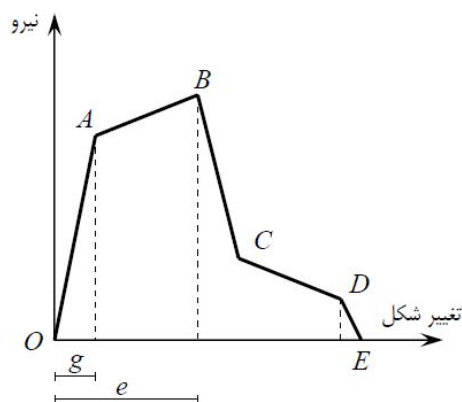
ج) تصمیم‌گیری آگاهانه در مورد نحوه ارتباط نیاز لرزاگی و ظرفیت لرزاگی ساختمان‌های موجود یا ساختمان‌های نوساز

از نظر مفهومی، طراحی براساس عملکرد برای کارفرمایان و مسئولان، امکان انتخاب هدف‌های عملکردی وسیع را فراهم می‌آورد و طراح را وادار می‌سازد که هدف‌های انتخاب شده را طراحی نماید. یعنی روش طراحی براساس عملکرد، ابزار بسیار مناسبی برای ارتباط کارفرما و طراح فراهم می‌آورد.

از این رو از اواسط دهه نود روش جدیدی به نام طراحی عملکردی برای طراحی لرزاگی مطرح شد. در این روش برای سازه امکان تسلیم در زلزله فراهم شده و سازه باید در محدوده تسلیم، تاب تحمل تغییر شکل‌های ایجاد شده را بیاورد [۲۱].

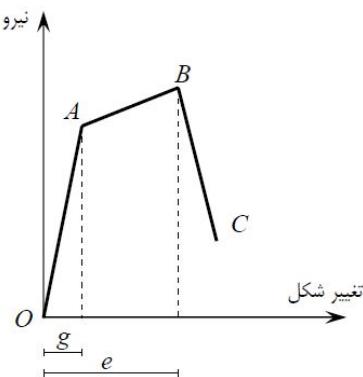
۴-۲- رفتار اجزای سازه

رفتار اجزای سازه با توجه به نوع تلاش داخلی آن‌ها و منحنی نیرو - تغییرشکل حاصل به صورت کنترل‌شونده توسط تغییرشکل یا کنترل‌شونده توسط نیرو می‌باشد. در رفتار شکل‌پذیر، منحنی نیرو - تغییر شکل مطابق شکل زیر دارای چهار قسمت است. شاخه OA رفتار ارجاعی خطی، شاخه AB رفتار خمیری کامل یا خمیری با امکان سخت‌شدگی مجدد، شاخه BC افت شدید مقاومت و شاخه CD دارای رفتار مجدد خمیری اما نرم‌شونده می‌باشد. برای آن که اعضای اصلی، کنترل‌شونده توسط تغییرشکل محسوب شوند باید نسبت تغییرشکل متناظر با آستانه کاهش مقاومت به تغییرشکل حد خطی $(\frac{e}{g})$ بزرگتر از ۲ باشد، اما اعضای غیراصلی با هر نسبت $(\frac{e}{g})$ کنترل‌شونده توسط تغییرشکل محسوب می‌شوند [۲۲].



شکل ۱-۴- منحنی رفتار اعضای شکل پذیر [۱۲]

در رفتار نیمه‌شکل پذیر منحنی نیرو – تغییر‌شکل مطابق شکل زیر دارای سه قسمت است. شاخه OA رفتار ارجاعی خطی، شاخه AB رفتار خمیر کامل یا خمیری با امکان سخت‌شدگی مجدد و در شاخه BC که مقاومت به شدت کاهش یافته و به صفر می‌رسد. برای آن‌که اعضای اصلی و غیراصلی با رفتار فوق، کنترل شونده توسط تغییر‌شکل محسوب شوند، باید تغییر‌شکل نظیر آستانه کاهش مقاومت بیش از دو برابر تغییر‌شکل حد خطی یا به عبارت دیگر $\frac{e}{g} \geq 2$ باشد [۲۲].



شکل ۱-۴- منحنی رفتار عضو نیمه شکل پذیر [۱۲]

۳-۴- مقاومت مصالح

الف) کرانه پایین مقاومت مصالح: برابر متوسط منهای یک انحراف معیار مقادیر مقاومت می‌باشد.

ب) مقاومت اسمی یا درج شده در مدارک فنی: در سطح اطلاعات حداقل، می‌تواند برابر مقاومت کرانه پایین اختیار شود. مگر در فصل‌های ۵ یا ۶ آیین‌نامه بهسازی مقادیر دیگری پیشنهاد شده باشد.

ج) مقاومت مورد انتظار مصالح: برابر متوسط مقادیر حاصل از آزمایش تعریف می‌شود. برای محاسبه این مقاومت می‌توان از ضرب مقادیر کرانه پایین مقاومت مصالح در ضرایب تبدیل بیان شده در فصل‌های ۵ یا ۶ آیین‌نامه بهسازی استفاده نمود [۲۲].

۴-۴- ظرفیت اجزای سازه

الف) ظرفیت مورد انتظار اجزا (Q_{CE}) که با استفاده از مقاومت مورد انتظار مصالح بدست می‌آید.

ب) کرانه پایین ظرفیت اجزا (Q_{CL}) که با استفاده از کرانه پایین مقاومت مصالح محاسبه می‌شود [۲۲].

۵-۴- سطوح عملکرد کل ساختمان

سطح عملکرد کل ساختمان بر حسب سطح عملکرد اجزای سازه‌ای و غیر سازه‌ای تعریف می‌شود سطوح مختلف عملکرد ساختمان که در بهسازی مینا، مطلوب و ویژه به کار می‌رود مطابق :
یکی از موارد زیر است [۲۲]

الف) سطح عملکرد خدمت‌رسانی بی‌وقفه (A-1): ساختمانی دارای سطح عملکرد قابلیت بی‌وقفه است که اجزای سازه‌ای آن دارای سطح عملکرد ۱ (قابلیت استفاده بی‌وقفه) و اجزای غیرسازه‌ای آن دارای سطح عملکرد A (خدمت‌رسانی بی‌وقفه) باشند.

ب) سطح عملکرد قابلیت استفاده بی وقفه (B-1): ساختمانی دارای سطح عملکرد قابلیت بی وقفه است

که اجزای سازه‌ای آن دارای سطح عملکرد ۱ (قابلیت استفاده بی وقفه) و اجزای غیرسازه‌ای آن دارای سطح عملکرد B (قابلیت استفاده بی وقفه) باشند.

ج) سطح عملکرد ایمنی جانی (C-3): ساختمانی دارای سطح عملکرد ایمنی جانی است که اجزای سازه‌ای آن دارای سطح عملکرد ۳ (ایمنی جانی) و اجزای غیر سازه‌ای آن دارای سطح عملکرد C (ایمنی جانی) باشند.

د) سطح عملکرد آستانه فرو ریزش (E-5): ساختمانی دارای سطح عملکرد آستانه فرو ریزش است که اجزای سازه‌ای آن دارای سطح عملکرد ۵ (آستانه فرو ریزش) باشند و محدودیتی برای سطح عملکرد اجزای غیر سازه‌ای آن وجود ندارد (سطح عملکرد لحاظ نشده).

۴-۶- تحلیل خطر و طیف طراحی

به طور کلی طیف طرح یک زلزله عبارتست از یک منحنی که تابع آن مؤلفه‌های پاسخ (شتاب، سرعت و تغییر مکان) و متغیر آن زمان تناوب طبیعی یک سیستم یک درجه آزاد می‌باشد [۴]. برآورد پارامترهای حرکت قوی زمین در سطح زمین برای سطوح خطر مختلف با یکی از دو روش «طیف طرح استاندارد» و «طیف طرح ویژه ساختگاه» صورت می‌پذیرد. استفاده از روش اول برای مقاصد بهسازی محدود و مبنا و مطلوب بلامانع است. برای بهسازی ویژه استفاده از روش دوم الزامی است. دستورالعمل عمومی این بخش می‌تواند برای تعیین طیف طرح شتاب در مورد هر یک از سطوح خطر زلزله‌ی زیر استفاده شود [۲۲]:

الف) سطح خطر-۱: این سطح خطر بر اساس ۱۰٪ احتمال رویداد در ۵۰ سال که معادل دوره بازگشت ۴۷۵ سال است، تعیین می‌شود. سطح خطر-۱ در استاندارد ۲۸۰۰ ایران «زلزله طرح» (DBE) نام دارد.

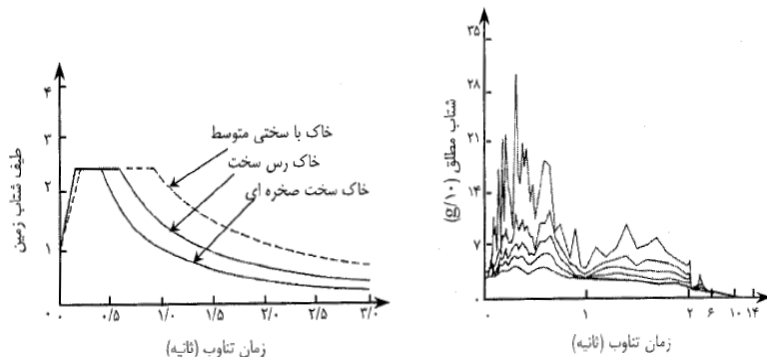
ب) سطح خطر-۲: این سطح خطر بر اساس ۲٪ احتمال رویداد در ۵۰ سال که معادل دور ۵ بازگشت ۲۴۷۵ سال است، تعیین می‌شود. سطح خطر-۲ به عنوان «بیشینه زلزله‌ی متحمل» (MPE) نام دارد.

ج) سطح خطر انتخابی (زلزله با هر احتمال رویداد در هر ۵۰ سال): این سطح خطر برای موارد خاص و با ملاحظات ویژه، مناسب است.

پس از طیف طرح شتاب در سطح خطر مورد نظر می‌توان شتاب طیفی را از طیف قرائت کرد. شتاب طیفی مقدار حاصل از طیف طرح ارجاعی استاندارد یا طیف ارجاعی ویژه ساختگاه در یک زمان تناوب مشخص و برای یک نسبت میرایی خاص، مقدار شتاب طیفی در زمان تناوب یک ثانیه و برای و برای میرایی ۰.۵٪ را با S_1 و مقدار شتاب طیفی در زمان تناوب کوتاه (۱۰ ثانیه) و برای میرایی ۰.۵٪ را با S_s نشان می‌دهند [۲۲].

۴-۶-۱- طیف طرح ارجاعی استاندارد

طیف طرح ارجاعی استاندارد ایران از حاصل ضرب مقادیر طیف ضریب بازتاب ساختمان (B)، شتاب مبنای طرح (A) و ضریب اهمیت ساختمان (I) حاصل می‌شود [۴]. برای بدست آوردن شتاب مبنای طرح می‌توان از نقشه‌های معتبر پهنه‌بندی لرزه‌ای که در آن میزان بیشینه شتاب زمین برای دوره‌های بازگشت مختلف ارائه شده است، استفاده نمود. میزان شتاب مربوط به زلزله "سطح خطر-۱" با استفاده از نقشه‌ی پهنه‌بندی شتاب موجود که در آن دوره بازگشت ۴۷۵ سال (۱۰٪ احتمال وقوع در ۵۰ سال) درج شده باشد، تعیین می‌شود. برای زلزله "سطح خطر-۲" در صورت نبود نقشه‌های پهنه‌بندی شتاب معتبر بایستی با انجام مطالعات لازم و تحلیل خطر ساختگاه میزان شتاب مبنای طرح برآورد شود. طیف ضریب بازتاب برای زلزله "سطح خطر-۱" مطابق استاندارد ۲۸۰۰ ایران برای میرایی ۰.۵٪ تعیین می‌شود [۲۲].



شکل ۴-۳-۴- طیف پاسخ شتاب (زلزله سان فرناندو ۱۹۷۱) و طیف طرح نمونه برای خاک‌های مختلف [۱۲]

۴-۶- طیف طرح ارجاعی ویژه ساختگاه

طیف طرح ارجاعی ویژه ساختگاه برای محاسبات مربوط به سطوح خطری که در استاندارد ۲۸۰۰ ایران وجود ندارد یا مطالعات ویژه ساختگاهی لازم باشد، طبق تحلیل خطر و شرایط ویژه ساختگاه انجام می‌شود [۲۲].

۴-۷- تحلیل استاتیکی غیرخطی

روش تحلیل استاتیکی غیرخطی فزاینده یا به عبارتی تحلیل مود فرو ریزش یکی از تکنیک‌های ساده، موثر و پذیرفته شده برای پیش‌بینی پاسخ لرزه‌ای قبل از تحلیل‌های دینامیکی است. با این تحلیل می‌توان توالی تسلیم اعضاء، ظرفیت شکل‌پذیری بالقوه و کفایت مقاومت جانبی سازه مشخص کرد. در این نوع تحلیل، سازه تحت یک توزیع بار جانبی مشخص به صورت نموی، افزایشی یا فرازینده، مورد تحلیل غیرخطی قرار می‌گیرد. دستگاه معادلاتی که در این روش حل می‌شود به صورت زیر است [۳]:

$$[K_t] \{ \Delta u \} = \{ \Delta F \} + C_{corr} \{ \Delta F_{err} \} \quad (1-4)$$

که در این رابطه، $[K_t]$ ماتریس سختی مماسی سازه، $\{ \Delta u \}$ بردار نموی تغییر مکان‌های جانبی،

$\{\Delta F\}$ بردار نموی بار جانبی، C_{corr} ضریب تصحیح (که معمولاً مساوی یک گرفته می‌شود) و

$\{\Delta F_{err}\}$ بردار نیروهای نامتعادل در سازه است.

۴-۷-۱- روش انجام تحلیل استاتیکی غیر خطی

این بار جانبی تا آن جا ادامه می‌یابد که تغییرمکان در یک نقطه خاص (نقطه کنترل) تحت اثر بار جانبی، به مقدار مشخصی (تغییرمکان هدف) برسد یا سازه فرو ریزد. آین نامه‌های FEMA و ATC روش تحلیل استاتیکی غیرخطی را جهت مطالعه رفتار سازه در حوزه رفتار غیرخطی پیشنهاد می‌دهد، این روش در عین سادگی از دقت بالایی برخوردار است. در این تحلیل مرکز جرم بام (نه خرپشته) به عنوان نقطه کنترل انتخاب می‌شود. این روش مشابه روش تحلیل استاتیکی خطی است، با این تفاوت که رفتار غیرخطی تمام اعضاء و اجزای سازه در تحلیل وارد می‌شود، هم‌چنین اثر زلزله به جای اعمال بار مشخص، بر اساس تغییر مکان برآورد می‌شود. این تحلیل به دو روش زیر انجام می‌شود [۲۱]:

۱. روش تحلیل استاتیکی غیرخطی کامل:

در این روش تمام اعضای اصلی و غیراصلی در مدل سازه در نظر گرفته می‌شوند. منحنی تلاش - تغییر شکل اعضاء باید تا حد امکان نزدیک به واقعیت در نظر گرفته شود

۲. روش تحلیل استاتیکی غیرخطی ساده شده:

در این روش فقط اعضای اصلی مدل می‌شوند. منحنی تلاش - تغییر شکل اعضاء به صورت دو خطی در نظر گرفته می‌شود. در هنگام ارزیابی، چنانچه تعداد کمی از اعضای فوق جوابگو نباشند، می‌توان آن‌ها را به عنوان اعضای غیراصلی منظور و از مدل حذف نمود و تحلیل را بدون حضور آن‌ها تکرار کرد.

۴-۷-۲- ترکیب بارگذاری ثقلی و جانبی

در ترکیب بارگذاری ثقلی و جانبی، حد بالا و پایین اثرات بار ثقلی، Q_G ، باید از روابط زیر محاسبه شود[۲۲]، که در آن Q_D بار مرده و Q_L بار زنده مؤثر براساس استاندارد ۵۱۹[۳۳] می‌باشد.

$$Q_G = 1.1 [Q_D + Q_L] \quad (۲-۴)$$

$$Q_G = 0.9 Q_D \quad (۳-۴)$$

۳-۷-۴- الگوی توزیع بار جانبی

در تحلیل استاتیکی غیرخطی، باید یک الگوی بار را از توزیع نوع اول و دیگری را از توزیع نوع دوم انتخاب کرد و در ارزیابی سازه از حداکثر مقادیر نتایج تحلیل تحت این دو الگوی بار استفاده کرد[۲۲].

۳-۷-۴-۱- الگوی توزیع نوع اول

بار جانبی باید به یکی از سه روش زیر محاسبه شود. برای سازه‌های با زمان تناوب اصلی بزرگ‌تر از یک ثانیه فقط می‌توان از روش سوم استفاده کرد[۲۲]:

- توزیع متناسب با بار جانبی در ارتفاع سازه طبق رابطه زیر در روش استاتیکی خطی

از این توزیع فقط وقتی می‌توان استفاده کرد که حداقل ۷۵ درصد جرم سازه در مود اول ارتعاش، در جهت مورد نظر شرکت داشته باشد. در صورت انتخاب این توزیع، توزیع نوع دوم باید از نوع یکنواخت انتخاب شود.

$$F_i = \frac{W_i h_i^k}{\sum W_i h_i^k} V \quad (۴-۴)$$

- توزیع متناسب با شکل مود اول ارتعاش سازه در جهت مورد نظر

از این نوع توزیع نیز فقط وقتی می‌توان استفاده کرد که حداقل ۷۵ درصد جرم سازه در مود اول ارتعاش، در جهت مورد نظر شرکت داشته باشد.

• توزیع متناسب با جرم و شتاب (نیروهای اینرسی) طبقات

حاصل از تحلیل دینامیکی طیفی. برای این منظور تعداد مودهای ارتعاشی مورد بررسی باید چنان انتخاب شوند که حداقل ۹۰ درصد جرم سازه در تحلیل مشارکت کند.

٤-٣-٢-الگوی توزیع نوع دوم

در این حالت باید توزیع بار جانبی به یکی از دو روش زیر باشد [۲۲]:

• توزیع یکنواخت

که در آن بار جانبی، متناسب با وزن هر طبقه توزیع می‌شود.

• توزیع متغیر

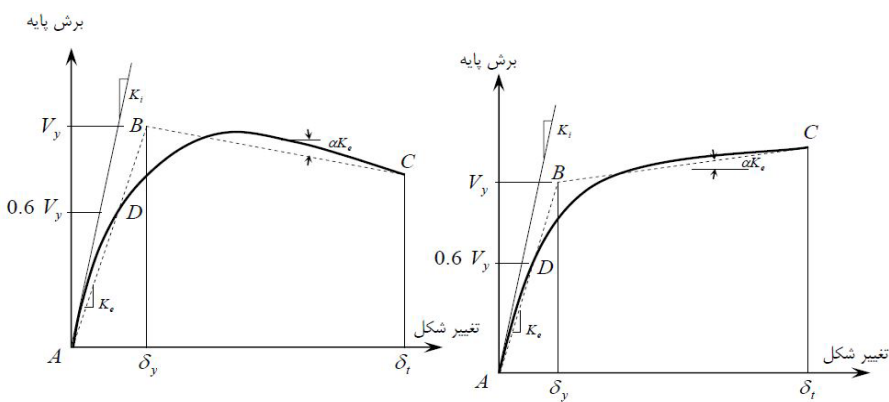
که در آن توزیع بار جانبی، در هر گام افزایش بار، متناسب با مشخصات دینامیکی جدید سازه در اثر رفتار غیر خطی با استفاده از یک روش معتبر تغییر داده می‌شود.

بار جانبی انتخاب شده از هر یک از دو نوع توزیع باید به‌طور جداگانه و در هر دو جهت مثبت و منفی در راستای زلزله بر سازه وارد شود و رابطه برش پایه و تغییر مکان نقطه کنترل تا حداقل ۱/۵ برابر تغییر مکان هدف ثبت شود. با اینکه ارزیابی سازه در تغییر مکان هدف صورت می‌گیرد، ولی به دلیل این‌که طراح، عملکرد سازه را در تغییر شکل‌های بیش از تغییر مکان هدف بشناسد، آگاهی از رفتار سازه تا ۱/۵ برابر تغییر مکان مفید و در جهت احتیاط خواهد بود [۲۱].

٤-٨-مدل ساده شده نیرو - تغییر مکان سازه (مدل دو خطی)

رفتار غیرخطی سازه که ارتباط بین برش پایه و تغییر مکان نقطه کنترل را مطابق شکل (۴-۵) مشخص می‌نماید به منظور محاسبه سختی جانبی موثر (K_e) و برش تسليیم موثر (V_y) باید با یک مدل رفتار دوخطی ساده جایگزین شود. برای ساده‌سازی مدل رفتار غیرخطی، نقطه B باید چنان انتخاب شود که سطح زیر منحنی رفتار غیرخطی با سطح مدل دوخطی برابر شود و هم‌چنین طول

پاره خط AD برابر $AB/6$ باشد. در آن صورت نیروی مربوط به نقطه B , برش تسليیم مؤثر (V_e) بوده و سختی مؤثر (K_e) برابر شیب خط AB خواهد بود. طبق شکل سختی مؤثر همان شیب و تر منحنی رفتار غیرخطی به ازای برش پایه‌ای برابر $0.6V_y$ است. V_y در مدل ساده شده نباید از حد اکثر برش پایه در منحنی رفتار غیرخطی بیشتر شود. نقطه C , برش پایه نظریه تغییر مکان هدف است [۲۲].



شکل ۴-۴- منحنی ساده شده نیرو - تغییر مکان [۱۲]

در شکل فوق نمودار سمت راست مربوط به سازه‌هایی است که پس از تسليیم دارای سختی مثبت هستند. به عبارت دیگر $\alpha > 0$ است و نمودار سمت چپ مربوط به سازه‌هایی است که پس از تسليیم دارای سختی منفی و به عبارت دیگر $\alpha < 0$ هستند.

۵-۶- زمان تناوب اصلی مؤثر (T_e)

زمان تناوب اصلی مؤثر سازه در امتداد مورد بررسی، براساس رفتار دوخطی معادل، از رابطه (۵-۴) بدست می‌آید [۲۴]:

$$T_e = T_i \sqrt{\frac{K_i}{K_e}} \quad (5-4)$$

T_i : زمان تناوب اصلی ساختمان است که از روش‌های تحلیلی بدست می‌آید.

K_i : سختی جانبی ارجاعی ساختمان در شروع تحلیل

K_e : سختی جانبی مؤثر سازه در شاخه اول نمودار دوخطی

۴-۱۰-۴- تغییر مکان هدف برای سازه با دیافراگم صلب

محاسبه تغییر مکان هدف در تحلیل استاتیکی غیر خطی بر اساس زمان تناوب اصلی مؤثر خواهد بود و خصوصیات نمودار دو خطی معادل منحنی واقعی رفتار غیر خطی سازه انجام می گیرد [۲۱].
تغییر مکان هدف برای سازه با دیافراگم صلب باید با در نظر گرفتن رفتار غیر خطی سازه برآورد شود.
به عنوان یک روش تقریبی می توان مقدار تغییر مکان هدف را از رابطه (۶-۴) بدست آورد [۲۲]:

$$\delta_t = C_0 C_1 C_2 C_3 S_a \frac{T_e^2}{4\pi^2} g \quad (6-4)$$

C_0 : ضریب اصلاح سیستم برای ارتباط تغییر مکان طیفی سیستم یک درجه آزادی به تغییر مکان با م: سیستم چند درجه آزادی است که برابر یکی از مقادیر زیر انتخاب می شود [۲۲]:

- ضریب مشارکت مود اول
- مقادیر تقریبی جدول (۱-۴)

جدول ۱-۴- مقدار تقریبی ضریب اصلاح سیستم C_0

تعداد طبقات ساختمان	ساختمان های برشی		سایر ساختمان ها
	توزيع نوع اول	توزيع بار یکنواخت	
۱	۱/۰	۱/۰	۱/۰
۲	۱/۲	۱/۱۵	۱/۲
۳	۱/۲	۱/۲	۱/۳
۵	۱/۳	۱/۲	۱/۴
۱۰ و بیشتر	۱/۳	۱/۲	۱/۵

□ منظور از ساختمان برشی، ساختمانی است که در تمام طبقات، تغییر مکان جانبی نسبی کوچک تر از طبقه زیرین باشد.

C_1 : ضریب اصلاح برای تبدیل تغییر مکان‌های محاسبه شده از پاسخ خطی الاستیک به بیشینه تغییر

مکان‌های غیرالاستیک مورد انتظار سازه، این ضریب برابر است با [۲۲]:

$$T_e \geq T_s \rightarrow C_1 = 1.0 \quad (7-4)$$

$$T_e < T_s \rightarrow C_1 = \max \left[1 \& \left\lfloor \frac{1.0 + (R - 1) \frac{T_s}{T_e}}{R} \right\rfloor \right] \quad (8-4)$$

همچنین مقدار C_1 لازم نیست از مقدار روبرو بیشتر باشد

$$C_1 = 1 + \frac{T_s - T}{2T_s - 0.2} \quad (9-4)$$

T_s : زمان تناوب مشترک بین دو ناحیه شتاب ثابت و سرعت ثابت در طیف بازتاب طرح است و برای

زلزله سطح خطر-۱ مطابق آیین‌نامه ۲۸۰۰ براساس جدول (۲-۴) است [۲۲].

جدول ۴-۲- تعیین T_0 و T_s

خطر نسبی زیاد و خیلی زیاد	خطر نسبی کم و متوسط	T_s	T_0	نوع زمین
S	S			
۱/۵	۱/۵	۰/۴	۰/۱	I
۱/۵	۱/۵	۰/۵	۰/۱	II
۱/۷۵	۱/۷۵	۰/۷	۰/۱۵	III
۱/۷۵	۲/۲۵	۱/۰	۰/۱۵	IV

زمان تناوب اصلی نوسان بر حسب ثانیه، از فرمول زیر بدست می‌آید:

$$T = \alpha H^{\frac{3}{4}} \quad (10-4)$$

مقدار ضریب α با توجه به نوع سیستم‌های مختلف سازه‌ای برابر است با:

$\alpha = 0.08$	قاب خمشی فولادی
$\alpha = 0.07$	قاب خمشی بتنی
$\alpha = 0.07$	قاب فولادی مهاربندی شده با محورهای غیرمتقارب
$\alpha = 0.05$	سایر سیستم‌های سازه‌ای (به جز ساختمان‌های بنایی)

H: ارتفاع ساختمان بر حسب متر

R: نسبت مقاومت الاستیک تقاضا به ضریب مقاومت تسلیم محاسبه شده

$$R = \frac{S_a}{V_y/W} \times C_m \quad (11-4)$$

W: وزن بار مرده ساختمان و درصدی از سربار زنده بر اساس استاندارد ۲۸۰۰

V_y : مقاومت تسلیم بدست آمده از مدل دوخطی منحنی نیرو - تغییر مکان

C_m : ضریب جرم مؤثر، براساس جدول زیر و همچنین می‌تواند برابر جرم مؤثر مود اصلی مدل که از

یک تحلیل Eigenvalue بدست می‌آید، باشد. اگر T بزرگتر از یک ثانیه باشد، C_m باید برابر یک باشد.

جدول ۳-۴- مقادیر ضریب جرم مؤثر $[12]C_m$

تعداد طبقات	قاب خمشی بتنی یا فولادی	قاب فولادی مهاربندی شده با محورهای همگرا یا واگرا	سازه با دیوار برشی	سایر سیستم‌های سازه‌ای
یک یا دو طبقه	۱	۱	۱	۱
سه طبقه و بیشتر	۰/۹	۰/۹	۰/۸	۱

S_a : شتاب طیفی به ازای زمان تناوب اصلی مؤثر. در زلزله سطح خطر-۱ براساس آینه نامه ۲۸۰۰ [۲۵]

برابر است با [۲۴]:

$$S_a = AB \quad (12-4)$$

$$0 \leq T_e \leq T_0 \rightarrow B = 1 + S \left(\frac{T_e}{T_0} \right) k \quad (13-4)$$

$$T_0 \leq T_e \leq T_s \rightarrow B = 1 + S \quad (14-4)$$

$$T_e \geq T_s \rightarrow B = 1 + S \left(\frac{T_s}{T_e} \right)^{\frac{2}{3}} \quad (15-4)$$

و T_s با توجه به نوع زمین مقادیر و از جدول ۳ آیین نامه ۲۸۰۰ بدست می آیند.

جدول ۴-۴- تعیین A براساس جدول ۲ آیین نامه ۲۸۰۰ [۲۵]

منطقه	توصیف	نسبت شتاب مبنای طرح
۱	پهنگ با خطر نسبی خیلی زیاد	۰/۳۵
۲	پهنگ با خطر نسبی زیاد	۰/۳۰
۳	پهنگ با خطر نسبی متوسط	۰/۲۵
۴	پهنگ با خطر نسبی کم	۰/۲۰

: این ضریب اثر افزایش تغییر شکل ها را در رابطه مربوط، منظور می کند. برای سازه هایی که دارای حلقه های هیسترتیک کامل و پایدار هستند، C_2 برابر واحد منظور می گردد و برای سازه هایی حلقه های هیسترتیک خوب نباشند، بزرگ تر از واحد در نظر گرفته شده و از جدول زیر بدست می آید [۲۱].

جدول ۴-۵- مقادیر ضریب C_2 [۲۱]

$T \geq T_s$		$T \leq 0.1$		سطح عملکرد مورد نظر قابلیت استفاده بی وقفه
قاب نوع دو	قاب نوع یک	قاب نوع دو	قاب نوع یک	
۱/۰	۱/۰	۱/۰	۱/۰	آستانه فروریزش
۱/۰	۱/۱	۱/۰	۱/۳	ایمنی جانی
۱/۰	۱/۲	۱/۰	۱/۵	

در جدول فوق قاب‌های نوع یک، سیستم‌های سازه‌ای هستند که در هنگام زلزله عملکرد خوبی نداشته و به سرعت کاهش سختی و مقاومت از خود نشان داده و در آن‌ها بیش از ۳۰٪ بار جانبی، توسط سیستم‌های با شکل‌پذیر کم تحمل می‌شود. قاب‌های خمشی معمولی، قاب‌های با اتصالات نیمه صلب، قاب‌های با مهاربندی لاغر که فقط برای کشش طراحی شده‌اند، قاب‌های مهاربندی شده همگرا، دیوار بنایی غیر مسلح و دیوار برشی غیر شکل‌پذیر یا ترکیبی از آن‌ها، از این نوع هستند. سایر سیستم‌های سازه‌ای از نوع دو محسوب می‌شوند. برای مقادیر T بین $1/0$ و T_s مقدار C_2 با استفاده از درون‌یابی خطی بدست می‌آید [۲۱].

C_3 : این ضریب برای در نظر گرفتن اثرات $\Delta - P$ در محدوده رفتار غیر خطی مصالح به کار می‌رود. اثر $\Delta - P$ در محدوده رفتار خطی مصالح برآورده می‌شود. اگر سختی جانبی در طبقه‌ای از ساختمان پس از تسلیم، منفی شود ($\alpha < 0$)، اثر $\Delta - P$ قابل توجه شده و تغییر مکان هدف را افزایش می‌دهد و مقدار افزایش آن به زمان تناوب اصلی نوسان ساختمان (T_i)، نسبت سختی پس از تسلیم به سختی مؤثر (α)، نسبت مقاومت (R)، رفتار هسیترتیک هر طبقه، مشخصات فرکانسی ارتعاش زمین و مدت زمان ارتعاش شدید زمین بستگی دارد و از رابطه زیر بدست می‌آید [۲۱]:

$$\alpha \geq 0 \rightarrow C_3 = 1.0 \quad (16-4)$$

$$\alpha < 0 \rightarrow C_3 = 1 + \frac{|\alpha| (R - 1)^{1.5}}{T_e} \leq \begin{cases} \theta < 0.1 \rightarrow 1.0 \\ \theta > 0.1 \rightarrow 1 + 5 \frac{\theta - 0.1}{T} \end{cases} \quad (17-4)$$

θ : بزرگترین مقدار ضریب پایداری طبقات مختلف بوده و با سعی و خطا بدست می‌آید.

۱۱-۴- معیارهای پذیرش برای روش‌های غیرخطی

کنترل‌شونده توسط تغییرشکل و کنترل‌شونده توسط نیرو

۱۱-۱- کنترل‌شونده توسط تغییرشکل

در اعضای اصلی و غیراصلی که کنترل شونده توسط تغییرشکل هستند باید تغییرشکل های حاصل از تحلیل غیرخطی بیش از ظرفیت آنها باشد. برای این منظور ظرفیت تغییرشکل اعضاء باید با در نظر گرفتن کلیه تلاش هایی که هم زمان بر عضو وارد می شود، بر اساس فصل های ۵ و ۶ آیین نامه به سازی برآورد می شود. در این حالت برش پایه تغییر مکان هدف (V_y) باید کمتر از ۸۰٪ برش تسلیم مؤثر سازه (V_y) باشد. تلاش های اعضای اصلی و غیراصلی بر حسب سطح عملکرد مورد نظر برای ساختمان، باید توسط معیار پذیرش اعضای غیراصلی کنترل شوند. به عبارت دیگر، معیار پذیرش برای اعضای اصلی و غیراصلی یکسان است. اما در صورتی که از روش ساده شده تحلیل استاتیکی غیرخطی استفاده شده باشد، معیار پذیرش برای اعضای اصلی سازه محدود تر می باشد، به همین جهت تلاش های این اعضا بر حسب سطح عملکرد مورد نظر برای ساختمان، باید توسط معیار پذیرش اعضای اصلی کنترل شوند و برای اعضای غیراصلی بر حسب سطح عملکرد مورد نظر برای ساختمان، تلاش ها باید توسط معیار پذیرش اعضای غیراصلی کنترل شوند. در روابط کنترلی این اعضا بایستی ضریب آگاهی طبق جدول زیر، به تغییرشکل های حاصل اعمال شوند [۲۲].

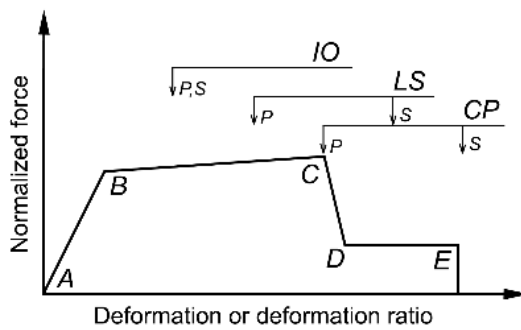
جدول ۴-۶- ضریب آگاهی [۱۲]

ویژه		مطلوب یا پایین تر		هدف به سازی
ویژه	متعارف	متعارف	حداقل	سطح اطلاعات
هر نوع تحلیل	هر نوع تحلیل	هر نوع تحلیل	هر نوع تحلیل	نوع تحلیل
۱	۰/۷۵	۱	۰/۷۵	ضریب آگاهی K

۴-۱۱-۲- در اعضای اصلی و غیراصلی کنترل شونده توسط نیرو

باید نیروهای طراحی کوچک تر از کرانه پایین مقاومت اعضا، با در نظر گرفتن کلیه تلاش هایی که هم زمان بر عضو وارد می شوند، باشد. در روابط کنترلی این اعضا بایستی ضریب آگاهی به کرانه پایین

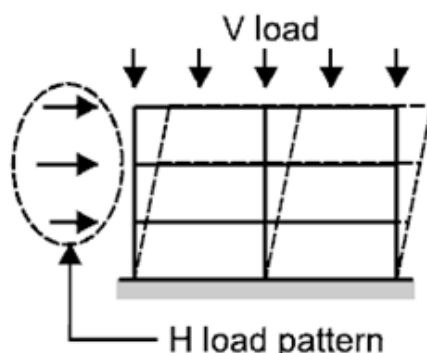
مقاومت اعمال شود. در شکل زیر معیارهای پذیرش اعضای اصلی (P) و اعضای غیراصلی (S) با توجه به سطوح عملکرد در منحنی نیرو - تغییرشکل نشان داده است [۲۲].



شکل ۴-۵- معیارهای پذیرفته شده برای اعضای اصلی و غیراصلی [۲۶]

۱۲-۴- محاسبه تغییر مکان هدف از روی طیف ظرفیت به روش FEMA356

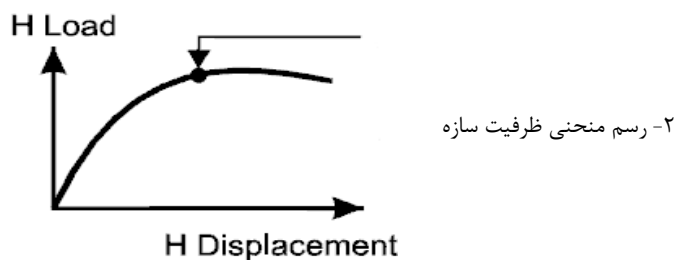
۱. ابتدا یک مدل از سازه تهیه شده و بارهای ثقلی به آن اعمال می‌شود. تمام اعضای که در تعیین جرم، سختی، ظرفیت برابری و پایداری سازه اثر قابل ملاحظه‌ای دارند، باید در این مدل لحاظ شوند. پس از اعمال بارهای ثقلی، بار جانبی به مجموعه بارهای وارد به مدل اضافه می‌شود. علت همزمانی اعمال بارهای ثقلی و جانبی این است که در تحلیل غیرخطی، اصل جمع آثار قوا معتبر نیست.



۱- اعمال بارهای ثقلی و جانبی به سازه

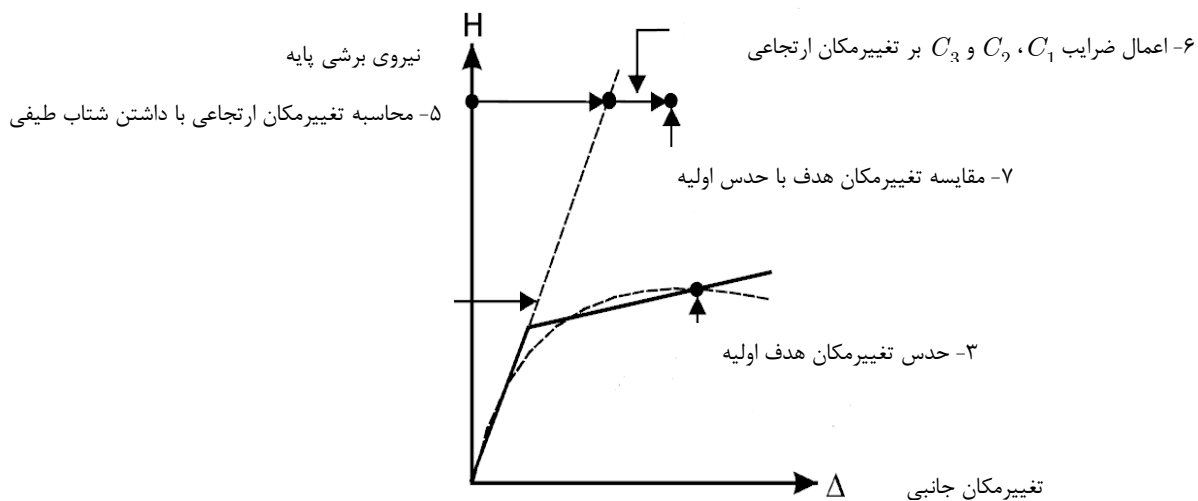
شکل ۴-۶- اعمال بارهای ثقلی و جانبی به مدل ساخته شده [۲۷]

۲. ضمن افزایش تدریجی بار جانبی، تغییرشکل‌ها و نیروهای داخلی اعضا محاسبه می‌شوند، تا وقتی که مصالح یکی از اعضا، به دلیل تغییرشکل زیاد تسلیم شده و سختی آن تغییر کند. پس از اصلاح سختی عضو تسلیم شده، بار جانبی تا آن جا ادامه می‌یابد که تغییر مکان نقطه کنترل که معمولاً مرکز جرم باشد است، از تغییر مکان هدف فرضی اولیه برای بدست آوردن منحنی ظرفیت بیشتر شود یا قبل از آن سازه ناپایدار شود. با این کار، منحنی تغییر مکان نقطه کنترل، بر حسب نیروی برش پایه ترسیم می‌شود و به منحنی ظرفیت از آن یاد می‌شود و سطح عملکرد سازه بر روی آن مشخص می‌شود.

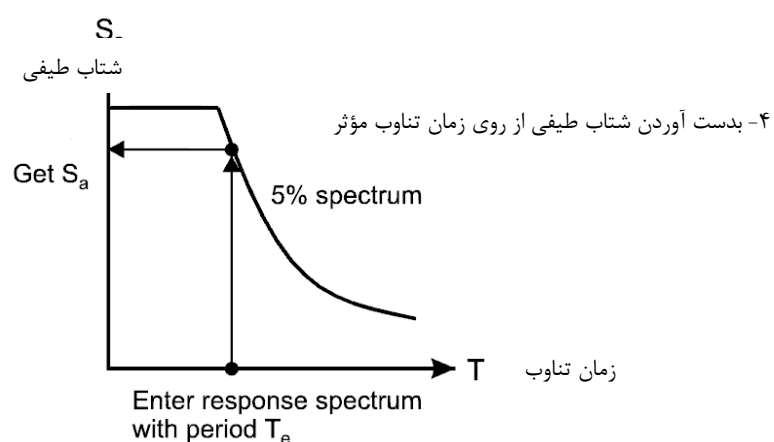


شکل ۴-۷-رسم منحنی ظرفیت سازه [۲۷]

۳. تخمین تغییر مکان هدف از روی منحنی ظرفیت، و حدس نمودار دوخطی با شرایط گفته شده و بدست آوردن سختی مؤثر (K_e)، زمان تناوب مؤثر (T_e) و نسبت شکل پذیری (μ)
۴. قرار دادن زمان تناوب مؤثر در طیف طرح ارجاعی استاندارد و پیدا کردن شتاب طیفی سازه
۵. بدست آوردن تغییر مکان ارجاعی سازه با داشتن شتاب طیفی.
۶. اعمال ضرایب C_1 ، C_2 و C_3 بر روی تغییر مکان ارجاعی و محاسبه تغییر مکان هدف.
۷. مقایسه تغییر مکان هدف اولیه با تغییر مکان هدف محاسبه شده و تکرار این کار تا جایی که اختلافشان اندک باشد [۲۷].



شکل ۴-۸- تخمین تغییرمکان هدف از روی منحنی ظرفیت [۲۷]



شکل ۴-۹- طیف طرح ارجاعی استاندارد [۲۷]

فصل پنجم

آشنایی با مدل‌های مورد مطالعه و طراحی آنها

۱-۵- مقدمه

قبل از طراحی براساس عملکرد به کمک نرم‌افزار (PERFORM-3D) [۲۸]، و بدست آوردن مؤلفه‌های لرزه‌ای، به منظور داشتن مقاطع اولیه و طراحی بهینه، یکبار مدل‌ها را در یک نرم‌افزار ETABS (Version 9.7.2) تحلیل خطی مدل‌سازی، تحلیل و طراحی کرد. در این تحقیق از نرم‌افزار (Nonlinear) برای این کار استفاده می‌کنیم. همچنانی لازم است مرکز جرم، جرم سازه، توزیع بار و توزیع مثلثی و توزیع یکنواخت را از تحلیل خطی بدست بیاوریم، چون (PERFORM-3D) این قابلیت را هنوز ندارد.

تمامی بارهای وارد بر سازه براساس مبحث ششم مقررات ملی ساختمان با عنوان «بارهای وارد بر ساختمان» [۲۳]، تعیین می‌شوند. این بارها شامل بارهای زنده و مرده می‌شوند. طراحی براساس استاندارد ۲۸۰۰ (ویرایش سوم) [۲۵] و مبحث نهم مقررات ملی ساختمان [۲۹]، انجام شده است. طراحی دیوارهای برشی براساس آیین‌نامه ACI ویرایش سال ۲۰۰۵ [۴۰]، انجام شده است.

۲-۵- کلیات مدل‌سازی

یکی از سیستم‌های رایج در ساختمان‌های بتنی، سیستم دوگانه دیوار برشی به اضافه قاب خمشی است. در این تحقیق ما از سیستم دوگانه با شکل پذیری متوسط استفاده می‌کنیم. محل سازه تهران، خاک منطقه از نوع تیپ II و کاربری ساختمان هم مسکونی است.

هدف از این تحقیق یافتن مؤلفه‌های لرزه‌ای سیستم دوگانه متوسط است، در حالی که یک بار از دیوارهای برشی توپر استفاده کرده و بار دیگر همان سازه را با دیوارهای برشی توخالی انجام می‌دهیم. سپس نتایج را با هم مقایسه می‌کنیم. مقطع دیوارهای برشی طوری انتخاب شده است که تقریباً با همان حجم از بتن دیوار برشی توپر یک مقطع جعبه‌ای شکل بdst آورده می‌شود. البته محدودیت‌های نرمافزار را باید در نظر گرفت، چون در perform-3D به کاربر اجازه داده نمی‌شود که گره‌ها از مقدار ۵ سانتی‌متر به یکدیگر نزدیک‌تر باشند [۳۱].

طبق آیین‌نامه ۲۸۰۰ سازه طوری طراحی شده که قاب خمشی به تنها یی قادر به تحمل ۲۵٪ بار جانبی باشد. سقف طبقات از نوع دال دوطرفه به ضخامت ۱۵ سانتی‌متر می‌باشد. داخل دیوارها، تیر تعییه نشده است. دیوارها به طور پیوسته از پی شروع شده و تا طبقه آخر ادامه می‌یابند. آرایش میلگرد‌ها حتی‌الامکان سعی شده ثابت بماند. اثرات $\Delta - P$ در طراحی لحاظ شده است. برای مدل‌سازی دال‌ها از المان‌های پوسته‌ای غشایی استفاده می‌شود، تا برنامه پخش بار ثقلی را به صورت ذوزنقه انجام دهد. برای مدل‌سازی دیوارهای برشی از رفتار کامل پوسته‌ای (Shell) استفاده می‌شود. اما برای این‌که دیوارهای برشی تنها رفتار درون صفحه‌ای داشته باشند، ضرایب کاهشی در سختی خمشی خارج از صفحه آن‌ها ضرب خواهد شد.

هر کدام از سازه‌ها در طبقات ۴، ۸ و ۱۲ طبقه ساخته می‌شوند. برای درنظر گرفتن اثر نامنظمی و پیچش بر مؤلفه‌های لرزه‌ای هر طبقه برای خروج از مرکزیت ۱۰٪ و ۲۰٪ طراحی شده است. ارتفاع کلیه طبقات در کلیه مدل‌ها ۳ متر می‌باشد. از مدل کردن لایه پلی‌استایرن بین دو دیوار برشی صرف‌نظر شده است.

براساس مبحث ششم مقررات ملی ساختمان [۲۳]، بار مرده طبقات $200 \frac{kg}{m^2}$ ، بار زنده طبقات $560 \frac{kg}{m^2}$ ، بار مرده دیوار پیرامونی نیز $340 \frac{kg}{m^2}$ و بار ناشی از دیوار داخلی

و بار زنده طبقه با میزان $150 \frac{kg}{m^2}$ باشد. بار مرده دیوار پیرامونی نیز $110 \frac{kg}{m^2}$ است.

جهت بارگذاری زلزله نیز از استاندارد ۲۸۰۰ (ویرایش سوم) [۲۵]، استفاده شده است. سازه در منطقه با خطر نسبی خیلی زیاد واقع شده است. بنابراین شتاب مبنای طرح $A=0/35$ است، و چون خاک ساختگاه از نوع II می‌باشد، داریم:

$$T_0 = 1/5, \quad T_s = +1, \quad S = +0/5$$

در آیین‌نامه ۲۸۰۰ (ویرایش سوم) [۲۵]، ضریب رفتار برای سیستم دوگانه قاب خمی به همراه دیوار برشی با شکل‌پذیری متوسط ۸ در نظر گرفته شده است. ضریب اهمیت ساختمان به دلیل مسکونی بودن، برابر ۱ می‌شود.

زمان تناوب اصلی سازه نیز برای سازه‌های ۴، ۸ و ۱۲ طبقه، براساس رابطه (۱-۵) مطابق زیر

محاسبه می‌شود [۲۵].

$$T = 0.05H^{\frac{3}{4}} \Rightarrow \begin{cases} T_{4st} = 0.05(12)^{\frac{3}{4}} = 0.322 \\ T_{8st} = 0.05(24)^{\frac{3}{4}} = 0.542 \\ T_{12st} = 0.05(36)^{\frac{3}{4}} = 0.735 \end{cases} \quad (1-5)$$

ضریب بازتاب این ساختمان‌ها براساس رابطه (۲-۵)، به شکل زیر است [۲۵].

$$B = \begin{cases} T_0 < T_{4st} < T_s \Rightarrow B_{4st} = 1 + S = 2.5 \\ T_{8st} > T_s \Rightarrow B_{8st} = (S + 1) \left(\frac{T_s}{T} \right)^{\frac{2}{3}} = 2.37 \\ T_{12st} > T_s \Rightarrow B_{12st} = (S + 1) \left(\frac{T_s}{T} \right)^{\frac{2}{3}} = 1.93 \end{cases} \quad (2-5)$$

در نتیجه ضریب زلزله (C) برای این ساختمان‌ها، به صورت زیر محاسبه می‌شوند:

$$A=0/3 \quad , \quad I=1 \quad , \quad R=\lambda \Rightarrow C = \frac{ABI}{R} \Rightarrow \begin{cases} C_{4st} = \frac{0.35 \times 2.50 \times 1}{8} = 0.1094 \\ C_{8st} = \frac{0.35 \times 2.37 \times 1}{8} = 0.1037 \\ C_{12st} = \frac{0.35 \times 1.93 \times 1}{8} = 0.0844 \end{cases}$$

اتصال تیر به ستون، تیر به دیوار برشی و ستون به پی گیردار فرض شده است. مشخصات مربوط به مصالح به کار رفته در سازه به صورت جدول (۱-۵) می‌باشد. مدول الاستیسیته بتن معمولی از رابطه (۳-۵) بدست می‌آید [۲۹]:

$$E_c = 15100\sqrt{f'_c} = 15100\sqrt{210} = 220000 \frac{kg}{cm^2} \quad (3-5)$$

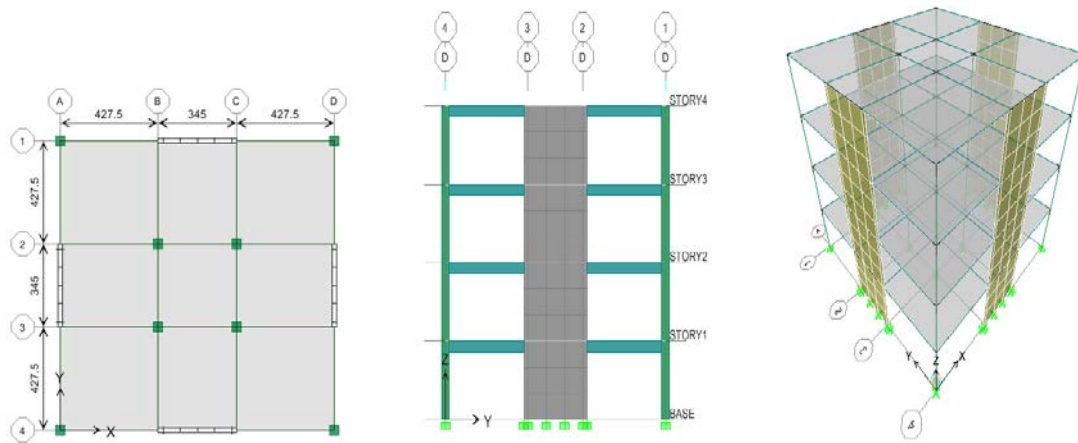
جدول ۱-۵ - مشخصات مصالح به کار رفته در مدل‌های مورد مطالعه

وزن واحد حجم بتن، w	$2500 \frac{kg}{m^3}$
مدول ارتجاعی فولاد، E_s	$20000 \frac{kg}{cm^2}$
مدول ارتجاعی بتن، E_c	$22000 \frac{kg}{cm^2}$
ضریب پواسون بتن، ν_c	۰/۲۰
تنش تسلیم میلگرد طولی، f_y	$4000 \frac{kg}{cm^2}$
تنش تسلیم میلگرد طولی، f_{ys}	$4000 \frac{kg}{cm^2}$

۳-۵ - مدل ۴ طبقه توپر و توخالی با پلان مربعی 12×12 متر

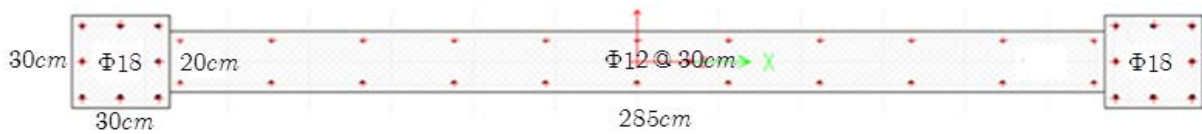
همان‌طور که در شکل (۱-۵) مشاهده می‌شود، در هر مدل ۴ دیوار وجود دارد. در تمام دیوارها از دو ردیف لایه آرماتوربندی در دو جهت طولی و عرضی استفاده شده است. سقف سازه از نوع دال

دوطرفه و به صورت صلب در نظر گرفته شده است. برای آرماتورهای عرضی با رعایت ضوابط مبحث ششم مقررات ملی ساختمان [۲۱]، از حداقل نسبت سطح مقطع آرماتور برشی افقی به مساحت کل مقطع قائم بتن، که مقدار $25/00\%$ می‌باشد، استفاده شده است.

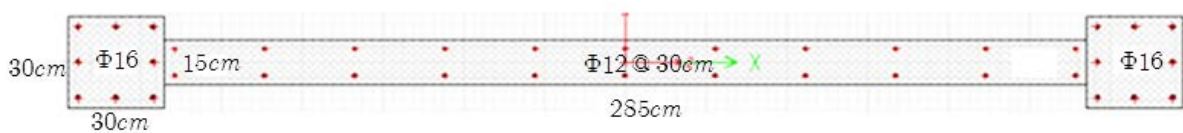


شکل ۱-۵- شکل سه‌بعدی، نما و پلان در سازه ۴ طبقه توپر با پلان 12×12 متر

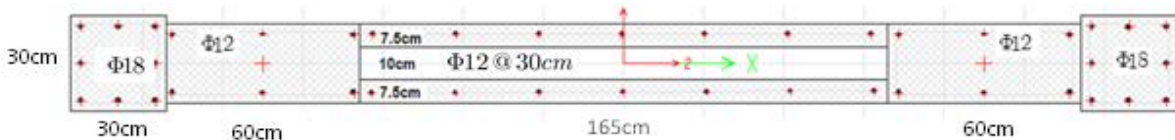
جزئیات دیوارها در شکل‌های زیر نشان داده شده است. پس از طراحی بر طبق استاندارد ۲۸۰۰ تغییر مکان نسبی هر طبقه کنترل می‌شود تا از مقدار مجاز آیین‌نامه بیشتر نشود.



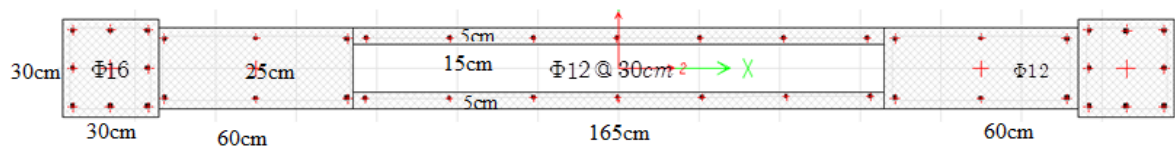
شکل ۲-۶- سطح مقطع دیوار برشی توپر در طبقات ۱ و ۲ از مدل‌های ۴ طبقه



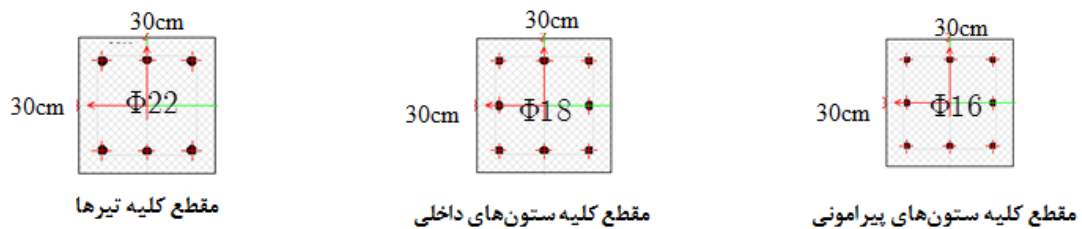
شکل ۳-۵- سطح مقطع دیوار برشی توپر در طبقات ۳ و ۴ از مدل‌های ۴ طبقه



شکل ۴-۵- سطح مقطع دیوار برشی توخالی در طبقات ۱ و ۲ از مدل‌های ۴ طبقه



شکل ۵-۵- سطح مقطع دیوار برشی توحالی در طبقات ۳ و ۴ از مدل‌های ۴ طبقه

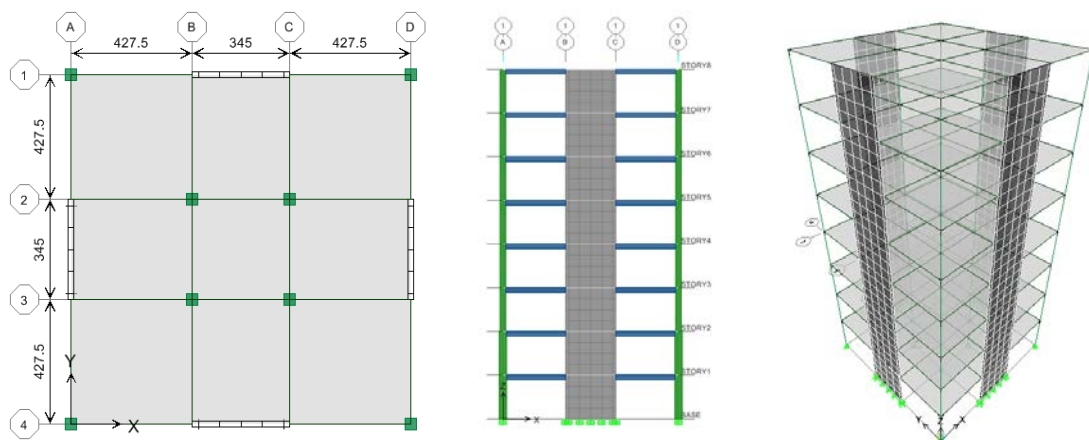


شکل ۵-۶- سطح مقطع ستون‌های پیرامونی، داخلی و کلیه تیرهای مدل‌های ۴ طبقه

۴-۵- مدل ۸ طبقه توپر و توحالی با پلان مربعی 12×12 متر

همان‌طور که در شکل (۷-۵) مشاهده می‌شود، در هر مدل ۴ دیوار وجود دارد برای آرماتورهای

عرضی با رعایت ضوابط مبحث ششم مقررات ملی ساختمان [۲۵]، استفاده شده است.

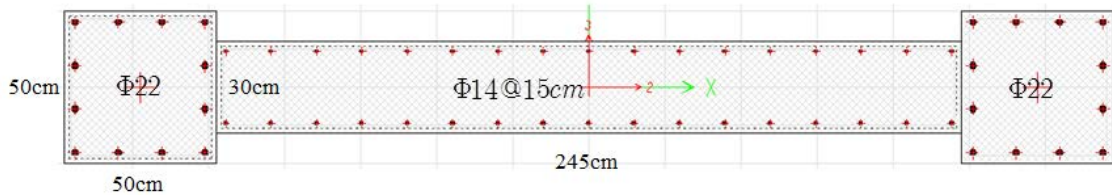


شکل ۷-۵- شکل سه‌بعدی، نما و پلان در سازه ۸ طبقه توپر با پلان 12×12 متر

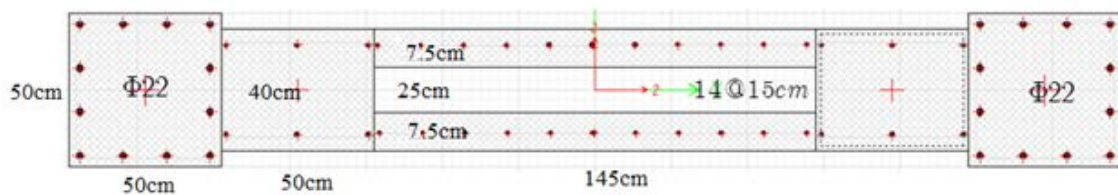
جزئیات دیوارها در شکل‌های زیر نشان داده شده است. پس از طراحی طبق استاندارد ۲۸۰۰

تغییر مکان نسبی هر طبقه کنترل می‌شود تا از مقدار مجاز آیین‌نامه بیشتر نشود. این مدل تمام

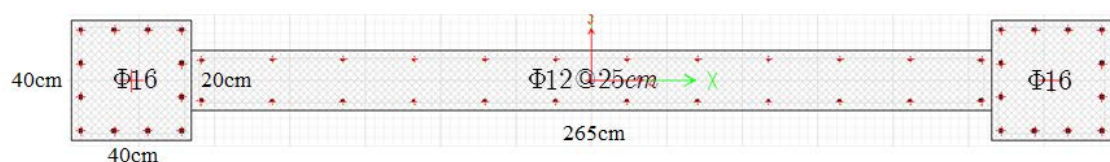
ضوابط این بند را ارضاء می‌کند.



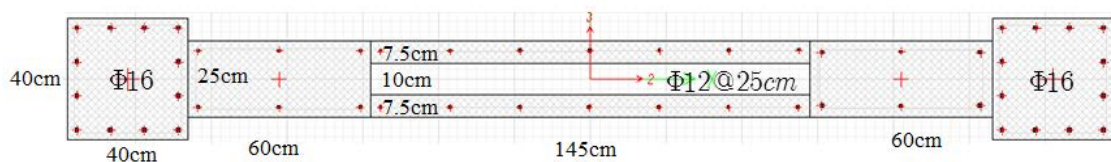
شکل ۵-۸- سطح مقطع دیوار برشی توپر در طبقات ۱ و ۲ از مدل‌های ۸ طبقه



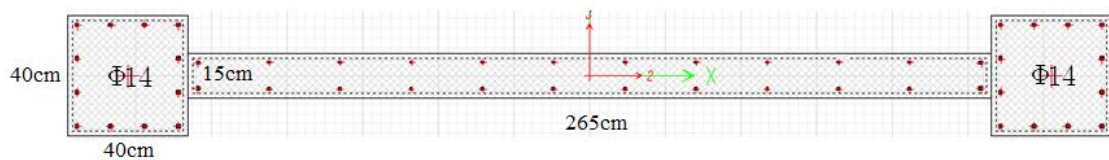
شکل ۵-۹- سطح مقطع دیوار برشی توخالی در طبقات ۱ و ۲ از مدل‌های ۸ طبقه



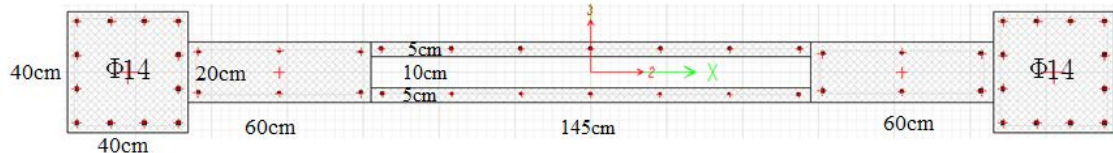
شکل ۵-۱۰- سطح مقطع دیوار برشی توپر در طبقات ۳، ۴ و ۵ از مدل‌های ۸ طبقه



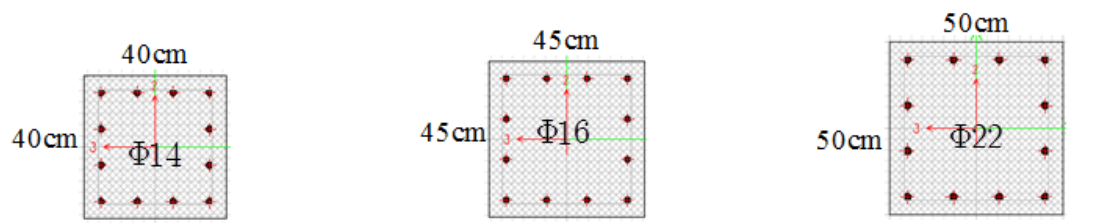
شکل ۵-۱۱- سطح مقطع دیوار برشی توخالی در طبقات ۳، ۴ و ۵ از مدل‌های ۸ طبقه



شکل ۵-۱۲- سطح مقطع دیوار برشی توپر در طبقات ۶، ۷ و ۸ از مدل‌های ۸ طبقه



شکل ۱۳-۵ - سطح مقطع دیوار برشی توخالی در طبقات ۶، ۷ و ۸ از مدل‌های ۸ طبقه

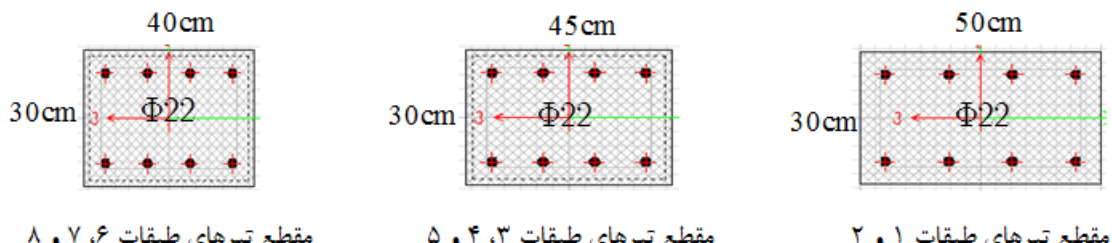


کلیه ستون‌های طبقات ۱ و ۲

کلیه ستون‌های طبقات ۳، ۴ و ۵

کلیه ستون‌های طبقات ۶، ۷ و ۸

شکل ۱۴-۵ - سطح مقطع ستون‌ها در مدل‌های ۸ طبقه



قطعه تیرهای طبقات ۱ و ۲

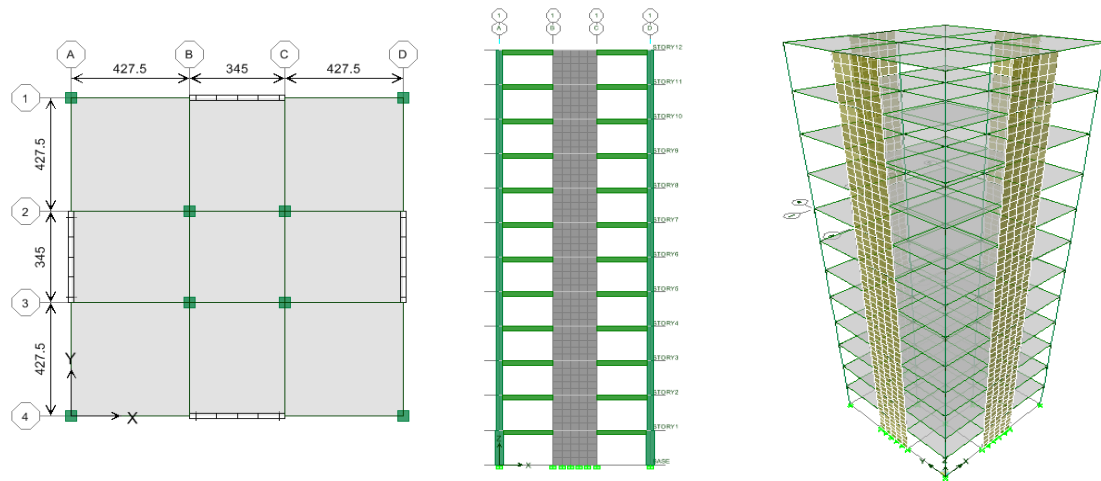
قطعه تیرهای طبقات ۳، ۴ و ۵

قطعه تیرهای طبقات ۶، ۷ و ۸

شکل ۱۵-۵ - سطح مقطع تیرها در مدل‌های ۸ طبقه

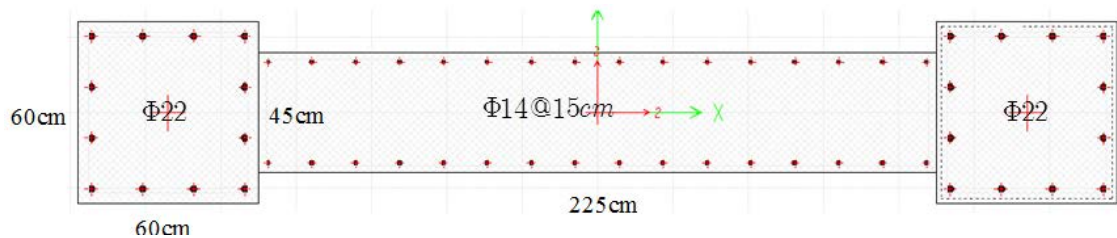
۱۲-۵-۵ - مدل ۱۲ طبقه توپر و توخالی با پلان 12×12 متر

همان‌طور که در شکل (۱۶-۵) مشاهده می‌شود، در هر مدل ۴ دیوار وجود دارد. در تمام دیوارها از دو ردیف لایه آرماتوربندی در دو جهت طولی و عرضی استفاده شده است. سقف سازه از نوع دال دوطرفه و به صورت صلب در نظر گرفته شده است. برای آرماتورهای عرضی با رعایت ضوابط مبحث ششم مقررات ملی ساختمان، از حداقل نسبت سطح مقطع آرماتور برشی افقی به مساحت کل مقطع قائم بتن، که مقدار $25\% / ۰$ می‌باشد، استفاده شده است.

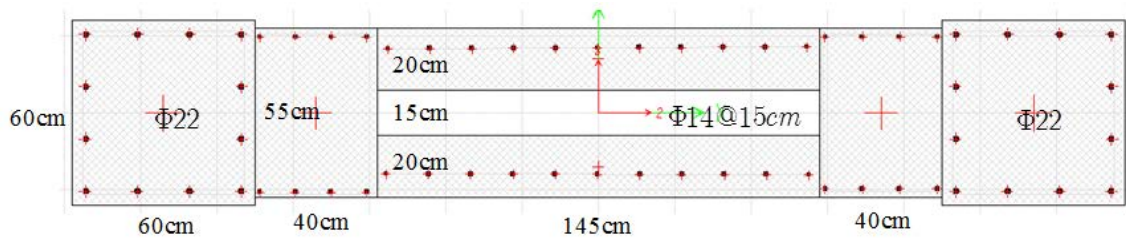


شکل ۱۶-۵- شکل سه‌بعدی، نما و پلان در سازه ۸ طبقه توپر با پلان 12×12 متر

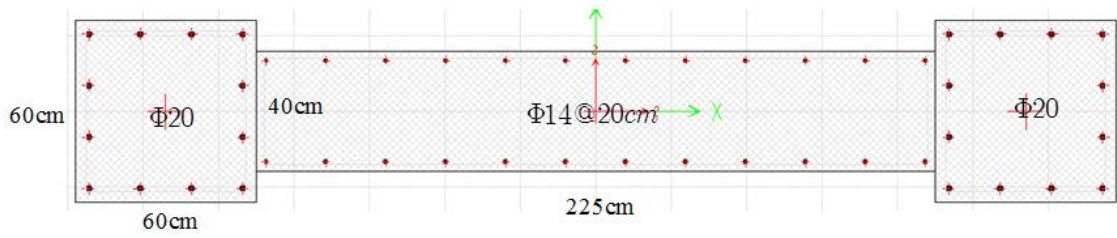
جزئیات دیوارها در شکل‌های زیر نشان داده شده است. پس از طراحی برابر استاندارد ۲۸۰۰ تغییرمکان نسبی هر طبقه کنترل می‌شود تا از مقدار مجاز آیین‌نامه بیشتر نشود. این مدل تمام ضوابط این بند را ارضاء می‌کند.



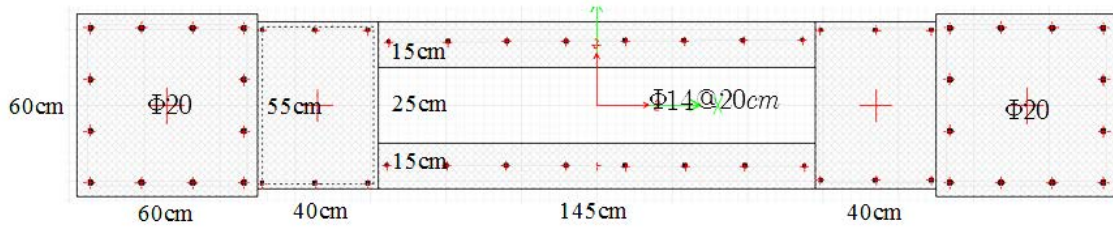
شکل ۱۷-۵- سطح مقطع دیوار برشی توپر در طبقه ۱ از مدل‌های ۱۲ طبقه



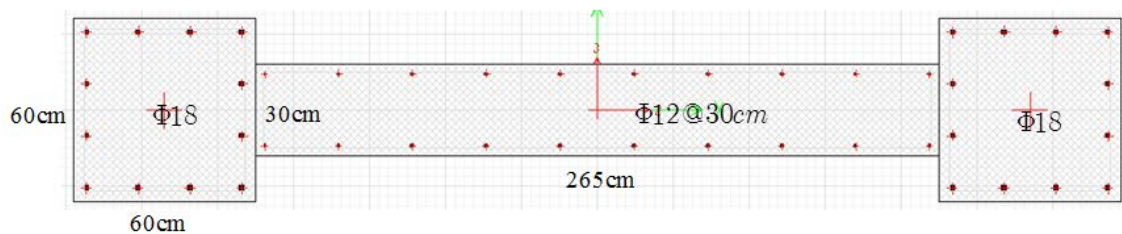
شکل ۱۸-۵- سطح مقطع دیوار برشی توخالی در طبقه ۱ از مدل‌های ۱۲ طبقه



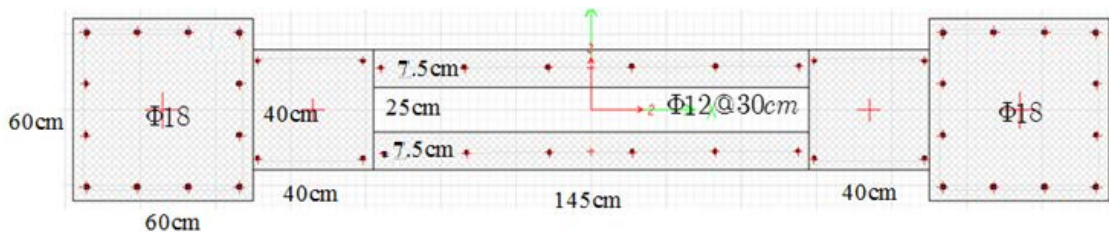
شکل ۱۹-۵- سطح مقطع دیوار برشی توپر در طبقات ۲ و ۳ از مدل‌های ۱۲ طبقه



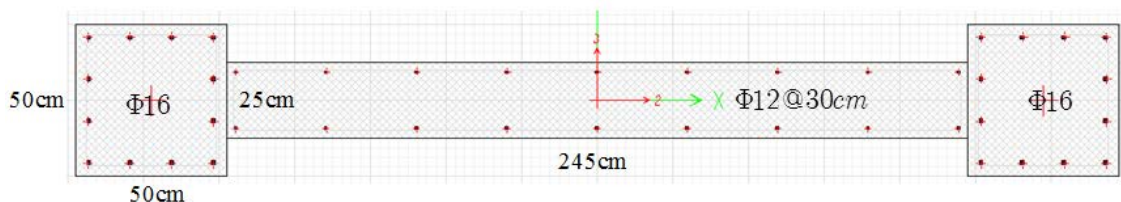
شکل ۲۰-۵- سطح مقطع دیوار برشی توخالی در طبقات ۲ و ۳ از مدل‌های ۱۲ طبقه



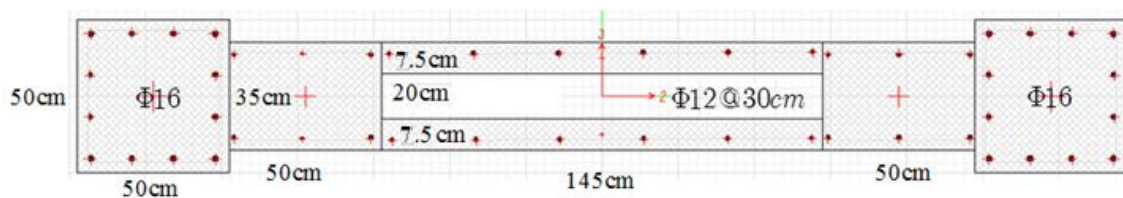
شکل ۲۱-۵- سطح مقطع دیوار برشی توپر در طبقات ۴، ۵ و ۶ از مدل‌های ۱۲ طبقه



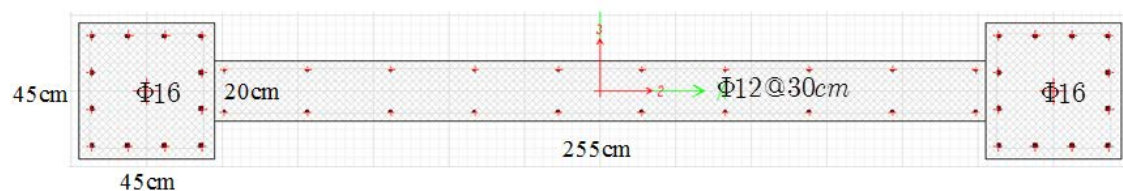
شکل ۲۲-۵- سطح مقطع دیوار برشی توخالی در طبقات ۴، ۵ و ۶ از مدل‌های ۱۲ طبقه



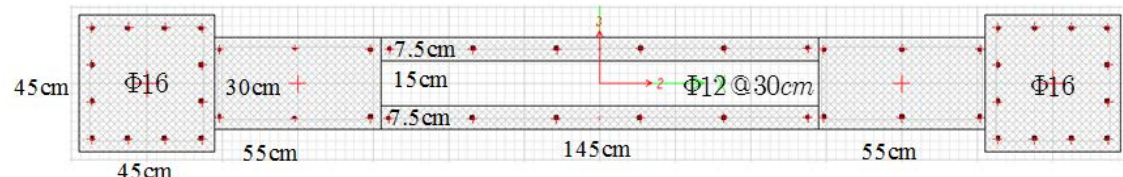
شکل ۲۳-۵- سطح مقطع دیوار برشی توپر در طبقات ۷، ۸ و ۹ از مدل‌های ۱۲ طبقه



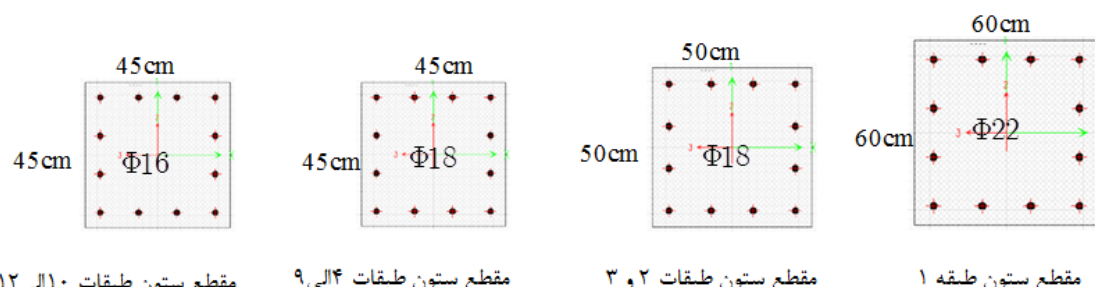
شکل-۵- سطح مقطع دیوار برشی توخالی در طبقات ۷، ۸ و ۹ از مدل‌های ۱۲ طبقه



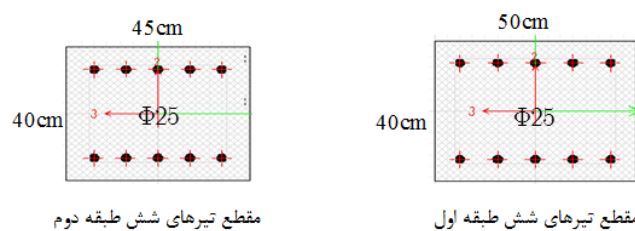
شکل-۶- سطح مقطع دیوار برشی توپر در طبقات ۱۰، ۱۱ و ۱۲ از مدل‌های ۱۲ طبقه



شکل-۷- سطح مقطع دیوار برشی توخالی در طبقات ۱۰، ۱۱ و ۱۲ از مدل‌های ۱۲ طبقه



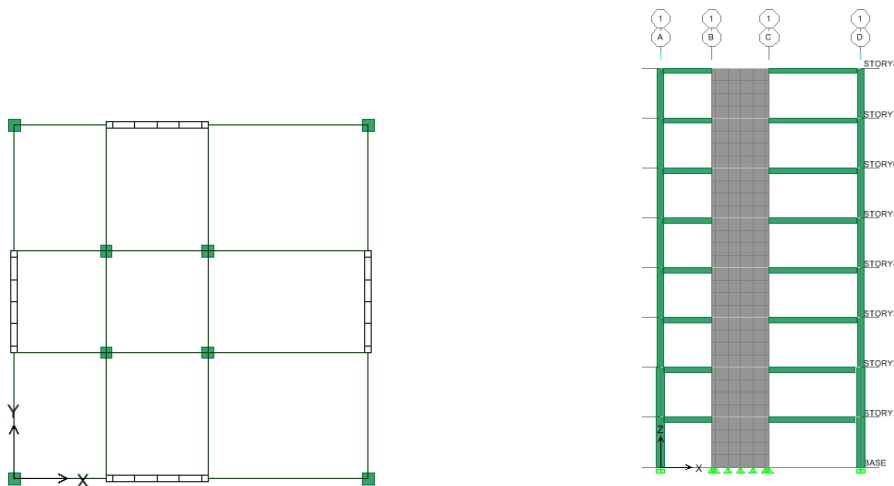
شکل-۸- سطح مقطع ستون‌ها در مدل‌های ۱۲ طبقه



شکل-۹- سطح مقطع تیرها در مدل‌های ۱۲ طبقه

۶-۵- مدل ۸ طبقه توپر و تو خالی با خروج از مرکزیت ۱۰٪ برای پلان 12×12 متر

برای ساخت این مدل، جهت ایجاد فاصله بین مرکز جرم و مرکز سختی برابر با ($1/2m = 12/10 = 1.2m$)، همان طوری که در پلان و نمای شکل (۲۹-۵) مشاهده می‌کنید، طول یکی از تیرهای متصل به دیوار را به مقدار $1/2m$ کم کرده و همین مقدار به طول تیر دیگر متصل به دیوار اضافه می‌کنیم. با این‌کار دیوارها $1/2m$ جابه‌جا شده و به تبع آن مرکز سختی سازه هم $1/2m$ با مرکز جرم فاصله پیدا می‌کند. این را برای یک جهت انجام می‌دهیم و جهت دیگر خروج از مرکزیت ندارد. سایر جزئیات دیوارها، تیرها و ستون‌ها مانند بخش (۴-۵) است.

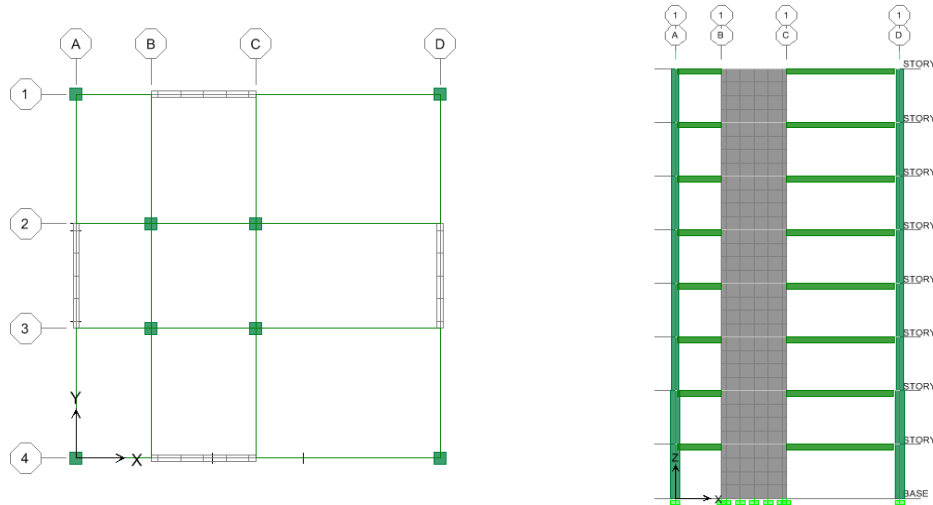


شکل ۲۹-۵- پلان و نمای سازه مورد مطالعه با خروج از مرکزیت ۱۰٪

۷-۵- مدل ۸ طبقه توپر و تو خالی با خروج از مرکزیت ۲۰٪ برای پلان 12×12 متر

برای ساخت این مدل، جهت ایجاد فاصله بین مرکز جرم و مرکز سختی برابر با ($2/4m = 12/20 = 1.2m$)، همان‌طوری که در پلان و نمای شکل (۳۰-۵) مشاهده می‌کنید، طول یکی از تیرهای متصل به دیوار را به مقدار $2/4m$ کم کرده و همین مقدار به طول تیر دیگر متصل به دیوار اضافه می‌کنیم. با این‌کار

مرکز سختی سازه $2/4\text{m}$ با مرکز جرم فاصله پیدا می‌کند. این را برای یک جهت انجام می‌دهیم و جهت دیگر خروج از مرکزیت ندارد. سایر جزئیات دیوارها، تیرها و ستون‌ها مانند بخش (۴-۵) است.



شکل ۵-۳۰-پلان و نمای سازه مورد مطالعه با خروج از مرکزیت٪۲۰

فصل ششم

مدل سازی غیرخطی

۱-۶- مقدمه

در این فصل، ابتدا به معرفی چند نرم‌افزار که دارای قابلیت تحلیل غیرخطی می‌باشند، می‌پردازیم و امتیازات و محدودیت‌های هر کدام را در غیرخطی مدل نمودن سازه‌ها مخصوصاً دیوارهای برشی را بیان می‌کنیم. همچنین نحوه مدل‌کردن، تحلیل و طراحی براساس عملکرد، توسط نرم‌افزار PERFORM-3D (Ver 4.0.3)، برای اعضای غیرخطی بیان می‌شود.

۲- نرم‌افزارهای مربوط به انجام تحلیل‌های غیرخطی

امروزه برای انجام تحلیل‌های غیرخطی، نرم‌افزارهای کاربردی گوناگونی با قابلیت‌ها و محدودیت‌های مختلف در دسترس است. نحوه مدل‌سازی خصوصاً در سازه‌های دارای دیوار برشی اهمیت ویژه‌ای دارد. برخی از نرم‌افزارها امکان تحلیل غیرخطی دیوار را به صورت مستقیم داشته و برای نرم‌افزارهای فاقد این ویژگی، می‌توان از روش‌های تقریبی مدل‌سازی استفاده نمود. نرم‌افزارهای SAP، ETABS و PERFORM-3D از جمله نرم‌افزارهای موجود برای تحلیل‌های غیرخطی می‌باشند. مدل‌های تحلیلی مختلفی برای نمایش پاسخ لرزه‌ای غیرخطی سازه‌های دارای دیوار برشی بتنی ارائه شده، که رفتار خمشی دیوارها را با درجات مختلفی از اطمینان نمایش می‌دهد. یک مدل کلارآمد، لازم است که نمایش دقیقی از رفتار برشی و خمشی این دیوارها داشته باشد. این مدل، باید به طور مناسب ظرفیت تغییرشکل، سختی و مقاومت دیوار برشی را مدل سازی نماید. برنامه‌های متداول تحلیل سازه‌ها مانند SAP و ETABS امکان مدل‌سازی غیرخطی المان‌های Shell را به طور مستقیم

ندارند، بنابراین شیوه متداول، مدل کردن بخش‌های دیوار برشی به کار بردن المان‌های تیر - ستون الاستیک خطی است، که خصوصیات مقطع خمشی و برشی را در بر بگیرند. نرمافزار PERFORM-3D امکان مدل‌سازی مستقیم غیرخطی دیوار را با استفاده از المان‌های دیوار فراهم می‌آورد و شرکت CSI نیاز به المان‌های قاب را برای مدل کردن بخش‌های دیوار حذف می‌کند، این المان به کمک تعدادی Fiber در طول دیوار که مدل مصالح غیرخطی به آن اختصاص داده شده است تعریف می‌گردد. در کل با وجود موثر بودن اغلب نرمافزارها برای تحلیل سازه‌های قابی، محدودیت‌هایی که در مدل‌سازی غیرخطی دیوارها در نرمافزارهایی مانند SAP و ETABS به ویژه در زمینه عملکرد دیوارهای متصل و عمود بر هم و عملکرد دال و دیوار در سیستم‌های فاقد تیر و ستون، وجود دارد، همچنین پیچیده و زمان بر بودن مدل‌های دقیق اجزای محدود سبب کارآمدتر شدن مدل‌های Fiber نسبت به سایر مدل‌سازی‌ها شده است. با درنظرگیری این موضوع، لزوم توجه آیین نامه‌ها و بسته‌های نرمافزاری به رویکرد Fiber بیشتر احساس می‌شود [۳۲].

با توجه به لزوم مدل‌سازی و تحلیل دقیق دیوارهای برشی به صورت غیرخطی در این پروژه و موارد ذکر شده در بالا در این پروژه از نرمافزار قدرتمند (Ver 4.0.3) PERFORM-3D استفاده شده است. از دیگر مزیت‌های این نرمافزار نسبت به SAP و ETABS سرعت بالاتر آن می‌باشد [۳۳].

۶-۳- ویژگی‌های نرمافزار PERFORM-3D

نرمافزار PERFORM-3D برنامه‌ای قدرتمند برای ارزیابی لرزه‌ای سازه‌هاست و به کمک آن می‌توان سازه‌های پیچیده‌ای مانند دیوارهای برشی را به طور غیرخطی مدل کرد. اصول کلی این نرمافزار مطابق با گزارشات FEMA می‌باشد. این برنامه در واقع تکمیل یافته برنامه Drain است که در محیط ویندوز قابل اجرا می‌باشد. نرم افزار PERFORM توسط پروفسور Graham H. Powell از دانشگاه برکلی تهیه شده است. نسخه چهارم PERFORM-3D کامل‌ترین ویرایش مجموعه برنامه‌های

PERFORM است، که محیط گرافیکی مناسب، دقت تحلیل بینظیر و قابلیت‌های فراوان مدل‌سازی انواع اجزای سازه‌ای است. علاوه بر این‌ها کارایی زیادی در طراحی براساس سطح عملکرد دارد و می‌تواند نسبت‌های ظرفیت نیاز را برای تمام اجزاء و حالات حدی محاسبه کند و در آن ارزیابی عملکرد بر اساس ACT-40 [۳۴] و FEMA356 [۳۵]، به طور خودکار انجام می‌شود. یکی از امتیازات آن در مقایسه با SAP و ETABS استفاده از مدل اجزای محدود گره و المان در مدل‌سازی است.

توانایی‌های این برنامه به طور مختصر به قرار زیر است [۳۶]:

۱-۳-۶- مدل‌سازی

۱. المان‌های خطی و غیرخطی
۲. لینک‌های برشی و panel zone
۳. دیوارهای برشی پیچیده با بازشووهای متعدد
۴. اتصالات شکننده (جوشی)، اتصالات نیمه صلب و پیچی
۵. میراگرهای سیال
۶. جداسازهای اصطکاکی
۷. مفاصل پلاستیک با اندرنکنش P-M-M

۲-۳-۶- تحلیل‌های غیرخطی

۱. تحلیل استاتیکی غیرخطی به صورت سه بعدی (pushover)
۲. تحلیل تاریخچه زمانی به صورت سه بعدی
۳. استفاده از سطح مقطع‌های فایبر (مقاطع مسلح به الیاف)، برای مصالح مختلف
۴. تعیین ظرفیت‌های غیرخطی با استفاده از تغییرشکل و یا مقاومت
۵. در نظر گرفتن منحنی نیرو - تغییرشکل سه خطی

۶. انتخاب اختیاری افت مقاومت شکننده و کاهش سختی

۷. محاسبه اتلاف انرژی

۸. بارگذاری تحت چندین زلزله

۹. موتور تحلیل کارا برای سازه‌های بزرگ

۳-۳-۶- عملکرد بر اساس ارزیابی

۱. تحلیل استاتیکی غیرخطی بر اساس ACT-40 و FEMA356

۲. حالت‌های حدی براساس تغییرشکل، مقاومت و یا تغییرمکان نسبی

۳. نسبت‌های نیاز به ظرفیت

۴. تعیین ظرفیت‌های تغییرشکل یا مقاومت برای انواع المان‌ها

۳-۴-۶- خروجی‌ها

۱. نمودارهای پوشآور برای ACT-40 و FEMA356

۲. نمودارهای تاریخچه زمانی مربوط به تغییرمکان‌ها، تغییرمکان‌های نسبی و نیروها

۳. نمایش تاریخچه زمانی نیروها برای گروهی از المان‌ها

۴. دیاگرام‌های لنگر و برش

۵. نمایش هندسه تغییرشکل یافته به صورت متحرک

۶. نمایش اشکال مودی به صورت متحرک

۷. نمایش نمودار بالانس انرژی

اولین سازه بزرگ دارای دیوار برشی که به عنوان یک سازه واقعی در این نرم‌افزار مدل شد،

دارای ۵۰ طبقه با ۱۶۷۰۰ گره و ۴۸۰۰۰ درجه آزادی و با ۱۲۵۰۰ المان غیرخطی و ۹۴۰۰ المان تیر

غیرخطی بوده است، و برای انجام تحلیل دینامیکی غیرخطی آن، ۱۰۰۰ گام در ۰/۰۲ ثانیه در نظر گرفته شد. انجام این تحلیل غیرخطی دینامیکی برای پاسخ یک زلزله متوسط روی یک رایانه شخصی ۲G مدت سه روز به طول انجامیده است.^[۳۳]

۶-۴- مدل‌سازی سیستم دوگانه قاب خمشی همراه با دیوار برشی

پس از انجام طراحی‌های اولیه مدل‌های ۴، ۸ و ۱۲ طبقه با پلان 12×12 متر، و نیز مدل‌های ۴، ۸ و ۱۲ طبقه با پلان 12×12 متر با خروج از مرکزیت (فاصله مرکز جرم و مرکز سختی) برابر با ۱۰٪ و ۲۰٪ بعد پلان، وارد بحث تحلیل غیرخطی این سیستم می‌شویم.

جزئیات مدل‌سازی غیرخطی در نرم‌افزار PERFORM-3D به صورت سه بعدی انجام می‌شود. اگرچه مدل‌سازی در برنامه بسیار وقت‌گیر بوده و نیازمند تسلط به روش‌های تحلیل غیرخطی است و گرافیک چندان قدرتمندی هم در ساختن مدل سه‌بعدی ندارد، با این حال، اطلاعات جامع خروجی نرم‌افزار، سختی مدل‌سازی را جبران می‌کند، چون این نرم‌افزار مخصوص طراحی براساس عمکرد ساخته شده است.^[۳۳]

۶-۴-۱- فرضیات مدل‌سازی

فرضیات در نظر گرفته شده برای مدل‌سازی غیرخطی سازه تشکیل شده برای سیستم دوگانه قاب خمشی به همراه دیوار برشی به صورت زیر است:

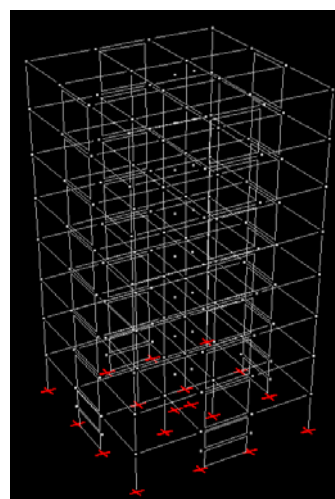
۱. در مدل کردن این سازه، دیافراگم سقف طبقات، صلب در نظر گرفته می‌شود.
۲. اندرکنش پی و سازه در نظر گرفته نشده است.
۳. در مدل کردن دیوار برشی توحالی از لایه پلی‌استرن صرف‌نظر شده است.
۴. اعضای غیراصلی در سازه مدل نشده است.
۵. از اثرهای مولفه‌های زلزله در دو امتداد متعامد افقی صرف‌نظر شده است.

۶. سازه برای سطح خطر-۱ و عملکرد ایمنی جانی طراحی می‌شود.

۷. از مقاومت کششی بتن صرف‌نظر شده است.

برای مدل‌سازی در PERFORM-3D ابتدا باید سازه را به کمک گره‌های مورد نیاز به صورت سه‌بعدی برای نرم‌افزار تعریف کنیم. برای صلب کردن سقف باید گره‌های آن را انتخاب و به آن‌ها دیافراگم صلب را اختصاص دهیم. در ادامه المان‌های مورد نیاز برای نرم‌افزار تعریف می‌شوند. برای این کار باید ابتدا سطح مقطع المان‌ها را مشخص کنیم و بعد خصوصیات مصالح و ویژگی‌های خطی و غیرخطی آن‌ها را اختصاص می‌دهیم. هنگامی که المان‌ها در سازه در گروه‌های خود قرار گرفتند، نوبت به بارگذاری ثقلی سازه می‌رسد. بارگذاری ثقلی در PERFORM-3D چندان قوی نیست و باید طراح خود مرکز جرم و وزن موثر در زلزله را با توجه به آیین‌نامه‌های موجود بدست آورده و در سازه قرار دهد. نرم‌افزار، وزن المان‌ها را در تحلیل به حساب می‌آورد، پس کافی است، بارهای زنده و مرده را به المان‌ها اختصاص دهیم. برای بارگذاری جانبی از سه روش تغییرمکانی، نیرویی و مودی می‌توان استفاده کرد، که ما از روش نیرویی استفاده می‌کنیم. در ادامه محدودیت‌های نیاز به ظرفیت را برای المان‌ها تعریف کرده و به آن‌ها اختصاص می‌دهیم. حالا سازه آماده طراحی غیرخطی است. پس از جواب‌گو بودن سازه برای عملکرد طراحی، از منحنی ظرفیت سازه با توجه به آیین‌نامه FEMA356 ضریب رفتار سازه بدست می‌آید، در ادامه تمامی این مراحل را بر روی سازه ۸ طبقه نشان می‌دهیم.

۶-۴-۲- ایجاد مدل سه‌بعدی، تکیه‌گاه‌های سازه، اختصاص جرم سازه و ایجاد کف‌صلب
 یک مدل تحلیلی در PERFORM-3D از تعدادی گره تشکیل شده که توسط المان‌هایی به هم مربوط هستند. برای ایجاد تکیه‌گاه صلب دیوارها و ستون‌ها با پی سازه، ابتدا باید همه آن‌ها را انتخاب کرده و سپس همه قیدهای جابه‌جایی و دوران را انتخاب کنیم [۲۷]. در شکل (۱-۶) نمونه سه‌بعدی سازه ۸ طبقه و تکیه‌گاه‌های گیردار را برای آن نشان می‌دهد.



شکل ۱-۶- نمای سه‌بعدی سازه ۸ طبقه با تکیه‌گاه‌های گیردار

در نسخه PERFORM-3D، تمام جرم‌ها باید همانند مشخصات گرهی توسط طراح مشخص شوند. در این برنامه کاربر می‌تواند از شش الگوی جرم برای توزیع جرم سازه استفاده کند. هر یک از این الگوهای باید با نام‌های متفاوتی نسبت به یکدیگر به برنامه معرفی شوند. با این‌کار، طراح فقط به یک توزیع جرم محدود نمی‌شود. در مرحله تحلیل^۱، این الگوهای بار باید به طور خطی با یکدیگر ترکیب شوند تا یک جرم واحد برای سازه در تحلیل در نظر گرفته شود[۲۷]. در این پروژه ما از ترکیب بار مطابق با استاندارد ۲۸۰۰ ویرایش سوم، برای دو الگوی بار مرده (DL) و زنده (LL) در مرحله تحلیل استفاده کردیم که مطابق زیر می‌باشد:

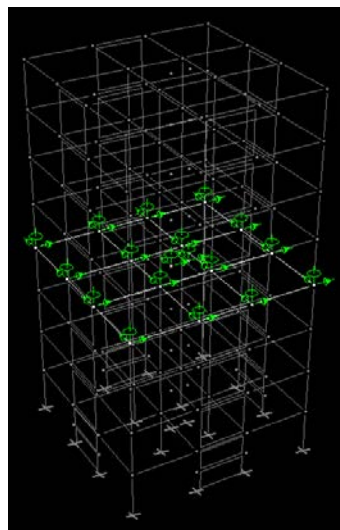
$$DL + 0.2LL \quad (1-6)$$

هر محدودیتی^۲ شامل مجموعه‌ای از قیدهای است که باید حداقل در دو گره اثر کند. در یک مجموعه محدودیت کف صلب، تمام گره‌ها در جهت V (قائم) باید مختصات یکسان داشته باشند، به

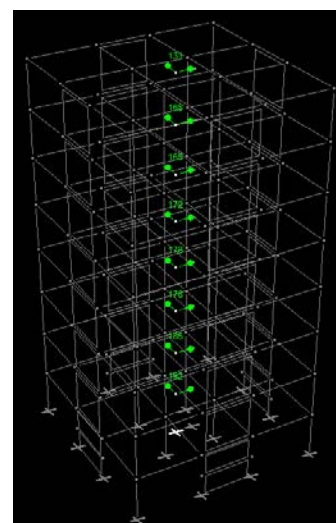
۱. Analysis phase

۲. Constraint

عبارة دیگر کف طبقه باید در یک سطح باشد. این محدودیت باعث می‌شود که تغییرمکان در جهت‌های H1 و H2 و دوران حول محور V برای تمام گره‌ها یکسان شود. با این‌کار هیچ یک از المان‌های تیر در کف صلب تغییرشکل محوری چندانی نخواهد داشت و تمام تیرها دارای نیروی محوری صفر خواهند بود. شکل زیر اختصاص جرم طبقات و اعمال محدودیت را به سقف طبقه برای صلب شدن نشان می‌دهد:



اعمال قیود برای سقف طبقات



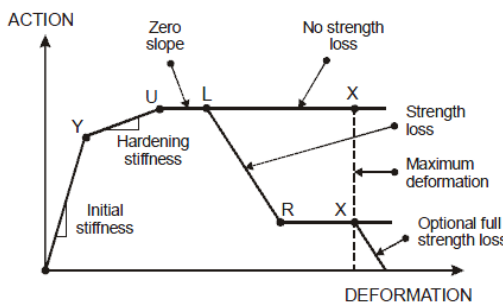
اختصاص جرم طبقات

شکل ۶-۲-۶- نحوه اعمال جرم طبقات و صلب کردن سقف طبقات در مدل‌های سه‌بعدی

۶-۴-۳- رفتار واقعی عناصر و روابط F-D در PERFORM-3D

رفتار واقعی عناصر در یک سازه حقيقی معمولاً با عدم قطعیت‌های بیشماری همراه است. در بیشتر مواقع بهترین راهکار این است که فقط از قسمت‌هایی از یک رفتار غیرخطی استفاده کنیم که بیشترین تاثیر را در نتایج تحلیل دارند. با وجود این که تفاوت‌های بسیار کم در رفتار غیرخطی عناصر، ممکن است تاثیر زیادی بر نتایج تحلیل بگذارند، با این وجود ساده‌سازی نیز بسیار مهم است، چون طراحی یک سازه غیرخطی فرآیند پیچیده‌ای است و اگر ما سعی کنیم مدل‌های تحلیلی بسیار دقیقی درست کنیم، این فرآیند بسیار پیچیده‌تر از پیش خواهد شد [۲۱].

برای هر ماده و هر جزء اصلی سازه‌ای روابط F-D (تلاش - تغییرشکل) را خواهیم داشت. در یک جزء سازه این رابطه ممکن است به صورت رابطه تنش - کنش باشد، یا برای یک مفصل پلاستیک به صورت رابطه لنگر خمشی - چرخش مفصل درآید. در حالت کلی به این گونه روابط دوتایی، رابطه گفته می‌شود. بیشتر اجزای غیرخطی در FERFORM-3D برای روابط F-D، شکل کلی مشابه F-D گفته می‌شود. رابطه سه خطی با افت مقاومت اختیاری مطابق شکل (۳-۶) را نشان می‌دهد [۲۱].



شکل ۳-۶- رابطه سه خطی با افت مقاومت [۲۷]

نقطه Y: نخستین نقطه تسیلیم می‌باشد که بعد از آن مهمترین بخش رفتار غیرخطی شروع می‌شود.

نقطه U: نقطه مقاومت نهایی، بیشترین مقاومتی که ماده به آن دست پیدا می‌کند.

نقطه L: نقطه حد شکل‌پذیری، که بعد از آن افت مقاومت قابل توجه است.

نقطه R: نقطه مقاومت باقی‌مانده که در کمترین مقاومت وجود دارد.

نقطه X: در این نقطه معمولاً تغییرشکل‌های بزرگی رخ می‌دهد، بنابراین بعد از این نقطه در تحلیل،

نقطه دیگری وجود ندارد و تحلیل را می‌توان در صورت تمایل بعد از این نقطه نیز ادامه داد ولی معمولاً

در نقطه تحلیل متوقف می‌شود.

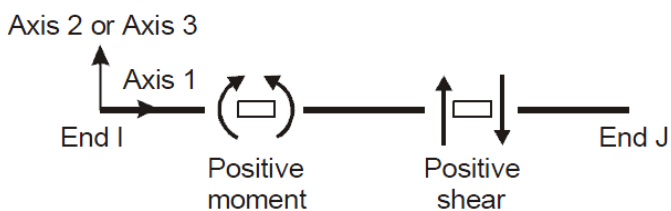
برای بیشتر اجزای رابطه الاستو پلاستیک کامل (e-p-p)، نسبت به یک رابطه سه خطی مناسب‌تر به نظر می‌رسد. در این حالت نقطه Y و U در یک تراز قرار می‌گیرند. برای بدست آوردن یک رابطه دوخطی بدون افت مقاومت، باید مقدار بزرگی را برای تغییرشکل در نقطه U تعیین کرد.

هم‌چنان برای بدست آوردن یک رابطه دوخطی همراه با افت مقاومت، تغییرشکل در نقطه U را

اندکی کوچک‌تر از تغییرشکل نقطه L در نظر می‌گیریم. در نرم‌افزار PERFORM-3D مشخص کردن افت مقاومت اختیاری است و در حالت کلی فقط زمانی که ضروری باشد آن را تعریف می‌کنیم. معمولاً تغییرشکل غیرخطی بیش از نقطه L جایز نیست، به عبارت دیگر ظرفیت تغییرشکل معمولاً کوچک‌تر از تغییرشکل نقطه L می‌شود. برای مثال FEMA 356 فقط برای اعضای غیراصلی و آن هم در سطح عملکرد آستانه فروریزش اجازه تغییرشکل بیشتر از نقطه L را داده است. بنابراین هر چه که بعد از نقطه L رخ دهد، بحث‌های علمی است که در عمل با آن مواجه نخواهیم شد [۲۱].

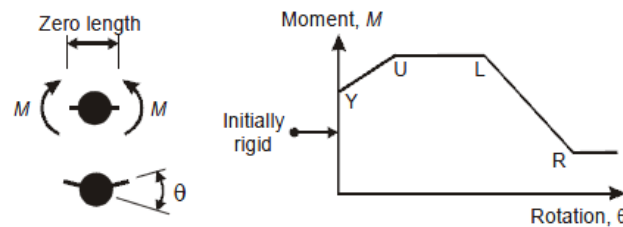
۶-۵- انواع مدل‌کردن تیر

تیرها معمولاً نیروی محوری کمی دارند و نیازی به محاسبه اندرکنش نیروی محوری و لنگر خمشی ندارند. چون در تیرها معمولاً خمش حول محور قوی سطح مقطع اتفاق می‌افتد، ضرورتی برای در نظر گرفتن خمش دومحوره یا برش دومحوره در آن‌ها نیست. هر المان تیر دو گره را به هم متصل می‌کند و شامل یک جز مرکب قابی است. بر روی تیرها می‌توان بارهای بارهای ثقلی متمرکز و گستردگی را قرار داد. قرارداد علامت‌ها در تیرها به شکل زیر است [۲۱].



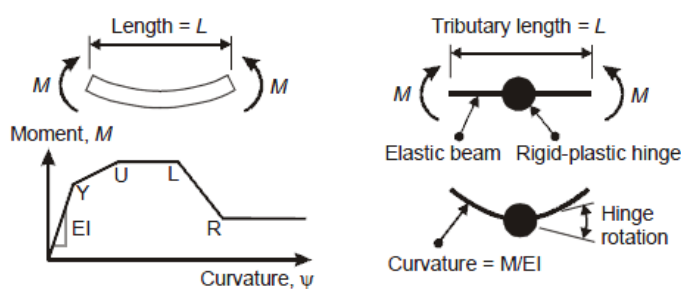
شکل ۴-۶- قرارداد علامت‌ها در تیرها [۲۷]

برای مدل غیرخطی می‌توان از مفصل پلاستیک استفاده کرد. در PERFORM-3D این مفصل می‌تواند، مفصل چرخشی (Moment curvature) یا مفصل انحنایی (Moment rotation) باشد. مفصل چرخشی یک مفصل پلاستیک صلب است. شکل (۵-۶) یک مفصل پلاستیک و رابطه بین ممان و چرخش را در آن نشان می‌دهد [۲۱].



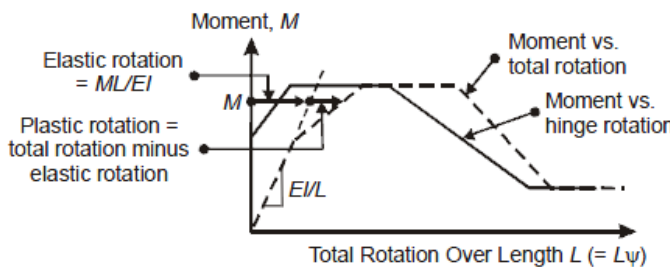
شکل ۵-۶- مفصل پلاستیک صلب [۲۷]

این مفصل در ابتدا صلب می‌باشد و زمانی که ممکن به حد تسلیم بررسد چرخش مفصل فوق شروع می‌شود. مفصل انحنایی نیز مانند مفصل چرخشی است و اختلاف این دو در تغییرشکل‌هاست، که در این نوع به شکل اనحنا خواهد بود. شکل (۶-۶) یک مفصل انحنایی را نشان می‌دهد.



شکل ۶-۶- مفصل پلاستیک انحنایی [۲۷]

در شکل سمت چپ، طول معادل از یک تیر نشان داده است، که شامل بخش الاستیک و مفصل پلاستیک است. سختی تیر الاستیک همان سختی تیر اولیه است، و تغییرشکل این قسمت از تیر به عنوان تغییرشکل الاستیک تیر می‌باشد. هم‌چنین تغییرشکل مفصل پلاستیک سهم تغییرشکل پلاستیک تیر بوده و تغییرشکل نیاز مفصل برابر با تفریق تغییرشکل الاستیک از تغییرشکل کل می‌باشد، در شکل (۷-۶) نشان داده شده است [۲۱].



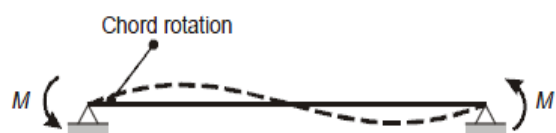
شکل ۶-۷- سهم تغییرشکل پلاستیک تیر از کل تغییرشکل تیر [۲۱]

خط نقطه‌چین در شکل فوق رابطه بین ممان و چرخش در طول کل L است و با توجه به

این که چرخش الاستیک تیر تحت ممان M برابر $\frac{ML}{EI}$ می‌باشد، با کاهش این قسمت از چرخش کل، چرخش مفصل تعیین می‌شود. برای مفصل چرخشی معیار تغییرشکل برای محاسبه نیاز به ظرفیت، چرخش مفصل بوده و برای مفصل انحنایی معیار تغییرشکل، احنا می‌باشد. برای نتایج خروجی و محاسبه نسبت نیاز به ظرفیت احنا، این نرم‌افزار چرخش را به احنا تبدیل می‌کند [۲۱].

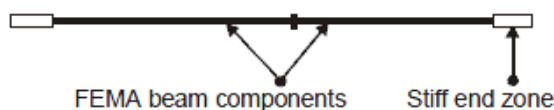
۶-۵-۱- مدل دوران وتری

این مدل ساده‌ترین گزینه با بیشترین محدودیت، برای مدل کردن تیرهاست که مدل اولیه آن در شکل (۸-۶) نشان داده شده است [۲۱].



شکل ۸-۶- مدل دوران وتری [۲۷]

در این مدل یک تیر ساده با دو ممان انتهایی مخالف و بارگذاری در دهانه در نظر گرفته شده است. برای استفاده از این مدل باید، رابطه غیرخطی بین ممان‌های انتهایی و دوران تعریف شود. دوران انتها ناشی از خمش می‌باشد، که به صورت دوران جسم صلب در نظر گرفته می‌شود. شکل (۹-۶) نمونه‌ای از مدل PERFORM-3D برای مدل دوران وتری می‌باشد [۲۱].



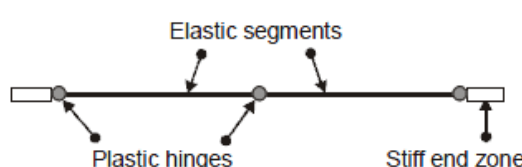
شکل ۹-۶- مدل دوران وتری در [۲۷] PERFORM-3D

این مدل شامل اعضایی با طول محدود و رفتار غیرخطی است و حاوی دو بخش می‌باشد، که به کاربر اجازه می‌دهد برای یک تیر دو بخش با خصوصیات و رفتار مختلف تعریف کرد. طول گسترش هر مفصل $\frac{1}{3}$ طول هر مولفه FEMA، یعنی $\frac{1}{6}$ دهانه خالص می‌باشد. در این نرم‌افزار از مولفه‌های زیر جهت ایجاد مدل دوران وتری برای تیرها استفاده می‌شود [۲۱]:

۱. تیرهای فلزی (FEMA steel beam): برای تیرهای فلزی، ظرفیت چرخش انتهایی به صورت مضربی از چرخش تسلیم داده شده است.
۲. تیرهای بتنی (FEMA concrete beam): برای تیرهای بتنی، ظرفیت چرخش انتهایی به صورت چرخش پلاستیک داده شده است.

۶-۵-۲- مدل مفصل پلاستیک

با به کارگیری مدل دوران وتری به طور غیرمستقیم از مفاصل پلاستیک استفاده می‌شود. نرم‌افزار PERFORM-3D این امکان را می‌دهد، تا مدل را به طور مستقیم از مفاصل بسازیم. به طور مثال اگر تیری چنان تحت بارگذاری قرار گیرد که امکان تشکیل مفصل پلاستیک، علاوه بر دو سر آن در وسط تیر هم باشد، از مدلی مثل شکل (۱۰-۶) می‌توان استفاده کرد [۲۱].



شکل ۱۰-۶- مدل مفصل پلاستیک [۲۷]

مدل مفصل پلاستیک، یک مدل با مشخصه پلاستیسیته متمنکز^۱ می‌باشد. در این مدل فرض شده که تمام تغییرشکل‌های غیرخطی، در مفاصل پلاستیک تمرکز دارند و تیر الاستیک است. با وجود تقریب زیاد، این مدل برای مقاصد کاربردی به‌موقع روش مناسبی می‌باشد [۲۱].

۳-۵-۶- مدل ناحیه پلاستیک

برخلاف مدل مفصل پلاستیک که طول تغییرشکل‌های پلاستیک در آن ناحیه‌ای به طول صفر متمنکز است، در مدل ناحیه پلاستیک این تغییرشکل‌ها در طول معینی از تیر توزیع می‌شوند و می‌توان طولی را برای ناحیه پلاستیک مشخص کرد. در این مدل باید به نکات زیر توجه کرد [۲۱]:

۱. برای تعریف این مدل باید از مفاصل ممان – انحنا، یا از مقاطع رشته‌ای استفاده شود.
۲. رابطه بین ممان و انحنا در تیر اصلی و مدل تعریف شده باید یکسان باشند و رابطه در نظر گرفته شده باید توسط نتایج واقعی کالیبره شود.
۳. ناحیه پلاستیک باید یک طول ثابت داشته باشد، اما در تیرهای واقعی طول جاری‌شدگی می‌تواند با تغییرات بارگذاری تغییر کند.

سخت‌ترین مرحله کار در این مدل تعیین طول ناحیه پلاستیک است. برای این کار می‌توان از روش‌های مختلفی استفاده کرد، که ساده‌ترین آن‌ها تعیین ناحیه پلاستیک به‌صورت درصدی از طول تیر می‌باشد. برای اغلب تیرها و ستون‌ها از رابطه () که در آن D عمق مقطع است، برای طول ناحیه پلاستیک استفاده کرد [۲۱]:

$$L_P = 0.5D \quad (3-6)$$

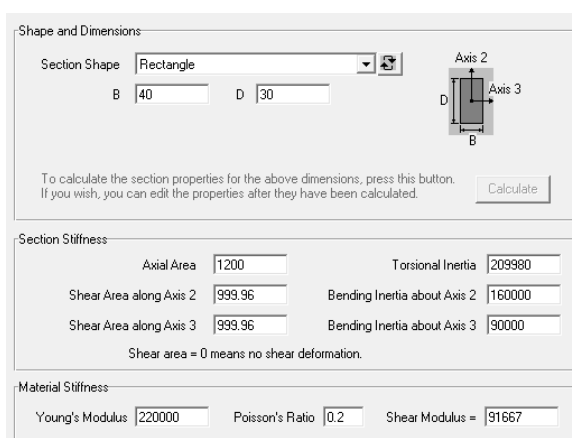
۱. Lumped plasticity

۶-۶- مدل کردن تیرهای بتن مسلح در PERFORM-3D

در این پژوهه از مدل دوران و تری استفاده شده است. برای مثال مراحل ساخت یکی از تیرهای داخلی بین ستون‌ها با این روش به صورت زیر است:

۶-۶-۱- تعریف سطح مقطع تیر

در یک برنامه رایانه‌ای برای تحلیل خطی معمولاً مشخصات یک المان با اختصاص یک سطح مقطع و یک ماده الاستیک مشخص می‌شود، که در بیشتر موارد خواص المان بعد از این مرحله به طور کامل اختصاص می‌یابد. اما این کار در تحلیل غیرخطی به دلیل نیاز به مشخصات بیشتر، خیلی ساده نیست. چون علاوه بر داشتن مشخصات سختی عضو به مشخصات مقاومتی هم نیازمندیم. از سطح مقطع برای اختصاص ابعاد به اجزای اصلی در یک جز مرکب، برای تعیین مشخصات چشم‌های اتصال^۱ و برای اختصاص ابعاد به ناحیه صلب انتهایی در المان‌های تیر و ستون استفاده می‌شود. برنامه از روی سطح مقطع مشخصات سختی را به‌طور خودکار محاسبه می‌کند [۲۱]. در شکل (۱۱-۶) نحوه اختصاص سطح مقطع $B30 \times 40$ و مشخصات سختی آن نشان داده شده است.



شکل ۱۱-۶- اختصاص سطح مقطع و محاسبه مشخصات سختی

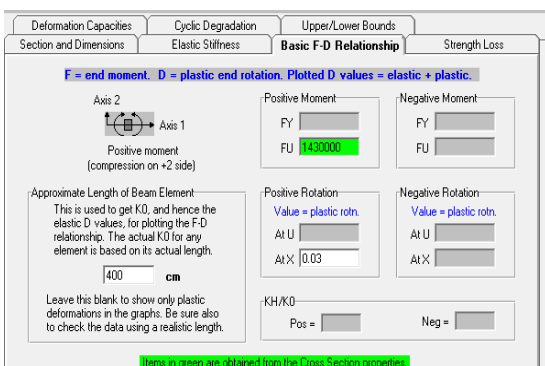
۱. Connection panel zone

۶-۲-۶- تعریف رابطه F-D برای تیر

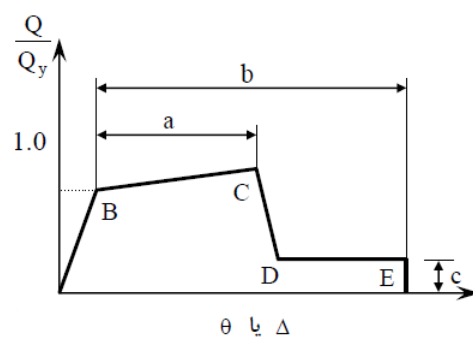
برای تعریف مفصل پلاستیک باید لنگر مقاوم نهایی تیر را به کمک آیین‌نامه‌های طراحی موجود بدست بیاوریم. سختی اولیه را برنامه از روی سطح مقطع به‌طور خودکار محاسبه می‌کند، فقط لازم است که طول تقریبی تیر را به برنامه بدهیم. چون تیر متقاض است، فقط لنگر مثبت را وارد می‌کنیم. البته برای اعضای بتنی کنترل‌شونده توسط تغییرشکل، از مقاومت مورد انتظار مصالح طبق رابطه () استفاده می‌شود.

$$\left\{ \begin{array}{l} (f'_c)_{CE} = 1.25 f'_c \\ (F_y)_{CE} = F_{ye} = 1.15 F \end{array} \right. \quad (3-6)$$

منظور از atX در برنامه همان b در آیین‌نامه بهسازی لرزه‌ای و FEMA356 می‌باشد، که در شکل ۱۲-۶ نشان داده شده است و مقدار آن از جدول (۷-۶) دستورالعمل بهسازی لرزه‌ای ساختمان‌های موجود بدست می‌آید، در شکل (۱۳-۶) رابطه F-D را برای تیر $B30 \times 40$ مشخص است.



شکل ۱۳-۶- رابطه F-D برای تیر



شکل ۱۲-۶- رابطه بار - تغییرشکل کلی برای اجزای بتنی [۲۷]

۶-۳-۶- افت مقاومت

در FEMA356 یک افت مقاومت ناگهانی در نقطه L و یک افت مقاومت کلی در نقطه E رخ می‌دهد، ولی در PERFORM-3D افت مقاومت از نقطه L هم می‌تواند به طور ناگهانی، و هم می‌تواند تدریجی باشد. ولی افت مقاومت تدریجی واقع‌بینانه‌تر است، به عنوان یک قانون کلی باید از افتها

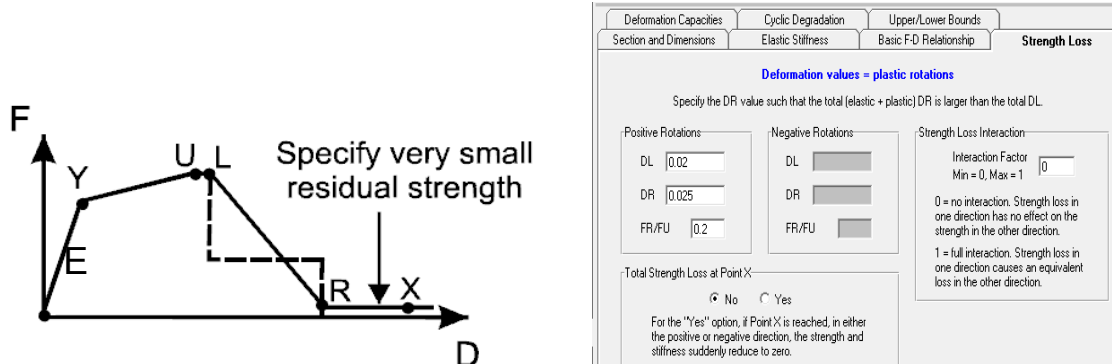
مقاومت ناگهانی اجتناب کرد [۲۱]. در شکل (۱۴-۶) افت مقاومت در تیر نشان داده شده و در شکل

(۱۵-۶) تفاوت افت مقاومت در PERFORM-3D با FEMA356 را نشان می‌دهد. خط نقطه‌چین

مربوط به FEMA356 می‌باشد. در این برنامه DL همان مقدار a در جدول (۷-۶) دستورالعمل

بهسازی لرزه‌ای ساختمان‌های موجود می‌باشد. DR برای شبیب افت تدریجی می‌باشد و با سعی و خطا

بدست می‌آید. مقدار $\frac{FR}{FU}$ نشان دهنده مقاومت باقی‌مانده در تیر است.

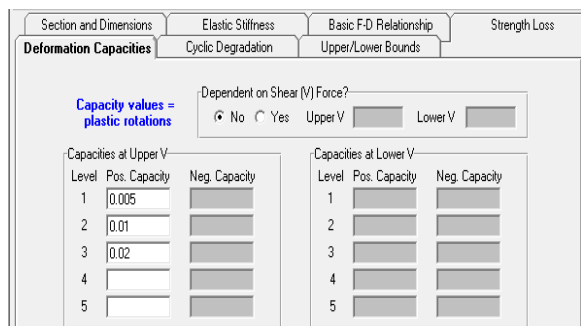


[۲۷] شکل ۱۵-۶-تفاوت افت مقاومت با PERFORM با FEMA356

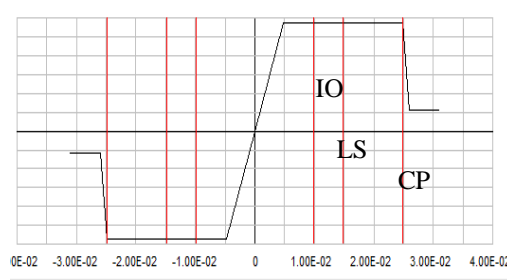
شکل ۱۴-۶- افت مقاومت در تیر

۶-۴-۶- معیارهای پذیرش برای نسبت‌های نیاز - ظرفیت

برای انجام این قسمت ابتدا باید یکبار تحلیل را انجام بدھیم با مقادیر فرضی یا مقادیری که قبل از آورده‌ایم از تحلیل خطی، سپس با توجه به مقادیر خروجی برای مدل غیرخطی این مقادیر را از جدول (۷-۶) دستورالعمل بهسازی لرزه‌ای ساختمان‌های موجود می‌باشد، بدست می‌آوریم. شماره‌های ۱، ۲ و ۳ به ترتیب نشان دهنده سطح عملکردی IO و LS و CP می‌باشند. با توجه به تقارن تیر فقط مقادیر مثبت برای معیارهای پذیرش کفایت می‌کند. شکل (۱۶-۶) معیارهای پذیرش را روی نمودار F-D نشان می‌دهد.



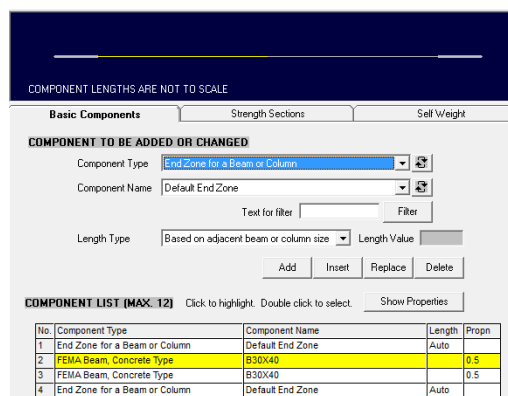
شکل ۱۷-۶- معیارهای پذیرش در تیر



شکل ۱۶-۶- معیارهای پذیرش برای تیر در نمودار D-D

۶-۵-۶- ترکیب اجزا برای ساخت تیر

در این مرحله باید اجزایی را که در مراحل قبل تیر برای ساختیم با هم ترکیب کنیم. برای این منظور ابتدا نواحی صلب انتهایی را انتخاب می‌کنیم، برنامه با توجه به سطح مقطع تیر و ستون محاسبات لازم را به طور خودکار انجام می‌دهد. چون تیر متقارن است هر قسمت جز غیرخطی نصف طول تیر را تشکیل می‌دهد. در شکل (۱۸-۶) این موضوع نشان داده شده است.

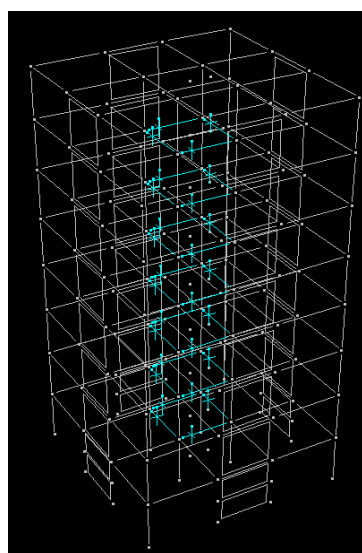


شکل ۱۸-۶- ترکیب اجزا برای ساخت تیر غیرخطی

ضمناً در این مرحله وزن تیر را می‌توانیم وارد کنیم. برای این کار باید بعد از انتخاب گزینه Self weight وزن ۱ متر از تیر را وارد کنیم، برنامه با توجه به طول تیر، وزن کل تیر را حساب می‌کند.

۶-۶-۶- اختصاص دادن مدل ساخته شده به عضو تیر در سازه

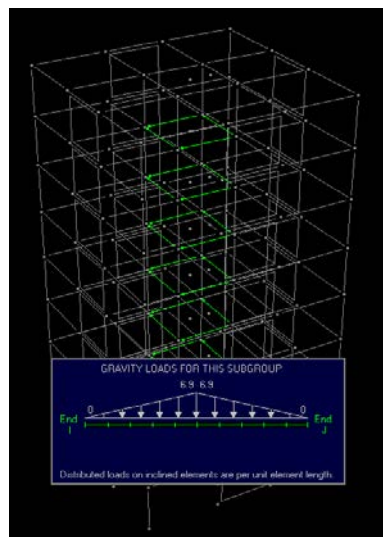
در این قسمت باید تیرهایی را که خصوصیات یکسانی دارند، در یک گروه قرار داد و جهت‌گیری مختصات تیرها مشخص شود، این مسئله برای تیرهایی که هندسه و بارگذاری متقارنی ندارند خیلی مهم است، ولی در این نرمافزار به علت ضعیف بودن گرافیک و نشان ندادن حجم اعضای سازه کمی مشکل است. بعد از این قسمت باید تیر ساخته شده در مرحله ۵ را به گروه تیر انتخاب شده اختصاص دهیم. شکل (۱۹-۶) نحوه قرار گرفتن تیرها در یک گروه و جهت‌گیری آن‌ها را نشان می‌دهد.



شکل ۱۹-۶- اختصاص مختصات محلی به یک گروه تیر

۶-۶-۷- بارگذاری اعضا

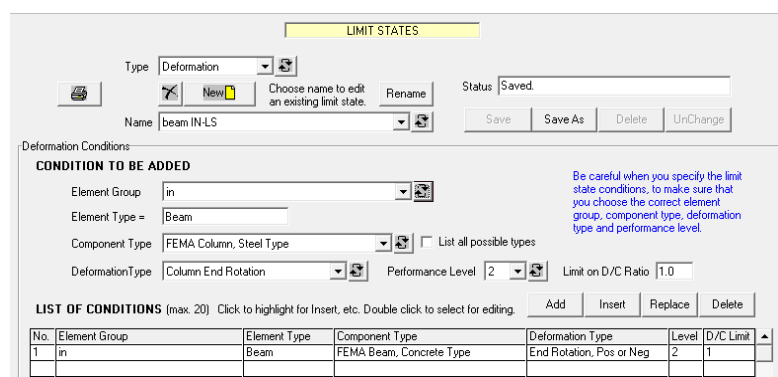
در این مرحله بارهای زنده و مرده به گروههای از قبل مشخص شده اعمال می‌شود. شکل (۲۰-۶) نحوه اختصاص بار زنده را به یک گروه تیر نشان می‌دهد.



شکل ۲۰-۶- بارگذاری اعضا

۶-۶-۸- حالت‌های حدی و نسبت‌های کاربردی

در تحلیل غیرخطی حجم زیادی از نتایج تحلیل ایجاد می‌شود، با استفاده از حالت‌های حدی^۱، می‌توان نتایج را به صورت تعداد کمی نسبت‌های کاربردی^۲ خلاصه کرد و هنگامی که تغییر مکان هدف پیدا شد، به ما نشان می‌دهند، آیا سازه توانسته نیازهای عملکردی را ارضاء کند یا خیر. شکل (۲۱-۶) تیر را برای حالت حدی ایمنی جانی و نسبت نیاز به ظرفیت برابر یک نشان می‌دهد.



شکل ۲۱-۶- اختصاص حالت‌های حدی و نسبت‌های کاربردی

۱. Limit states

۲. Usage ratio

۶-۷- انواع مدل کردن ستون‌ها

ستون‌ها به‌طور کلی نیروی محوری بزرگی دارند. بنابراین در نظر گرفتن اندکنش P-M برای آن‌ها ضروری است. معمولاً در ستون‌ها خمش حول هر دو محور سطح مقطع رخ می‌دهد، در نتیجه در نظر گرفتن خمش و برش دو محوره برای آن‌ها لازم است. هر ستون از ارتباط دو گره به وجود می‌آید و شامل یک جز قابی است. روش‌های مدل‌سازی برای ستون‌های غیرخطی علاوه بر تمام روش‌های گفته شده برای تیرها چند روش دیگر را هم شامل می‌شود. دو روش مدل دوران وتری و مدل مفصل خمشی را به‌طور مختصر توضیح می‌دهیم [۲۱].

۶-۱- مدل دوران وتری

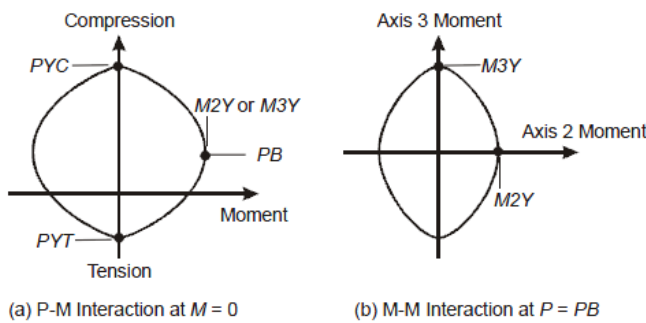
این مدل شامل ستون بتنی (FEMA concrete column) FEMA می‌باشد که مشخصات و تعاریف آن مشابه تیرهای است. اگر ستون در تمام طول خودش دارای مقاومت محوری ثابت و یکنواخت باشد و تحت نیروی خالص قرار گیرد، در تمام طولش به‌طور محوری جاری می‌شود. در این حالت طول مفصل پلاستیک، ارتفاع ستون می‌باشد. این مدل نسبت به مدل‌های دیگر مناسب‌تر است [۲۱].

۶-۲- مدل ستون با استفاده از مفهوم مفصل چرخشی

در این مدل ستون بر پایه اندکنش نیروی محوری، لنگرهای خمشی و سطوح تسلیم المان ستون مدل‌سازی می‌شود. مفصل پلاستیک تعریف شده، مشابه مفصل پلاستیک ناشی از خمش می‌باشد، ولی با تفاوت‌های زیر:

- ۱- در مفصل P-M-M برای آگاهی از مشخصات پس از تسلیم، نیاز به تعریف یک سطح تسلیم است.
- ۲- زمانی که یک مفصل جاری می‌شود علاوه بر چرخش، به صورت محوری نیز تغییرشکل می‌دهد.
- ۳- برای یک مفصل چرخشی تغییرشکل خمشی، چرخش و تغییرشکل محوری، جابه‌جایی محوری می‌باشد ولی برای یک مفصل انحنایی تغییرشکل خمشی، انحنا و تغییرشکل محوری، کرنش است.

شکل (۲۲-۶) سطح تسلیمی را نشان می‌دهد که PERFORM-3D برای یک سطح تسلیم P-M-M ۲۲-۶ در مقاطع بتنی استفاده می‌کند.



شکل ۲۲-۶- سطح اندرکنش P-M-M در مقاطع بتنی [۲۷]

معادلات این سطح تسلیم به صورت رابطه (۴-۶) است.

$$f_{PM} = \left(\frac{P - P_B}{P_{YO} - P_B} \right)^\alpha + \left(\frac{M}{M_{YB}} \right)^\beta \quad (4-6)$$

f_{PM} = مقدار عملکرد تسلیم است، در حالت تسلیم مقدار این مولفه برابر یک می‌شود، P = نیروی

P_B = نیروی محوری در نقطه تعادل (فرض شده که در هر دو صفحه، P-M یکسان باشد)، M = محوری،

M_{YB} = نیروی تسلیم در $P = P_B$ و $M = 0$ لنگر تسلیم در $P = P_B$ است.

برای مولفه α و نیروی تسلیم P_{YO} در کشش و فشار می‌توان مقادیر متفاوتی را تعیین کرد. از

Deierlein مقادیر متفاوت مولفه α می‌توان برای تعریف سطح $P - M_2$ و $P - M_3$ نیز استفاده کرد.

و Tawill از مقدار $EL = 1 - \beta$ استفاده می‌کنند، ولی PERFORM-3D به یک مقدار بزرگتر از یک

نیاز دارد. برای هر مقدار P ، معادله بالا مقادیر M در زمان تسلیم را برای هر دو صفحه $P - M_2$ و

$P - M_3$ تعریف می‌کند (مقدار f_{PM} را یک قرار قرار می‌دهد و معادله را برای بدست آوردن M حل

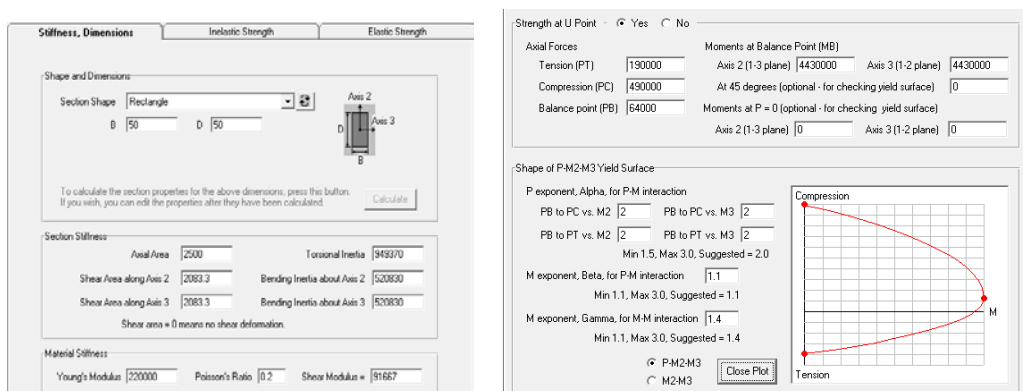
می‌کند). با این کار عملکرد تسلیمی در صفحه $M_2 - M_3$ به صورت معادله (۵-۶)، در می‌آید [۲۱].

$$f_{MM} = \left(\frac{M_2}{M_{YP2}} \right)^\gamma + \left(\frac{M_S}{M_{YPS}} \right)^\gamma \quad (5-6)$$

برنامه برای سخت‌شدگی کرنشی در رفتار سه‌خطی از تئوری Mroz استفاده می‌کند.

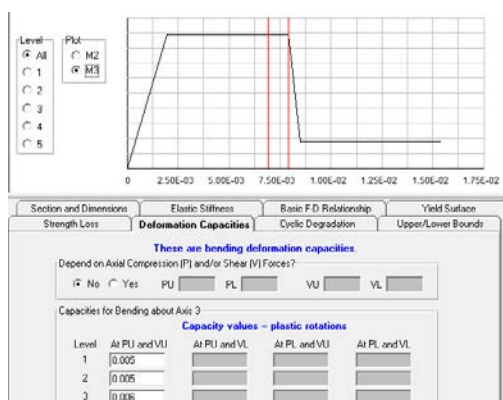
۸-۶- مدل کردن ستون‌های بتن مسلح در PERFORM-3D

برای این پروژه از مدل دوران وتری برای رفتار غیرخطی ستون‌ها استفاده شده است. اکثر مراحل برای ساخت ستون‌ها مانند تیرهاست. برای ستون‌ها از مدل دوخطی همراه با افت مقاومت استفاده شده است. مراحل ساخت این مدل برای ستون طبقه اول ساختمان ۸ طبقه در اشکال زیر آمده است.

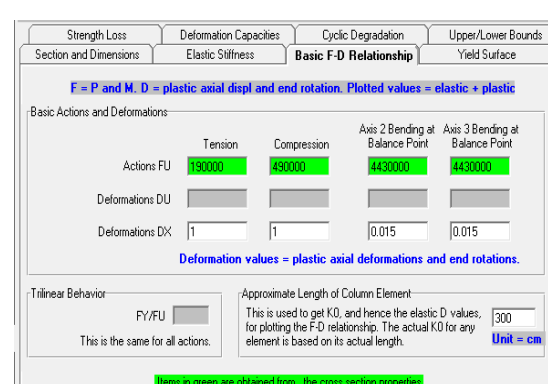


شکل ۲۴-۶- محاسبه سختی ستون از سطح مقطع

شکل ۲۳-۶- اندرکنش نیروی محوری - لنگر خمشی



شکل ۲۶-۶- معیارهای پذیرش برای ستون



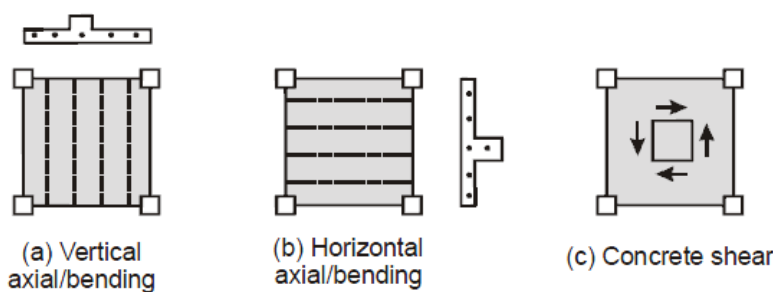
شکل ۲۵-۶- رابطه F-D برای ستون

۹-۶- مدل‌سازی غیرخطی دیوارهای برشی در *PERFORM-3D*

نرمافزار PERFORM-3D شرکت CSI امکان مدل‌سازی غیرخطی دیوار را با استفاده از المان‌های دیوار فراهم می‌آورد و نیاز به المان‌های قاب را برای مدل کردن بخش‌های دیوار حذف می‌کند، این المان به کمک تعدادی Fiber در طول دیوار که مدل مصالح غیرخطی به آن اختصاص داده شده است، تعریف می‌گردد. المان‌های دیوار برشی شامل هر دوی روابط نیروی محوری- تغییرشکل محوری و لنگر- انجنا خواهد بود. مدل مصالح غیرخطی می‌تواند به صورت الاستیک- پلاستیک کامل یا رابطه تنش - کرنش سه خطی تعریف گردد. این برنامه توانایی ترکیب کردن روابط نیروی برشی - تغییرشکل غیرخطی یا الاستیک را دارد. می‌توان از المان‌های Fiber غیرخطی در کل ارتفاع ساختمان استفاده نمود. برای کاهش زمان محاسباتی می‌توان در طبقات بالاتر تعداد Fiber ها را کاهش داد. برای هر المان دیوار برشی باید یک جزء مرکب دیوار برشی اختصاص داده و برای هر جزء مرکب هم باید مشخصات برشی و مشخصات خمی- محوری را تعیین کرد[۳۲].

۹-۱- لایه‌های خمی و برشی در المان‌های دیوار برشی

برای مدل‌سازی رفتارهای خمی و برشی در دیوارهای برشی باید از یک المان که به صورت ترکیبی از دو لایه خمی و برشی است، استفاده کرد. این لایه‌ها در گره‌های المان‌ها به یکدیگر متصل شده و به صورت المان‌های موازی با هم عمل می‌کنند[۳۳].



شکل ۶-۲۷- لایه‌های موازی برای ساخت دیوار برشی[۳۱]

این لایه‌ها که در شکل (۲۷-۶) نمایش داده شده‌اند، عبارتند از:

۱-۹-۱- لایه خمشی - محوری قائم^۱

این لایه در شکل (a-۲۷-۶) نمایش داده شده است. سطح مقطع این لایه به صورت مقطع الیافی^۲ است، که این الیاف از نوع بتنی و فولادی هستند. استفاده از این لایه باعث می‌شود تا در صورت ایجاد ترک در یک مقطع بتنی، تار خنثی بتواند در امتداد مورد نظر در مقطع حرکت کند. با استفاده از این لایه ضخامت دیوار در طول آن می‌تواند تغییر کند.

۲-۹-۱- لایه خمشی - محوری افقی

این لایه در شکل (b-۲۷-۶) نمایش داده شده است، در المان‌های دیوار برشی نمی‌توان از دو لایه خمشی - محوری افقی و عمودی به طور همزمان استفاده کرد. در واقع لایه خمشی - محوری افقی همان لایه خمشی - محوری عمودی است، که چرخش معادل ۹۰ درجه داشته است.

۳-۹-۱- لایه برشی متداول^۳

این لایه در شکل (c-۲۷-۶) نمایش داده شده است. در این لایه تنفس برشی و ضخامت دیوار در تمام طول المان دیوار ثابت فرض می‌شود. ضخامت این لایه که رفتاری صرفاً برشی دارد، مبتنی به نقش بتن در تامین مقاومت برشی مقطع است و به همین دلیل لایه برشی بتن^۴ نیز خوانده می‌شود. هر یک از لایه‌ها رفتار متفاوتی با سایر لایه‌ها دارد. لایه‌ها به علت اتصال به یکدیگر در گره‌های یک

۱. Vertical axial-bending layer

۲. Fiber section

۳. Conventional shear layer

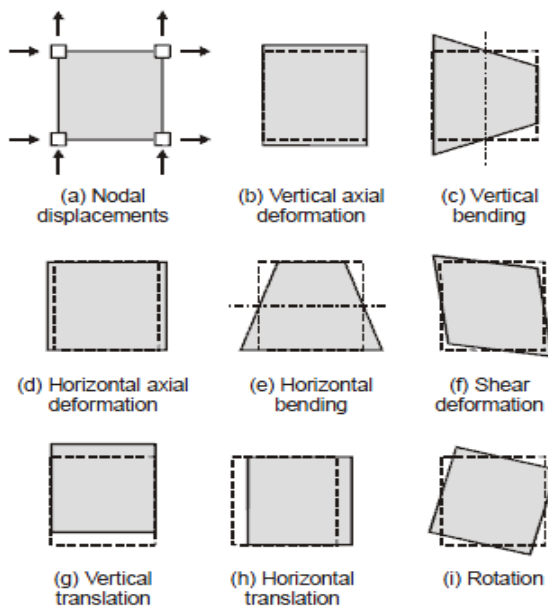
۴. Concretr shear layer

المان با هم اندرکنش خواهند داشت، که ترکیب رفتار لایه‌ها با هم نشان‌گر رفتار کلی المان دیوار

برشی خواهد بود.[۴۳]

۲-۹-۶- مشخصات و رفتار دیوار برشی

هر المان دیوار چهار گره را به هم متصل می‌کند و دارای ۲۴ درجه آزادی است. ۸ درجه آزادی از این ۲۴ درجه مربوط به تغییرشکل‌های درون صفحه‌ای بوده که در شکل (۲۸-۶) دیده می‌شود. تغییرشکل مذکور مهم‌ترین مودهای تغییرشکل در المان‌های دیوار محسوب می‌شوند. درجات آزادی مربوط به تغییرشکل‌های خمی خارج از صفحه نیز این ۲۴ درجه آزادی محسوب می‌شوند که در مقابل سایر درجات آزادی از اهمیت کمتری برخوردارند. ۸ مود تغییرشکل درون صفحه‌ای به صورت ۵ مود تغییرشکل و ۳ مود جسم صلب به ترتیب در شکل‌های (b-۲۸-۶) تا (f-۲۸-۶) و (g-۲۸-۶) تا (i-۲۸-۶) به نمایش درآمده است. این اشکال نشان دهنده تغییرمکان‌های مثبت در المان‌های دیوار نیز می‌باشند.[۳۳].



شکل ۲۸-۶- تغییرشکل‌های درون صفحه‌ای المان‌های دیوار برشی[۳۱]

رفتار طولی در صفحه معمولاً بسیار مهم‌تر از رفتار عرضی (معمولأً افقی) است. المان در جهت طولی می‌تواند در خمش یا برش غیرالاستیک باشد. رفتار عرضی درون صفحه‌ای و خمش خارج صفحه حالت فرعی است و می‌تواند الاستیک فرض شود. برای محاسبه سختی المان، فرض می‌شود که عمق سطح مقطع در طول المان بر اساس پهنهای المان در نقطه وسطی ارتفاع، ثابت باشد. یک جنبه کلیدی رفتار بتن مسلح دیوار برشی این است که، بتن در کشش ترک بخورد و محور خنثی به سمت ناحیه فشاری حرکت کند، به این خاطر اندرکنشی بین اثرات خمشی و محوری وجود دارد و هنگامی-که دیوار تحت خمش باشد، نیروی محوری وجود خواهد داشت. این ویژگی در حالت الاستیک وجود نخواهد داشت و برای دیوار برشی فلزی یا دیوار برشی بتی که دارای نیروی محوری کافی برای جلوگیری از ترک‌خوردگی است خوب است، ولی برای حالتی که تسليم اتفاق افتاد یا ترک ایجاد شود، جابه‌جایی محور خنثی می‌تواند تاثیرات مهمی روی رفتار مدل داشته باشد [۲۱].

۶-۳-۹- اندازه گیرهای تغییر شکل در المان دیوار برشی^۱

از المان‌های سنجش تغییر شکل می‌توان برای سنجش کرنش فایبرهای monitored، دوران‌های مفصل و تغییر شکل‌های برشی استفاده کرد. از مزیت‌های اندازه گیرها قابل بسط بودن روی چندین المان و محاسبه میانگین تغییر شکل‌ها، به جای اندازه گیری تغییر شکل‌های موضعی می‌باشد. همچنین FEMA356، مقادیر ظرفیت دورانی و تغییر شکل‌های برشی در دیوارها را به ما می‌دهد [۳۱].

۶-۴-۹- طول المان در ناحیه مفصلی

طراحی دیوار برشی طوری است که، در پای آن مفصل تشکیل شود و باقی دیوار الاستیک بماند. در این حالت، ممکن است استفاده از یک المان دیوار برشی با مقاطع فایبر غیرالاستیک، برای مدل

۱. deformation gages

کردن دیوار در ناحیه مفصلی و المان‌هایی با مقاطع فایبر الاستیک برای بقیه دیوار منطقی باشد [۲۱].

پاولی^۱ و پرستلی (طراحی لرزه‌ای سازه‌های بتنی و بنایی مسلح ۱۹۹۲) رابطه (۶-۶) را برای طول مفصل یک دیوار پیشنهاد کردند [۳۷]:

$$L_p = 0.2D_w + 0.044h_e \quad (6-6)$$

که در آن L_p طول مفصل، D_w عمق سطح مقطع دیوار و h_e ارتفاع موثر دیوار است، یعنی ارتفاع یک دیوار طره‌ای با یک بار تکی در بالا و با همان و برش در مفصل همانند دیوار واقعی. FEMA356 توصیه می‌کند که، طول مفصل برابر با کوچکترین دو مقدار زیر باشد [۲۱]:

الف) نصف عمق سطح مقطع

ب) ارتفاع طبقه

۶-۹-۵- بارهای المان دیوار برشی

اجازه بارگذاری را در المان‌های دیوار برشی نمی‌دهد. ولی می‌توان وزن دیوار را با استفاده از بارگذاری به روش Self weight اعمال کرد [۲۱].

۶-۹-۶- آثار غیرخطی هندسی

آثار $\Delta - P$ برای هر دو اثر درون صفحه‌ای و خارج از صفحه‌ای (خمش صفحه‌ای) در نظر گرفته می‌شود. در صورت تعیین اثر $\Delta - P$ نباید ضخامت خمش صفحه‌ای را خیلی کوچک در نظر گرفت ولی برای تنها برش درون صفحه‌ای ضخامت خیلی کوچک اشکالی ندارد. به هر حال در نظر گرفتن ضخامت خیلی کم به معنای پذیرفتن احتمال کمانش خواهد بود. توصیه شده که مقدار ضخامت دیوار

^۱. Pauly

را واقع‌گرایانه تعیین شود. مقدار نیروی برشی مقاوم ناشی از خمش صفحه‌ای به احتمال زیاد بخش کوچکی از نیروی برشی کل خواهد بود [۲۱].

۶-۱۰-۶- ساخت دیوار برشی غیرالاستیک ساختمان ۸ طبقه در PERFORM-3D

در اینجا ساخت یکی از دیوارهای غیرالاستیک را به‌طور کامل در PERFORM-3D نشان خواهیم داد. ساخت دیوار الاستیک هم فرق چندانی با این نوع دیوار ندارد

۶-۱۰-۱- تعریف مصالح برای مقاطع رشتہ‌ای

- الیاف بتنی

برای ساخت مصالح بتنی دیوار از مدل دو خطی استفاده می‌کنیم. با توجه به این‌که دیوارهای برشی شرایط محصورشدنگی مرزی را طبق آیین‌نامه FEMA356 را ارضاء نکرده‌اند، از حالت فاقد شرایط محصورشدنگی^۱ برای دیوارهای برشی استفاده می‌کنیم. مصالح بتنی مورد استفاده، دارای

مقاومت فشاری $\frac{kg}{cm^2}$ ۲۱۰، ضریب پواسون $۰/۲$ و مدول ارتجاعی $۲۲۰۰۰۰ \frac{kg}{cm^2}$ می‌باشد. جزئیات

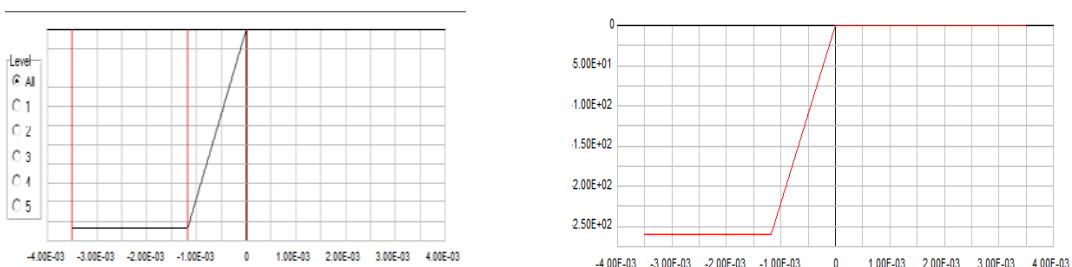
مصالح بتنی غیرخطی جهت ایجاد لایه خمشی - محوری در شکل (۲۹-۶) نمایش داده شده است.



شکل ۲۹-۶- مشخصات مصالح بتنی غیرخطی

نمودار تنש-کرنش فشاری بتن و معیارهای پذیرش در شکل (۳۰-۶) نشان داده می‌شود.

۱. Nonconforming



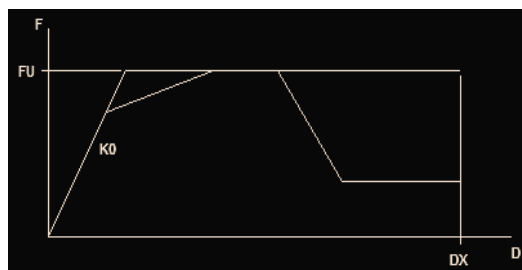
معیارهای پذیرش روی بتن

نمودار تنش - کرنش بتن

شکل ۳۰-۶- نمودار تنش- کرنش و معیارهای پذیرش در بتن

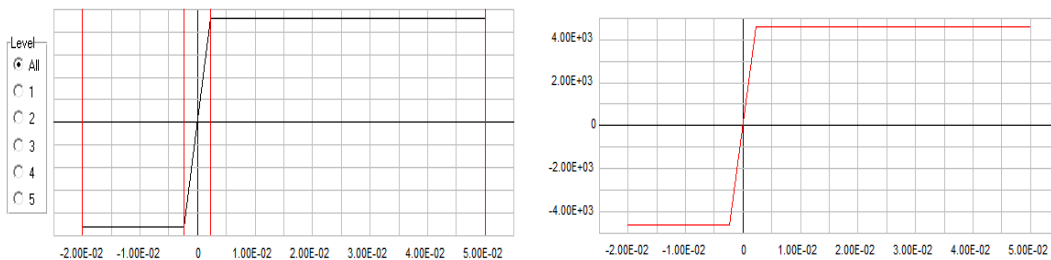
• الیاف فولاد

برای ساخت الیاف فولادی، از مصالح فولادی غیرخطی کمانش‌نایپذیر با منحنی تنش - کرنش دوخطی استفاده شده است. تنش تسلیم میلگرد طولی $\frac{kg}{cm^2}$ ۴۰۰۰ و مدول ارتجاعی فولاد برابر $\frac{kg}{cm^2}$ ۲۰۰۰۰۰ می‌باشد.



شکل ۳۱-۶- مشخصات مصالح فولاد غیرخطی بدون کمانش

در نهایت نمودار تنش - الیاف فولادی مورد استفاده در لایه خمی - محوری و معیارهای پذیرش مورد استفاده در شکل (۳۲-۶) نشان داده می‌شود.



معیار پذیرش برای الیاف فولادی

نمودار تنش - الیاف فولادی

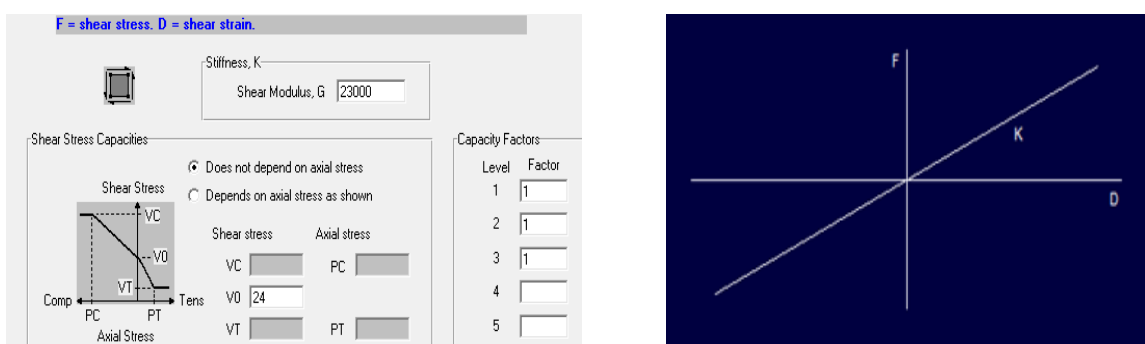
شکل ۳۲-۶- نمودار تنش- کرنش و معیارهای پذیرش در فولاد

• ساخت لایه برشی بتن

این لایه فاقد الیاف و برای مدل‌سازی رفتار برشی در بتن بوده و در این مقاله رفتار برشی در دیوارها به صورت غیرخطی فرض می‌شود. برای ساخت این لایه از دو مولفه مدول برشی (G) و تنش برشی مقاوم بتن استفاده می‌شود. در تعیین ظرفیت برشی با توجه به آیین‌نامه بتن ایران (آبآ)، مقدار تنش برشی مقاوم در این لایه $24 \frac{kg}{cm^2}$ بدست آمده است. برای تعیین مدول برشی الاستیک، با فرض تنش برشی مقاوم در این لایه $\nu = 0.2$ ، با استفاده از رابطه زیر داریم:

$$G_e = \frac{E}{2(1+\nu)} \Rightarrow G_e = 0.4166E = 0.4166 \times 220000 \simeq 92000 \frac{kg}{cm^2} \quad (7-6)$$

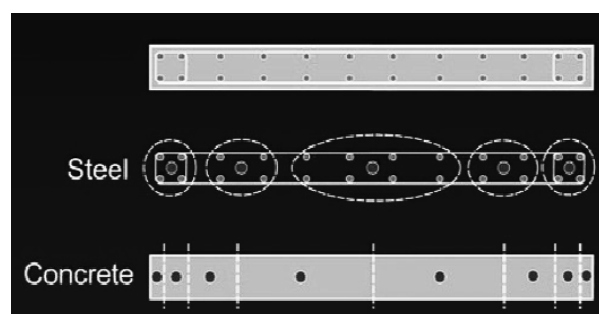
این مقدار برای بتن نخورده قابل قبول می‌باشد، ولی برای بتن نخورده قابل قبول نیست. برای رفع این مشکل به طور تخمینی، مقدار 25% از G_e را برای مدول برشی بتن در نظر می‌گیرند، یعنی $G_e = 23000 \frac{kg}{cm^2}$. مشخصات مصالح برشی غیرخطی مانند شکل (۳۳-۶) خواهد بود.



شکل ۳۳-۶- مشخصات مصالح برشی خطی

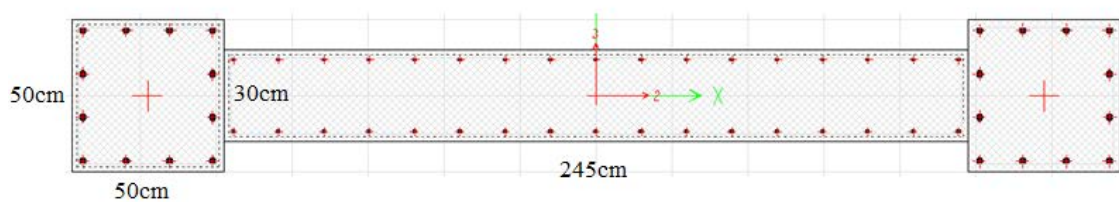
۶-۱۰-۲- ساخت سطح مقطع برای دیوار برشی غیرالاستیک

برای ساخت دیوار برشی حتماً باید یک سطح مقطع تعريف کنیم. برای این کار، سطح مقطع موجود را به قسمت‌های دلخواه تقسیم می‌کنیم، تعداد این قسمت‌ها اختیاری است، معمولاً برای هر کدام از مصالح بتن و فولاد حداقل برابر با ۲ می‌باشد. لازم نیست که تعداد این قسمت‌ها زیاد باشد. هر قسمت از یک رشته بتنی، فولادی یا هر دو تشکیل شده است. مقدار فولاد و بتن موجود در هر قسمت را باید به صورت مرکز در مرکز آن قرار داد. در شکل (۴۶-۶) این موضوع نشان داده شده است.



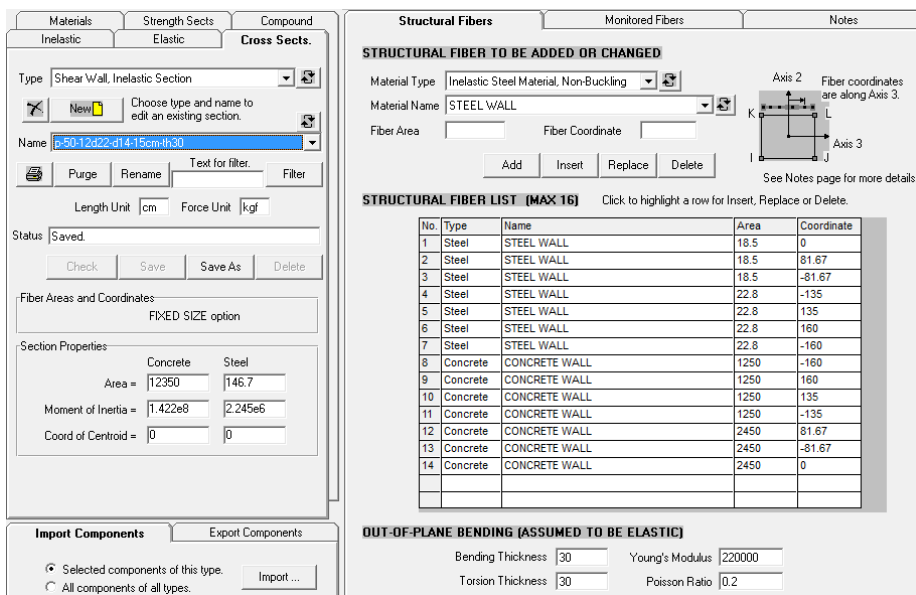
شکل ۶-۳۴-۶- معادل‌سازی سطح مقطع با المان‌های رشته‌ای [۳۲]

در شکل (۳۶-۶) نحوه تبدیل سطح مقطع دیوار طبقه اول که در شکل (۳۵-۶) نشان داده شده، به المان‌های رشته‌ای نشان داده شده است.



شکل ۶-۳۵-۶- شکل سطح مقطع دیوار طبقه اول

برای ساخت این مدل سطح مقطع را به ۷ قسمت بتنی و ۷ قسمت فولادی تقسیم کرده‌ایم و از روش Fixed size استفاده شده است. البته این تعداد را می‌توان با ۲ یا ۳ قسمت هم به راحتی انجام داد و مشکلی پیش نمی‌آید.



شکل ۳۶-۶- ساخت سطح مقطع دیوار برشی با مقاطع رشته‌ای

۱۰-۳- ترکیب اجزای ساخته شده دیوار برشی

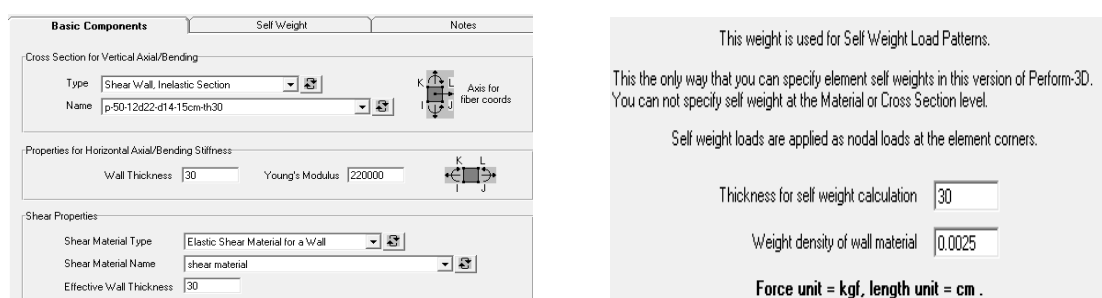
در این قسمت باید سطح مقطع ساخته شده را به لایه خمی - محوری قائم اختصاص دهیم.

برای لایه خمی - محوری افقی فقط کافی است، ضخامت و مدول الاستیسیته بتن را وارد کنیم، زیرا

این لایه به صورت الاستیک مدل می‌شود. برای لایه برشی بتن هم باید مصالح برشی را که قبلاً تعریف

کردیم به همراه ضخامت دیوار وارد کنیم. در این قسمت وزن واحد حجم بتن، را هم در صورت نیاز

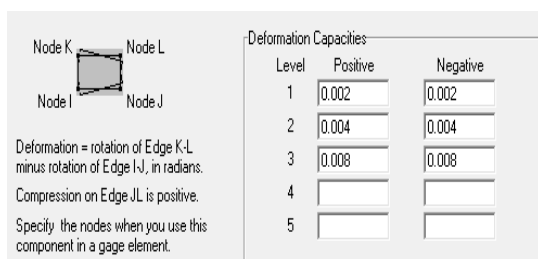
می‌توان وارد کرد. مراحل ساخت این قسمت‌ها در شکل (۳۷-۶) نشان داده شده است.



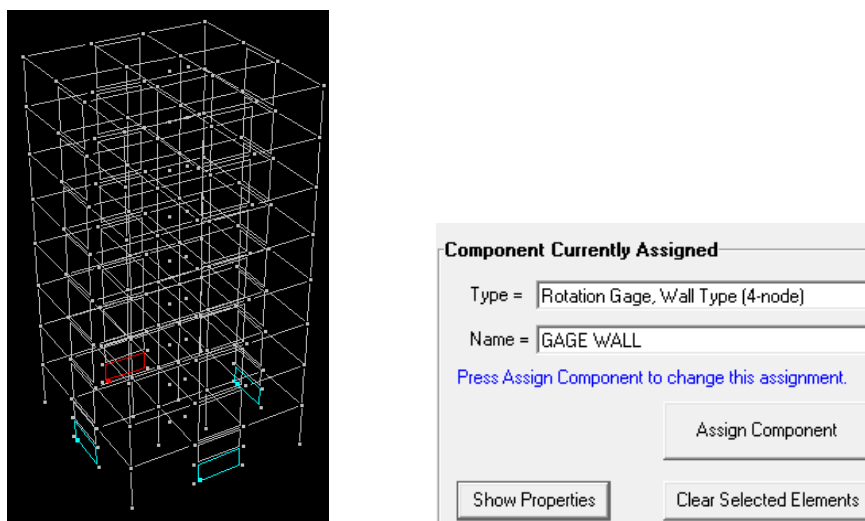
شکل ۳۷-۶- ترکیب اجزا ساخته شده برای دیوار برشی

۶-۱۰-۴- معیارهای پذیرش دیوار بتونی

Fema356 برای دیوارهای بتونی، معیارهای پذیرشی براساس کرنش برای نسبت‌های نیاز - ظرفیت تعریف کرده است. برای استفاده از آن، ابتدا باید کرنش‌سنج‌ها را ساخت و روی چهارگوشه المان دیوار نصب کرد. برای این کار از منوی Elastic, گزینه Wall Type (4-node) را انتخاب می‌کنیم و طبق ضوابط FEMA356 مقادیر لازم را قرار می‌دهیم. برای اعمال این Deformation ELEMENTS پس از انتخاب المان کرنش‌سنج‌ها به دیوار برشی، باید در قسمت Deformation Gage کرنش‌سنج ساخته شده را به آن اختصاص دهیم، سپس المان ساخته شده را بر روی دیوار قرار می‌دهیم. شکل (۳۹-۶) نحوه اعمال آن را به دیوار نشان می‌دهد.



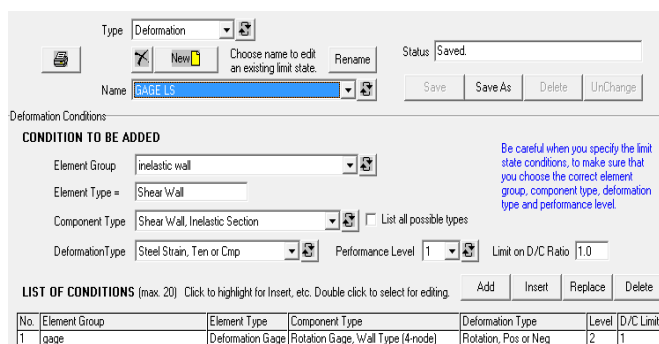
شکل ۳۸-۶- شکل معیارهای پذیرش دیوار برشی



شکل ۳۹-۶- نحوه اختصاص دادن کرنش‌سنج‌ها به دیوار برشی

۱۰-۵- حالت‌های حدی و نسبت‌های کاربرد

برای این‌که بدانیم دیوارها مطابق دستورالعمل بهسازی لرزه‌ای ساختمان‌های [۱۲] موجود هستند یا نه، باید حالت‌های حدی را تعریف کنیم و برای آن‌ها نسبت مورد نیاز را قرار دهیم. در شکل زیر برای دیوار برشی، حالت حدی ایمنی جانی (LS) با نسبت نیاز - ظرفیت برابر یک را قرار داده‌ایم.



شکل ۴۰-۶- تعریف حالت حدی و نسبت نیاز - ظرفیت برای دیوار برشی

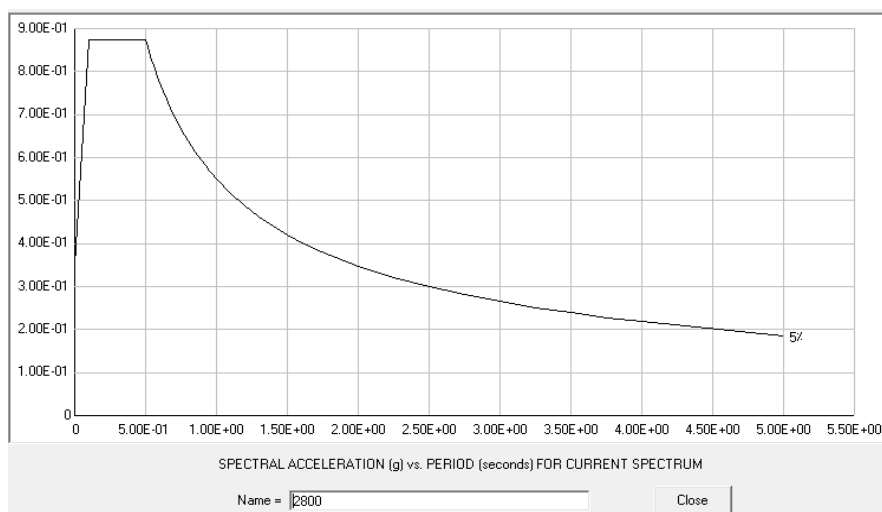
۱۱- الگوهای بارگذاری جانبی سازه

برای یک سازه دو حالت بارگذاری کافی است. الگوی بار توزیع مثلثی^۱ و توزیع یکنواخت^۲ از شایع‌ترین الگوهای بارجانبی می‌باشد، که در این پروژه علاوه بر آن‌ها از الگوی بار طیفی و مودال هم استفاده شده است. برای الگوی بار طیفی باید همه مقاطع را برش بزنیم و مقدار برش در هر طبقه را بدست آوریم. برای الگوی بارجانبی مودال از سه مود اول سازه به جای یک مود اول سازه استفاده شده است. برای بارگذاری طیفی باید ابتدا طیف را مطابق طیف ۲۸۰۰ زلزله به برنامه معرفی کنیم.

شکل زیر این طیف را در PERFORM-3D نشان می‌دهد.

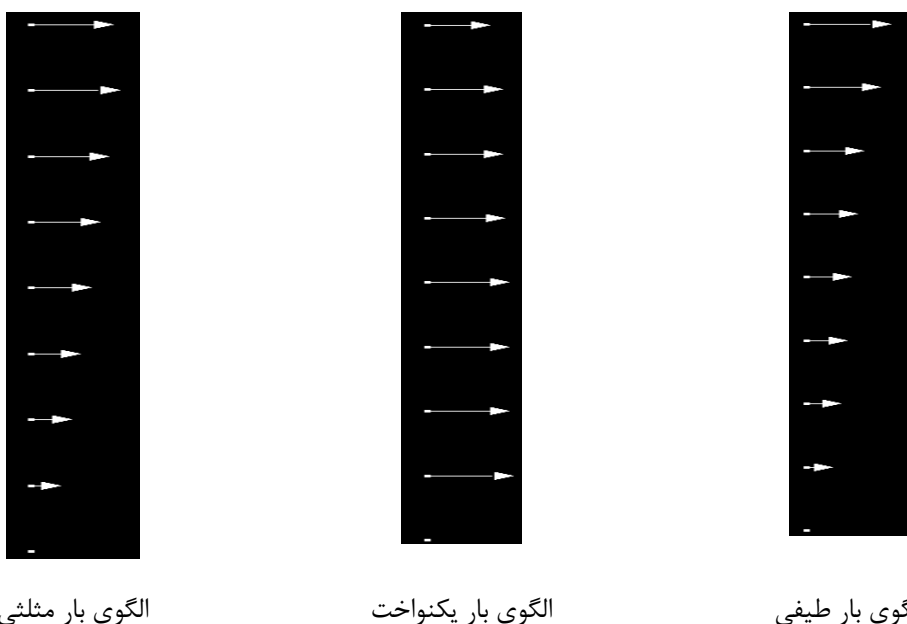
۱. Triangular Pattern

۲. Uniform Pattern



شکل ۴۱-۶- طیف ۲۸۰۰ برای الگوی بار طیفی

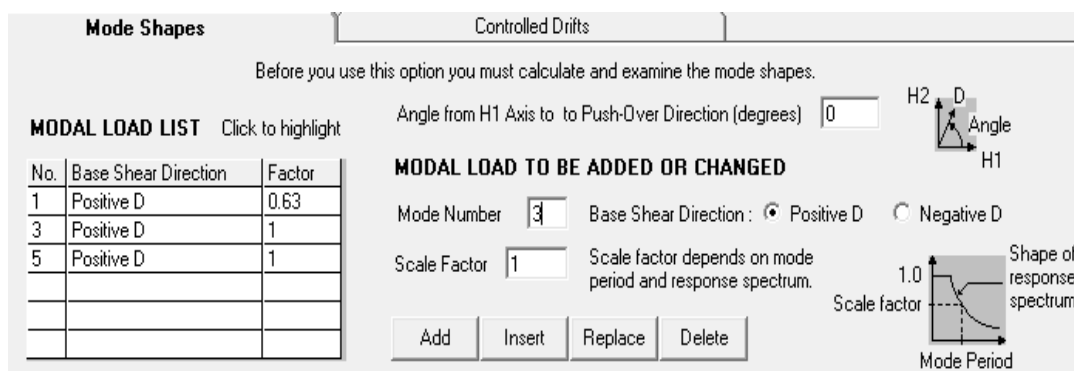
در شکل (۴۲-۶) سه الگوی بار جانبی از لحاظ شکل الگوی بار طبقه نشان داده است.



شکل ۴۲-۶- مقایسه شکل الگوی بار جانبی در مدل ۸ طبقه

برای الگوی مودی باید یکبار تحلیل انجام شده باشد، تا اشکال مودی، زمان تناوب هر مود و زاویه هر مود با محور H1 مشخص شده باشد. برای بیشتر کردن اثر مودهای بالاتر از یک مقیاس استفاده می

کند. این مقیاس به زمان تناوب مود و طیف پاسخ بستگی دارد [۲۸]. شکل (۴۳-۶) الگوی مودی را برای ساختمان ۸ طبقه نشان می‌دهد.

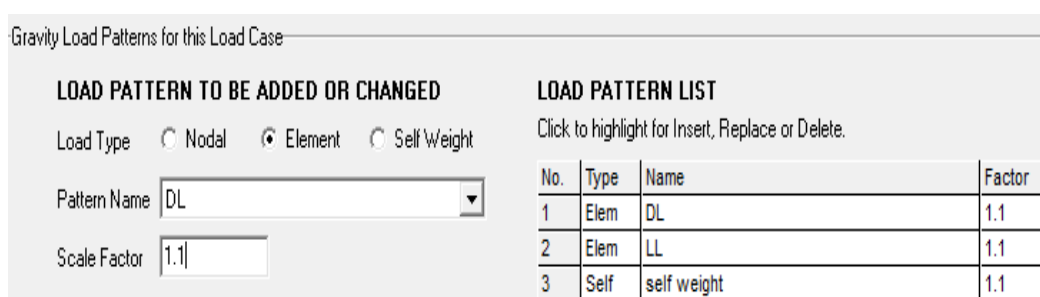


شکل ۴۳-۶- تعریف الگوی بار مودی با سه مود اول

در اینجا مرحله مدل‌سازی تمام می‌شود و وارد مرحله تحلیل می‌شویم.

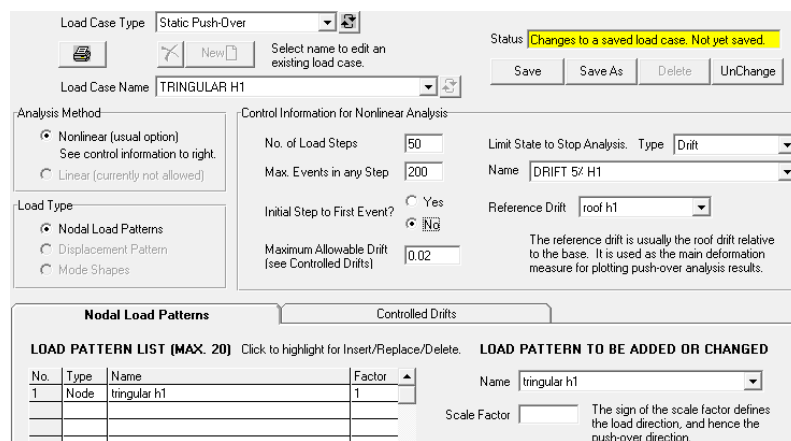
۱۲-۶- ساخت بارهای ثقلی و جانبی برای تحلیل

از روی بارهای مرده و زنده باید دو ترکیب بارگذاری کران بالا و کران پایین موجود در دستورالعمل بهسازی لرزه‌ای ساختمان‌های موجود را برای بدست آوردن بحرانی‌ترین حالت بارگذاری به سازه اعمال کنیم. در شکل (۴۴-۶) نحوه ساخت کران بالای بارگذاری بر سازه نمایش داده شده است. تحلیل بارهای ثقلی خطی فرض شده است.



شکل ۴۴-۶- کران بالای بارهای ثقلی برای تحلیل

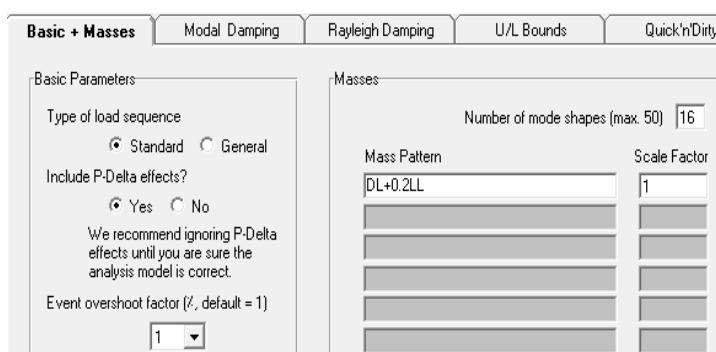
برای پوش سازه نیاز به یک نقطه مرجع است، معمولاً مرکز جرم طبقه بام برای این کار انتخاب می‌شود و درصدی از ارتفاع سازه را برای کنترل تغییر مکان در نظر می‌گیرند. سپس باید تعداد گام‌های پوش سازه را مشخص کنیم. در شکل (۴۵-۶) این مراحل را برای بارگذاری نوع مثلثی می‌توان دید.



شکل ۴۵-۶- ایجاد بارگذاری مثلثی برای پوش سازه

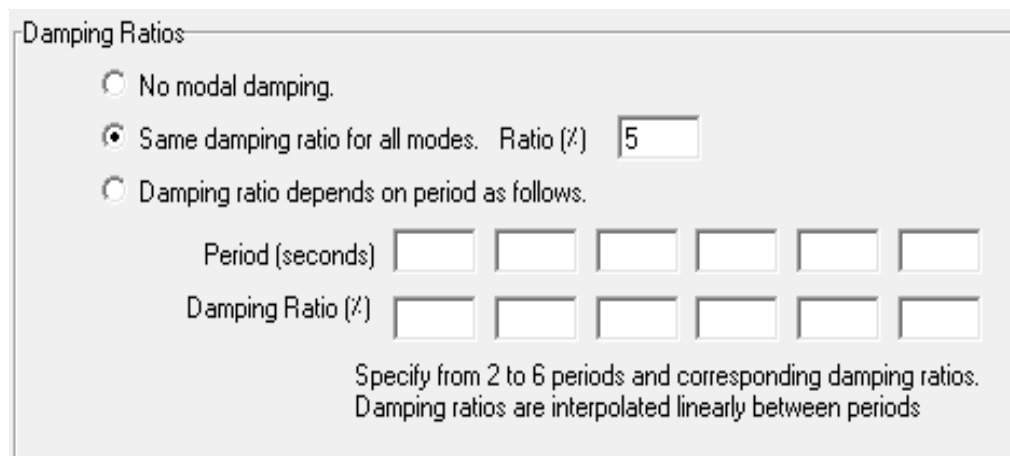
۱۳-۶- انجام تحلیل بر روی سازه

در این مرحله می‌توانیم چند نوع تحلیل، با اعمال جرم سازه متفاوت، میرایی‌های مختلف و اعمال کردن یا نکردن $\Delta - P$ را ساخت و همزمان برای تحلیل به سازه اعمال کرد. تلرانس تحلیل و تعداد مودهای سازه هم در این مرحله در نظر گرفته می‌شود. برای سازه‌های معمولی تلرانس یک درصد مناسب می‌باشد. شکل (۴۶-۶) مراحل را برای سازه ۸ طبقه نشان می‌دهد.



شکل ۴۶-۶- ساخت یک سری تحلیل برای سازه

مطابق شکل (۴۷-۶) میرایی برای کل سازه ۵٪ درنظر گرفته شده است.



شکل ۴۷-۶- اعمال میرایی به سازه

قبل از تحلیل، باید مشخص کنیم کدام تحلیل‌ها باید هم‌زمان انجام شوند، شکل (۴۸-۶) این موضوع را نشان می‌دهد، که در آن الگوی بار طیفی یکبار با کران بالا و بار دیگر با کران پایین بار ثقلی انجام شده است.

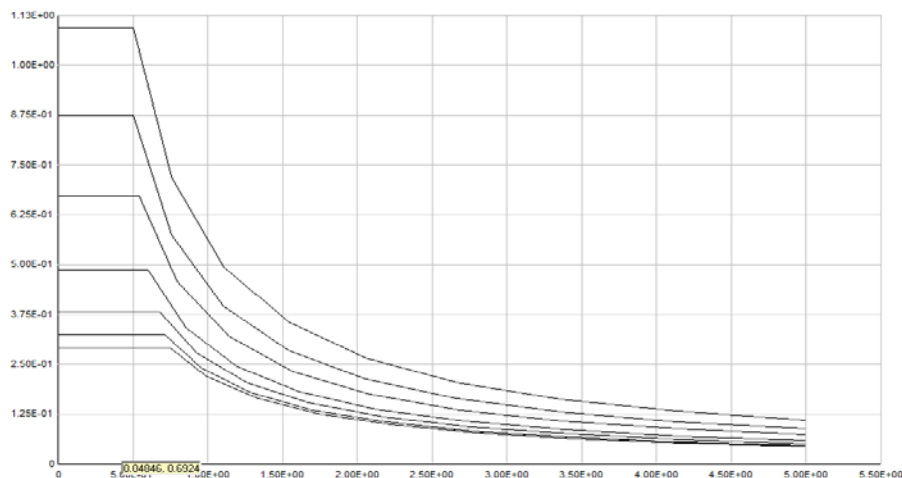
No.	Load Type	[Preceding Analysis No.] + Load Case Name	Status
1	Gravity	[0] + 1.1(DL+LL)	All load applied
2	Gravity	[0] + 0.9(DL)	All load applied
3	Push-over	[1] + spectra 2800-2	All load applied
4	Push-over	[2] + spectra 2800-2	All load applied

شکل ۴۸-۶- ترتیب مراحل بارگذاری برای تحلیل

۱۴-۶- پیدا کردن تغییر مکان هدف از منحنی ظرفیت سازه

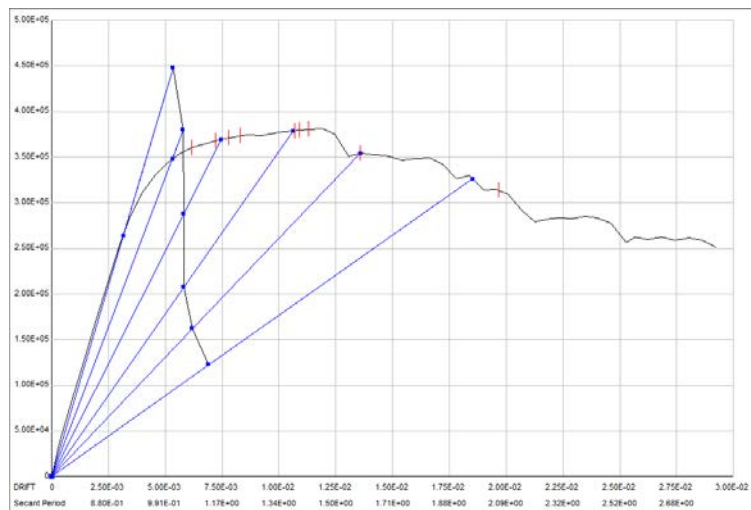
بعد از انجام تحلیل، برنامه برای هر تعداد تحلیل تعریف شده منحنی ظرفیت سازه را می‌دهد. در PERFORM-3D دو روش برای پیدا کردن تغییر مکان هدف وجود دارد، که ما از روش دقیق‌تر استفاده می‌کنیم.

ابتدا باید یک طیف نیاز برای سازه معرفی کنیم، سپس میرایی مورد نیاز را وارد کرده و بقیه موارد را مطابق با FEMA356 قرار می‌دهیم تا برنامه بهطور خودکار از آن استفاده کند. در شکل (۴۹-۶) طیف معرفی شده با میرایی‌های مختلف را نشان می‌دهد.



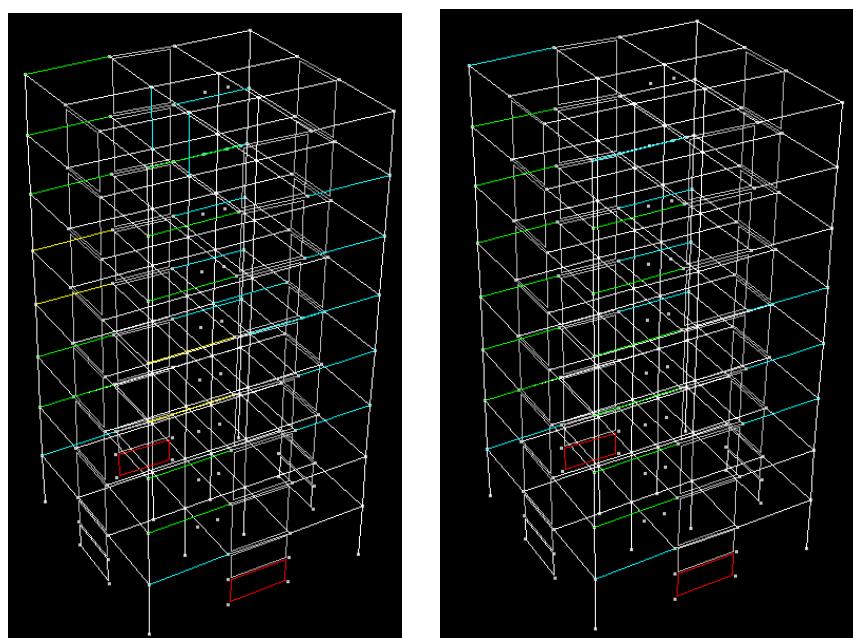
شکل ۴۹-۶- معرفی طیف نیاز با میرایی‌های مختلف

سپس تعدادی نقطه را که حداقل شش عدد می‌باشد بر روی منحنی ظرفیت انتخاب می‌کنیم. برنامه با سعی و خطأ تغییرمکان هدف را پیدا خواهد کرد، به شرط آن که تغییرمکان هدف بین آن نقاط فرضی باشد، در غیر این صورت باید نقاط دیگری را انتخاب کنیم. شکل (۶-۵۰) نحوه انجام این کار را نشان می‌دهد.



شکل ۶-۵۰- تعیین تغییر مکان هدف بر روی منحنی ظرفیت سازه

همان طور که در شکل بالا مشخص است، سازه تمام نسبت های نیاز به ظرفیت را رعایت کرده است و در سطح عملکرد ایمنی جانی، پذیرفته می شود، و کار طراحی در اینجا به پایان می رسد. شکل زیر ترتیب تشکیل مفاصل پلاستیک در اعضا را در تغییر مکان هدف نشان میدهد.



مفاصل پلاستیک در مدل 8st-1 f H1 UNI 8st-1 f H1 TRI مفاصل پلاستیک در مدل

شکل ۶-۵۱- ترتیب تشکیل مفاصل پلاستیک در تغییر مکان هدف

فصل هفتم

بررسی نتایج حاصل از تحلیل غیرخطی

۱-۷- مقدمه

در این فصل، منحنی ظرفیت تمام منحنی ظرفیت تمام مدل‌های ذکر شده، تحت تمام الگوهای بارگذاری ثقلی و جانبی برای هر دو سازه دارای دیوار برشی توپر و توخالی، و برای تمام سازه‌های ۴، ۸ و ۱۲ طبقه بدست آمده و با یکدیگر مقایسه شده‌اند. سپس تمام منحنی‌های ظرفیت، دوخطی شده و پس از یافتن مولفه‌های مورد نیاز، ضریب شکل‌پذیری و ضریب مقاومت افزون سازه بدست آمده و به روش یوانگ، ضریب رفتار سازه‌ها محاسبه شده است. برای تمام منحنی‌های ظرفیت، دوره تناوب، نسبت شکل‌پذیری، ضریب شکل‌پذیری، ضریب مقاومت افزون و ضریب رفتار سازه بدست آمده و مقایسه‌های مورد نیاز صورت گرفته است. همچنین تاثیر خروج از مرکزیت هر یک از این ضرایب بررسی خواهد شد. لازم به ذکر است، به علت خروجی‌های زیاد، از نمودار همه الگوهای بار برای مقایسه مولفه‌های لرزه‌ای استفاده نشده است، ولی مقادیر عددی آن‌ها در جداول مربوط به خروجی‌های مولفه‌های لرزه‌ای به‌طور کامل وارد شده است. مقادیر بدست آمده برای الگوی بار مثلثی و الگوی بار یکنواخت، به ترتیب شباهت زیادی با الگوی بار طیفی و الگوی بار مودال از خود نشان می‌دهد، البته آیین‌نامه‌های موجود هم این را تایید می‌کنند.

۲-۷- معرفی مدل‌های مورد مطالعه و تحلیل‌های غیرخطی آن‌ها

جهت تحلیل غیرخطی، برای بارگذاری ثقلی، از دو الگوی کران بالا و کران پایین استفاده می‌شود. برای بارگذاری جانبی نیز، چهار الگوی بارگذاری مثلثی، یکنواخت، طیفی و مودال، در دو جهت به کار رفته است. زمانی که سازه خروج از مرکزیت نداشته باشد، چون سازه در پلان و ارتفاع منظم است و

دال از نوع دوطرفه می‌باشد، بارگذاری در هر جهت یکسان است. پلان همه نمونه‌ها 12×12 متر است.

در مدل‌های با خروج از مرکزیت، خروج از مرکزیت در جهت H1 است، یعنی با بارگذاری سازه در جهت H2، در سازه پیچش به وجود می‌آید. به علت تعداد زیاد مدل‌ها، نام‌گذاری سازه‌ها با تعدادی حروف و عدد مشخص شده است. این نام‌گذاری بدین صورت می‌باشد:

۱- ابتدا تعداد طبقات سازه مشخص می‌شود. مثل 4st، 8st و 12st که به ترتیب نشان دهنده سازه ۴، ۸ و ۱۲ طبقه می‌باشد.

۲- نوع بار ثقلی کران بالا یا کران پایین مشخص می‌شود. برای این کار از شماره ۱ برای کران بالا و از شماره ۲ برای کران پایین بار ثقلی استفاده شده است.

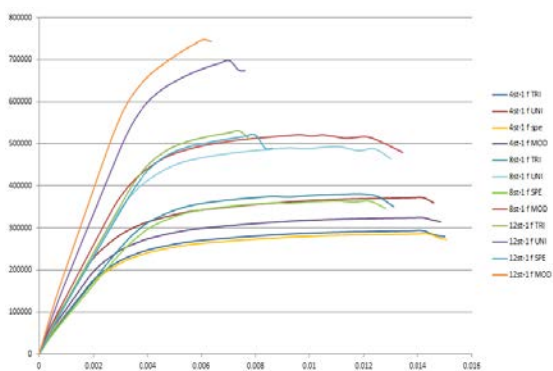
۳- سازه با ۱۰ درصد و ۲۰ درصد خروج از مرکزیت را به ترتیب با ۱۰% و ۲۰% نشان می‌دهیم. برای سازه بدون خروج از مرکزیت چیزی نمی‌نویسیم.

۴- برای تعیین توپر یا توخالی بودن دیوارهای برشی به ترتیب از حروف f و h استفاده شده است.

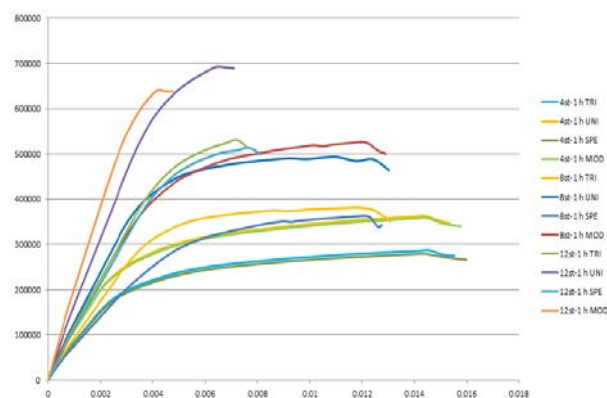
۵- جهت بارگذاری جانبی را با H1 و H2 نشان می‌دهند. این کار برای سازه‌های دارای خروج از مرکزیت می‌باشد. اگر سازه‌ای H1 و H2 را نداشت، یعنی سازه منظم است.

۶- در آخر نوع بارگذاری جانبی مشخص می‌شود. برای بارگذاری مثلثی، یکنواخت، طیفی و مodal از TRI، UNI، SPE و MOD که مخفف این کلمات می‌باشند، استفاده می‌کنیم.

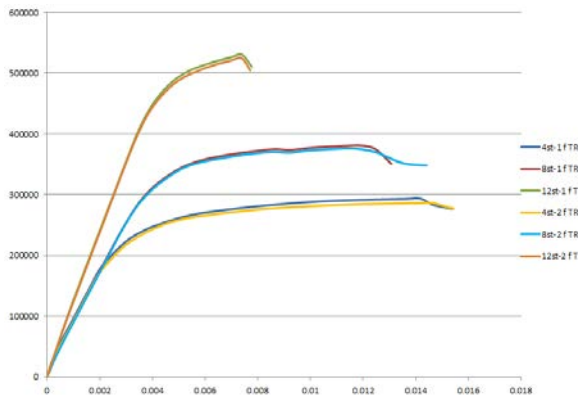
مثلاً عبارت 4st-1 f MOD به معنای مدل ۴ طبقه با کران بالای بارثقلی و دیوار توپر با بارگذاری جانبی مodal می‌باشد، یا عبارت UNI 12st-2 10% h به معنای مدل ۱۲ طبقه با کران پایین بارثقلی و دارای خروج از مرکزیت ۱۰٪ با دیوار توخالی و بارگذاری جانبی یکنواخت می‌باشد. در تمام نمودارهای زیر، محور افقی، تغییرمکان نسبی نقطه کنترل (مرکز جرم بام) و محور قائم، برش پایه مدل بر حسب کیلوگرم است.



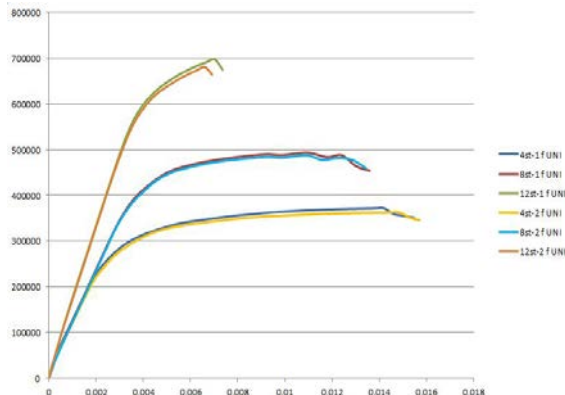
شکل ۷-۲- منحنی ظرفیت مدل‌های دارای دیوار برشی توپر



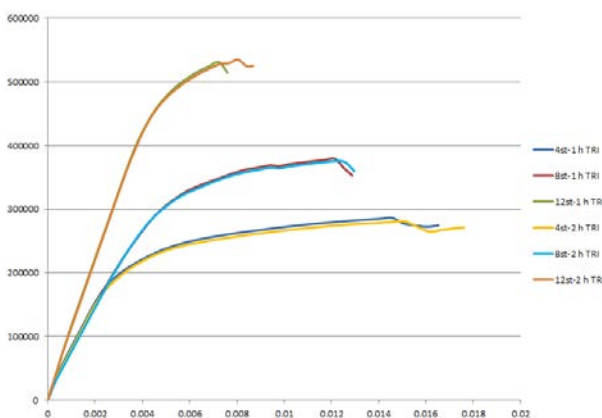
شکل ۱-۷- منحنی ظرفیت مدل‌های دارای دیوار برشی توخالی



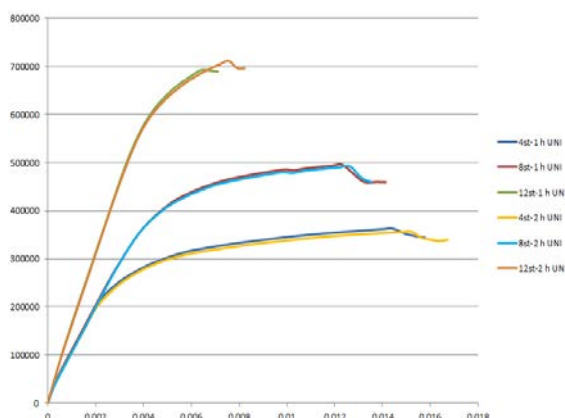
شکل ۷-۴- منحنی ظرفیت دیوار برشی توپر در الگوی بار TRI-1,2



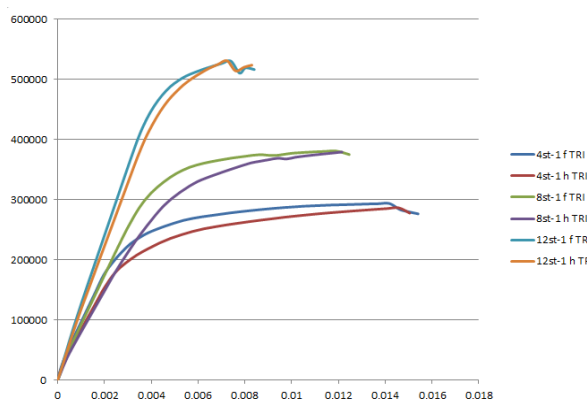
شکل ۷-۳- منحنی ظرفیت دیوار برشی توپر در الگوی بار UNI-1,2



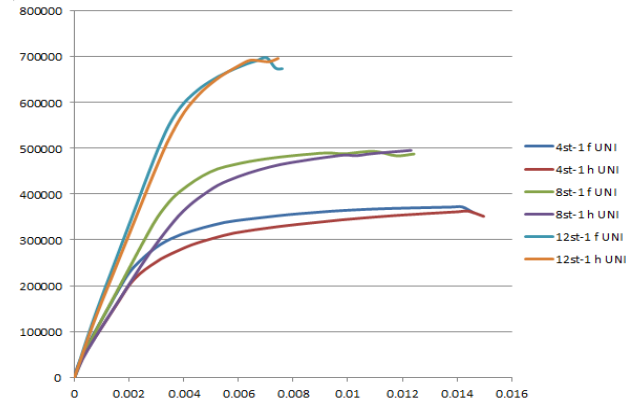
شکل ۷-۶- منحنی ظرفیت دیوار برشی توخالی در الگوی بار TRI-1,2



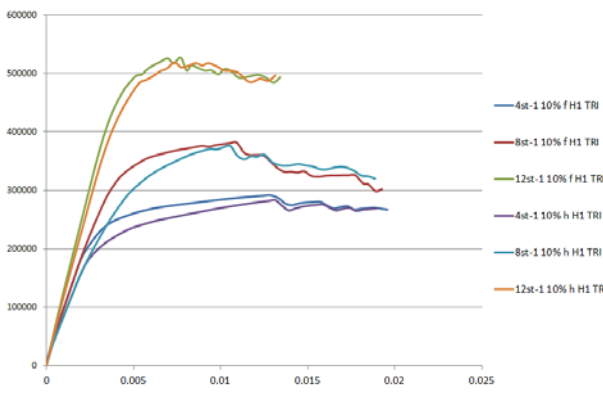
شکل ۷-۵- منحنی ظرفیت دیوار برشی توخالی در الگوی بار UNI-1,2



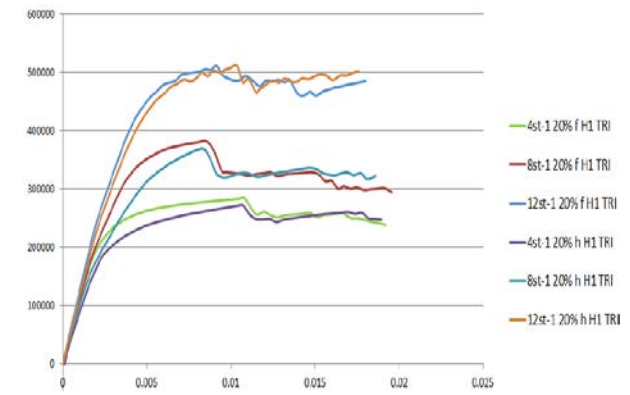
شکل ۷-۸- منحنی ظرفیت دیوار برشی توپر و توخالی در الگوی بار TRI



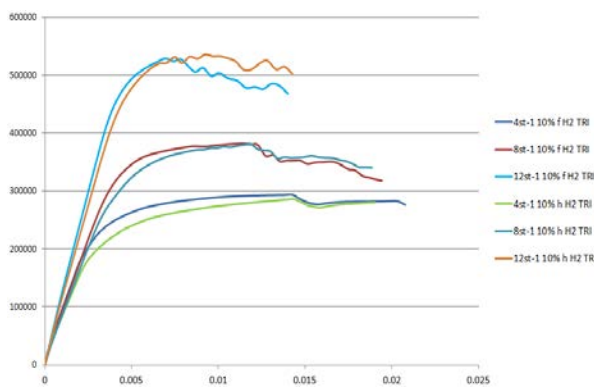
شکل ۷-۹- منحنی ظرفیت دیوار برشی توپر و توخالی در الگوی بار UNI



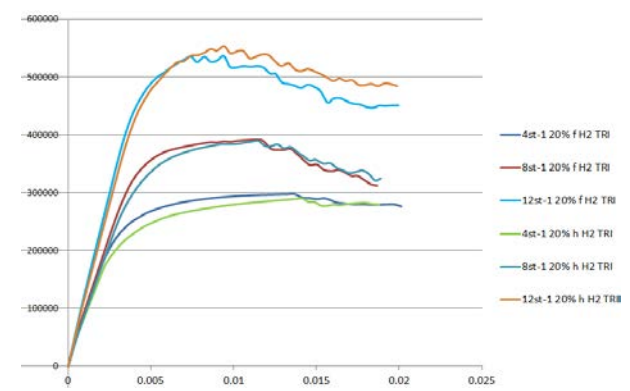
شکل ۷-۱۰- منحنی ظرفیت، دیوار توپر و توخالی با الگوی 10% H1 TRI



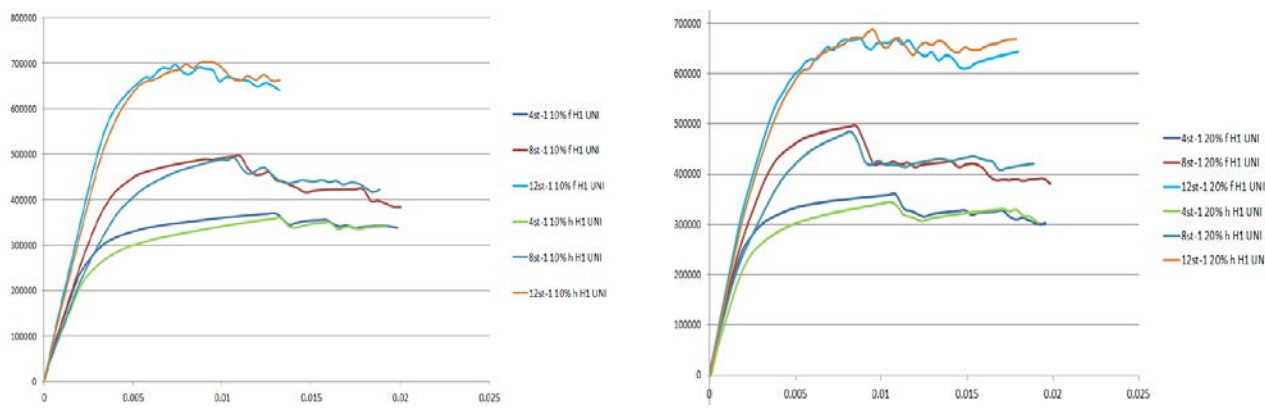
شکل ۷-۱۱- منحنی ظرفیت، دیوار توپر و توخالی با الگوی 20% H1 TRI



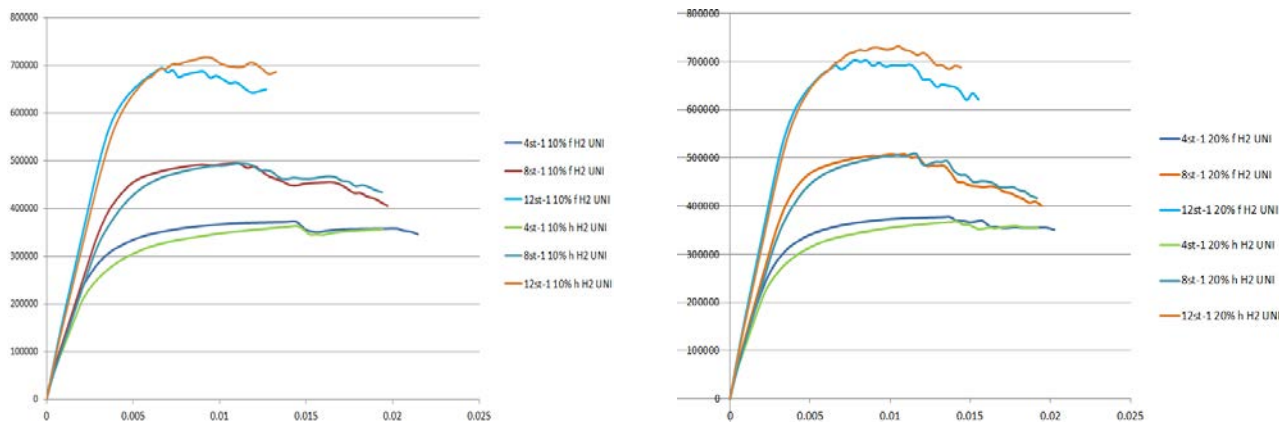
شکل ۷-۱۲- منحنی ظرفیت، دیوار توپر و توخالی با الگوی 10% H2 TRI



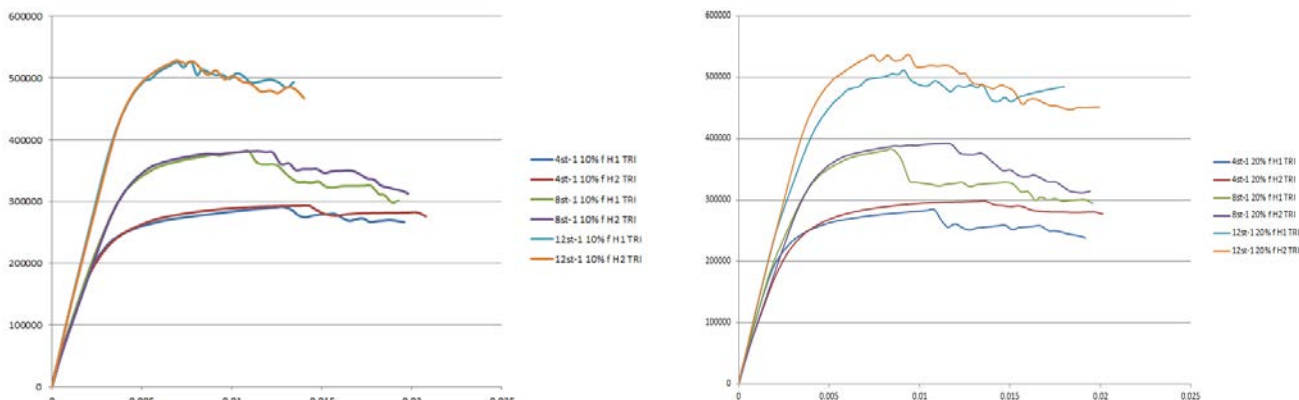
شکل ۷-۱۳- منحنی ظرفیت، دیوار توپر و توخالی با الگوی 20% H2 TRI



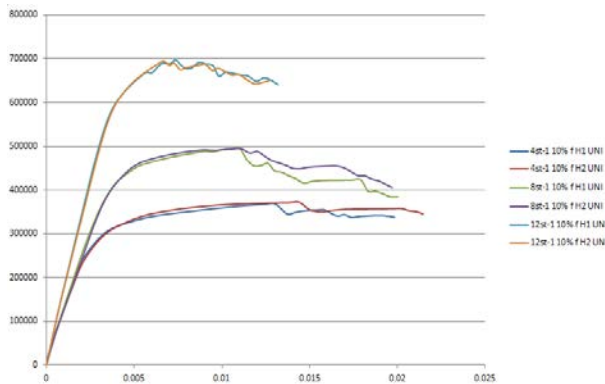
شکل ۷-۱۴- منحنی ظرفیت، مدل توپر و توخالی با الگوی ۱۰% H1 UNI



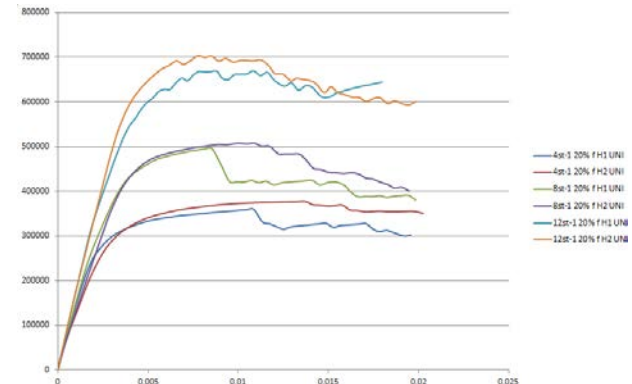
شکل ۷-۱۵- منحنی ظرفیت، دیوار توپر و توخالی با الگوی ۲۰% H2 UNI



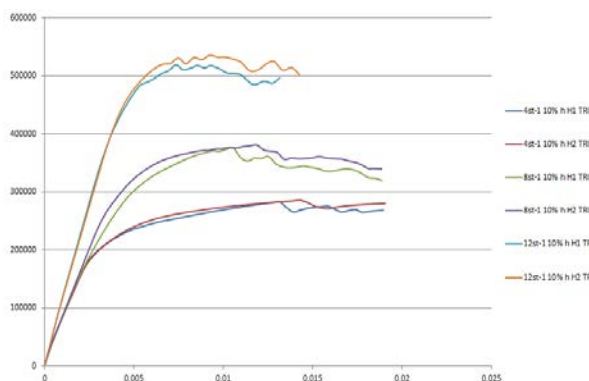
شکل ۷-۱۷- ۷- ظرفیت دیوار توپر در جهت H1 و H2 با الگوی H1 TRI-1 ۱۰% و H2 TRI-1 ۲۰%



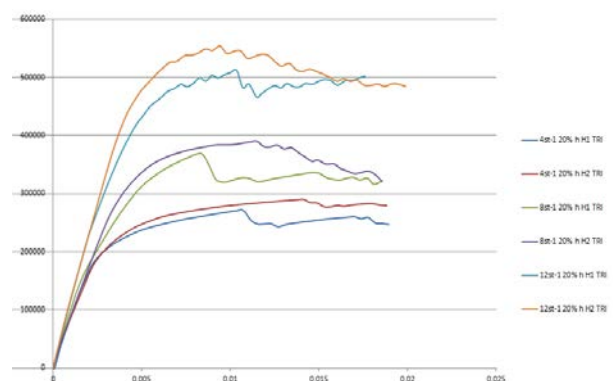
شکل ۷-۲۰-ظرفیت دیوار توپر در جهت H1 و H2 با الگوی UNI-1 10%



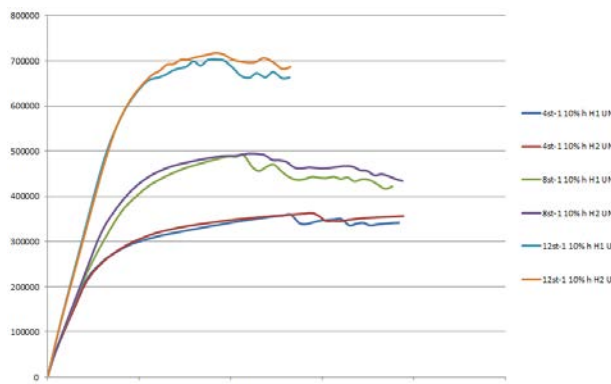
شکل ۷-۱۹-ظرفیت دیوار توپر در جهت H1 و H2 با الگوی UNI-1 20%



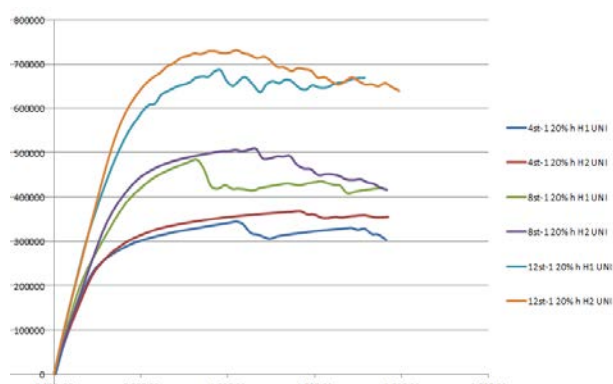
شکل ۷-۲۲-ظرفیت دیوار توخالی در جهت H1 و H2 با الگوی TRI-1 10%



شکل ۷-۲۱-ظرفیت دیوار توخالی در جهت H1 و H2 با الگوی TRI-1 20%



شکل ۷-۲۴-ظرفیت دیوار توخالی در جهت H1 و H2 با الگوی UNI-1 10%



شکل ۷-۲۳-ظرفیت دیوار توخالی در جهت H1 و H2 با الگوی UNI-1 20%

به طور کلی از روی منحنی‌های ظرفیت شکل‌های (۱-۷) و (۲-۷)، مربوط به مدل‌های دارای دیوار برشی توپر و توحالی، با الگوهای بار جانبی مختلف مشخص است، که منحنی ظرفیت الگوهای بار جانبی مثلثی و یکنواخت به ترتیب با منحنی ظرفیت الگوهای مربوط به بار جانبی طیفی و مودال شبیه است. دلیل این امر هم نحوه انتخاب الگوی بار جانبی است، چون در این پروژه برای اکثر مدل‌ها با کمی اغماض می‌شد از الگوی بار مثلثی و به تبع آن از الگوی بار جانبی یکنواخت استفاده کرد. در این صورت دیگر نیازی به الگوی بار طیفی و مودال نبود، ولی برای اطمینان بیشتر و اثبات این موضوع این کار انجام شد. هم‌چنین مشخص است، که برش پایه فقط برای مدل‌های ۴ طبقه در الگوی بار یکنواخت بیشتر از الگوی بار مودال است و در بقیه مدل‌ها، الگوی بار مودال برش پایه بیشتری را نتیجه می‌دهد. در ضمن الگوی بار مثلثی در همه موارد از الگوی بار طیفی، برش پایه بیشتری را به وجود آورده است.

با توجه به شکل‌های (۳-۷) الی (۶-۷)، کاملاً مشخص است که برش پایه در هر دو حالت بارگذاری ثقلی تقریباً برابر است. این مسئله شاید به دلیل سختی زیاد سازه دارای دیوار برشی باشد، که مقدار بارهای ثقلی وارد بر آن تاثیر زیادی بر روی منحنی ظرفیت سازه نمی‌گذارد. با این حال، در مدل‌های دارای دیوارهای توحالی و توپر در هر دو حالت بارگذاری جانبی مثلثی و یکنواخت، برش پایه برای کران بالای بارگذاری ثقلی کمی بیشتر است. از روی شکل‌های (۱-۷) الی (۶-۷) کاملاً مشخص است، که همیشه با الگوی بار یکنواخت، برش پایه بیشتری در مقایسه با الگوی بار مثلثی، به سازه وارد می‌شود. به علاوه، با افزایش ارتفاع ساختمان، برش پایه بیشتر شده و شکل پذیری سازه کاهش یافته است، چون سختی خمشی سازه افزایش پیدا کرده است.

در شکل‌های (۷-۷) و (۱۸-۷)، منحنی ظرفیت سازه در دو حالت، مدل‌های با دیوار توپر و مدل‌های با دیوار توحالی و دو نوع بارگذاری جانبی مثلثی و یکنواخت، با هم مقایسه شده‌اند. از روی

منحنی ظرفیت این شکل‌ها معلوم می‌شود که مدل‌های با دیوار برشی توخالی همیشه شیب اولیه کمتری دارند، یعنی برش پایه آنها در ابتدا کمتر است. با افزایش تغییرمکان نسبی بام، کم‌کم برش پایه برای هر دو مدل با دیوار برشی توپر و توخالی برابر می‌شود، و نوع بارگذاری جانبی تاثیری ندارد. با مشاهده شکل‌های (۱۹-۷) الی (۲۴-۷)، مربوط به منحنی ظرفیت مدل‌ها در جهات H1 و H2 برای دیوارهای توپر و توخالی موارد زیر مشخص می‌شود.

برای مدل با دیوار توپر و خروج از مرکزیت ۱۰٪، برش پایه در جهات H1 و H2 تا تغییرمکان‌های زیادی تقریباً یکسان است، ولی بعد از آن در مدل‌های ۴ و ۸ طبقه شاهد افت مقاومت در جهت H1 هستیم و در مدل ۱۲ طبقه افت زیادی رخ نمی‌دهد. بعد از افت مقاومت، برش پایه در جهات H1 و H2 به هم نزدیک‌تر می‌شود.

برای مدل با دیوار توپر و خروج از مرکزیت ۲۰٪، برش پایه در جهات H1 و H2 تا تغییرمکان‌های کمتری یکسان هستند. به طور کلی، برای مدل ۴ طبقه و ۸ طبقه، برش پایه در جهت H1 در تغییرمکان کمتری نسبت به مدل با خروج از مرکزیت ۱۰٪، دچار افت مقاومت بیشتری می‌شود. در صورتی که، سازه در جهت H2 برش پایه بیشتری را تحمل می‌کند. دلیل این امر، شاید این باشد که در جهت H1، افزایش بار شقلی در تغییرمکان‌های بالا باعث خرابی همزمان چند المان شده و افت مقاومت ناگهانی را به دنبال داشته است. در جهت H2 به علت پیچش بیشتر وارد به سازه، برش پایه بزرگتری را شاهد هستیم.

برای مدل با دیوار توخالی و خروج از مرکزیت ۱۰٪، برش پایه در جهات H1 و H2 تا تغییرمکان‌های کمتری نسبت به حالت توپر، تقریباً یکسان است، بعد از آن در مدل‌های ۴ و ۸ طبقه شاهد افت مقاومت در جهت H1 هستیم و در مدل ۱۲ طبقه افت زیادی رخ نمی‌دهد، اما افت مقاومت از حالت توپر کمتر است. بعد از افت مقاومت، برش پایه در جهات H1 و H2 به هم نزدیک‌تر می‌شود.

برای مدل با دیوار توخالی و خروج از مرکزیت ۲۰٪، برش پایه در جهت H2 بیشتر شده، ولی افت مقاومت هم نسبت به مدل ۱۰٪ در جهت H1 بیشتر است.

به طور کلی در مدل‌های توخالی، برش پایه در جهت H1، تقریباً برابر است با مدل‌های توپر، ولی در جهت H2 برش پایه بیشتر شده است. این افزایش برش پایه در جهت H2 شاید به دلیل افزایش سختی ناشی از دیوارهای توخالی باشد.

تغییر مکان هدف در هر دو حالت بارگذاری ثقلی تقریباً یکسان است، در عوض در الگوی بار جانبی مثلثی همیشه تغییر مکان هدف بیشتر از الگوی بار جانبی یکنواخت است، ولی با افزایش ارتفاع ساختمان این اختلاف تغییر مکان از نظم مشخصی پیروی نمی‌کند. به طور کلی تغییر مکان هدف، برای سازه با دیوارهای برشی توخالی، بزرگتر از سازه با دیوارهای برشی توپر است، که این نشان دهنده نرم‌تر شدن سازه، در سازه با دیوار برشی توخالی می‌باشد.

۳-۷- مولفه‌های لرزه‌ای مدل‌های مورد مطالعه

در این بخش ابتدا پارامترهای مدل‌های ساخته شده، به صورت کامل در جدول‌های (۱-۷) الی (۶-۷) نشان داده می‌شود، سپس به طور جداگانه و با رسم نمودار، مقایسه‌های مورد نیز روی آنها صورت می‌گیرد. پارامترهای لرزه‌ای شامل تغییر مکان هدف، زمان تناوب موثر، نسبت شکل‌پذیری، ضریب شکل‌پذیری، ضریب مقاومت افزون و ضریب رفتار سازه می‌باشد.

جدول ۷-۱- مقادیر مولفه‌های لرزه‌ای مدل‌های ۴ طبقه با دیوار توپر

	D	T _e	μ_u	V _s	V _y	V _u	R _μ	R _s	R
4st-1 f TRI	0.005	0.402	2.19	23800	211100	260500	1.84	8.87	16.32
4st-2 f TRI	0.0052	0.409	2.24	18230	208800	260100	1.87	11.45	21.42
4st-1 10% f H1 TRI	0.005	0.396	2.19	20430	216500	260000	1.84	10.6	19.5
4st-1 10% f H2 TRI	0.0051	0.401	2.2	28120	213000	263600	1.84	7.57	13.94
4st-2 10% f H1 TRI	0.005	0.401	2.2	16400	211400	258900	1.84	12.89	23.72
4ST-2 10% f H2 TRI	0.0051	0.408	2.22	21390	208200	261500	1.85	9.73	18
4st-1 20% f H1 TRI	0.0045	0.37	2.36	18360	209800	259500	1.93	11.43	22.1
4st-2 20% f H1 TRI	0.0047	0.38	2.37	14360	208700	260700	1.93	14.53	28.05
4st-1 20% f H2 TRI	0.0051	0.4	2.16	17560	216400	268900	1.82	12.32	22.45
4st-2 20% f H2 TRI	0.0052	0.41	2.16	13510	211700	266600	1.82	15.67	28.52
4st-1 f UNI	0.0037	0.41	1.87	29510	242600	306500	1.66	8.22	13.65
4st-2 f UNI	0.0038	0.41	1.9	22790	237000	303500	1.67	10.4	17.37
4st-1 10% f H1 UNI	0.0036	0.4	1.84	25800	250000	309000	1.64	9.7	15.89
4ST-1 10% f H2 UNI	0.0037	0.41	1.88	28120	242000	307000	1.66	8.6	14.29
4st-2 10% f H2 UNI	0.0037	0.41	1.84	19540	244200	304800	1.64	12.5	20.5
4ST-2 10% f H2 UNI	0.0038	0.41	1.91	21160	235600	303500	1.68	11.3	18.7
4st-1 20% f H1 UNI	0.0033	0.38	1.94	22210	246900	306300	1.7	11.12	18.87
4ST-1 20% f H2 UNI	0.0037	0.41	1.88	21630	242100	313700	1.66	11.93	19.82
4st-2 20% f H1 UNI	0.0034	0.38	1.96	17910	241300	308600	1.71	13.47	23.02
4ST-2 20% f H2 UNI	0.0038	0.42	1.91	16890	237800	311700	1.68	14.08	23.64
4st-1 f spe	0.0052	0.4	2.22	23460	207600	256700	1.85	8.85	16.37
4st-2 f spe	0.0053	0.41	2.25	17880	204900	254200	1.87	11.46	21.43
4st-1 10% f H1 spe	0.005	0.4	2.21	20260	213100	254800	1.85	10.52	19.46
4ST-1 10% f H2 spe	0.0052	0.4	2.23	21250	209800	260000	1.85	9.87	18.26
4st-2 10% f H1 spe	0.0052	0.4	2.24	15540	208700	253300	1.86	13.43	24.97
4ST-2 10% f H2 spe	0.0053	0.41	2.24	16510	203800	257500	1.86	12.34	22.96
4st-1 f MOD	0.0043	0.4	2	26520	226400	280200	1.73	8.54	14.77
4st-2 f MOD	0.0045	0.41	2.06	20070	217500	279000	1.77	10.83	19.18
4st-1 10% f H1 MOD	0.0036	0.4	1.83	25040	250000	305100	1.63	9.98	16.27
4ST-1 10% f H2 MOD	0.0037	0.41	1.88	26940	239200	306300	1.66	8.88	14.74
4st-2 10% f H1 MOD	0.0037	0.41	1.86	19270	241300	302900	1.65	12.51	20.64
4ST-2 10% f H2 MOD	0.0038	0.41	1.93	20690	234200	304200	1.69	11.32	19.14

جدول ۷-۲- مقادیر مولفه‌های لرزه‌ای مدل‌های ۴ طبقه با دیوار توخالی

	D	T _e	μ_u	V _s	V _y	V _u	R _μ	R _s	R
4st-1 h TRI	0.0056	0.433	2.32	22160	193300	245500	1.91	8.72	16.67
4st-2 h TRI	0.0058	0.442	2.31	17100	192300	244200	1.9	11.25	21.37
4st-1 10% h H1 TRI	0.0055	0.43	2.34	17730	194500	242200	1.92	10.97	21.06
4ST-1 10% h H2 TRI	0.0056	0.433	2.32	20900	193900	247600	1.91	9.28	17.71
4st-2 10% h H1 TRI	0.0056	0.434	2.34	14360	192300	240200	1.92	13.39	25.69
4st-2 10% h H2 TRI	0.0057	0.44	2.3	16260	191700	245200	1.89	11.79	22.37
4st-1 20% h H1 TRI	0.0061	0.33	2.74	16150	193900	246600	2.12	12	25.44
4st-2 20% h H1 TRI	0.0052	0.4	2.57	12840	185700	242300	2.03	14.46	29.36
4st-1 20% h H2 TRI	0.0058	0.4	2.35	17100	204000	256900	1.92	11.93	22.91
4st-2 20% h H2 TRI	0.0056	0.43	2.5	15440	168800	251000	2	12.88	25.75
4st-1 h UNI	0.0042	0.44	1.96	27270	224100	286500	1.71	8.22	14.05
4st-2 h UNI	0.0043	0.45	1.96	21130	222200	284600	1.71	11.52	17.98
4st-1 10% h H1 UNI	0.0041	0.43	1.93	21900	229200	284400	1.69	10.47	17.7
4ST-1 10% h H2 UNI	0.0042	0.44	1.95	25250	227000	286500	1.71	8.99	15.37
4st-2 10% h H1 UNI	0.0042	0.44	1.94	17300	226700	283900	1.7	13.1	22.33
4ST-2 10% h H2 UNI	0.0043	0.45	1.97	19590	223300	287100	1.71	11.4	19.41
4st-1 20% h H1 UNI	0.0046	0.33	2.29	18400	228700	296600	1.89	12.23	23.5
4ST-1 20% h H2 UNI	0.0043	0.39	1.98	22770	236600	301600	1.72	5.72	17.78
4st-2 20% h H1 UNI	0.0038	0.41	2.12	15000	218600	284000	1.8	14.57	26.22
4ST-2 20% h H2 UNI	0.0042	0.44	1.91	19300	230600	294100	1.68	11.94	20.05
4st-1 f spe	0.0058	0.43	2.36	22140	189500	238800	1.93	8.56	16.52
4st-2 h spe	0.0059	0.44	2.35	17400	189500	266200	1.92	10.89	20.91
4st-1 10% h H1 spe	0.0057	0.43	2.38	18030	191200	237800	1.93	10.6	20.46
4ST-1 10% h H2 spe	0.0058	0.43	2.36	20620	190100	243600	1.93	9.23	17.78
4st-2 10% h H1 spe	0.0058	0.43	2.39	14470	189000	235600	1.93	13.03	25.13
4ST-2 10% h H2 spe	0.0059	0.44	2.34	15560	190100	240900	1.92	12.22	23.44
4st-1 h MOD	0.0042	0.44	1.96	27180	224900	283300	1.71	8.27	14.15
4st-2 h MOD	0.0043	0.45	1.97	20870	220600	282000	1.71	10.57	18.07
4st-1 10% h H1 MOD	0.0041	0.43	1.96	21450	227400	283300	1.7	10.6	18.02
4ST-1 10% h H2 MOD	0.0042	0.44	1.97	25410	224900	285200	1.71	8.85	15.13
4st-2 10% h H1 MOD	0.0042	0.44	1.97	17400	223300	280800	1.71	12.83	21.95
4ST-2 10% h H2 MOD	0.0043	0.45	1.97	19410	219900	283900	1.71	11.33	19.43

جدول ۷-۳- مقادیر مولفه‌های لرزه‌ای مدل‌های ۸ طبقه با دیوار توپر

	D	T _e	μ_u	V _s	V _y	V _u	R _μ	R _s	R
8st-1 f TRI	0.0058	0.866	1.68	39950	298800	355900	1.66	7.55	12.53
8st-2 f TRI	0.0058	0.872	1.66	30120	300000	353500	1.64	9.96	16.35
8st-1 10% f H1 TRI	0.0056	0.839	1.87	36690	279900	352600	1.85	7.63	14.11
8ST-1 10% f H2 TRI	0.0058	0.857	1.68	38040	304100	360100	1.64	7.99	13.11
8st-2 10% f H1 TRI	0.0057	0.843	1.86	28170	281400	350400	1.79	9.99	17.88
8st-2 10% f H2 TRI	0.0058	0.869	1.66	29020	303700	355900	1.62	10.47	16.95
8st-1 20% f H1 TRI	0.0052	0.78	2.26	33240	250300	356800	2.09	7.53	15.74
8ST-2 20% f H1 TRI	0.0053	0.78	2.21	27370	254800	356800	2.05	9.31	19.1
8st-1 20% f H2 TRI	0.0057	0.84	1.67	34660	312500	370500	1.61	9.02	14.52
8st-2 20% f H2 TRI	0.0057	0.85	1.66	27410	310200	367700	1.61	11.32	18.22
8st-1 f UNI	0.0042	0.87	1.41	49430	359000	420400	1.4	7.26	10.16
8st-2 f UNI	0.0043	0.88	1.4	37310	358300	416600	1.39	9.6	13.34
8st-1 10% f H1 UNI	0.004	0.84	1.63	45410	320500	421200	1.59	7.06	11.22
8ST-1 10% f H2 UNI	0.0042	0.87	1.39	46710	364000	425100	1.39	7.79	10.68
8st-2 10% f H1 UNI	0.0041	0.85	1.57	34900	327600	416100	1.54	9.39	14.46
8st-2 10% f H2 UNI	0.0043	0.88	1.4	36080	361000	424000	1.39	10.01	13.91
8st-1 20% f H1 UNI	0.0037	0.78	2.1	38390	273000	421300	2.03	7.1	14.43
8ST-1 20% f H2 UNI	0.0041	0.85	1.41	41260	365100	432200	1.4	8.85	12.39
8st-2 20% f H1 UNI	0.0038	0.78	2	31800	280100	423200	1.94	8.81	17.09
8st-2 20% f H2 UNI	0.0041	0.86	1.4	32200	367100	432500	1.39	11.4	15.85
8st-1 f spe	0.0062	0.86	1.74	38530	292200	345800	1.72	7.59	13.05
8st-2 f spe	0.0062	0.87	1.72	29020	292900	342800	1.7	10.07	17.11
8st-1 10% f H1 spe	0.006	0.84	1.93	35730	272200	341600	1.87	7.62	14.25
8ST-1 10% f H2 spe	0.006	0.84	1.93	35650	272200	342400	1.87	7.64	14.28
8st-2 10% f H1 spe	0.006	0.84	1.9	27460	275700	341600	1.83	10.04	18.37
8st-2 10% f H2 spe	0.006	0.84	1.89	27610	275000	341600	1.82	9.96	18.13
8st-1 f MOD	0.0038	0.87	1.31	49760	380200	430600	1.3	7.64	9.93
8st-2 f MOD	0.0038	0.88	1.33	38850	374300	426900	1.31	9.63	12.62
8st-1 10% f H1 MOD	0.004	0.84	1.57	45030	331700	424100	1.53	7.36	11.26
8ST-1 10% f H2 MOD	0.004	0.87	1.36	45030	339800	418500	1.35	7.24	9.78
8st-2 10% f H1 MOD	0.004	0.85	1.51	46920	368100	428700	1.48	11.51	15.55
8st-2 10% f H2 MOD	0.004	0.88	1.37	46920	363000	424100	1.36	10.09	13.73

جدول ۷-۴- مقادیر مولفه‌های لرزه‌ای مدل‌های ۸ طبقه با دیوار توخالی

	D	T _e	μ_u	V _s	V _y	V _u	R _μ	R _s	R
8st-1 h TRI	0.0063	0.928	1.8	32880	261700	336800	1.78	7.96	14.17
8st-2 h TRI	0.0063	0.95	1.7	24800	270000	332400	1.68	10.89	18.29
8st-1 10% h H1 TRI	0.006	0.9	2.23	29430	218400	326200	2.16	7.42	16.03
8st-1 10% h H2 TRI	0.0059	0.89	1.78	32070	273000	344400	1.74	8.5	14.81
8st-2 10% h H1 TRI	0.006	0.91	2.12	22410	224900	328500	2.06	10.03	20.67
8st-2 10% h H2 TRI	0.0059	0.9	1.75	24060	274300	341700	1.72	11.4	19.61
8st-1 20% h H1 TRI	0.0054	0.81	2.91	24960	186100	324500	2.67	7.46	19.91
8st-2 20% h H1 TRI	0.0055	0.82	2.81	20710	191200	328800	2.61	9.23	24.1
8st-1 20% h H2 TRI	0.0058	0.86	1.76	29400	285900	355900	1.7	8.81	16.53
8st-2 20% h H2 TRI	0.0058	0.88	1.74	22630	285200	350900	1.69	12.6	21.3
8st-1 h UNI	0.0042	0.94	1.54	40200	296300	387000	1.53	7.37	11.61
8st-2 h UNI	0.0043	0.96	1.39	30100	324600	390600	1.38	10.78	14.88
8st-1 10% h H1 UNI	0.0043	0.9	2	35920	239600	375900	1.95	6.67	13.01
8st-1 10% h H2 UNI	0.0042	0.9	1.47	38790	325600	399100	1.45	8.39	12.17
8st-2 10% h H1 UNI	0.0043	0.91	1.88	27160	255800	378700	1.84	9.42	17.33
8st-2 10% h H2 UNI	0.0043	0.91	1.47	29180	324600	398100	1.45	11.12	16.13
8st-1 20% h H1 UNI	0.0039	0.81	2.54	30560	213600	374500	2.44	6.99	17.06
8st-1 20% h H2 UNI	0.0042	0.88	1.48	35600	335700	413900	1.46	9.23	13.48
8st-2 20% h H1 UNI	0.0039	0.82	2.46	24480	217300	376200	2.37	8.88	21.05
8st-2 20% h H2 UNI	0.0042	0.89	1.47	26040	337700	410400	1.46	12.97	18.93
8st-1 h spe	0.0067	0.93	1.84	31710	253500	324500	1.81	7.79	14.04
8st-2 h spe	0.0068	0.94	1.77	24180	259300	324400	1.76	10.72	18.86
8st-1 10% h H1 spe	0.0064	0.89	2.29	28650	214800	320900	2.2	7.5	16.49
8st-1 10% h H2 spe	0.0063	0.89	2.84	31000	266400	335700	1.8	8.59	15.47
8st-2 10% h H1 spe	0.0065	0.89	2.19	21910	222000	320800	2.11	10.13	21.37
8st-2 10% h H2 spe	0.0064	0.89	1.83	23230	267100	333700	1.79	11.5	20.58
8st-1 h MOD	0.0045	0.94	1.5	40930	335700	420400	1.49	8.2	12.2
8st-2 h MOD	0.0045	0.97	1.4	29570	356000	421300	1.39	12.04	16.74
8st-1 10% h H1 MOD	0.0041	0.9	1.94	35830	247700	380500	1.89	6.91	13.06
8st-1 10% h H2 MOD	0.0041	0.9	1.47	38870	329600	402800	1.45	8.52	12.35
8st-2 10% h H1 MOD	0.0041	0.92	1.82	26920	257800	382400	1.79	9.58	17.14
8st-2 10% h H2 MOD	0.0041	0.91	1.46	29150	326600	400000	1.45	11.2	16.25

جدول ۷-۵- مولفه‌های لرزه‌ای برای مدل ۱۲ طبقه توپر

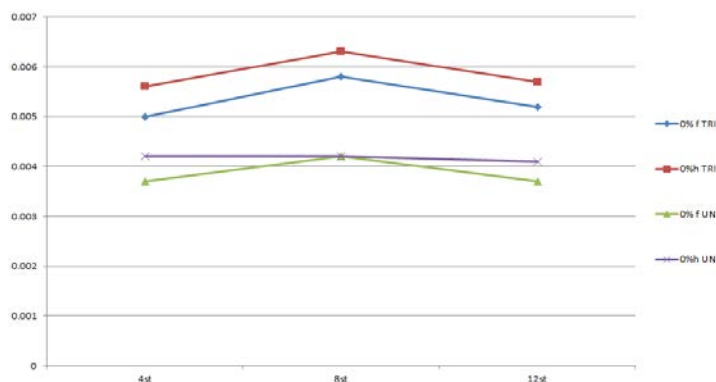
D	T _e	μ_u	V _s	V _y	V _u	R _μ	R _s	R	
12st-1 f TRI	0.0052	1.21	1.43	70100	439300	505700	1.43	6.27	8.97
12st-2 f TRI	0.0052	1.21	1.44	52150	437100	498600	1.44	8.38	12.07
12st-1 10% f H1 TRI	0.0053	1.15	1.53	65580	426800	496300	1.53	6.51	9.95
12st-1 10% f H2 TRI	0.0054	1.17	1.47	71070	438900	506200	1.47	6.18	9.08
12st-2 10% f H1 TRI	0.0053	1.16	1.59	50620	409600	485400	1.59	8.09	12.87
12st-2 10% f H2 TRI	0.0054	1.18	1.48	53360	431800	496600	1.48	8.1	11.98
12st-1 20% f H1 TRI	0.0053	1.14	2.12	60300	311400	459400	2.12	5.16	10.95
12st-2 20% f H1 TRI	0.0053	1.14	2.28	47880	282100	460200	2.28	5.89	13.43
12st-1 20% f H2 TRI	0.0053	1.17	1.53	68400	421800	500600	1.53	6.17	9.44
12st-2 20% f H2 TRI	0.0053	1.18	1.54	51050	418700	492300	1.54	8.2	12.63
12st-1 f UNI	0.0037	1.18	1.28	83420	494100	585900	1.28	5.92	7.58
12st-2 f UNI	0.0037	1.19	1.27	63350	495200	580500	1.27	7.82	9.93
12st-1 10% f H1 UNI	0.0038	1.16	1.34	83600	487100	585600	1.34	5.83	7.81
12st-1 10% f H2 UNI	0.0037	1.18	1.33	85470	470900	576700	1.33	5.51	7.33
12st-2 10% f H1 UNI	0.0037	1.18	1.41	61280	460100	568600	1.41	7.51	10.57
12st-2 10% f H2 UNI	0.0038	1.2	1.29	64890	487100	574500	1.29	7.51	9.68
12st-1 20% f H1 UNI	0.0037	1.14	1.98	78110	495200	525700	1.98	6.34	12.55
12st-1 20% f H2 UNI	0.0037	1.7	1.41	86170	454700	576700	1.41	5.28	7.44
12st-2 20% f H1 UNI	0.0037	1.15	2.19	62170	512700	515400	2.19	8.25	18.06
12st-2 20% f H2 UNI	0.0038	1.9	1.36	64280	452000	563600	1.36	7.03	9.56
12st-1 f spe	0.0058	1.21	1.52	71810	439000	494000	1.52	6.1	9.27
12st-2 f spe	0.0058	1.21	1.51	54100	440000	494600	1.51	8.15	12.3
12st-1 10% f H1 spe	0.0055	1.15	1.54	66330	424800	487600	1.54	6.41	9.88
12st-1 10% f H2 spe	0.0056	1.17	1.48	69380	435900	494600	1.48	6.28	9.3
12st-2 10% f H1 spe	0.0055	1.16	1.63	50620	400500	484300	1.63	7.92	12.9
12st-2 10% f H2 spe	0.0056	1.18	1.49	52300	429800	489500	1.49	8.22	12.24
12st-1 f MOD	0.0037	1.15	1.34	88360	547600	639600	1.34	6.2	8.3
12st-2 f MOD	0.0038	1.16	1.38	70100	532800	635500	1.38	7.61	10.51
12st-1 10% f H1 MOD	0.0032	1.17	1.39	82000	461100	591000	1.39	5.62	7.82
12st-1 10% f H2 MOD	0.0031	1.14	1.41	84700	468300	582900	1.41	5.53	7.8
12st-2 10% f H1 MOD	0.0033	1.18	1.32	62610	482700	576700	1.32	7.71	10.25
12st-2 10% f H2 MOD	0.0031	1.21	1.3	65770	475500	578800	1.3	7.23	9.4

جدول ۷-۶- مولفه‌های لرزه‌ای برای مدل ۱۲ طبقه توحالی

D	T _e	μ_u	V _s	V _y	V _u	R _μ	R _s	R	
12st-1 h TRI	0.0057	1.24	1.48	66200	427800	501700	1.48	6.46	9.56
12st-2 h TRI	0.0058	1.25	1.47	47540	429500	499600	1.47	9.05	13.3
12st-1 10% h H1 TRI	0.0056	1.22	1.58	54930	403500	488700	1.58	7.35	11.6
12st-1 10% h H2 TRI	0.0057	1.24	1.47	63080	430800	502700	1.47	6.83	10.04
12st-2 10% h H1 TRI	0.0057	1.22	1.58	38240	403500	477700	1.58	10.55	16.67
12st-2 10% h H2 TRI	0.0058	1.25	1.49	48400	425100	499600	1.49	8.73	13
12st-1 20% h H1 TRI	0.0056	1.2	2.15	42700	297300	450300	2.15	6.96	14.97
12st-2 20% h H1 TRI	0.0056	1.2	2.22	30650	288200	456600	2.22	9.4	20.87
12st-1 20% h H2 TRI	0.0056	1.22	1.54	64550	422900	500700	1.54	6.55	10.15
12st-2 20% h H2 TRI	0.0057	1.23	1.55	47000	416300	496600	1.55	8.86	13.73
12st-1 h UNI	0.0041	1.22	1.31	93130	492700	588100	1.31	5.29	6.93
12st-2 h UNI	0.0043	1.23	1.32	68930	500600	590600	1.32	7.26	9.59
12st-1 10% h H1 UNI	0.0041	1.2	1.38	88200	481700	583100	1.38	5.46	7.54
12st-1 10% h H2 UNI	0.0042	1.22	1.32	74500	501900	594400	1.32	6.74	8.89
12st-2 10% h H1 UNI	0.0042	1.22	1.46	66800	458800	579200	1.46	6.87	10.03
12st-2 10% h H2 UNI	0.0043	1.23	1.34	55000	492700	589400	1.34	8.96	12
12st-1 20% h H1 UNI	0.004	1.18	1.98	87360	334700	529900	1.98	3.83	7.95
12st-1 20% h H2 UNI	0.0042	1.21	1.36	80310	495600	595700	1.36	6.17	8.39
12st-2 20% h H1 UNI	0.0041	1.18	2.15	67900	314400	528700	2.15	4.63	9.96
12st-2 20% h H2 UNI	0.0042	1.21	1.38	61090	485500	585900	1.38	7.95	10.97
12st-1 h spe	0.0059	1.24	1.48	76000	420700	489500	1.48	5.54	8.19
12st-2 h spe	0.006	1.24	1.49	58000	421700	486500	1.48	7.27	10.76
12st-1 10% h H1 spe	0.0058	1.22	1.61	72800	393400	476400	1.61	5.4	8.7
12st-1 10% h H2 spe	0.006	1.24	1.48	61800	423700	490800	1.48	6.86	10.15
12st-2 10% h H1 spe	0.0059	1.22	1.6	55400	396400	463200	1.6	7.16	11.45
12st-2 10% h H2 spe	0.006	1.25	1.5	46600	420700	486500	1.5	9.03	13.54
12st-1 h MOD	0.0033	1.21	1.43	88630	450700	579200	1.43	5.09	7.27
12st-2 h MOD	0.0034	1.22	1.36	69330	484400	578800	1.36	6.97	9.5
12st-1 10% h H1 MOD	0.0027	1.08	1.5	88400	435300	584200	1.5	4.92	7.39
12st-1 10% h H2 MOD	0.0037	1.2	1.35	69500	442700	530800	1.35	7.4	8.6
12st-2 10% h H1 MOD	0.0027	1.1	1.35	66800	484100	584200	1.35	7.25	9.79
12st-2 10% h H2 MOD	0.0037	1.21	1.33	53000	447700	529600	1.33	8.45	11.23

۴-۷- بررسی تغییر مکان هدف

با توجه به جداول (۱-۶) الی (۱-۷)، متوجه می‌شویم که نوع بارگذاری ثقلی و خروج از مرکزیت تاثیر محسوسی بر تغییر مکان هدف ندارند، ولی به طور کلی تغییر مکان هدف با افزایش بار ثقلی و خروج از مرکزیت، کمتر می‌شود. علاوه بر آن، مشخص می‌شود که، موثرترین مولفه بر روی تغییر مکان هدف، نوع الگوی بار جانبی است. تقریباً تغییر مکان هدف برای الگوی بار مثلثی و یکنواخت، به ترتیب با تغییر مکان هدف با الگوی بار طیفی و مodal برابر است و در نمودارها وارد نشده است. مولفه‌های موثر در تغییر مکان هدف، پس از نوع الگوی بار جانبی، ارتفاع ساختمان و توپر یا توالی بودن دیوارها می‌باشند. در مجموع، مدل با الگوی بار جانبی مثلثی، تغییر مکان هدف بزرگتری را به وجود می‌آورند. با افزایش ارتفاع ساختمان، تغییر مکان هدف روند مشخصی را دنبال نمی‌کند

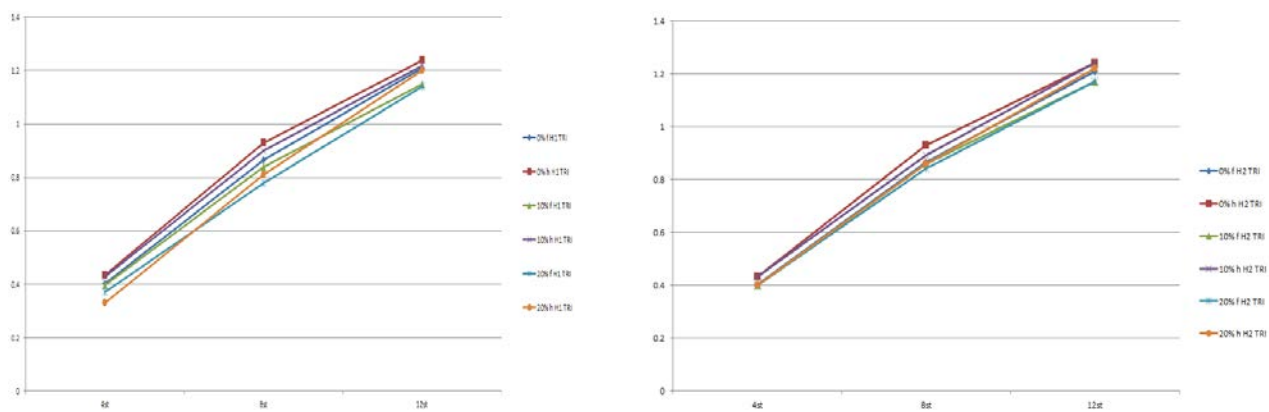


شکل ۷-۲۵- مقایسه تغییر مکان هدف برای مدل با دیوار توپر و توالی

۵-۷- بررسی زمان تناوب مدل‌ها

با توجه جداول (۱-۶) الی (۱-۷)، مشاهده می‌شود که کمترین زمان تناوب $0/33$ ثانیه و بیشترین زمان تناوب $1/25$ ثانیه می‌باشد. واضح است که نوع بارگذاری ثقلی و بارگذاری جانبی را در زمان تناوب می‌توان با تقریب خوبی بی‌اثر دانست. همچنین به طور آشکار مشخص است که، مهم‌ترین

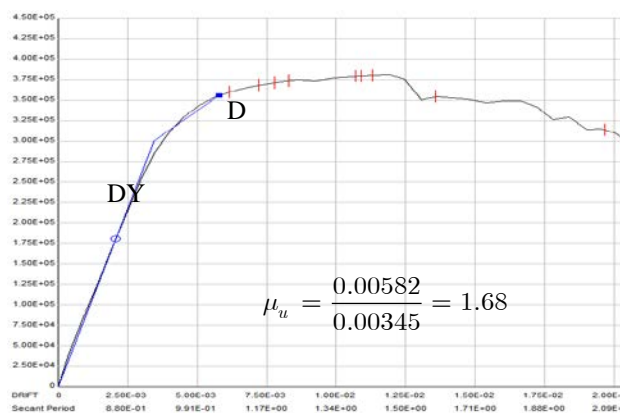
مولفه در زمان تناوب مدل‌ها، ارتفاع ساختمان می‌باشد. بعد از ارتفاع ساختمان، توپر یا توخالی بودن و جهت بارگذاری جانبی، بیشترین نقش را در زمان تناوب ایفا می‌کنند. همچنین مشخص است که، ایجاد نامنظمی در سازه باعث کاهش زمان تناوب سازه می‌شود، و هر چه خروج از مرکزیت بیشتر باشد، زمان تناوب بیشتر کاهش می‌یابد. به طور کلی زمان تناوب در مدل‌های با دیوار برشی توخالی، از زمان تناوب مدل‌های با دیوار توپر بیشتر است.



شکل ۷-۲۶-۷- مقایسه زمان تناوب مدل دیوار توپر با دیوار توخالی در H2

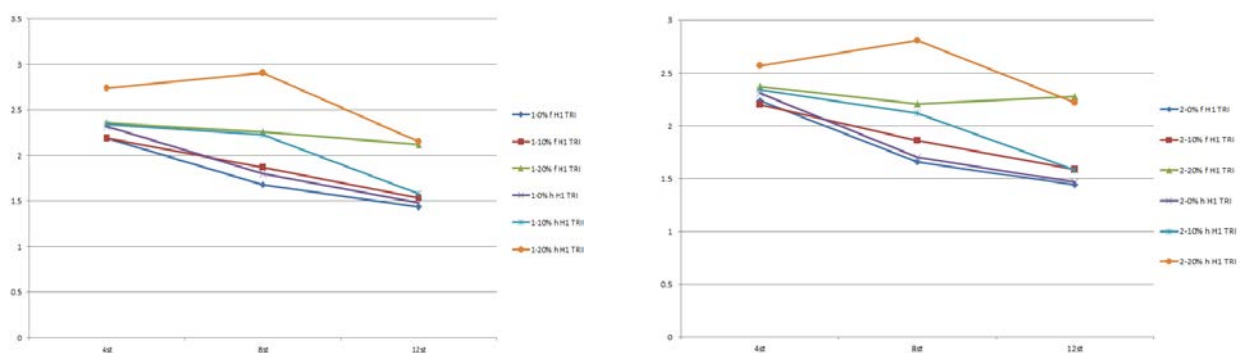
۷-۶- بررسی نسبت شکل‌پذیری مدل‌ها

نسبت شکل‌پذیری، از روی نمودار دوخطی بدست می‌آید. برای این‌کار، باید مقدار تغییرمکان هدف را به نسبت جایه‌جایی نسبی در نقطه جاری شدن سازه، تقسیم کنیم. شکل (۷-۲۸)، این‌کار را برای سازه ۸ طبقه بدون خروج از مرکزیت و با دیوارهای توپر برای کران بالای بار ثقلی و بار جانبی مثلثی نشان می‌دهد.

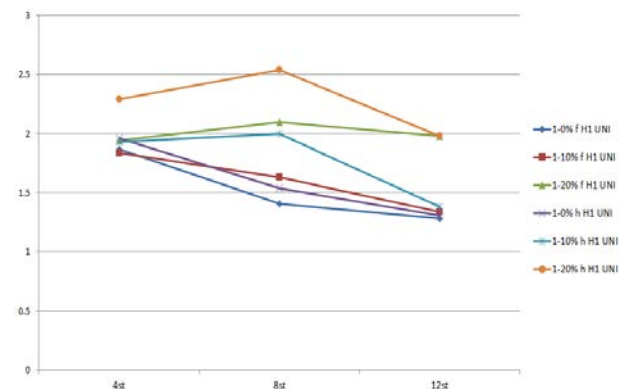
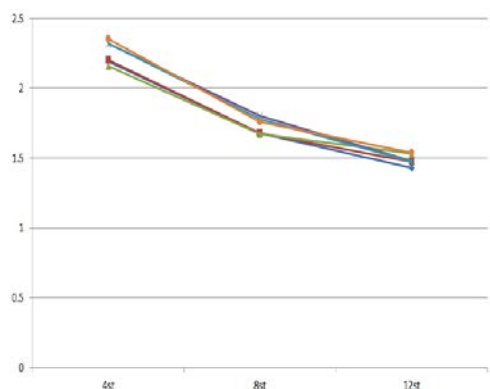


شکل ۲۸-۷-محاسبه نسبت شکلپذیری از روی منحنی دوخطی

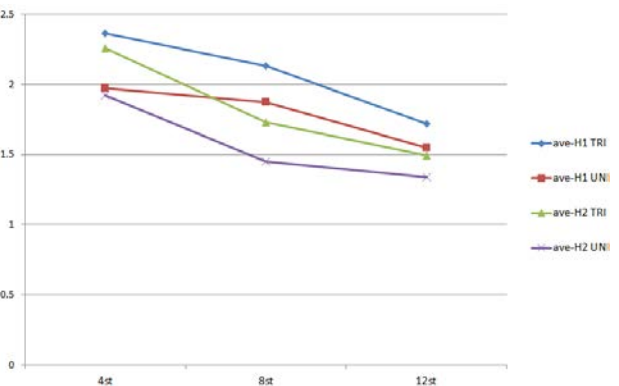
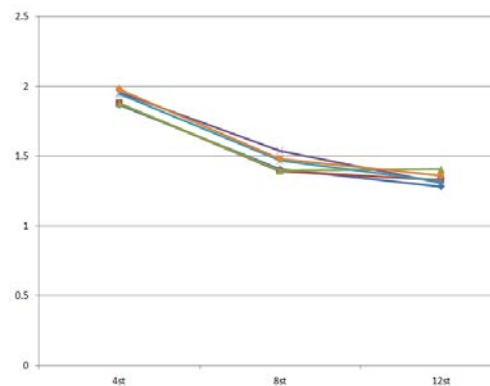
در اشکال (۲۹-۷) تا (۳۰-۷)، نمودار نسبت شکلپذیری مدل‌ها در جهات H1 و H2، برای مدل‌های با دیوار توپر و توخالی و برای الگوهای بارگذاری مثلثی و یکنواخت نشان داده شده است. با توجه به شکل‌های (۲۹-۷) و (۳۰-۷)، مشخص است که نسبت شکلپذیری برای کران بالا و کران پایین بارگذاری ثقلی تقریباً برابر است، از این‌رو برای مدل‌های دیگر فقط از کران بالای بارگذاری استفاده شده است. در تمام این نمودارها، محور افقی، تعداد طبقات مدل و محور قائم، نسبت شکلپذیری (μ) است.



شکل ۲۹-۷-نمودار نسبت شکلپذیری کران پایین و الگوی مثلثی در H1



شکل ۷-۳۲-۳۳-نمودار نسبت شکلپذیری کران بالا و الگوی یکنواخت در H2



شکل ۷-۳۴-۳۵-نمودار نسبت شکلپذیری کران بالا و الگوی یکنواخت در H2

شکل ۷-۳۳-میانگین نسبت‌های شکلپذیری

با توجه به جداول (۱-۷) تا (۶-۷)، مشخص است که نسبت شکلپذیری مدل‌ها، در محدوده بین

۱/۲۷ تا ۲/۹۱ می‌باشد.

به طور کلی، با توجه به نمودار (۲۹-۷)، برای تمام مدل‌های با الگوی H1 TRI، با افزایش خروج

از مرکزیت، نسبت شکلپذیری افزایش یافته، علت این امر احتمالاً کاهش سختی سازه و زودتر جاری

شدن مدل است. همین‌طور، آشکار است که با افزایش ارتفاع سازه، نسبت شکلپذیری کاهش می‌یابد.

نسبت شکلپذیری برای مدل‌های دارای دیوار برشی توالی بیشتر است. از نمودار (۳۲-۷) مشاهده

می‌شود که، برای مدل‌های با الگوی H2 TRI، با افزایش خروج از مرکزیت، نسبت شکلپذیری افزایش

یافته و با افزایش ارتفاع مدل‌ها، نسبت شکل‌پذیری کاهش می‌یابد. شدت افزایش و کاهش نسبت شکل‌پذیری در جهت H2 نسبت به H1 کمتر است، علت این امر شاید مربوط به این است که، سختی مدل‌ها در جهت H2 تغییر نیافته است. همچنین نسبت شکل‌پذیری برای مدل‌های دارای دیوار برشی توخالی بیشتر است. در مجموع با توجه به نمودار (۳۱-۷)، برای تمام مدل‌های با الگوی UNI H1، با افزایش خروج از مرکزیت، نسبت شکل‌پذیری افزایش یافته، ولی شدت افزایش آن کمتر از حالت بارگذاری مثلثی است. به طور کلی، نسبت شکل‌پذیری در بارگذاری جانبی مثلثی، بیشتر از بارگذاری یکنواخت است، چون تغییر مکان هدف و به تبع آن، DY کاهش می‌یابد. ولی حالت بارگذاری یکنواخت در جهت H1، به طور کلی از روال کاهش شکل‌پذیری در اثر افزایش ارتفاع پیروی نمی‌کند. نسبت شکل‌پذیری برای مدل‌های دارای دیوار برشی توخالی بیشتر است.

از نمودار (۳۴-۷) مشاهده می‌شود که اغلب برای مدل‌های با الگوی UNI H2، با افزایش خروج از مرکزیت، نسبت شکل‌پذیری افزایش یافته و با افزایش ارتفاع مدل‌ها، نسبت شکل‌پذیری کاهش می‌یابد. همچنین نسبت شکل‌پذیری برای مدل‌های دارای دیوار برشی توخالی بیشتر است.

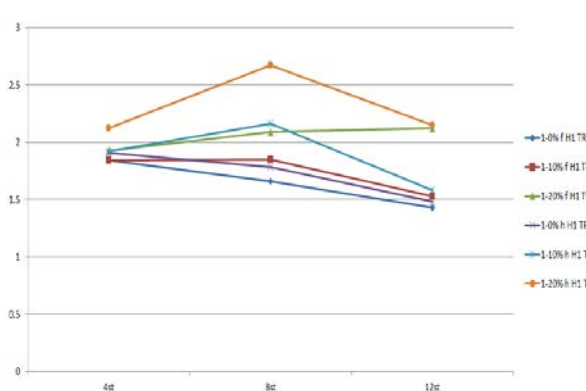
در کل، کمترین نسبت شکل‌پذیری مربوط به مدل UNI f 12st-2 است، و بیشترین نسبت شکل‌پذیری مربوط به مدل H1 TRI 8st-1 20% h می‌باشد. از روی نمودار (۳۳-۷)، مربوط به میانگین نسبت شکل‌پذیری مدل‌ها، مشخص است که با افزایش ارتفاع همیشه نسبت شکل‌پذیری کاهش می‌یابد، ولی برای جهت H1 شدت کاهش در مدل ۴ طبقه به ۸ طبقه اتفاق می‌افتد، برای جهت H2 این کاهش از مدل ۸ طبقه به ۱۲ طبقه اتفاق افتاده است.

۷-۷- بررسی ضرایب شکل‌پذیری مدل‌ها

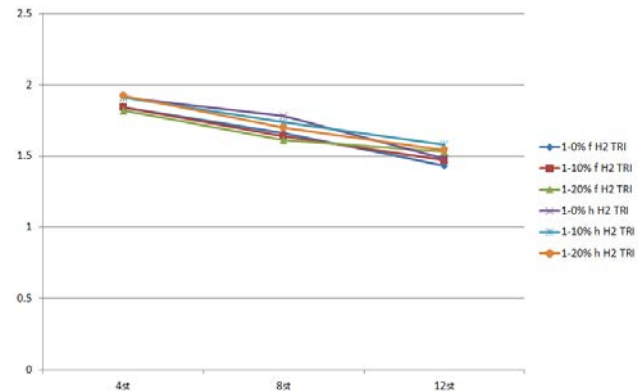
در اشکال (۳۵-۷) الی (۳۸-۷)، نمودار ضرایب شکل‌پذیری دیوارهای توپر و توخالی به تفکیک برای جهات H1 و H2 و الگوهای بار جانبی مثلثی و یکنواخت نشان داده شده است. اشکال (۳۹-۷) و

(۴۰-۷)، به ترتیب میانگین ضریب رفتار مدل با دیوار توپر و دیوار توخالی است. در تمام این نمودارها،

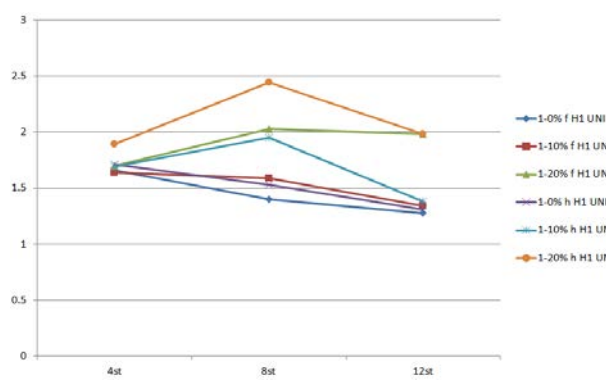
محور افقی، تعداد طبقات مدل و محور قائم، ضریب شکل‌پذیری آن (R_μ) می‌باشد.



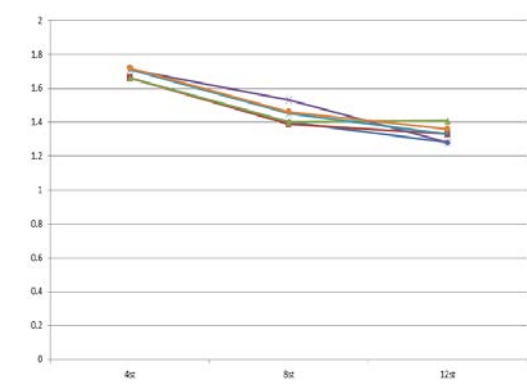
شکل ۳۶-۷-نمودار ضریب شکل‌پذیری دیوار توپر و توخالی با الگوی H1 TRI



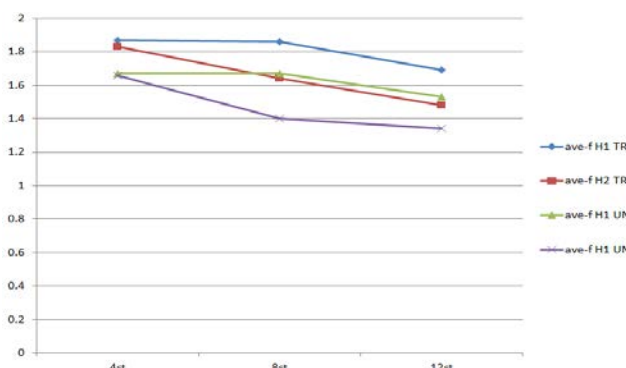
شکل ۳۵-۷-نمودار ضریب شکل‌پذیری دیوار توپر و توخالی با الگوی H2 TRI



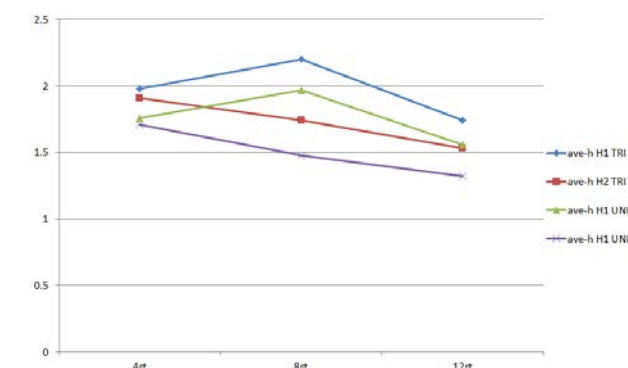
شکل ۳۸-۷-نمودار ضریب شکل‌پذیری دیوار توپر و توخالی با الگوی H1 UNI



شکل ۳۷-۷-نمودار ضریب شکل‌پذیری دیوار توپر و توخالی با الگوی H2 UNI



شکل ۴۰-۷-نمودار میانگین ضریب شکل‌پذیری، مدل با دیوار توپر



شکل ۳۹-۷-نمودار میانگین ضریب شکل‌پذیری، مدل با دیوار توخالی

در اینجا، برای سازه ۴ طبقه ضریب شکل‌پذیری نسبت به نسبت شکل‌پذیری، کاهش یافته است. در مدل‌های ۸ طبقه هم کاهش ضریب شکل‌پذیری نسبت به نسبت شکل‌پذیری رخ می‌دهد، ولی شدت آن خیلی کمتر است. در مورد مدل‌های ۱۲ طبقه، ضریب شکل‌پذیری با نسبت شکل‌پذیری برابر می‌شود. علت این اختلاف در رفتار ضریب شکل‌پذیری مدل‌ها، ناشی از بیشتر شدن زمان تناوب با افزایش ارتفاع است، چون علاوه بر این‌که، شکل‌پذیری رابطه مستقیمی با نسبت شکل‌پذیری دارد، مؤلفه تاثیرگذار دیگر زمان تناوب سازه می‌باشد. همان‌طور که در قسمت قبل مشخص شد، کران بالا و پایین بارگذاری ثقلی تاثیر مهمی بر نسبت شکل‌پذیری ندارد، در این قسمت فقط از کران بالای بارگذاری ثقلی استفاده شده است.

با مقایسه الگوهای بارگذاری جانبی در هر مدل، مشخص است که ضریب شکل‌پذیری برای بارگذاری مثلثی از بارگذاری یکنواخت بیشتر است. به‌طور کلی، با افزایش خروج از مرکزیت سازه، ضریب شکل‌پذیری افزایش می‌یابد. ضریب شکل‌پذیری با افزایش ارتفاع ساختمان اغلب کاهش می‌یابد، ولی این اختلاف کاهش، از میزان کاهش نسبت شکل‌پذیری در اثر ارتفاع کمتر است. کمترین میزان ضریب شکل‌پذیری مربوط به مدل با الگوی UNI 12st-2 f با مقدار $1/27$ ، و بیشترین مقدار ضریب شکل‌پذیری با الگوی $2/67$ به مدل با الگوی $8st-1$ $20\% h H TRI$ اختصاص دارد.

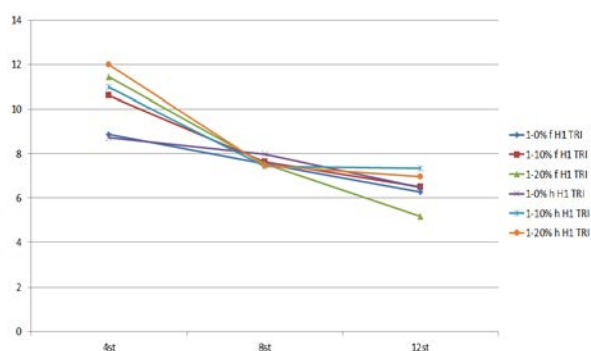
از روی نمودارهای مربوط به میانگین ضریب شکل‌پذیری مشخص است که در این‌جا هم مانند میانگین نسبت شکل‌پذیری، میانگین ضریب شکل‌پذیری با افزایش ارتفاع ساختمان کاهش یافته، ولی شدت کاهش آن کمتر شده است. هم‌چنان، ضریب شکل‌پذیری در مدل با دیوار توخالی بیشتر است. برای این‌که مقدار کاهش یا افزایش را به طور بهتر درک کنیم، میانگین تمام مدل‌های توپر و توخالی را با الگوهای مشابه بار جانبی برای تمام طبقات با هم مقایسه کردہ‌ایم و نتایج در جدول (۷-۷)، نشان داده شده است.

جدول ۷-۷- میانگین ضریب شکل‌پذیری برای دیوار برشی توپر و توخالی

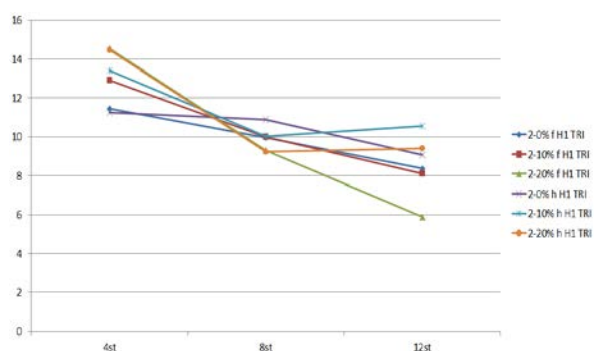
12st	8st	4st		
۱/۶۴	۱/۷۶	۱/۸۶	دیوار توپر	الگوی بار مثلثی
۱/۶۵	۱/۹۸	۱/۹۵	دیوار توخالی	
۱/۴۹	۱/۵۵	۱/۶۷	دیوار توپر	الگوی بار یکنواخت
۱/۵	۱/۷۳	۱/۷۳	دیوار توخالی	

۸-۷- بررسی ضرایب مقاومت افزون مدل‌ها

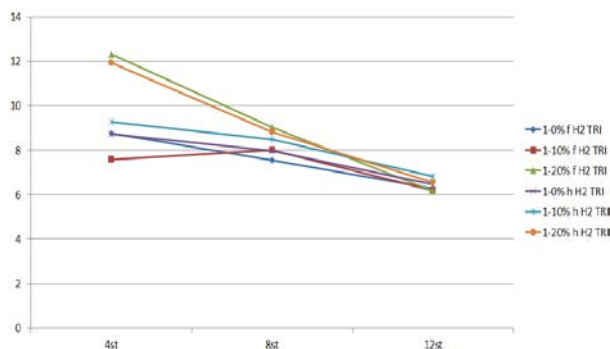
در اشکال (۴۱-۷) الی (۴۸-۷)، نمودار ضرایب مقاومت افزون مدل‌های با دیوار توپر و توخالی، به تفکیک الگوهای بارگذاری جانبی مثلثی و یکنواخت، الگوهای کران بالا و کران پایین بارگذاری ثقلی و جهت اعمال بار جانبی، با هم مقایسه شده است. در اشکال (۴۹) الی (۵۲)، میانگین ضرایب رفتار برای کلیه مدل‌ها به تفکیک نوع بارگذاری ثقلی، توپر یا توخالی بودن دیوارها و نوع بارگذاری جانبی نشان داده شده است. در تمام این نمودارها، محور افقی، تعداد طبقات مدل و محور قائم، ضریب مقاومت افزون می‌باشد.



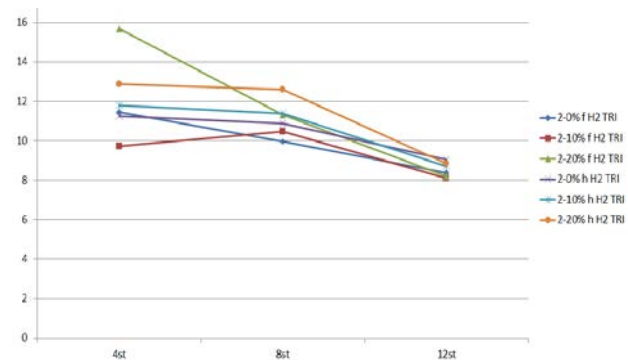
1- ۴۲- نمودار ضرایب مقاومت افزون برای مدل‌های H1 TRI



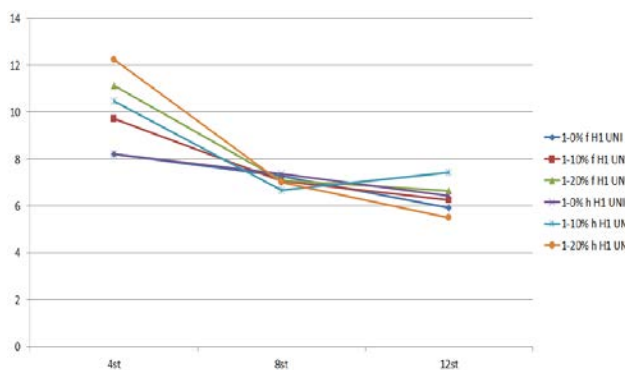
2- ۴۱- نمودار ضرایب مقاومت افزون برای مدل‌های H1 TRI



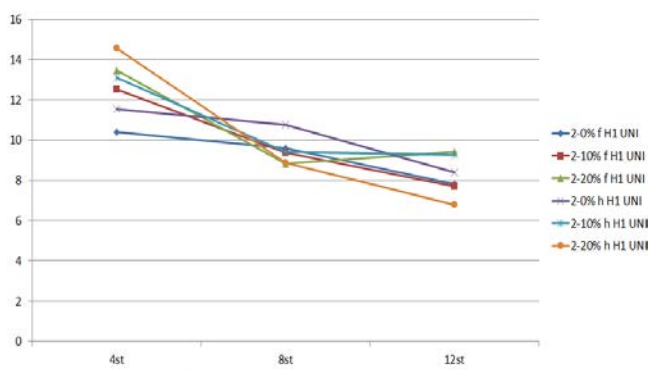
شکل ۱- H2 TRI-۴۴-نمودار ضریب مقاومت افزون برای مدل‌های



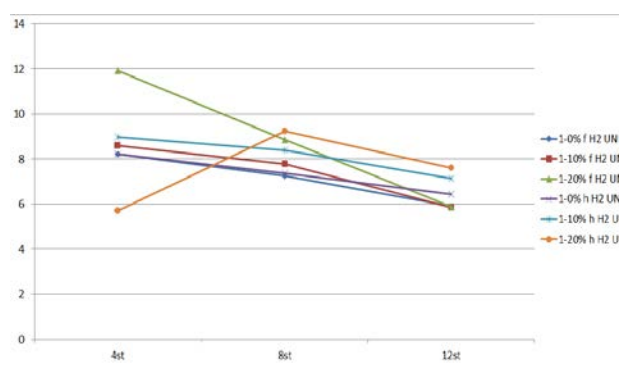
شکل ۲- H2 TRI-۴۳-نمودار ضریب مقاومت افزون برای مدل‌های



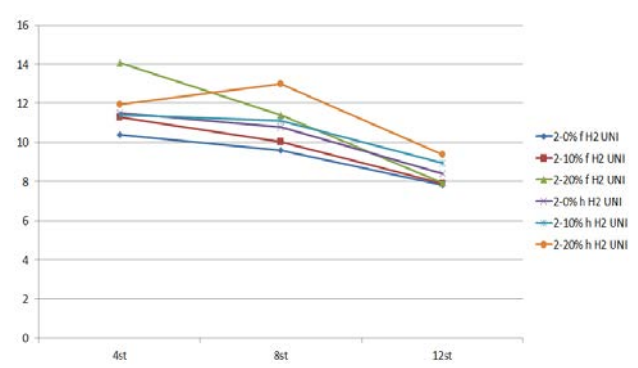
شکل ۱- H1 UNI-۴۶-نمودار ضریب مقاومت افزون برای مدل‌های



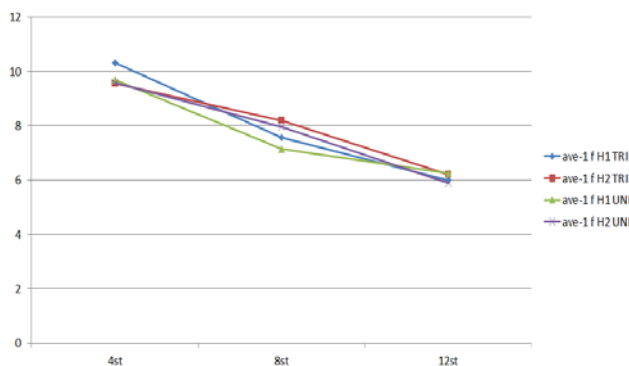
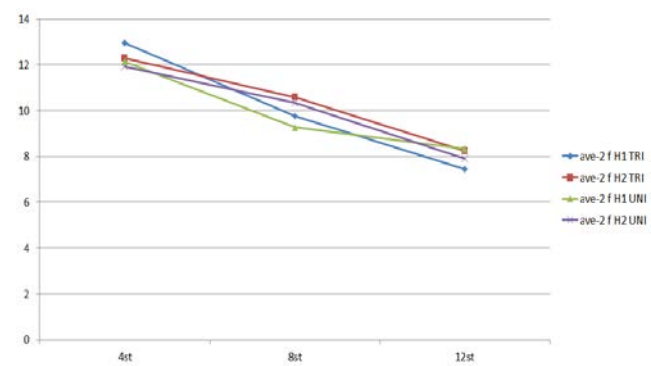
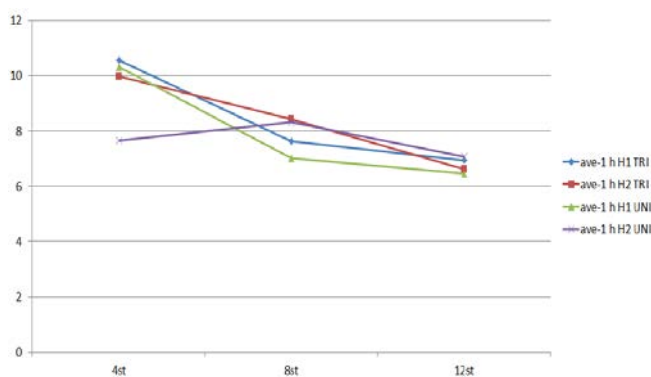
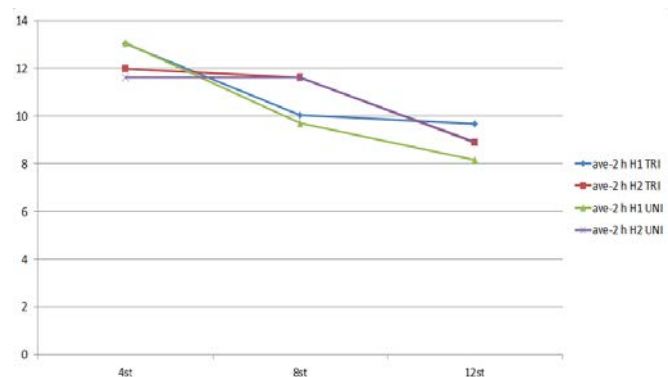
شکل ۲- H1 UNI-۴۵-نمودار ضریب مقاومت افزون برای مدل‌های



شکل ۱- H2 UNI-۴۸-نمودار ضریب مقاومت افزون برای مدل‌های



شکل ۲- H2 UNI-۴۷-نمودار ضریب مقاومت افزون برای مدل‌های

شکل ۷-۴۹-۵۰-نمودار میانگین ضریب مقاومت افزون مدل‌های با الگوی f شکل ۷-۴۹-۵۰-نمودار میانگین ضریب مقاومت افزون مدل‌های با الگوی f شکل ۷-۵۱-۵۲-نمودار میانگین ضریب مقاومت افزون مدل‌های با الگوی h شکل ۷-۵۱-۵۲-نمودار میانگین ضریب مقاومت افزون مدل‌های با الگوی h

به طور کلی، از نمودارهای میانگین ضریب مقاومت افزون به طور آشکار مشخص است که با افزایش تعداد طبقات (افزایش ارتفاع سازه)، ضریب مقاومت افزون سازه کاهش می‌یابد. همچنین، مشخص است که ضریب مقاومت افزون برای کران پایین بارگذاری ثقلی از کران بالای بارگذاری ثقلی بیشتر است، زیرا نیروی برشی کمتری برای غلبه بر نیروی فشاری اعمالی به سازه برای رسیدن به برش اولین تسلیم در سازه نیاز دارد و این منجر به افزایش ضریب مقاومت افزون می‌شود.

در مجموع، مقدار ضریب مقاومت افزون با خروج از مرکزیت 10% بیشتر می‌شود ولی برای 20% از قانون مشخصی پیروی نمی‌کند، چون در خروج از مرکزیت 10% ، کاهش سختی سازه، مقدار پیچش

و اضافه بار ناشی از تغییر ابعاد کف‌ها، به کاهش زیاد برش جاری شدن منجر نمی‌شود، اما برای خروج از مرکزیت ۲۰٪ مقدار برش حد جاری شدن کاهش زیادی پیدا می‌کند.

با توجه به جداول (۱-۷) تا (۶-۷)، مشخص است که، کمترین و بیشترین مقدار برای ضرایب مقاومت افزون مقادیر ۴/۹۲ و ۱۵/۶۷ می‌باشد و به ترتیب برای مدل‌های H1 MOD 10% h 12st-1 و ۲۰% f H2 TRI 4st-2 رخ می‌دهد. در کل، خروج از مرکزیت برای سازه‌های بلندتر دارای اهمیت بیشتر است، زیرا مقدار بار اضافه شده بر روی المان‌ها در جهت H1 و افزایش نیروی برشی ناشی از پیچش، در آن‌ها بیشتر است. به‌طور کلی، ضریب مقاومت افزون برای مدل‌هایی که الگوی بارگذاری جانبی مثلثی دارند، بیشتر از مدل‌هایی است که دارای بارگذاری جانبی یکنواخت هستند. مقادیر ضریب مقاومت افزون، یک نسبت است و این مقادیر را باید علاوه بر کمیت از لحاظ کیفی هم مورد توجه قرار دهیم تا در ک روش‌تری از آن برای ما متصور باشد. بدین صورت‌که، اگر در مدلی برش جاری شدن بالا یا پایین شود لزوماً به معنای بیشتر یا کمتر شدن ضریب مقاومت افزون نیست و باید مقدار برش برای تشکیل اولین مفصل را هم داشته باشیم و نسبت این دو را حساب کنیم. هنگامی‌که سازه در جهت H1 و با خروج از مرکزیت ۱۰٪ را پوش می‌دهیم در مدل‌های ۴ طبقه مقدار برش جاری شدن کمی از حالت بدون خروج از مرکزیت بیشتر است، چون در جهت H1 بار اعمالی به سازه بیشتر شده و از طرفی سازه به خوبی قادر به تحمل آن می‌باشد. اما در مدل‌های ۸ طبقه این مقدار خروج از مرکزیت هم باعث کاهش سختی سازه شده و برش پایه را کم می‌کند، در مدل‌های ۱۲ طبقه هم برش پایه کم می‌شود ولی شدت آن از مدل‌های ۸ طبقه کمتر است. برای خروج از مرکزیت ۲۰٪ در جهت H1 همیشه شاهد افت زیاد مقدار برش سطح جاری شدن و برش اولین تسلیم هستیم و برآیند این دو کاهش، گاهی باعث افزایش ضریب مقاومت افزون و گاهی هم باعث ایجاد کاهش آن می‌شود.

بارگذاری در جهت H2 باعث به وجود آمدن پیچش در مدل‌های با خروج از مرکزیت می‌شود، همین‌طور خروج از مرکزیت باعث کاهش بار ثقلی روی المان‌های جهت H2 شده است. هنگامی‌که، اثر پیچش، از اثر مقدار بار ثقلی کاهش یافته بیشتر باشد، سازه در مقدار برش بیشتری به حد جاری شدن می‌رسد، البته سازه هم باید قادر به تحمل این برش اضافی به وجود آمده باشد، در غیر این صورت برش حد جاری شدن کمتر از حالت بدون خروج از مرکزیت می‌شود. به طور کلی، پیچش باعث می‌شود که سازه زودتر به برش اولین تسلیم برسد. به غیر از مدل ۴ طبقه توپر با بارگذاری جانبی مثلثی، بقیه مدل‌های با خروج از مرکزیت در برش کمتر اولین تسلیم را تجربه می‌کنند. از مقایسه مقدار ضریب مقاومت افزون در دو جهت H1 و H2 به این نتیجه می‌رسیم که، از نظم مشخصی پیروی نمی‌کند.

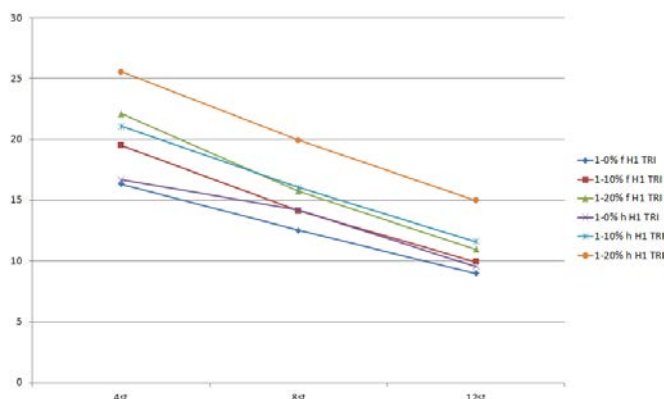
به طور کلی، برای مدل‌های ۴ طبقه، ضریب مقاومت افزون مدل‌های با دیوارهای توپر از دیوارهای توخالی بیشتر است. برای مدل‌های ۸ و ۱۲ طبقه، ضریب مقاومت مدل‌های با دیوار توخالی از مدل‌های توپر بیشتر است. برای این‌که مقدار این کاهش یا افزایش را به طور بهتر درک کنیم، میانگین تمام مدل‌های توپر و توخالی را با الگوهای مشابه بار جانبی برای تمام طبقات با هم مقایسه کرده‌ایم و نتایج در جدول (۷-۸)، نشان داده شده است.

جدول ۷-۸- میانگین ضریب مقاومت افزون برای دیوار برشی توپر و توخالی

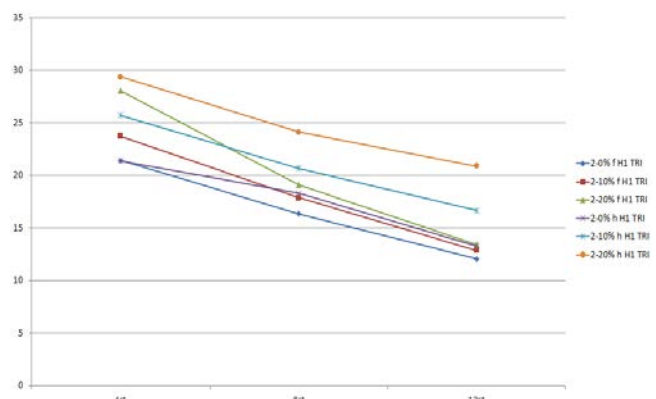
12st	8st	4st		
۶/۹۰	۹/۰۸	۱۱/۵۰	دیوار توپر	الگوی بار مثلثی
۸/۰۷	۹/۴۳	۱۱/۶۷	دیوار توخالی	
۷/۱۳	۸/۷۳	۱۱/۱۳	دیوار توپر	الگوی بار یکنواخت
۷/۶۹	۹/۱۸	۱۰/۸۶	دیوار توخالی	

۹-۷- بررسی ضرایب رفتار مدل‌ها

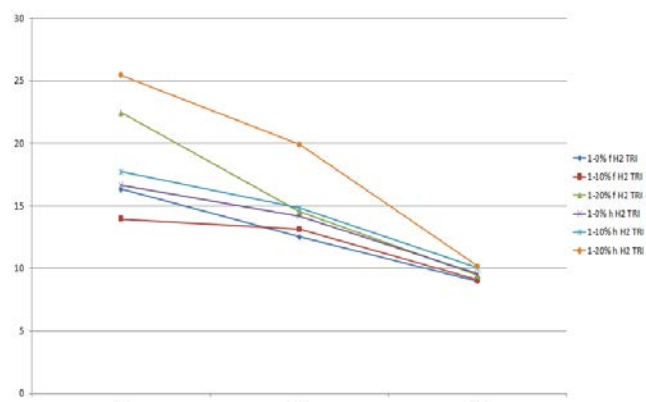
در اشکال (۵۳-۷) الی (۶۰-۷)، نمودار ضرایب رفتار مدل‌های با دیوار توپر و توخالی، به تفکیک الگوی بارگذاری جانبی مثلثی و یکنواخت، الگوی کران بالا و کران پایین بارگذاری ثقلی و جهت اعمال بار جانبی، با هم مقایسه شده است. اشکال (۶۱-۷) الی (۶۴-۷)، میانگین ضرایب رفتار برای کلیه مدل‌ها به تفکیک نوع بارگذاری ثقلی، توپر یا توخالی بودن دیوارها و نوع بارگذاری جانبی مشخص شده است. در تمام نمودارها، محور افقی، تعداد طبقات و محور قائم، ضریب رفتار می‌باشد.



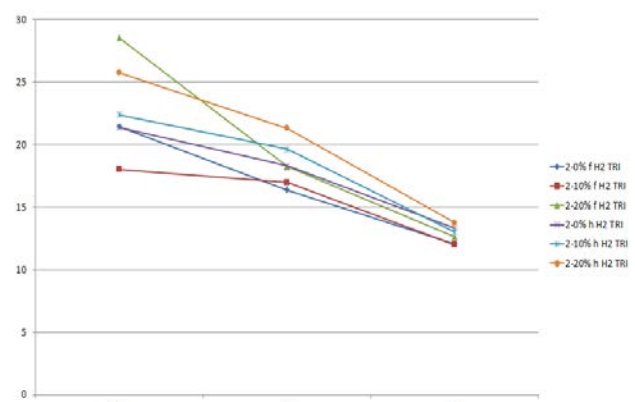
1- H1 TRI - نمودار ضریب رفتار برای مدل‌های



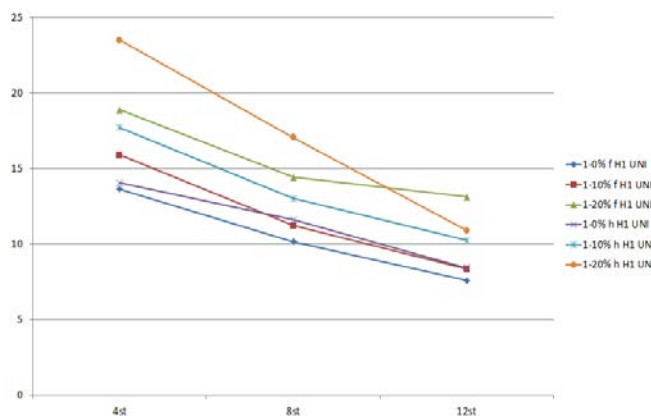
2- H1 TRI - نمودار ضریب رفتار برای مدل‌های



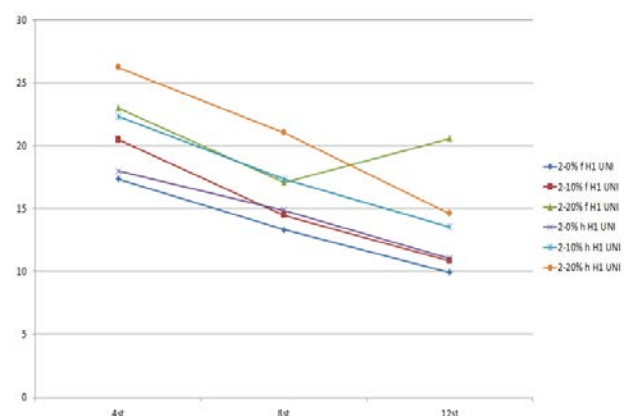
1- H2 TRI - نمودار ضریب رفتار برای مدل‌های



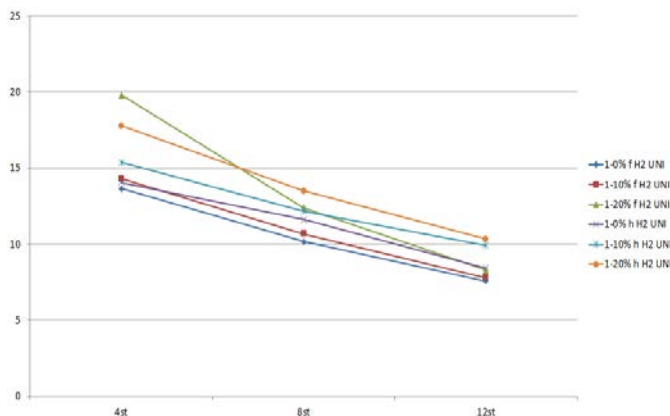
2- H2 TRI - نمودار ضریب رفتار برای مدل‌های



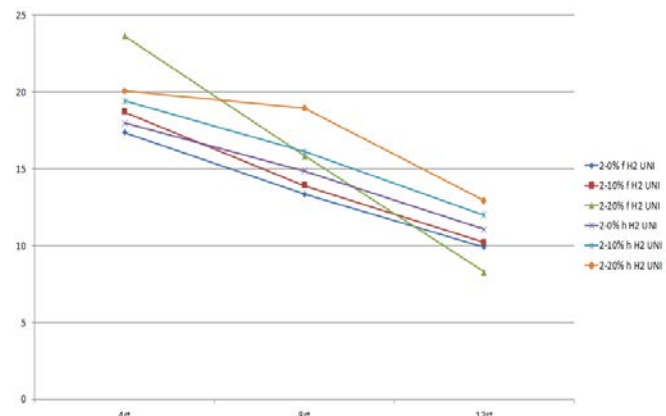
1- H1 UNI -نمودار ضریب رفتار برای مدل‌های



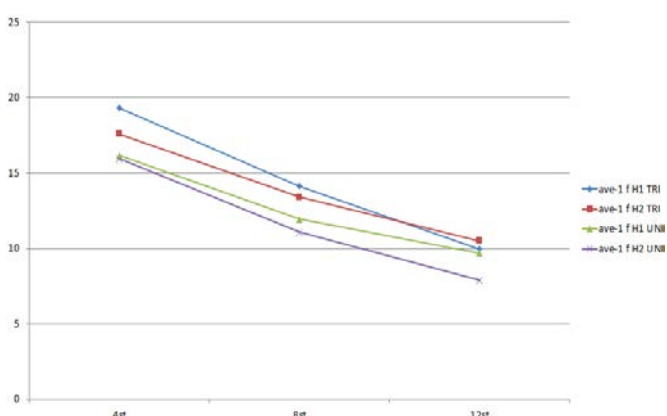
2- H1 UNI -نمودار ضریب رفتار برای مدل‌های



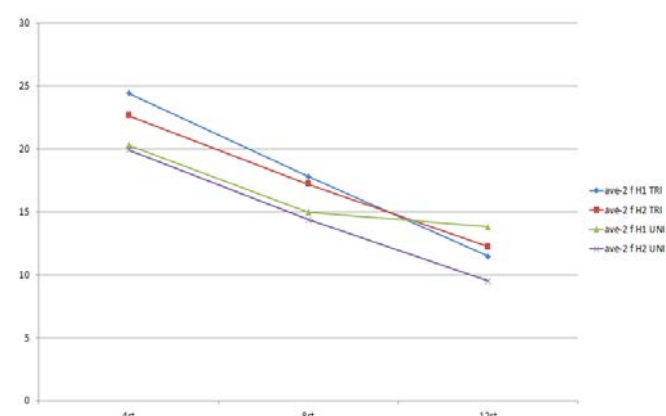
1- H2 UNI -نمودار ضریب رفتار برای مدل‌های



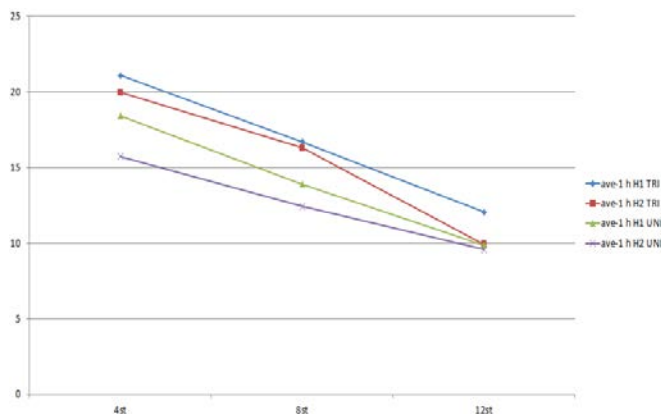
2- H2 UNI -نمودار ضریب رفتار برای مدل‌های



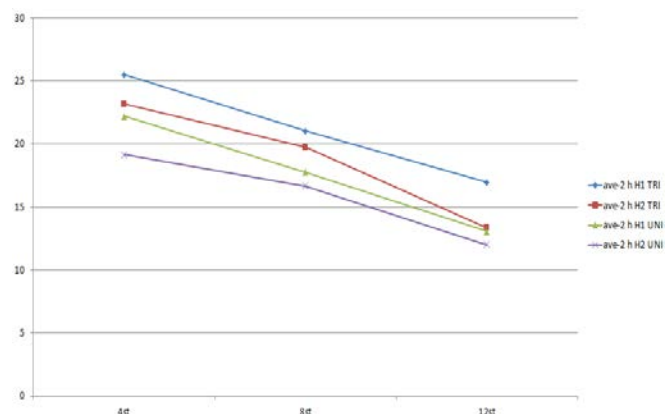
1- f -نمودار میانگین ضریب رفتار مدل‌های با الگوی



2- f -نمودار میانگین ضریب رفتار مدل‌های با الگوی



شکل ۷-۱-۶۴-نمودار میانگین ضریب رفتار مدل‌های با الگوی h ۱-



شکل ۷-۲-۶۳-نمودار میانگین ضریب رفتار مدل‌های با الگوی h ۲-

به طور کلی از منحنی‌های میانگین ضریب رفتار که در اشکال (۶۱-۷) تا (۶۴-۷)، نشان داده شده است، مشاهده می‌شود که ضریب رفتار سازه با افزایش طبقات مدل‌ها کاهش می‌یابد. با اینکه نسبت ضریب شکل‌پذیری برای مدل‌های بلندتر بیشتر شده است ولی باز هم مقدار ضریب شکل‌پذیری با افزایش تعداد طبقات سازه، کاهش می‌یابد، از طرفی با افزایش ارتفاع سازه، ضریب مقاومت افزون سازه هم کاهش می‌یابد. علاوه بر این، روشن است که ضریب رفتار برای کران پایین بار ثقلی بیشتر است، چون ضریب شکل‌پذیری برای کران پایین شکل‌پذیری کمی بیشتر از حالت کران بالای بار ثقلی است، ولی دلیل اصلی این موضوع، بیشتر بودن ضریب مقاومت بار افزون برای کران پایین بارگذاری ثقلی است. همچنین، ضریب رفتار برای بارگذاری جانبی مثلثی از بارگذاری جانبی یکنواخت بیشتر است. دلیل این امر، به خاطر بیشتر بودن ضریب شکل‌پذیری و ضریب مقاومت افزون بار مدل‌های با بارگذاری جانبی مثلثی نسبت به بارگذاری جانبی یکنواخت است. به طور کلی، ضریب رفتار در جهت H1 بیشتر از ضریب رفتار در جهت H2 است، زیرا با وجود این‌که ضریب مقاومت افزون بار در جهات H1 و H2 از الگوی خاصی پیروی نمی‌کند، ولی ضریب شکل‌پذیری اغلب در جهت H1 بزرگ‌تر از جهت H2 است. با افزایش خروج از مرکزیت در مدل‌ها، اغلب ضریب رفتار در مدل‌ها بیشتر

می‌شود، چون هم ضریب شکل‌پذیری و هم ضریب مقاومت افزون بار، با افزایش خروج از مرکزیت بیشتر شده است.

کمترین ضریب رفتار در مدل‌ها با ۷/۲۷ مربوط به مدل با الگوی 12st-1 h MOD است و بیشترین مقدار ضریب رفتار با ۲۹/۳۶ مربوط به مدل با الگوی H1 TRI 4st-2 20% h می‌باشد.

در منحنی‌های مربوط به الگوی بار جانبی مثلثی در جهت H1 (اشکال)، برای همه طبقات کمترین ضریب رفتار مربوط به مدل‌های توپر با خروج از مرکزیت ۱۰٪، و بیشترین ضریب رفتار مربوط به مدل‌های توخالی با خروج از مرکزیت ۲۰٪ می‌باشد. ضریب رفتار این مدل‌ها تقریباً با یک شبیث ثابت، با افزایش تعداد طبقات مدل‌ها کاهش می‌یابد. در منحنی‌های مربوط به الگوی بار جانبی مثلثی در جهت H2 (اشکال)، در مدل‌های ۴ طبقه برای هر دو حالت بار ثقلی کمترین مقدار ضریب رفتار مربوط به مدل توپر با خروج از مرکزیت ۱۰٪ می‌باشد، و حداقل ضریب رفتار برای کران بالای بار ثقلی مربوط است به مدل توخالی با خروج از مرکزیت ۲۰٪، اما برای کران پایین بار ثقلی، حداقل ضریب رفتار به مدل توپر با خروج از مرکز ۲۰٪ تعلق دارد. در مدل‌های ۸ و ۱۲ طبقه بیشترین ضریب رفتار به مدل توخالی با خروج از مرکزیت ۲۰٪، و کمترین ضریب رفتار به مدل‌های توپر بدون خروج از مرکزیت تعلق دارد. ضریب رفتار در جهت H2 با بالا رفتن تعداد طبقات کم می‌شود، ولی دارای نظم مشخصی نیست، ولی به طور کلی اختلاف حداقل و حداقل ضریب رفتار با بالا رفتن تعداد طبقات در مدل‌ها کم می‌شود.

در منحنی‌های مربوط به الگوی بار جانبی یکنواخت در جهت H1 (اشکال)، برای همه طبقات کمترین ضریب رفتار مربوط به مدل‌های توپر بدون خروج از مرکزیت است و بیشترین ضریب رفتار مدل‌های ۴ و ۸ طبقه، مربوط به مدل‌های توخالی با خروج از مرکزیت ۲۰٪ می‌باشد، اما برای مدل‌های ۱۲ طبقه، بیشترین ضریب رفتار برای مدل‌های توپر با خروج از مرکزیت ۲۰٪ می‌باشد. به

جز مدل توپر ۱۲ طبقه با خروج از مرکزیت ۰٪، همیشه با افزایش ارتفاع ساختمان ضریب رفتار مدل‌ها کاهش یافته است. در منحنی‌های مربوط به الگوی بار جانبی یکنواخت در جهت H2 (اشکال)، در مدل‌های ۴ طبقه برای حالت بار ثقلی کران بالا، کمترین مقدار ضریب رفتار مربوط به مدل توپر بدون خروج از مرکزیت می‌باشد، و حداقل ضریب رفتار برای کران بالای بار ثقلی ۴ طبقه مربوط است به مدل توپر با خروج از مرکزیت ۰٪، و برای ۸ و ۱۲ طبقه، به مدل‌های توحالی با ۰٪ خروج از مرکزیت تعلق دارد. با افزایش تعداد طبقات، ضریب رفتار کاهش یافته است. اما برای کران پایین بار ثقلی، کمترین ضریب رفتار مدل‌های ۴ و ۸ طبقه به مدل‌های توپر بدون خروج از مرکز، و برای مدل‌های ۱۲ طبقه به مدل‌های توپر و با خروج از مرکزیت ۰٪ تعلق دارد. حداقل ضریب رفتار برای مدل‌های ۴ طبقه به مدل‌های توپر با خروج از مرکزیت ۰٪ اختصاص دارد و برای مدل‌های ۸ و ۱۲ طبقه حداقل ضریب رفتار به مدل‌های توحالی با ۰٪ خروج از مرکزیت تعلق دارد. با افزایش تعداد طبقات سازه، ضریب رفتار سازه کاهش می‌یابد. از نمودارهای مربوط به میانگین ضریب رفتار مدل‌ها مشخص است که ضریب رفتار سازه برای مدل‌های با دیوارهای توحالی از مدل‌های با دیوارهای توپر بیشتر است. برای این‌که مقدار این افزایش را به طور بهتر درک کنیم، میانگین تمام مدل‌های توپر و توحالی را با الگوهای مشابه بار جانبی برای تمام طبقات، در جدول (۹-۷)، نشان داده شده است.

جدول ۹-۷- میانگین ضریب رفتار برای دیوار برشی توپر و توحالی

12st	8st	4st		
۱۱/۱۳	۱۵/۸۵	۲۱/۴۰	دیوار توپر	الگوی بار مثلثی
۱۳/۳۹	۱۸/۵۴	۲۲/۸۳	دیوار توحالی	
۱۰/۷۶	۱۳/۳۵	۱۸/۵۸	دیوار توپر	الگوی بار یکنواخت
۱۱/۴۰	۱۵/۵۶	۱۹/۴۴	دیوار توحالی	

فصل هشتم

نتیجہ کیری و پیشہ دادت

۱-۸ - مقدمه

در این تحقیق ابتدا ۹ مدل خطی با سیستم دوگانه قاب خمشی و دیوار برشی توپر ساخته شده و سپس ۹ مدل خطی دیگر با همین سیستم و این بار با دیوارهای برشی توخالی ساخته می‌شود. پلان همه این مدل‌ها، 12×12 متر و ارتفاع تمام طبقات ۳ متر می‌باشد. ۳ مدل بدون خروج از مرکزیت، ۳ مدل با خروج از مرکزیت ۱۰٪ و ۳ مدل دیگر هم با خروج از مرکزیت ۲۰٪، برای هر دو نوع دیوار توپر و توخالی با استفاده از نرم‌افزار ETABS Nonlinear (Version 9.7.2) ساخته شده و براساس آیین‌نامه‌های آبادان، مبحث ششم مقررات ملی ساختمان، استاندارد ۲۸۰۰ (ویرایش سوم) و مبحث نهم مقررات ملی ساختمان، تحلیل و طراحی آن‌ها انجام شده است. طراحی دیوارهای برشی براساس آیین‌نامه ACI ویرایش سال ۲۰۰۵ انجام شده است. سپس مدل‌های غیرخطی فوق به کمک نرم‌افزار (PERFORM-3D) ساخته شده و براساس ضوابط دستورالعمل FEMA-356، تحلیل استاتیکی غیرخطی گردیده است. در نهایت به محاسبه ضرایب رفتار سازه‌های مورد مطالعه با استفاده از روش یوانگ، و نیز محاسبه برخی از مولفه‌های لرزه‌ای این سازه‌ها از قبیل تغییرمکان هدف، زمان تناب، نسبت شکل‌پذیری، ضریب شکل‌پذیری و ضریب مقاومت افزون بار پرداخته شده است. همچنین تاثیر عواملی همچون تعداد طبقات، خروج از مرکزیت، جهت بارگذاری جانبی، نوع الگوی بارگذاری جانبی، نوع الگوی بارگذاری ثقلی و توپر و توخالی بودن دیوارها را بر روی مولفه‌های لرزه‌ای بررسی کردہ‌ایم.

لازم به ذکر است که، دیوارهای برشی توخالی برای اولین بار در این پایان‌نامه به صورت غیرخطی مدل شده و مولفه‌های لرزه‌ای آن در کنار مدل‌های با دیوار برشی توپر مقایسه شده است، تا تاثیر توخالی کردن دیوارها بر روی مولفه‌های لرزه‌ای بهتر قابل درک و نتیجه‌گیری باشد. این یکی از ویژگی‌های مهم این پایان‌نامه در مقایسه با نمونه‌های مشابه در مورد بررسی لرزه‌ای مدل‌ها می‌باشد.

۲-۸- نتیجه‌گیری

- ۱- الگوهای بارگذاری جانبی مثلثی و یکنواخت، به ترتیب با الگوهای بارگذاری جانبی طیفی و مودال، تقریباً در نتایج حاصل از مولفه‌های لرزه‌ای برابرند.
- ۲- مدل‌های با دیوار برشی توخالی نسبت به مدل‌های دارای دیوار برشی توپر، دارای تغییرمکان هدف بزرگتری هستند، زیرا سختی سازه با دیوار برشی توخالی از سختی سازه با دیوار برشی توپر کمتر است.
- ۳- نوع الگوی بار شقلی و خروج از مرکزیت، تاثیر چندانی بر تغییرمکان هدف ندارد.
- ۴- تغییرمکان هدف برای الگوی بار جانبی مثلثی از الگوی بار جانبی یکنواخت بیشتر است. با افزایش ارتفاع مدل‌ها، تغییرمکان هدف از الگوی مشخصی پیروی نمی‌کند.
- ۵- زمان تناوب موثر سازه، در مدل‌های توخالی همیشه از مدل‌های توپر بیشتر است.
- ۶- با افزایش ارتفاع سازه، زمان تناوب موثر سازه افزایش می‌یابد.
- ۷- به طور کلی، با ایجاد بی‌نظمی در سازه، زمان تناوب موثر کمتر می‌شود، ولی نوع الگوی بارگذاری شقلی و جانبی تاثیر خیلی کمی بر روی زمان تناوب موثر دارد.
- ۸- با افزایش ارتفاع سازه، سطح زیر منحنی ظرفیت سازه، که نشان دهنده میزان استهلاک انرژی در اثر اعمال بار جانبی است، کاهش می‌یابد.

۹- نسبت شکل‌پذیری سازه، به طور کلی، با افزایش ارتفاع مدل‌ها کاهش می‌باید. ضریب

شکل‌پذیری سازه، با افزایش ارتفاع کاهش می‌باید، ولی میزان کاهش آن از مقدار کاهش

نسبت شکل‌پذیری کمتر است.

۱۰- به‌طور کلی، نسبت شکل‌پذیری و ضریب شکل‌پذیری، برای مدل با دیوار برشی توخالی،

بیشتر از مدل با دیوار برشی توپر است.

۱۱- به‌طور کلی، نسبت شکل‌پذیری و ضریب شکل‌پذیری، در جهت H1، بیشتر و در جهت H2

کمتر از مدل‌های بدون خروج از مرکزیت هستند.

۱۲- به‌طور کلی، نسبت شکل‌پذیری و ضریب شکل‌پذیری، در الگوی بار مثلثی بیشتر از الگوی بار

یکنواخت است.

۱۳- نسبت شکل‌پذیری و ضریب شکل‌پذیری، تقریباً برای هر دو الگوی بار ثقلی یکسان است.

۱۴- به‌طور کلی، با افزایش ارتفاع مدل‌ها، ضریب مقاومت افزون بار کاهش می‌باید.

۱۵- به‌طور کلی، ضریب مقاومت افزون مدل‌های توپر در مدل‌های ۴ طبقه بیشتر از مدل‌های

توخالی است، ولی در مدل‌های ۸ و ۱۲ طبقه، این ضریب در مدل توخالی بیشتر است.

۱۶- ضریب مقاومت افزون، برای بارگذاری کران پایین ثقلی، بیشتر از کران بالای ثقلی است، اما

نوع بارگذاری جانبی تاثیر چندانی بر آن ندارد.

۱۷- ضریب مقاومت افزون، برای مدل‌های با خروج از مرکزیت ۱۰٪، افزایش می‌باید ولی برای

خروج از مرکزیت ۲۰٪، از الگوی مشخصی پیروی نمی‌کند.

۱۸- ضریب مقاومت افزون، در جهات H1 و H2 از الگوی مشخصی پیروی نمی‌کند.

۱۹- به‌طور کلی، ضریب رفتار مدل‌ها با افزایش ارتفاع کم می‌شود.

۲۰- ضریب رفتار مدل‌های دارای کران پایین بارگذاری ثقلی، بیشتر از مدل‌های با کران بالای

بارگذاری ثقلی است.

۲۱- به طور کلی، ضریب رفتار مدل‌های دارای دیوار توحالی، بیشتر از مدل‌های با دیوار توپر است.

۲۲- در مدل‌های با الگوی بار جانبی مثلثی، ضریب رفتار، بیشتر از الگوی بار جانبی یکنواخت است.

۲۳- به طور کلی، ضریب رفتار در جهت H1، بیشتر از ضریب رفتار در جهت H2 است.

۲۴- در اکثر موقع، خروج از مرکزیت باعث افزایش ضریب رفتار مدل‌ها می‌شود.

۲۵- به نظر می‌رسد، طرح لرزه‌ای با استفاده از ضرایب رفتار فهرست شده در آیین‌نامه‌ها، به یک

سطح یکنواخت اینمی برای کلیه مدل‌ها منجر نمی‌شود.

۳-۸- پیشنهادات

۱- توصیه می‌شود، برای دقیق‌تر در مدل کردن سازه‌ها، میان قاب‌ها هم مدل شوند.

۲- برای در نظر گرفتن تاثیر اندازه پلان‌ها در مولفه‌های لرزه‌ای، مدل‌هایی با پلان‌ها و طبقات

دیگر هم ساخته شود.

۳- توصیه می‌شود، برهم‌کنش خاک و پی، در مدل‌ها دیده شود.

۴- توصیه می‌شود، ضریب رفتار سازه با روش‌های موجود دیگر هم محاسبه شود.

۵- مولفه‌های لرزه‌ای برای تمام انواع خاک‌های محل احداث ساختمان و تمام سطوح

شكل‌پذیری، محاسبه شود.

۶- مولفه‌های لرزه‌ای برای نواحی با خطر لرزه‌خیزی مختلف، محاسبه شود.

۷- اثر تغییر حفره دیوار برشی توحالی، بر مولفه‌های لرزه‌ای محاسبه شود.

۸- میزان تاثیر سخت‌کننده‌های عرضی و طولی بر مولفه‌های لرزه‌ای مدل‌های با دیوار برشی

توحالی محاسبه شود.

منابع

- ١- خیرالدین علی، (۱۳۸۸)، "آنالیز و طراحی دیوارهای برشی" ، چاپ دوم ، دانشگاه سمنان.
 - ٢- نرماسیری کامبیز، قلعه نوی منصور و اژدری مقدم مهدی، (۱۳۸۶) "بررسی عملکرد دیوارهای برشی بتونی تو خالی" ، سومین کنگره بینالملی عمران، دانشگاه تبریز.
 - ٣- تسنیمی، ع و معصومی، ع، (۱۳۸۵) "محاسبه ضریب رفتار قاب‌های خمشی بتون مسلح" چاپ اول، مرکز تحقیقات ساختمان و مسکن، تهران.
 - ٤- تسنیمی، ع، (۱۳۸۸) "رفتار و طرح لرزه‌ای ساختمان‌های بتون مسلح" جلد اول، چاپ سوم، مرکز تحقیقات ساختمان و مسکن، تهران.
- 5- Mwafy, A.M. and Elnashai, A. S. (2000), "Calibration of Force Reduction Factors of RC Buildings ", journal of Earthquake Engineering, 6(2), 239-273
- 6- ATC, (1995), "Structural Response Modification Factors" , ATC-19 Report, Applied Technology Council, Redwood City, California.
- 7- ATC, (1995), "A Critical Review of Current Approches to Erthquake-Resistant Design" , ATC-34 Report, Applied Technology Council, Redwood City, California.
- 8- Whittaker, A., Hart, G. and Rojahn, C. (1999), "Seismic Response Modification Factors." Journal of Structural Engineering. ASCE, **125**(4), 438-444.
- 9- Miranda, E. and Bertero, V. V. (1994), "*Evaluation of Strength Reducation Factors for Earthquake-Resistant Design*" Earthquake Spectra, **10**(2), 357-379
- 10- Newmark, N. M. and Hall, W. J. (1982), "Earthquake Spectra and Design" Earthquake Engineering. Res. Inst., El Cerrito, Calif.
- 11- Krawinkler, H. and Nassar, A. A. (1992), "Seismic Design Based on Ductility and Cumulative Damage Demend and Capacity." Nonlinear Seismic Analysis and

Design of Reinforced Concrete Buildings, P. Fajfar and H. Krawinkler, eds., Elsevier Applide Science, New York.

12- Wang, C.-H. and Wen, Y. K. (2000), "Evaluation of Pre-Northridge Low-Rise Steel Buildings. II: Reliability" Journal of Strctural Engineering, ASCE **126**(10), 1169-1176.

۱۳- محمودی صاحبی موسی، (۱۳۷۷)، رساله دکتری: "اثر زمان تناوب و مقاومت افزون بر نیاز لرزه‌ای - غیرارتجاعی قاب‌های خمشی بتن مسلح" ، دانشکده فنی و مهندسی عمران، دانشگاه تربیت مدرس.

۱۴- طاهری علی، بهبهانی اصغر، (۱۳۷۶)، "نگرشی فلسفی به ضوابط محاسباتی ساختمان‌ها در برابر زلزله" جلد ۲، مرکز تحقیقات ساختمان و مسکن، تهران.

15- Uang, C. M. (1992), "Establishing R (or R_w) and C_d Factors for Building Seismic Provision" , ASCE, 117 (1), 19-28

16- Tasnimi, A. A. and Mahmoudi, M. (1998), "Prediction of Overstrength of Reinforced Concrete Moment Resisting Frames, Using Non-Liner Inelastic Analysis." Proceedings of the 11th European Conference on Earthquake Engineering, Balkema, Rotterdam, CD.

۱۷- تسنیمی عباسعلی و معصومی علی، (۱۳۸۲)، "مقاومت افزون در قاب‌های خمشی بتن مسلح کوتاه و متوسط" مجموعه مقالات ششمین کنفرانس بین‌المللی مهندسی عمران ، دانشگاه صنعتی اصفهان.

18- Freeman S.A., (1990), "On the Correlation of Code Force to Earthquake Demands" Proceeding of 4th U.S-Japan workshop on Improvement of Building Structural and Construction Practice (ATC 15-3)

19- Consenza E., Luco A.D., Fealla C. & Mazzolani F.M.(1996), "On a simple Structure Coefficients in Steel", 8th European Conference on Earthquake Engineering , Lisbon Portugal , September 1996.

20- Mazzolani F.M. & Piluso V., (1996), "Theory and Design of Resistant Steel Frame", E and FN.spon.

۲۱- زرین قلم یاشار، (۱۳۸۹) "تحلیل غیرخطی و ارزیابی عملکرد سازه‌های سه بعدی"، چاپ اول، موسسه فرهنگی هنری انتشارات دیباگران تهران.

۲۲- دفتر امور فنی، تدوین معیارها و کاهش خطرپذیری ناشی از زلزله، (۱۳۸۵)، " دستورالعمل بهسازی ساختمان‌های موجود (نشریه ۳۶۰)"

۲۳- دفتر تدوین و ترویج مقررات ملی ساختمان، (۱۳۸۰)، "مبحث ششم - بارهای وارد بر ساختمان".

۲۴- تقی‌نژاد ر، (۱۳۸۹) "طراحی و بهسازی لرزه‌ای سازه‌ها براساس سطح عملکرد با استفاده از تحلیل پوش آور SAP2000 – ETABS" چاپ دوم، نشر کتاب دانشگاهی، تهران.

۲۵- مرکز تحقیقات ساختمان و مسکن، (۱۳۸۴)، "یین‌نامه طراحی ساختمان‌ها در برابر زلزله"، استاندارد ۲۸۰۰، ویرایش سوم.

26- FEMA-356, (2000), "Prestandard and commentary for the seismic design of building", prepared by American Society of Civil Engineering, published by the Federal Emergency Management Agency, Washington, DC.

27- Computers and Structures, CSI, (2006), "USER GUIDE OF PERFORM-3D, Nonlinear Analysis and Performance Assessment for 3D structures" , University Ave.Berkely, USA.

28- Computers and Structures , Inc (2006) , " PERFORM 3D (Ver 4.0.3), Nonlinear Analisys And Performance Assessment for Building " , Building Siesmic Safety Council, Washington DC.

-۲۹- دفتر تدوین و ترویج مقررات ملی ساختمان ، (۱۳۸۵)، "مبحث نهم مقررات ملی ساختمان-آئین-
نامه طرح و اجرای ساختمان‌های بتن آرمه".

30- ACI Committee 318. 2005. Building Code Requirements for Structural Concrete (ACI 318-05).

31- Computers and Structures, CSI, (2006), "PERFORM COMPONENTS AND ELEMENTS FOR PERFORM-3D AND PERFORM-COLLAPSE", University Ave.Berkely, USA.

-۳۲- تهرانی‌زاده محسن و عزیز‌زاده شیما، (۱۳۸۸) " مقایسه برخی از روش‌های مختلف مدل‌سازی سازه‌های دارای دیوار برشی بتنی برای انجام تحلیل‌های استاتیکی و دینامیکی غیرخطی" ، هشتمین کنگره بین‌المللی مهندسی عمران اردبیلهشت ، شیراز.

-۳۳- قلی پور م، (۱۳۸۹)، پایان‌نامه ارشد: "تعیین ضریب رفتار سازه‌های پانل ساندویچی" ، دانشکده عمران، دانشگاه صنعتی شاهروود.

34- ATC 40 (Applied Technology council), (1996), "Evaluation of Existing Building in seismic Zone".

35- FEMA-356, (2000), "Prestandard and commentary for the seismic design of buildings", prepared by American Society of Civil Engineering, published by the Federal Emergency Management Agency, Washington, DC.

-۳۶- صادقی‌قادی حسین، (۱۳۸۹) "مرجع جامع نرم‌افزار PERFPROM3D برای تحلیل‌های غیرخطی و طراحی بر مبنای سطح عملکرد" ، چاپ اول، انتشارات علوم رایانه ، بابل.

37- Paulay, T., and Priestly, M.I.N "Seismic design of reinforced concrete and masonry buidings" , J. Wily & Sons, New Yourk, 1992.

Abstract

Population growth and urban space are among the factors that would justify the construction of high-rise structures. The ratio of building height to lateral load increases entered. A concrete shear wall structural system is adequate to withstand lateral loads. In this research 9 models was made with reinforced moment resisting frames system and filled shear walls, and then 9 other models made with reinforced moment resisting frames system and hollowed shear walls. Then by PERFORM-3D software and base on instruction FEMA-356, nonlinear static analysis is performed. Finally, the seismic components of these structures such as displacement target, period, ductility ratio, ductility factor and over strength load factor, is calculated.

The impact of factors such as the number of strata, leaving the center for lateral load, lateral load pattern, this pattern of gravity, filled and hollow walls on seismic component has been studied. The results show that, in general, in the case of a hollow wall, seismic components are improved.

Key words: *hollow shear wall, pushover analysis, response modification factor, over strength factor, ductility factor system, ductility factor, fiber modeling, Lateral load, capacity curve, natural period*



Shahrood University of Technology

Civil Engineering Faculty

Investigation on the seismic behavior of hollow concrete shear walls

Yousef Haghgoo

Supervisors:
Vahid Reza Kalat Jari
Behrouz Hasani

Sep 2012